

Prefață

Realizarea progresului tehnic în toate ramurile industriale în care intervin structuri de rezistență necesită atât cunoștințe multiple și aprofundate din domeniul Rezistenței materialelor cât și deprinderi avansate de calcul .

Reducerea consumului de materiale , ceea ce echivalează cu dimensiuni mai reduse pentru piese , este posibilă numai pe baza unor studii detaliate privind rezistența , deformabilitatea ,stabilitatea și durabilitatea elementelor astfel încât odată cu creșterea performanțelor tehnologice , siguranța în exploatare , pe toată durata de funcționare să fie deplină .

Pentru acest lucru , volumul II prezintă noțiunile științifice, metodele și procedeele concrete de calcul și dimensionare ale structurilor sub o formă adecvată atât înțelegerii aspectelor fizice cât și aplicării lor în cazuri specifice reale din domeniul construcției de mașini și utilaje.

În acest volum s-a continuat linia matematizării totale a tuturor fenomenelor și explicarea fiecărui detaliu în parte.

Acest mod de lucru , ia o bună parte din timp și din spațiu ,dar fără acest stil nu se poate înțelege în mod științific Rezistența materialelor . În acest volum , capitolele au o legătura mare între ele , capitolul VII (Flambajul) în demonstrarea tuturor fenomenelor se pornește de la ecuația fibrei medii deformată , cu condițiile de rigoare ale fiecărui caz în parte.

În capitolul VIII (Solicitări dinamice prin șoc) se observă legăturile cu solicitările statice și mai intervin unele condiții specifice acestui capitol.

La trasarea diagramelor de eforturi pentru barele cotite s-au folosit toate metodele de calcul , încărcările au fost relative simple.

Pentru munca depusă și sugestiile făcute cu ocazia citirii
manuscrisului aduc mulțumiri deosebite referentului științific
prof.dr.ing Marcel Năforniță.

Autorul

Cuprins volumul II

Capitolul VI

Solicitarea la încovoiere

Deformarea barelor drepte solicitate la încovoiere

6.13. Integrarea analitică a ecuației diferențiale a fibrei medii deformată în cazul grinzilor de secțiune constantă și executate din același material adică $[E_1 = E_2 = E_3 = \dots = E_n]$ cu mai multe câmpuri de variație a momentului încovoiător . Procedeu Clebsch sau al identificării constantelor de integrare.....	10
6.14. Teoremele lui Castigliano	24
6.15. Metoda grafo-analitică de integrare a ecuației diferențiale de ordinal al II-lea a fibrei medii deformată	31
6.16. Studiul deplasărilor prin metode energetice . Lucrul mecanic al forțelor exterioare.....	44
6.16.1. Bara supusă la întindere sau compresiune	44
6.16.2. Bara supusă la solicitarea de încovoiere pură	45
6.16.3. Bara supusă la solicitarea de încovoiere simplă	47
6.16.4. Bara supusă la solicitarea de răsucire a unui arbore	47
6.17. Teoremele reciprocității lucrului mecanic și al deplasărilor Teorema lui Betti.....	49
6.18. Studiul deplasărilor prin metoda Mohr-Maxwell . Metoda de integrare Vereșceaghin.....	53
6.19. Grinzi drepte static nedeterminate.....	67
6.19.1. Introducere.....	67
6.20. Ecuația celor trei momente (ecuația lui Clapeyron)	95
6.21. Teorema reciprocității deplasărilor sau teorema lui Maxwell.....	112

Capitolul VII

Stabilitatea elastică (Flambajul)

7.1. Definiția flambajului	123
----------------------------------	-----

7.2. Formula lui Euler pentru calculul forței critice de flambaj la barele drepte.....	127
7.2.1. Bara articulată la ambele capete	128
7.2.2. Bara încastrată la un capăt și liberă la celălalt capăt	131
7.2.3. Bara încastrată la un capăt și articulată la celălalt capăt	133
7.2.4. Bara încastrată la ambele capete.....	136
7.3. Limita de valabilitate a formulei lui Euler . Flambajul în zona elastică și în zona plastică.....	139
7.4. Calculul de rezistență la flambaj	142
7.4.1. Calculul de rezistență la flambaj pentru piesele de mașini.....	142
7.4.2. Calculul de rezistență la flambaj în construcțiile metalice.....	149

Capitolul VIII

Solicitări dinamice prin șoc

8.1. Solicitarea de întindere sau compresiune prin șoc	155
8.2. Solicitarea la încovoiere prin șoc	165
8.3. Solicitarea la răsucire prin șoc	177

Capitolul IX

Echilibrul sistemelor plane alcătuite din bare rigide legate între ele prin articulații

Grinzi cu zăbrele

9.1. Definiții	181
9.1.1. Calculul grinzii cu zăbrele	184
9.2. Calculul eforturilor	186
9.2.1. Metoda izolării nodurilor – metoda analitică	186
9.2.2 . Metoda izolării nodurilor – metoda grafică	193
9.2.3. Construcția epurei Cremona prin notarea barelor.....	196
9.2.4. Construcția epurei Cremona prin notarea regiunilor.....	199
9.2.5. Metoda analitică a secțiunilor . Metoda Ritter.....	201
9.3. Deformația grinzilor cu zăbrele	205

Capitolul X

Trasarea diagramelor de eforturi pentru barele cotite

10.1. Generalități	211
10.2. Trasarea diagramelor de eforturi pentru barele cotite.....	212

Cuprins volumul I

Capitolul I

1. Introducere

1.1. Noțiuni introductive	7
1.2. Obiectul și problemele rezistenței materialelor.....	7
1.3. Clasificarea corpurilor	8
1.4. Considerente economice.....	10
1.5. Punctele de aplicatie ale forțelor	10
1.6. Clasificarea forțelor	11
1.6.1. Forțele exterioare	11
1.6.2. Forțele interioare	15
1.7. Eforturi unitare.....	17
1.8. Eforturi sau elemente de reducere	19
1.9. Ecuațiile de echivalență	20
1.10. Statica aplicată la rezolvarea problemelor de rezistența materialelor	21
1.11. Clasificarea reazemelor	21
1.11.1. Reazem simplu.....	21
1.11.2. Reazem cu articulație fixă	23
1.11.3. Reazem înțepenit (încastrat)	24
1.12. Deformații și deplasări	25
1.12.1. Deformații liniare	26
1.12.2. Deformații unghiulare.....	27

Capitolul II

Ipotezele de bază din rezistența materialelor

2.1. Generalități	30
2.2. Ipoteza continuității materiei	30
2.3. Ipoteza omogenității materiei	30
2.4. Ipoteza mediului izotrop	31
2.5. Ipoteza elasticității materialului	31
2.6. Ipoteza deformațiilor mici	31
2.7. Ipoteza proporționalității între tensiuni și deformații.....	33

2.8. Principiul lui Saint – Venant	33
2.9. Ipoteza stării normale	34
2.10. Ipoteza lui Bernoulli (ipoteza secțiunilor plane)	35
2.11. Diagramele caracteristice ale materialelor	36
2.11.1. Diagrama caracteristică	37
2.11.2. Curba caracteristică la întindere pentru un oțel	38
2.11.3. Curba caracteristică a oțelului la compresiune	40
2.11.4. Curba caracteristică la torsiune	41
2.11.5. Curbele caracteristice pentru materialele care nu ascultă de legea lui Hooke	41
2.12. Factorii care influențează caracteristicile mecanice și elastice ale materialelor	42
2.13. Teoreme și metode energetice. Energia potențială de deformație	45

Capitolul III

Solicitarea la întindere sau compresiune

3.1.Solicitări axiale	47
3.1.1. Relațiile diferențiale între sarcini și eforturi la solicitarea axială.....	54
3.2. Calculul tensiunii normale pentru solicitarea axială	56
3.3. Deformații și deplasări în bare solicitate axial.....	58
3.4. Energia potențială de deformație	59
3.4.1. Teoremele lui Castigliano.....	60
3.4.2. Teorema a I-a a lui Castigliano aplicată la solicitarea axială...	63
3.5. Calculul barelor de greutate mare solicitate axial	65
3.6. Bara de egală rezistență la solicitări axiale.....	67
3.7. Realizarea practică a barei de egală rezistență la solicitarea axială	69
3.8. Probleme static nedeterminate la solicitarea axială.....	74
3.9. Tensiuni cauzate de variații de temperatură	88
3.10. Tensiuni pe o secțiune înclinată	114

Capitolul IV

Solicitarea la forfecare

4.1. Noțiuni generale	120
4.2. Calculul tensiunii tangențiale	121
4.3. Lucrul mecanic specific de deformare la solicitarea de forfecare.....	123
4.4. Tensiuni într-o secțiune înclinată	123
4.5. Calculul la presiune de contact (strivire)	128

Capitolul V

Solicitarea la răsucire

5.1. Răsucirea arborilor de secțiune circulară și respectiv inelară ...	134
5.2. Calculul momentului de răsucire la arbori de transmisie	134
5.3. Tensiuni și deformări la răsucire	135
5.4. Caracteristicile geometrice ale secțiunilor transversale	138
5.4.1. Secțiunea transversală circulară	138
5.4.2. Secțiunea transversală circulară inelară	139
5.5. Energia de deformare la răsucire.....	141
5.6. Calculul arcurilor elicoidale cu spire strânse	142
5.6.1. Calculul săgeții arcului	144
5.7. Relațiile diferențiale între sarcini și eforturi la solicitarea de răsucire.....	144
5.8. Arbori static nedeterminați.....	158

Capitolul VI

6.1. Caracteristicile geometrice ale suprafețelor plane.....	167
6.1.1. Momente statice	167
6.1.2. Momente de inerție geometrice	169
6.1.3. Variația momentelor de inerție față de axe paralele. Teoremele lui Steiner	170
6.1.4. Variația momentelor de inerție față de axe concurente.....	172
6.1.5. Secțiunea transversală dreptunghiulară	177

6.1.6. Secțiunea transversală triunghiulară	178
6.1.7. Secțiunea transversală sector de cerc	180
6.1.8. Secțiunea transversală circulară	183
6.1.9. Secțiunea transversală circulară inelară	184
6.2. Solicitarea la încovoiere. Noțiuni generale	190
6.3. Calculul tensiunii normale	191
6.4. Studiul experimental al deformației grinzii solicitată la încovoiere pură	196
6.5. Calculul tensiunii normale σ_{xx} . Relația lui Navier.....	197
6.6. Relațiile diferențiale între sarcini și eforturi.....	209
6.7. Dualitatea tensiunilor tangențiale.....	232
6.8. Calculul tensiunii tangențiale. Relația lui Juravski.....	234
6.9. Variația tensiunilor tangențiale pentru diferite forme ale secțiunii transversale ale barelor	237
6.9.1. Secțiunea dreptunghiulară	237
6.9.2. Secțiunea dreptunghiulară cu gol	239
6.9.3. . Secțiunea circulară	243
6.10. Energia potențială de deformație înmagazinată într-o bară supusă la solicitarea de încovoiere.....	245
6.11. Bare de egală rezistență la încovoiere	246
6.11.1. Grinda în consolă , cu secțiune dreptunghiulară la care înălțimea secțiunii transversale este variabilă	247
6.11.2. Grinda în consolă , cu secțiune dreptunghiulară cu lățime variabilă	248
6.11.3. Grinda în consolă cu secțiune circulară	249
6.11.4. Bare de egală rezistență de secțiune circulară încărcate ca în figurile 250 și 251	250
6.12. Deformarea barelor drepte solicitate la încovoiere	252
6.12.1. Metoda integrării analitice a ecuației diferențiale a fibrei medii deformată.....	254
6.12.2. Grinda simplu rezemată cu sarcină uniform repartizată	259

Capitolul VI
Solicitarea la încovoiere
Deformarea barelor drepte solicitate la încovoiere

6.13. Integrarea analitică a ecuației diferențiale a fibrei medii deformată în cazul grinzilor de secțiune constantă și executate din acelaș material adică ($E_1 = E_2 = E_3 = \dots = E_n$) cu mai multe câmpuri de variație a momentului încovoiator.
Procedeul lui Clebsch sau al identificării constantelor de integrare.

Acest procedeu reduce numărul constantelor de integrare la două C și D , pe când la metoda analitică se introducea pentru fiecare regiune câte două constante de integrare, ca atare pentru o bară cu trei sau mai multe regiuni, metoda analitică devine destul de complicată.

Procedeul Clebsch impune anumite restricții :

- 1) originea de măsură a absciselor se fixează întotdeauna la unul din capetele barei, indiferent dacă este reazem sau capăt de consolă.
- 2) originea odată aleasă rămâne neschimbată pe tot timpul rezolvării problemei, poziționarea forțelor (sarcinilor) și a secțiunilor curente se face numai față de această origine.
- 3) toți termenii expresiei momentului încovoiator din regiunea (câmpul) precedentă trebuie lăsați neschimbați ca formă în funcția momentului încovoiator al regiunii următoare a grinzii.
- 4) toți termenii expresiei momentului încovoiator care apar în regiunea următoare, începând cu regiunea a doua, trebuie să conțină binomul $(x_i - a_j)$.
- 5) integrarea ecuației diferențiale, trebuie făcută fără a se desface parantezele binomului $(x_i - a_j)^n$.
- 6) tronsoanele barei să fie din același material și secțiunea transversală să fie constantă pe toată lungimea barei. De aici reiese particularitatea acestui procedeu.

Regiunea întâi

$x_1 \in (0; a_1)$; $M_{iz}(x_1) = V_A x_1$; ; ecuația fibrei medii

deformate va fi : $EI_z \frac{d^2 y_1}{dx_1^2} = -M_{iz}(x_1) = -V_A x_1$,

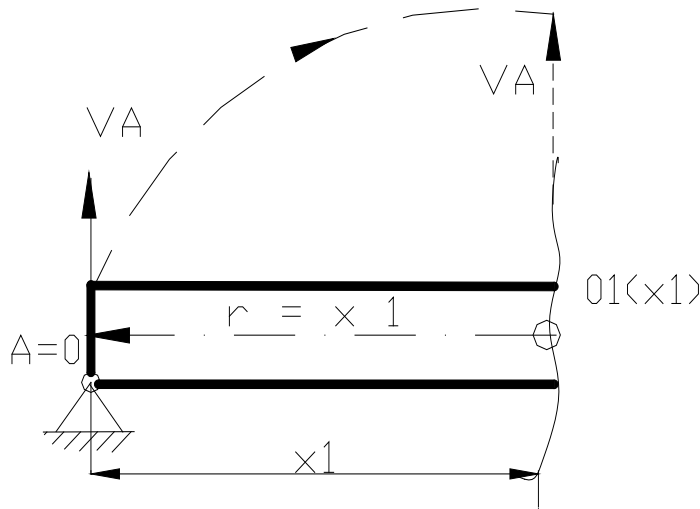


Figura 2

prin integrări succesive se obțin, următoarele expresii;

$$\begin{cases} EI_z \frac{dv_1}{dx_1} = -\frac{V_A x_1^2}{2} + C_1 \\ EI_z v_1(x_1) = -\frac{V_A x_1^3}{6} + C_1 x_1 + D_1 \end{cases};$$

Pentru regiunea a II-a

$x_2 \in [a_1; a_2)$; $M_{iz}(x_2) = V_A x_2 - F_1(x_2 - a_1)$; ecuația fibrei

medii deformată va fi : $EI_z \frac{d^2 y_2}{dx_2^2} = -M_{iz}(x_2) = -V_A x_2 + F_1(x_2 - a_1)$

prin integrări succesive se obțin, următoarele expresii:

$$\left\{ \begin{array}{l} EI_z \frac{dv_2}{dx_2} = -\frac{V_A x_2^2}{2} + \frac{F_1(x_2 - a_1)^2}{2} + C_2 \\ EI_z v_2(x_2) = -\frac{V_A x_2^3}{6} + \frac{F_1(x_2 - a_1)^3}{6} + C_2 x_2 + D_2 \end{array} \right. ; \quad (2)$$

Punem condițiile de continuitate și derivabilitate ale funcțiilor ce exprimă săgețile și rotirile secțiunilor transversale, în secțiunea (1) [funcția $y(x) = v(x)$ să fie continuă și derivabilă]. Deci

$$\left\{ \begin{array}{l} \lim_{x_1 \uparrow a_1} v_1(x_1) = \lim_{x_2 \downarrow a_1} v_2(x_2) \\ \lim_{x_1 \uparrow a_1} \frac{dv_1(x_1)}{dx_1} = \lim_{x_2 \downarrow a_1} \frac{dv_2(x_2)}{dx_2} \end{array} \right. ; \quad \text{la fel și}$$

$$\left\{ \begin{array}{l} EI_z \lim_{x_1 \uparrow a_1} v_1(x_1) = EI_z \lim_{x_2 \downarrow a_1} v_2(x_2) \\ EI_z \lim_{x_1 \uparrow a_1} \frac{dv_1(x_1)}{dx_1} = EI_z \lim_{x_2 \downarrow a_1} \frac{dv_2(x_2)}{dx_2} \end{array} \right. \text{De unde rezultă :}$$

$$\left\{ \begin{array}{l} -\frac{V_A \cdot a_1^3}{6} + C_1 a_1 + D_1 = -V_A \frac{a_1^3}{6} + C_2 a_1 + D_2 \\ -\frac{V_A \cdot a_1^2}{2} + C_1 = -\frac{V_A a_1^2}{2} + C_2 \end{array} \right.$$

de aici implică $C_1 = C_2$ și $D_1 = D_2$.

S-a precizat că acest procedeu este limitat la barele executate din același material și nu variază dimensiunile secțiunilor transversale.

Regiunea a III-a

$x_3 \in [a_2; a_3)$; $M_{iz}(x_3) = V_A x_3 - F_1(x_3 - a_1) - F_2(x_3 - a_2)$;
; ecuația fibrei medii deformate va fi :

$$EI_z \frac{d^2 y_3}{dx_3^2} = -M_{iz}(x_3) = -V_A x_3 + F_1(x_3 - a_1) + F_2(x_3 - a_2)$$

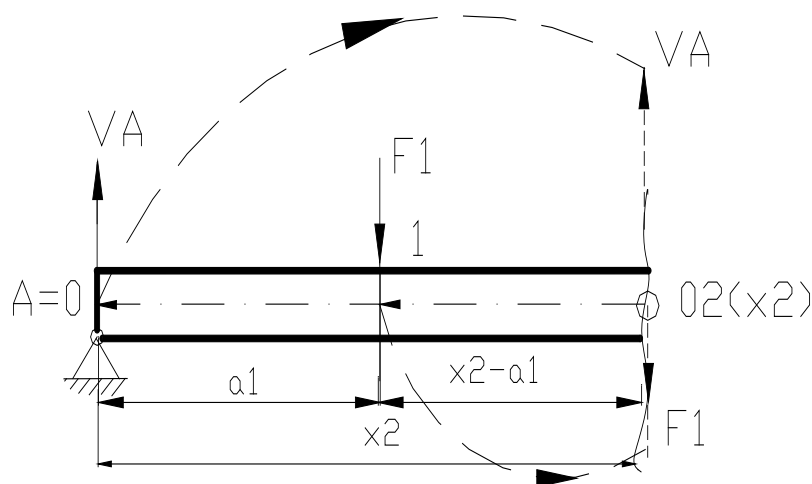


Figura 3

$$\begin{cases} EI_z \frac{dv_3}{dx_3} = -\frac{V_A x_3^2}{2} + \frac{F_1 (x_3 - a_1)^2}{2} + \frac{F_2 (x_3 - a_2)^2}{2} + C_3 \\ EI_z v_3(x_3) = -\frac{V_A x_3^3}{6} + \frac{F_1 (x_3 - a_1)^3}{6} + \frac{F_2 (x_3 - a_2)^3}{6} + C_3 x_3 + D_3 \end{cases}$$

Punem condițiile de continuitate și derivabilitate ale funcțiilor ce exprimă săgețile și rotirile secțiunilor transversale, în secțiunea (2) [funcția $y(x) = v(x)$ trebuie să fie continuă și derivabilă].

$$\begin{cases} \lim_{x_2 \uparrow a_2} v_2(x_2) = \lim_{x_3 \downarrow a_2} v_3(x_3) \\ \lim_{x_2 \uparrow a_2} \frac{dv_2(x_2)}{dx_2} = \lim_{x_3 \downarrow a_2} \frac{dv_3(x_3)}{dx_3} \end{cases};$$

$$\begin{cases} -\frac{V_A a_2^3}{6} + \frac{F_1 (a_2 - a_1)^3}{6} + C_2 a_2 + D_2 = -V_A \frac{a_2^3}{6} + \\ + \frac{F_1 (a_2 - a_1)^3}{6} + C_3 a_2 + D_3 \\ -\frac{V_A a_2^2}{2} + \frac{F_1 (a_2 - a_1)^2}{2} + \frac{F_2 (a_2 - a_2)^2}{2} + C_2 = -\frac{V_A a_2^2}{2} + \frac{F_1 (a_2 - a_1)^2}{2} + \\ + \frac{F_2 (a_2 - a_2)^2}{2} + C_3 \end{cases}$$

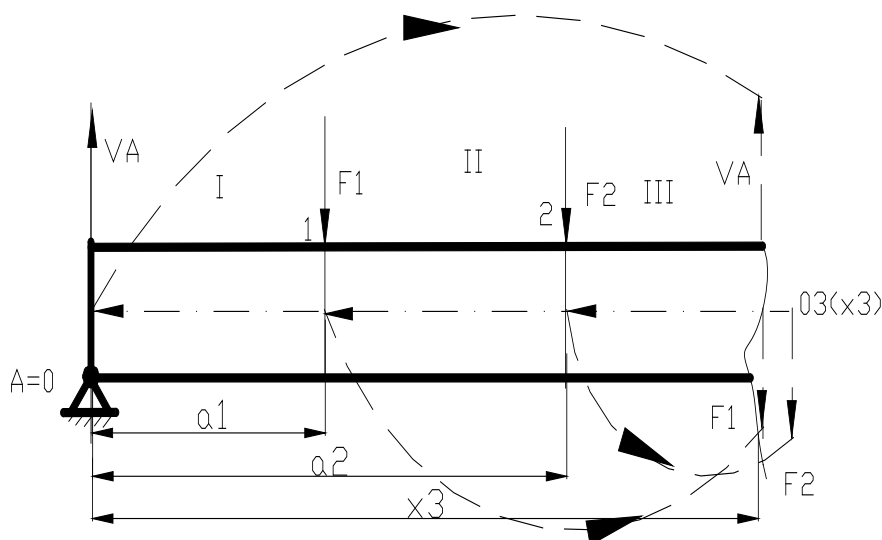


Figura 4

de aici implică $C_1 = C_2 = C_3$ și $D_1 = D_2 = D_3$.

Prin inducție matematică rezultă că : $C_1 = C_2 = C_3 = \dots = C_n = C$

și $D_1 = D_2 = D_3 = \dots = D_n = D$, unde

$$\begin{cases} C = EI_z \cdot \varphi_0 \\ D = EI_z \cdot v_0 \end{cases}; \quad v_0 \text{ este săgeata în origine, iar } \varphi_0 \text{ rotirea în origine a}$$

secțiunii transversale.

Problema nr.5

Să se calculeze săgețile și rotirile secțiunilor transversale Q și S pentru bara din figura 5, știind că :

$E = 2,1 \cdot 10^5 \text{ N/mm}^2$; $q = 6 \text{ N/m}$; $l = 0,21 \text{ m}$, secțiunea transversală fiind dreptunghiulară cu $b = 6 \text{ mm}$ și $h = 8 \text{ mm}$.

Rezolvare:

Calculăm săgețile și rotirile secțiunilor transversale Q și S cu ajutorul procedeului Clebsch pentru grinda din figura 5, alegem ca origine, articulația din (A).

Se scrie ecuația momentului generalizator din ultima regiune (B-S), apoi se calculează expresia funcțiilor pentru săgeți și rotiri tot cu

elemente generalizatoare .

$$M_{iz}(x_3) = -5qlx + ql^2(x-l)^0 + \frac{q(x-l)^2}{2} + 9ql(x-3l) - \frac{3q(x-3l)^2}{2} + \frac{q(x-3l)^3}{18l};$$

cu ;

$$R_{\Delta}(x_3) = \left[2q - \frac{q}{3l}(9l-x) \right] \frac{x-3l}{2};$$

încărcarea trapezoidală s-a desfăcut într-un triunghi și într-un dreptunghi. Forța rezultantă pentru triunghi

$$R_{\Delta}(x_3) = \frac{q}{6l}(x-3l)^2, \text{ forța rezultantă pentru dreptunghi}$$

$R_{\text{dreptunghi}}(x_3) = q(x_3)(x_3-3l)$, pentru trapezul dreptunghic variabil din figura 6, s-a aplicat principiul suprapunerii efectelor. Deasemenea pentru a avea în expresia momentului încovoietor termenii binomiali $(x_i - a_j)^n$ s-a pus la momentul încovoietor concentrat $M_{iz}(Q) = ql^2$ brațul $(x-l)^0$ [orice număr la puterea zero este egal cu unu], apoi s-a prelungit funcția de încărcare $q(x) = q$ din regiunea a II-a [sus și jos pe aceeași lungime $(x-3l)$] ca urmare a aplicării principiului suprapunerii efectelor.

Funcția de încărcare pentru regiunea a III-a (fiind triunghiulară) se află din teorema lui Thales :

$$\frac{q(x_3)}{2q} = \frac{9l-x}{6l}; \quad 6l-x + 3l = 9l-x; \quad q(x_3) = \frac{2q}{6l}(9l-x);$$

$$R_{\Delta}(x_3) = \frac{[2q - q(x_3)]}{2}(x-3l) = \frac{\left[2q - \frac{q(9l-x)}{3l} \right]}{2}(x-3l) = \frac{q}{6l}(x-3l)^2$$

$$R_{\text{dreptunghi}} = R_{\oplus}(x_3) = q(x_3)[x-3l] = \frac{q}{3l}(9l-x)(x-3l); \quad \text{când se}$$

exprimă momentele încovoietoare ale sarcinii distribuite dată de încărcarea trapezoidală față de secțiunea (x) , se obțin defalcăt momentul încovoietor pentru încărcarea triunghiulară și respectiv momentul încovoietor pentru încărcarea dreptunghiulară.

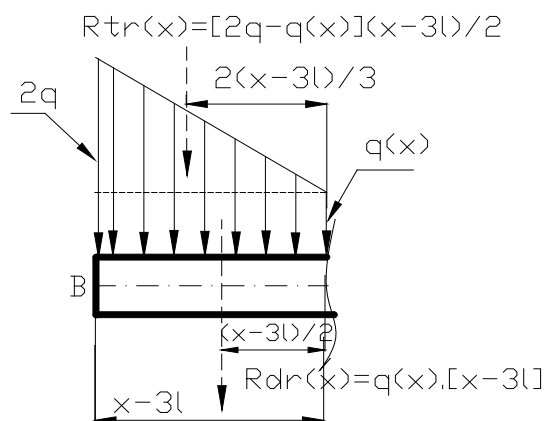


Figura 6

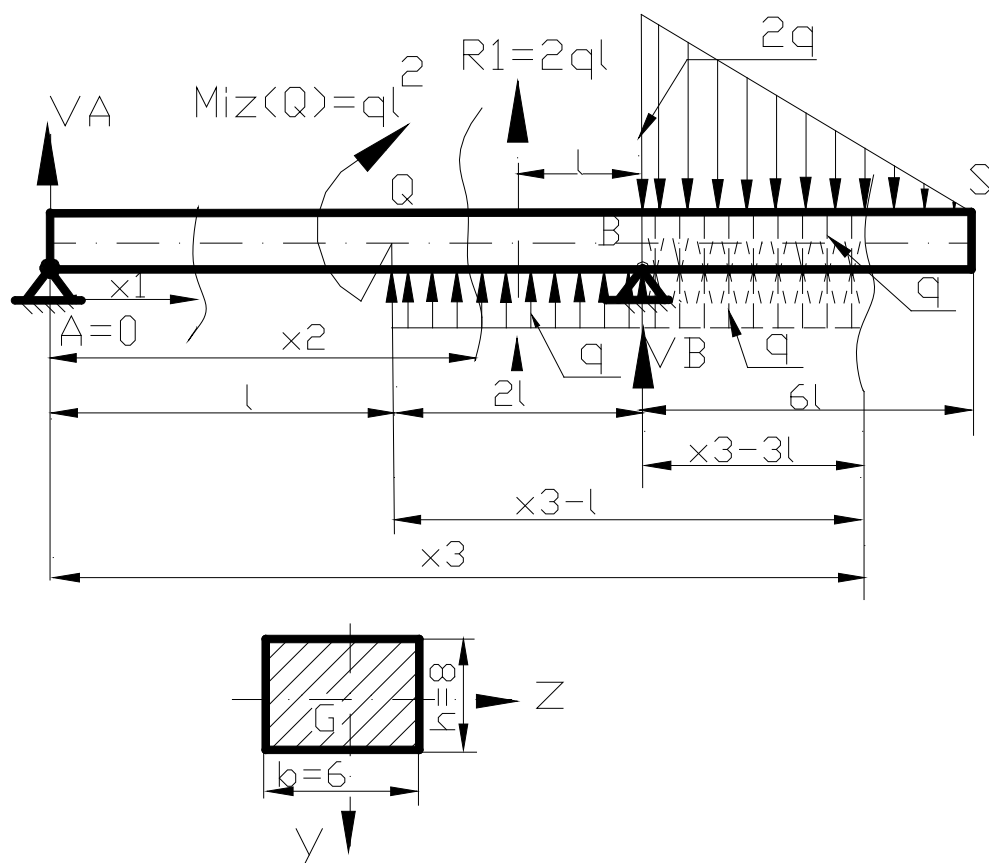


Figura 5

$$M_{izdreptunghi}(x) = -\frac{q}{6l}(9l-x)(x-3l)^2 = \frac{q}{6l}(x-3l-6l)(x-3l)^2 =$$

$$= \frac{q}{6l}(x-3l)^3 - q(x-3l)^2;$$

$$M_{iz\oplus}(x) = \frac{q}{6l}(x-3l)^3 - q(x-3l)^2, \text{ momentul încovoietor pentru}$$

încărcarea dreptunghiulară din regiunea a III-a ,

$$M_{iz\Delta}(x) = -\frac{2}{3} \frac{q}{6l}(x-3l)(x-3l)^2 = -\frac{q}{9l}(x-3l)^3; \text{ momentul}$$

încovoietor pentru încărcarea triunghiulară din regiunea a III-a.

Momentului generalizator din ultima regiune:

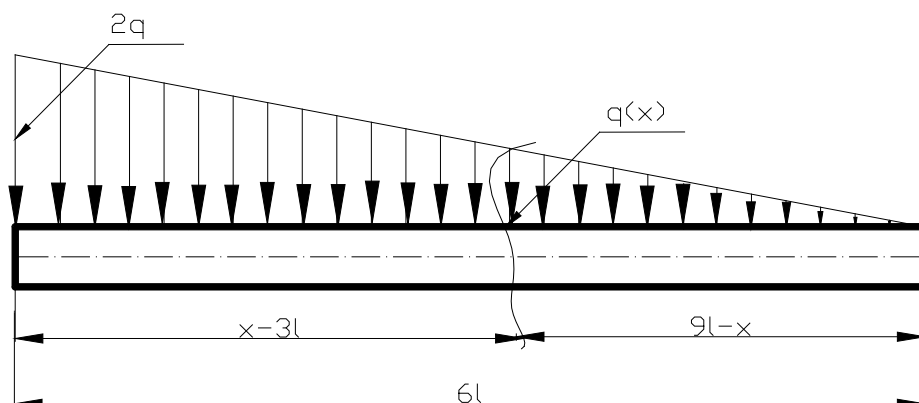


Figura 7

$$M_{iz}(x_3) = -5qlx + ql^2(x-l)^0 + \frac{q(x-l)^2}{2} + 9ql(x-3l) - \frac{3q(x-3l)^2}{2} + \frac{q(x-3l)^3}{18l};$$

Aplicăm ecuația fibrei medii deformată:

$$EI_z \frac{d^2 y}{dx^2} = -M_{iz}(x); EI_z \frac{d^2 y}{dx^2} =$$

$$-[-5qlx + ql^2(x-l)^0 + \frac{q(x-l)^2}{2} + 9ql(x-3l) - \frac{3q(x-3l)^2}{2} + \frac{q(x-3l)^3}{18l}]$$

prin integrări succesive se obțin, următoarele expresii;

$$\left\{ \begin{aligned} EI_z \frac{dv}{dx} &= \frac{5qlx^2}{2} - ql^2(x-l) - \frac{q}{6}(x-l)^3 - \frac{9ql}{2}(x-3l)^2 + \\ &+ \frac{q}{2}(x-3l)^3 - \frac{q}{72l}(x-3l)^4 + C \\ EI_z v(x) &= \frac{5qlx^3}{6} - \frac{ql^2(x-l)^2}{2} - \frac{q(x-l)^4}{24} - \frac{3ql(x-3l)^3}{2} + \frac{q(x-3l)^4}{8} - \\ &- \frac{q(x-3l)^5}{360l} + Cx + D \end{aligned} \right.$$

S-au obținut expresiile săgeților și a rotirilor secțiunilor transversale în forme generalizatoare, se află constantele C și D din condițiile de sprijin (de reazem) ale barei. O primă condiție este :

$$\lim_{x_1 \downarrow 0} v_1(x_1) = 0 ; \text{ la fel și } EI_z \lim_{x_1 \downarrow 0} v_1(x_1) = 0 ; \text{ în regiunea întâi , } x_1 \in [0; l)$$

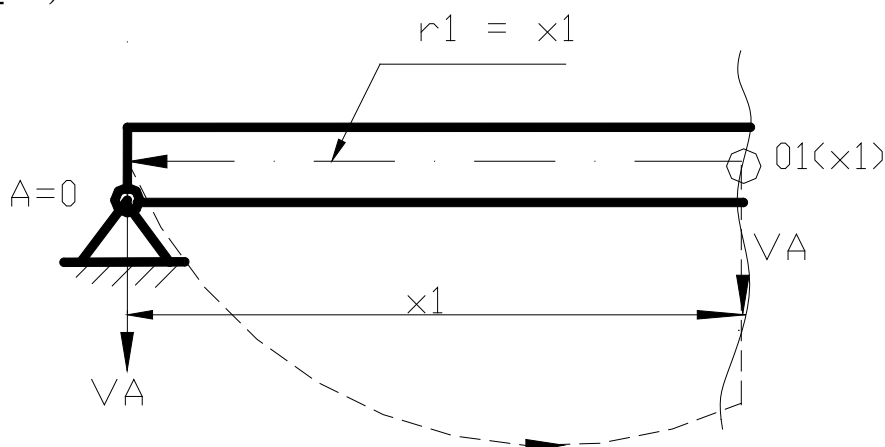


Figura 8

$M_{iz}(x_1) = -5qlx_1$; pentru expresia momentului încovoiător din **regiunea întâi**, se ia din expresia momentului încovoiător generalizator numai primul termen , la fel se ține cont și în expresiile săgeților sau rotirilor.

$$\begin{cases} EI_z \frac{dv_1}{dx_1} = \frac{5qlx_1^2}{2} + C \\ EI_z v_1(x_1) = \frac{5qlx_1^3}{6} + Cx_1 + D \end{cases}$$

$$EI_z \lim_{x_1 \downarrow 0} v_1(x_1) = 0 = \frac{5ql}{6} 0^3 + C \cdot 0 + D ; D = 0 . \text{ A doua condiție de}$$

reazem va fi: $\lim_{x_2 \uparrow 3l} v_2(x_2) = 0$. Condițiile de reazem (de sprijin)

sunt cuprinse în condițiile de continuitate și derivabilitate ale funcției fibrei medii deformate.

În regiunea a II-a , $x_2 \in [l; 3l)$;

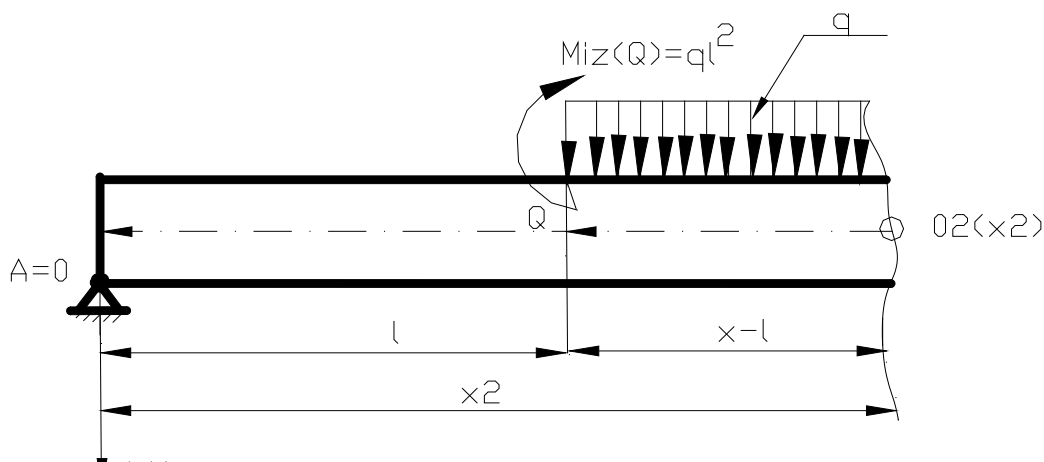


Figura 9

$$M_{iz}(x_2) = -5qlx_2 + ql^2(x-l)^0 - \frac{q(x-l)^2}{2} ; \text{ pentru expresia}$$

momentului încovoiitor din regiunea a II-a, se ia din momentului încovoiitor generalizator numai termenii care dau moment încovoiitor pentru regiunea a II-a , în mod analog se procedează la expresiile

săgeților și a rotirilor secțiunilor transversale , se iau numai primii trei termeni la care se adaugă contribuția lui C și D .

$$EI_z \lim_{x_2 \uparrow 3l} v_2(x_2) = 0;$$

$$EI_z \lim_{x_2 \uparrow 3l} v_2(x_2) = 0 = EI_z \lim_{x_2 \uparrow 3l} \left[\frac{5qlx^3}{6} - \frac{ql^2(x-l)^2}{2} - \frac{q(x-l)^4}{24} + Cx + D \right];$$

$$\left[\frac{5ql(3l)^3}{6} - \frac{ql^2(3l-l)^2}{2} - \frac{q(3l-l)^4}{24} + C.3l + D \right] = 0;$$

$$C = -19,83 ql^3 .$$

Având determinate constantele de integrare C și D , s-au obținut funcțiile săgeților și rotirilor secțiunilor transversale pentru orice punct de pe bară .

$$\left\{ \begin{aligned} EI_z \frac{dv}{dx} &= \frac{5qlx^2}{2} - ql^2(x-l) - \frac{q}{6}(x-l)^3 - \frac{9ql}{2}(x-3l)^2 + \\ &+ \frac{q}{2}(x-3l)^3 - \frac{q}{72l}(x-3l)^4 - 19,83ql^3 \end{aligned} \right.;$$

$$EI_z v(x) = \frac{5qlx^3}{6} - \frac{ql^2(x-l)^2}{2} - \frac{q(x-l)^4}{24} - \frac{3ql(x-3l)^3}{2} + \frac{q(x-3l)^4}{8} - \frac{q(x-3l)^5}{360l} - 19,83ql^3.x$$

Acum se calculează săgeata și rotirea în punctul Q , care se află în regiunea întâi deci se ia numai primul termen la care se adaugă cotribuția C și D :

$$\lim_{x \uparrow l} v(x) = v_Q = \lim_{x \uparrow l} \left[\frac{5qlx^3}{6} - 19,83ql^3.x \right] \frac{1}{EI_z} =$$

$$= \frac{1}{EI_z} \left[\frac{5ql^4}{6} - 19,83ql^4 \right] = -\frac{18,996.ql^4}{EI_z}$$

$$v_Q = -\frac{18,996 \cdot ql^4}{EI_z} = -\frac{18,996 \cdot \frac{6N}{m} (0,21)^4 m^4}{2,1 \cdot 10^5 \frac{N}{mm^2} \frac{6,8^3 mm^4}{12}} = -\frac{18,996 \cdot 6 \cdot (0,21)^4 \cdot 10^9 mm^3}{2,1 \cdot 10^5 \cdot 256 mm^2} =$$

$$= -4,12 mm$$

$$\lim_{x \uparrow l} \frac{dv}{dx} = \varphi_Q = \lim_{x \uparrow l} \left[\frac{5qlx^2}{2} - 19,83ql^3 \right] \frac{1}{EI_z} = \frac{1}{EI_z} \left[\frac{5ql^3}{2} - 19,83ql^3 \right] =$$

$$= -\frac{17,33 \cdot ql^3}{EI_z}$$

$$\varphi_Q = -\frac{17,33 \cdot ql^3}{EI_z} = -\frac{17,33 \cdot \frac{6N}{m} (0,21)^3 m^3}{2,1 \cdot 10^5 \frac{N}{mm^2} \frac{6,8^3 mm^4}{12}} =$$

$$= -\frac{17,33 \cdot 6 \cdot (0,21)^3 \cdot 10^6 mm^2}{2,1 \cdot 10^5 \cdot 256 mm^2} = -0,01791 [rad];$$

$$v_Q = -4,12 \text{ mm.}$$

Pentru secțiunea din punctul S se iau expresiile generalizatoare , deoarece (S) cade în ultima regiune pentru care s-a făcut momentul încovoietor generalizator.

$$\left\{ \begin{aligned} EI_z \varphi_S &= \lim_{x \uparrow 9l} \left[\frac{5qlx^2}{2} - ql^2(x-l) - \frac{q}{6}(x-l)^3 - \frac{9ql}{2}(x-3l)^2 + \right. \\ &\quad \left. + \frac{q}{2}(x-3l)^3 - \frac{q}{72l}(x-3l)^4 - 19,83ql^3 \right] \\ EI_z v_S &= \lim_{x \uparrow 9l} \left[\frac{5qlx^3}{6} - \frac{ql^2(x-l)^2}{2} - \frac{q(x-l)^4}{24} - \frac{3ql(x-3l)^3}{2} + \right. \\ &\quad \left. + \frac{q(x-3l)^4}{8} - \frac{q(x-3l)^5}{360l} - 19,83ql^3 \cdot x \right] \end{aligned} \right.$$

$$\begin{cases}
 EI_z \varphi_S = \left[\frac{5ql(9l)^2}{2} - ql^2(9l-l) - \frac{q}{6}(9l-l)^3 - \frac{9ql}{2}(9l-3l)^2 + \right. \\
 \left. + \frac{q}{2}(9l-3l)^3 - \frac{q}{72l}(9l-3l)^4 - 19,83ql^3 \right] \\
 EI_z v_S = \left[\frac{5ql(9l)^3}{6} - \frac{ql^2(9l-l)^2}{2} - \frac{q(9l-l)^4}{24} - \frac{3ql(9l-3l)^3}{2} + \frac{q(9l-3l)^4}{8} \right. \\
 \left. - \frac{q(9l-3l)^5}{360l} - 19,83ql^3 \cdot 9l \right] \\
 \begin{cases}
 v_S = 42,77 \frac{ql^4}{EI_z} \\
 \varphi_S = 17,34 \frac{ql^3}{EI_z}
 \end{cases} ; \\
 v_S = \frac{42,77 \cdot ql^4}{EI_z} = \frac{42,77 \frac{6N}{m} (0,21)^4 m^4}{2,1 \cdot 10^5 \frac{N}{mm^2} \frac{6,8^3 mm^4}{12}} = \frac{42,77 \cdot 6 \cdot (0,21)^4 \cdot 10^9 mm^3}{2,1 \cdot 10^5 \cdot 256 mm^2} = 9,28 mm \\
 \varphi_S = \frac{17,34 \cdot ql^3}{EI_z} = \frac{17,34 \cdot \frac{6N}{m} (0,21)^3 m^3}{2,1 \cdot 10^5 \frac{N}{mm^2} \frac{6,8^3 mm^4}{12}} = \frac{17,34 \cdot 6 \cdot (0,21)^3 \cdot 10^6 mm^2}{2,1 \cdot 10^5 \cdot 256 mm^2} = \\
 = 0,017892 [rad]
 \end{cases}$$

6.14. Teoremele lui Castigliano

Dacă există o bară încărcată ca în figura 10:

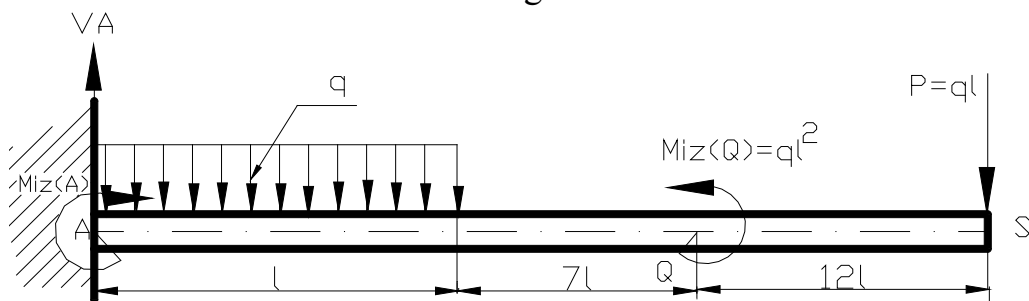


Figura 10

$$\frac{\partial L}{\partial P} = v_S ; \quad \text{săgeata în punctul } S, \text{ iar } \frac{\partial L}{\partial M_{izQ}} = \varphi_Q ;$$

rotirea secțiunii transversale din punctul Q .

$$v_S = \sum \int_l \frac{M_{iz}(x)}{EI_z} \frac{\partial M_{iz}(x)}{\partial P} dx; \quad \varphi_Q = \sum \int_l \frac{M_{iz}(x)}{EI_z} \frac{\partial M_{iz}(x)}{\partial M_{izQ}} dx;$$

$$L = \sum \int_l \frac{M_{iz}^2(x)}{2EI_z} dx; \quad L \text{ fiind lucrul mecanic elastic de deformare}$$

înmagazinat într-o bară supusă la încovoiere.

În cazul în care se cere să calculăm în (S) și rotirea secțiunii transversale, trebuie să introducem în S un moment încovoiitor concentrat fictiv $M_{iz}(S) = 0 \text{ kN.m}$, apoi se calculează V_A și $M_{iz}(A)$ funcție de $M_{iz}(S)$, la sfârșitul rezolvării problemei se face $M_{iz}(S) = 0 \text{ kN.m}$.

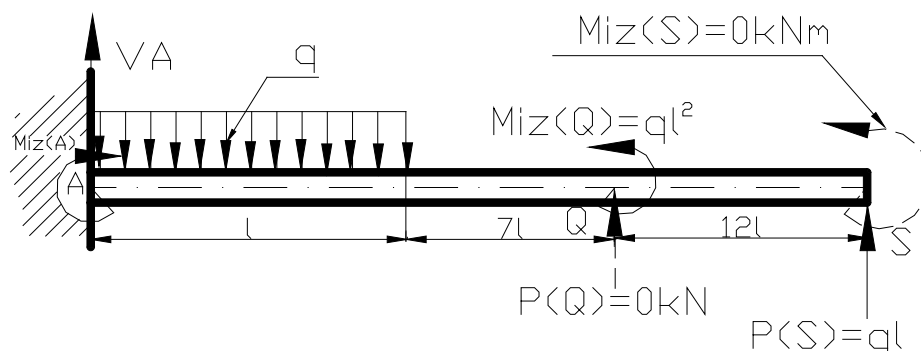


Figura 11

În mod analog dacă se cere săgeata în Q, se introduce în secțiunea transversală din punctul Q, se introduce o forță concentrată fictivă $P_Q = 0 \text{ [kN]}$ și se procedează în același mod, adică calculăm forța de reacțiune V_A , respectiv momentul de reacțiune $M_{iz}(A)$ și în funcție de P_Q , apoi la sfârșitul rezolvării problemei se înlocuiește $P_Q = 0 \text{ [kN]}$.

Problema nr. 6

Să se calculeze săgeata și rotirea secțiunii transversale din Q, pentru bara din figura 12, știind că : $E = 2,1 \cdot 10^5 \text{ N/mm}^2$; $q = 1,5 \text{ N/m}$; $l = 0,32 \text{ m}$, secțiunea transversală fiind circulară cu diametrul 60 mm.

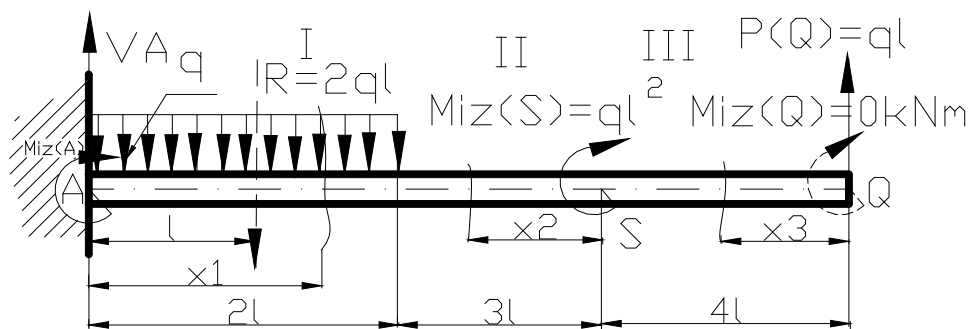


Figura 12

Deoarece în punctul Q nu avem moment încovoietor concentrat, se introduce un moment încovoietor concentrat fictiv $M_{iz}(Q) = 0 \text{ [kN.m]}$ la urmă se introduce valoarea lui numerică . Se calculează V_A și $M_{iz}(A)$ funcție de $M_{iz}(Q)$ și de forța concentrată P_Q cu mențiunea că la sfârșitul rezolvării problemei se înlocuiesc $M_{iz}(Q) = 0 \text{ [kN.m]}$ și $P_Q = ql$.

$$\sum F_y = 0 ; \quad V_A - 2ql + P_Q = 0 ; \quad V_A = 2ql - P_Q ;$$

$$\sum M_{iz}(A) = 0 ; \quad M_{iz}(A) + 2ql \cdot l + ql^2 + M_{izQ} - P_Q \cdot 9l = 0 ;$$

$$M_{iz}(A) = -3ql^2 - M_{izQ} + P_Q \cdot 9l .$$

La aplicarea teoremelor lui Castigliano pentru început trebuie să se lucreze cu tabelele , fiind mai ușor de calculat, după o anumită perioadă de acomodare cu aceste metode atunci se poate trece peste anumite etape de calcul .

Regiunea întâi; $M_{iz}(x_1) = V_A \cdot x_1 + M_{iz}(A) - \frac{qx_1^2}{2} ;$

$$M_{iz}(x_1) = (2ql - P_Q)x_1 + 9lP_Q - M_{izQ} - 3ql^2 - \frac{qx_1^2}{2} ;$$

Observație

Pentru regiunea a II-a este bine să se ia originea în punctul S pentru că se ușurează calculul integralelor, de exemplu dacă avem :

$$\text{cazul (I) ; } \int_a^b x^3 dx = \frac{x^4}{4} \Big|_a^b = \frac{(b^4 - a^4)}{4} ; \text{ cazul (II) }$$

$$\int_0^c x^3 dx = \frac{x^4}{4} \Big|_0^c = \frac{c^4}{4} ; \text{ în cazul al doilea este mai avantajos de calculat.}$$

Regiunea	$M_{iz}(x)$	$\frac{\partial M_{iz}(x)}{\partial P_Q}$	$\frac{\partial M_{iz}(x)}{\partial M_{izQ}}$	$x \in (...)$
întâi	$(2ql - P_Q)x_1 + 9lP_Q - M_{izQ} - 3ql^2 - \frac{qx_1^2}{2}$	$-x_1 + 9l$	-1	(0;2l)
a II-a	$(4l + x_2)P_Q - M_{izQ} - ql^2$	$4l + x_2$	-1	(0;3l)
a III-a	$P_Q \cdot x_3 - M_{izQ}$	x_3	-1	(0;4l)

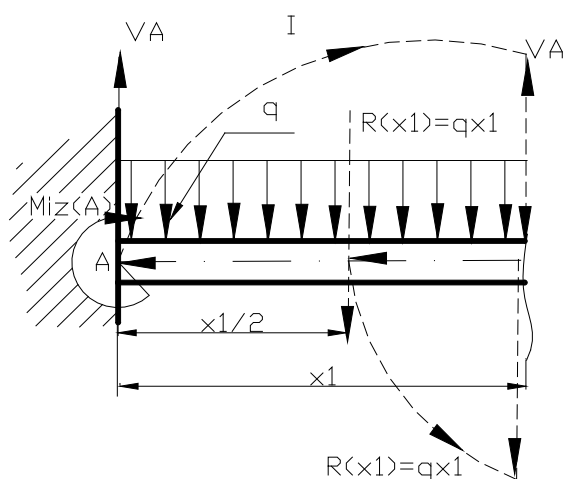


Figura 13

Regiunea a II-a

$$x_2 \in (0; 3l] ; \quad M_{iz}(x_2) = P_Q(4l + x_2) - M_{izQ} - ql^2 ;$$

Regiunea a III-a

$$x_3 \in (0; 4l] ; \quad M_{iz}(x_3) = P_Q x_3 - M_{izQ} ; \quad \text{tabelul este indicat}$$

să se facă , deoarece ajută la calcul.

$$v_Q = \sum \int_l \frac{M_{iz}(x)}{EI_z} \frac{\partial M_{iz}(x)}{\partial P_Q} dx = \frac{\partial L}{\partial P_Q} ;$$

$$\varphi_Q = \sum \int_l \frac{M_{iz}(x)}{EI_z} \frac{\partial M_{iz}(x)}{\partial M_{izQ}} dx = \frac{\partial L}{\partial M_{izQ}}$$

$$\varphi_Q = \frac{1}{EI_z} \left\{ \int_0^{2l} \left[(2ql - P_Q)x_1 + 9lP_Q - M_{izQ} - 3ql^2 - \frac{qx_1^2}{2} \right] (-1) dx_1 + \right. \\ \left. + \int_0^{3l} [(4l + x_2)P_Q - M_{izQ} - ql^2] (-1) dx_2 \right\} +$$

$$+ \frac{1}{EI_z} \left\{ \int_0^{4l} (P_Q x_3 - M_{izQ}) (-1) dx_3 \right\} ;$$

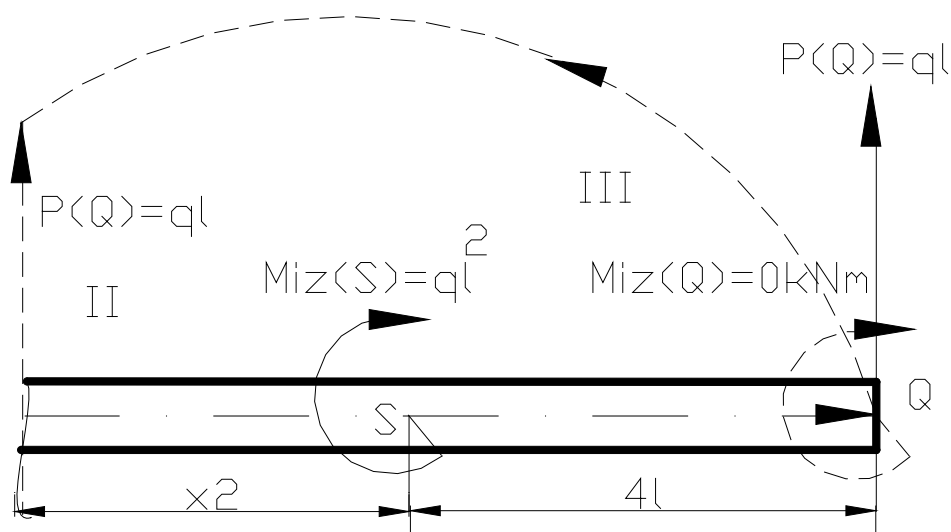


Figura 14

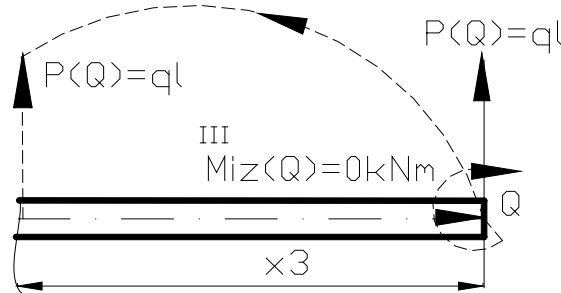


Figura 15

acum se fac înlocuirile cu valorile lor : $P_Q = ql$; $M_{izQ} = 0$ [kN.m]

$$\varphi_Q = \frac{1}{EI_z} \left\{ \int_0^{2l} \left[(2ql - ql)x_1 + 9lql - 0 - 3ql^2 - \frac{qx_1^2}{2} \right] (-1) dx_1 + \int_0^{3l} [(4l + x_2)ql - 0 - ql^2] (-1) dx_2 \right\} + \frac{1}{EI_z} \left\{ \int_0^{4l} (ql \cdot x_3) (-1) dx_3 \right\}$$

$$\varphi_Q = \frac{1}{EI_z} \left\{ \int_0^{2l} \left[-qlx_1 - 6ql + \frac{qx_1^2}{2} \right] dx_1 + \int_0^{3l} [-qlx_2 - 0 - 3ql^2] dx_2 \right\} + \frac{1}{EI_z} \left\{ \int_0^{4l} (ql \cdot x_3) (-1) dx_3 \right\}$$

$$\varphi_Q = \frac{1}{EI_z} \left\{ \left[-\frac{qlx_1^2}{2} - 6ql^2x_1 + \frac{qx_1^3}{6} \right] \Big|_0^{2l} + \left[-3ql^2x_2 - \frac{qlx_2^2}{2} \right] \Big|_0^{3l} - \frac{qlx_3^2}{2} \Big|_0^{4l} \right\} = -34,16 \frac{ql^3}{EI_z}$$

$$v_Q = \sum_l \int \frac{M_{iz}(x)}{EI_z} \frac{\partial M_{iz}(x)}{\partial P_Q} dx = \frac{\partial L}{\partial P_Q} ;$$

$$v_Q = \frac{1}{EI_z} \int_0^{2l} \left[(2ql - P_Q)x_1 + 9lP_Q - M_{izQ} - 3ql^2 - \frac{qx_1^2}{2} \right] (9l - x_1) dx_1 + \frac{1}{EI_z} \int_0^{3l} [(4l + x_2)P_Q - M_{izQ} - ql^2] (x_2 + 4l) dx_2 + \frac{1}{EI_z} \int_0^{4l} [P_Qx_3 - M_{izQ}] (x_3) dx_3$$

Acum se înlocuiesc P_Q și M_{izQ} cu valorile lor și anume : $P_Q = ql$; $M_{izQ} = 0$ [kN.m]

$$\begin{aligned}
 v_Q &= \frac{1}{EI_z} \int_0^{2l} \left[(2ql - ql)x_1 + 9l \cdot ql - 3ql^2 - \frac{qx_1^2}{2} \right] (9l - x_1) dx_1 + \\
 &\frac{1}{EI_z} \int_0^{3l} \left[(4l + x_2)ql - ql^2 \right] (x_2 + 4l) dx_2 + \frac{1}{EI_z} \int_0^{4l} [qlx_3] (x_3) dx_3 \\
 v_Q &= \frac{1}{EI_z} \int_0^{2l} \left[qlx_1 + 6ql^2 - \frac{qx_1^2}{2} \right] (9l - x_1) dx_1 + \\
 &\frac{1}{EI_z} \int_0^{3l} [3ql^2 + qlx_2] (x_2 + 4l) dx_2 + \frac{1}{EI_z} \int_0^{4l} [qlx_3] (x_3) dx_3
 \end{aligned}$$

de unde $v_Q = \frac{201,16ql^4}{EI_z}$. După ce s-a făcut primul tabel se poate face și un al doilea tabel cu valorile înlocuite pentru P_Q și M_{izQ} :

$$\begin{aligned}
 \varphi_Q &= \frac{-34,16 \cdot \frac{1,5N}{m} \cdot (0,32m)^3}{2,1 \cdot 10^5 \frac{N}{mm^2} \cdot 63,585 \cdot 10^4 mm^4} = \frac{-34,16 \cdot 1,5 \cdot (0,32)^3 \cdot 10^6}{2,1 \cdot 10^5 \cdot 63,585 \cdot 10^4} = \\
 &= -0,12574 \cdot 10^{-4} [rad]
 \end{aligned}$$

Regiunea barei	$M_{iz}(x)$	$\frac{\partial M_{iz}(x)}{\partial P_Q}$	$\frac{\partial M_{iz}(x)}{\partial M_{izQ}}$	$x \in (...)$
întâi	$qlx_1 + 6ql^2 - \frac{qx_1^2}{2}$	$-x_1 + 9l$	-1	(0;2l)
a II-a	$3ql^2 + qlx_2$	$4l + x_2$	-1	(0;3l)
a III-a	qlx_3	x_3	-1	(0;4l)

$$v_Q = \frac{201,16 \cdot \frac{1,5N}{m} \cdot (0,32m)^4}{2,1 \cdot 10^5 \frac{N}{mm^2} \cdot 63,585 \cdot 10^4 mm^4} = \frac{201,16 \cdot 1,5 \cdot (0,32)^4 \cdot 10^9}{2,1 \cdot 10^5 \cdot 63,585 \cdot 10^4} = 0,023695 mm.$$

6.15. Metoda grafo-analitică de integrare a ecuației diferențiale de ordinul al II-lea a fibrei medii deformate

Fie bara din figura 16 , încărcată cu o sarcină distribuită oarecare,

ecuația fibrei medii deformate este : $EI_z \frac{d^2 v}{dx^2} = -M_{iz}(x)$; prin

integrare se va obține, $EI_z \frac{dv}{dx} = -\int_0^x M_{iz}(x) dx + C$;

$\int_0^x M_{iz}(x) dx = A_{ox}$, reprezintă aria diagramei de

momente încovoietoare pe porțiunea o-x care se notează cu A_{ox} .

Implică relația, $EI_z \frac{dv}{dx} = -A_{ox} + C$; constanta C se calculează

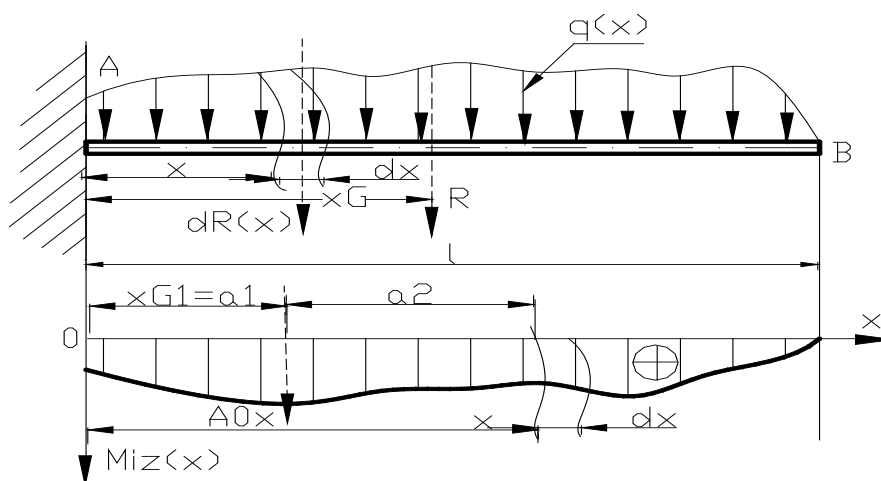


Figura 16

din condiția inițială a lui Cauchy,

$$\lim_{x \downarrow 0} \frac{dv}{dx} = \operatorname{tg} \varphi_0 \approx \varphi_0 = \frac{1}{EI_z} \lim_{x \downarrow 0} [-A_{ox} + C] ; \quad \varphi_0 = \frac{C}{EI_z} ;$$

$$C = EI_z \varphi_0 ; \quad A_{00} = 0 ; EI_z \frac{dv}{dx} = -A_{ox} + EI_z \varphi_0 ; \text{ se integrează încă o}$$

$$\text{dată și vom obține: } EI_z v(x) = EI_z \varphi_0 \cdot x - \int_0^x A_{ox} dx + D .$$

$$\text{Acum se integrează prin părți } \int_0^x A_{ox} dx ; \quad f(x) = A_{ox} ;$$

$$\frac{df}{dx} = \frac{dA_{ox}}{dx} ; \quad dg = dx ; \quad \int dg = \int dx ; \quad g(x) = x ; \text{ formula de}$$

$$\text{integrare prin părți este: } \int f(x)g'(x)dx = f(x).g(x) - \int f'(x)g(x)dx ;$$

$$\int_0^x A_{ox} dx = x.A_{ox} \Big|_0^x - \int_0^x x.dA_{ox} ; \quad \text{cum din figura 16 , reiese că}$$

$$x = a_1 + a_2 , \text{ iar } \int_0^x x.dA_{ox} \text{ reprezintă momentul static al suprafeței}$$

diagramei de momente încovoietoare de pe porțiunea o-x față de

$$\text{origine, deci } \int_0^x x.dA_{ox} = a_1 A_{ox} ; \text{ unde } x = a_1 + a_2$$

$$\int_0^x A_{ox} dx = x.A_{ox} \Big|_0^x - A_{ox}.a_1 = A_{ox}(a_1 + a_2 - a_1) = a_2.A_{ox} = S_{ox} .$$

$$S_{ox} = a_2 A_{ox} \text{ reprezintă momentul static al suprafeței}$$

diagramei de momente încovoietoare de pe porțiunea o-x față de

secțiunea (x) . $EI_z v(x) = EI_z \varphi_0 x - S_{ox} + D$; constanta (D) se

află din condiția inițială a lui Cauchy :

$$\lim_{x \downarrow 0} v(x) = v_0 = \frac{1}{EI_z} \left[\varphi_0 x - \frac{S_{ox}}{EI_z} + \frac{D}{EI_z} \right] ; \quad v_0 = \frac{D}{EI_z} ;$$

$$D = v_0 \cdot E I_z ; EI_z v(x) = EI_z \varphi_0 x - S_{ox} + v_0 EI_z.$$

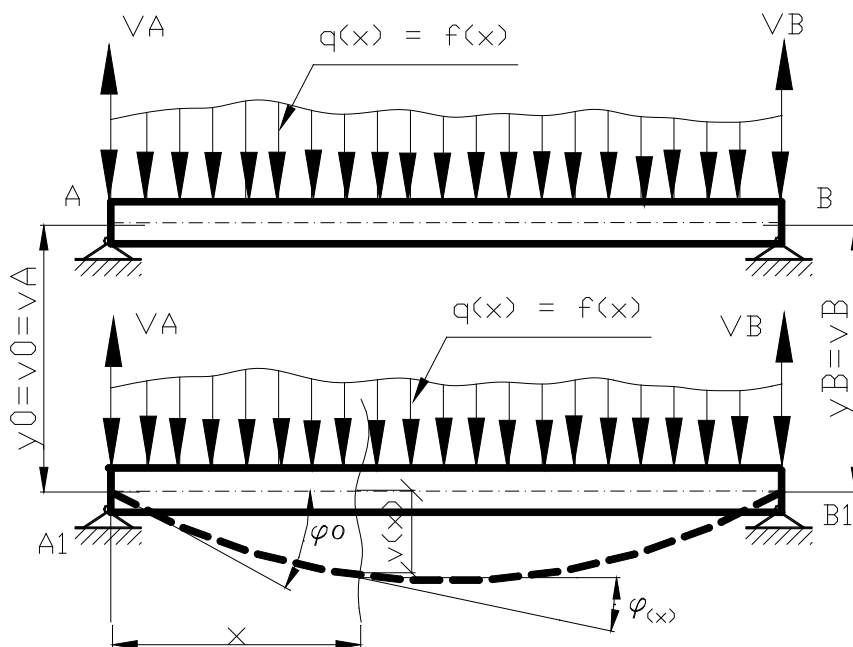


Figura 17

Această metodă este o combinație între metoda grafică și cea analitică, dar pentru expresii mai dificile ale sarcinii distribuite de încărcare $q(x) = f(x)$, devine mai greu de aplicat, metoda aceasta ajută la demonstrarea ecuației celor trei momente (**ecuația lui Clapeyron**), care este folosită la rezolvarea grinzilor continue.

Problema nr. 7

Să se calculeze săgeata și rotirea secțiunii transversale din punctul Q, pentru bara din figura 20, știind că : $E = 2,1 \cdot 10^5 \text{ N/mm}^2$; $l = 0,43 \text{ m}$ având secțiunea transversală circulară inelară cu $d=40 \text{ mm}$ și $D = 50 \text{ mm}$.

Rezolvare:

$$I_z = \frac{\pi}{64} (50^4 - 40^4) = 18,104063 \cdot 10^4 \text{ mm}^4;$$

Aflăm forțele de reacțiune V_A și V_B din condițiile de echilibru:

$$\sum F_y = 0; \quad V_A - 1 \text{ kN} + V_B = 0; \quad \text{ecuația de verificare.}$$

$$\sum M_{iz}(A) = 0; \quad 1 \text{ kN} \cdot 0,1 \text{ m} - 3 \text{ kN} \cdot \text{m} - V_B \cdot 1,6 \text{ m} = 0;$$

$$V_B = -\frac{2,9 \text{ kN}}{1,6} = -1,8125 \text{ kN}; \quad \sum M_{iz}(B) = 0$$

$$-1 \text{ kN} \cdot 1,5 \text{ m} - 3 \text{ kN} \cdot \text{m} + V_A \cdot 1,6 \text{ m} = 0; \quad V_A = \frac{4,5 \text{ kN}}{1,6} = 2,8125 \text{ kN};$$

$V_A - 1 \text{ kN} + V_B = 0$; ecuația de verificare, $2,8125 \text{ kN} - 1 \text{ kN} - 1,8125 \text{ kN} = 0$; $0 = 0$ este îndeplinită ecuația de verificare, deci s-au calculat corect forțele de reacțiune.

Deoarece $V_B = -1,8125 \text{ kN}$, se schimbă sensul, acest lucru nu este obligatoriu.

Regiunea întâi

$$x_1 \in [0; 0,1 \text{ m}); \quad M_{iz}(x_1) = 2,8125 \text{ kN} \cdot x_1; \quad \lim_{x_1 \downarrow 0} M_{iz}(x_1) = 0;$$

$$\lim_{x_1 \uparrow 0,1 \text{ m}} M_{iz}(x_1) = 2,8125 \text{ kN} \cdot 0,1 \text{ m} = 0,28125 \text{ kN} \cdot \text{m}$$

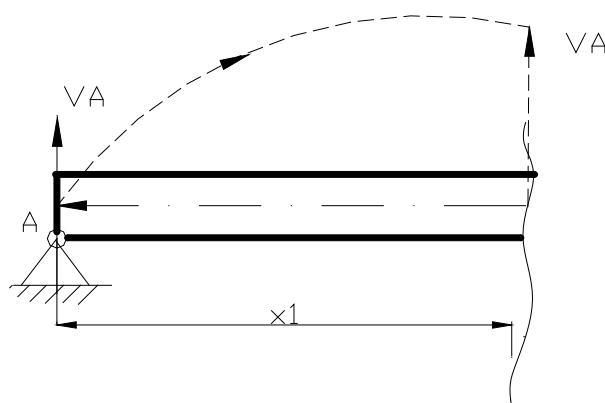


Figura 18

Regiunea a II-a

$$x_2 \in [0,1 \text{ m}; 0,7 \text{ m}); \quad M_{iz}(x_2) = 2,8125 \text{ kN} \cdot x_2 - 1 \text{ kN}(x_2 - 0,1 \text{ m});$$

$$\lim_{x_2 \downarrow 0,1 \text{ m}} M_{iz}(x_2) = 2,8125 \text{ kN} \cdot 0,1 \text{ m} = 0,28125 \text{ kN} \cdot \text{m};$$

$$\lim_{x_2 \uparrow 0,7m} M_{iz}(x_2) = 2,8125kN \cdot 0,7m - 1kN \cdot 0,6m = 1,36875kN \cdot m$$

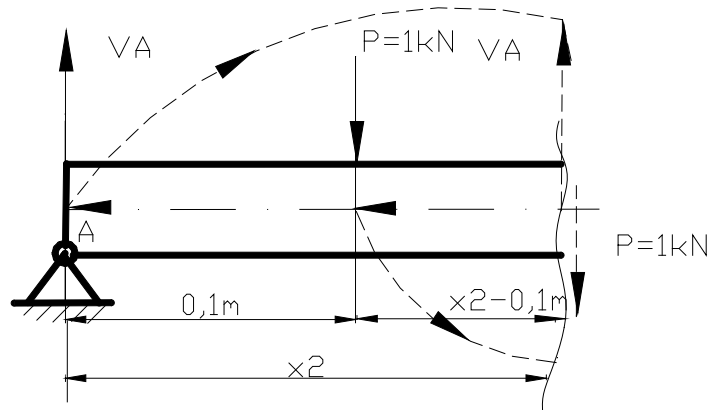


Figura 19

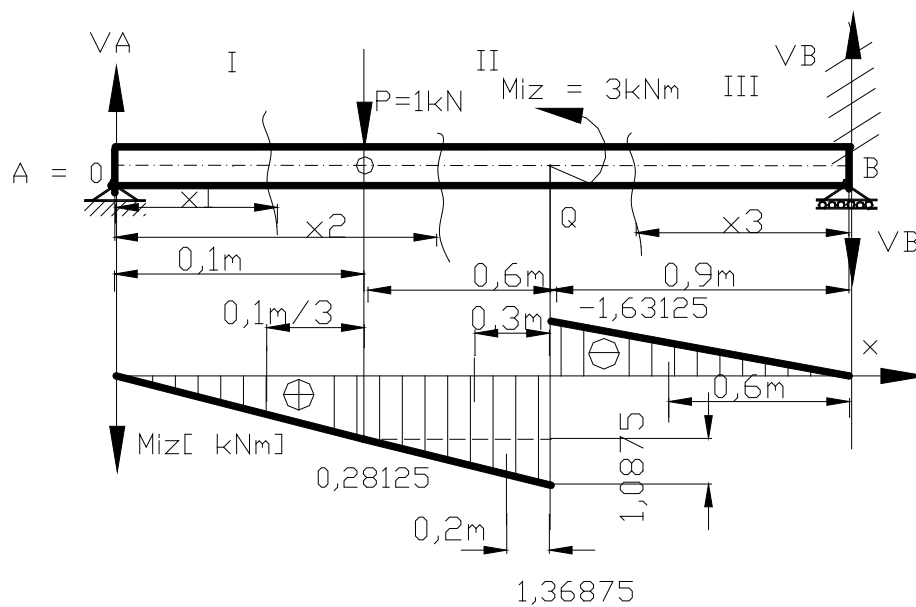


Figura 20

Regiunea a III-a

$$x_3 \in (0; 0,9m]; \quad M_{iz}(x_3) = -1,8125kN \cdot x_3;$$

$$\lim_{x_3 \uparrow 0,9m} M_{iz}(x_3) = -1,8125kN \cdot 0,9m = -1,63125kN \cdot m;$$

$$\lim_{x_3 \downarrow 0} M_{iz}(x_3) = 0.$$

Se ia ca origine unul din capetele barei A - O, această origine trebuie să rămână neschimbată pe tot timpul rezolvării problemei.

$$EI_z \frac{dv}{dx} = EI_z \varphi_0 - A_{ox}; \quad EI_z v(x) = EI_z \varphi_0 x - S_{ox} + v_0 EI_z; \quad \text{dar}$$

$v_0 = 0$ în cazul nostru, $EI_z v(x) = EI_z \varphi_0 x - S_{ox}$; pentru a afla pe φ_0 (rotirea secțiunii transversale în origine) folosim a II-a condiție de reazem, anume săgeata în B este egală cu zero ($v_B = 0$).

$$\begin{aligned} \lim_{x \uparrow 1,6m} v(x) = v_B = 0 &= \frac{1}{EI_z} \lim_{x \uparrow 1,6m} (EI_z \varphi_0 x - S_{ox}) = \\ &= \varphi_0 \cdot 1,6m - \frac{S_{OB}}{EI_z} \end{aligned}$$

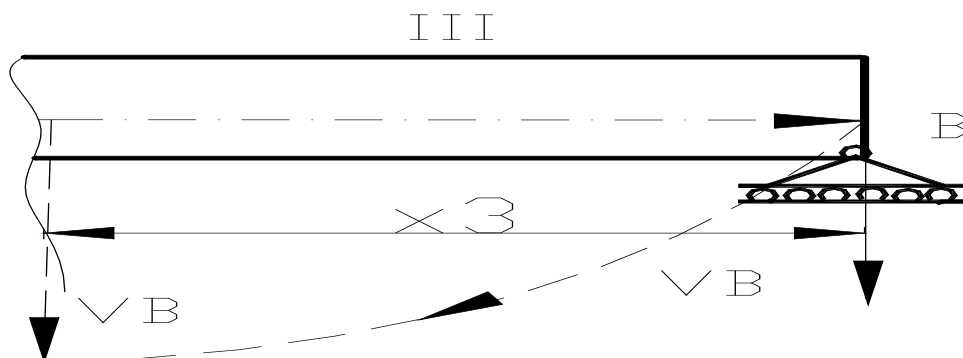


Figura 21

$$\varphi_0 = \frac{S_{OB}}{EI_z \cdot 1,6m}.$$

S-a desfăcut trapezul dreptunghic într-un triunghi și un dreptunghi, conform principiului suprapunerii efectelor.

$$\begin{aligned}
 S_{OB} &= \frac{0,28125kN.m.0,1m}{2} \left(\frac{0,1m}{3} + 1,5m \right) + \\
 &+ 0,28125kN.m.0,6m(0,3m + 0,9m) - \frac{1,63125kN.m.0,9m}{2} (0,6m) + \\
 &+ \frac{1,0875kNm.0,6m}{2} (0,2m + 0,9m) = 142,5 \cdot 10^{-3} kN.m^3 = \\
 &= 142,5 \cdot 10^9 N.mm^3
 \end{aligned}$$

$$\begin{aligned}
 \varphi_0 &= \frac{S_{OB}}{1,6m.EI_z} = \frac{142,5 \cdot 10^9 N.mm^3}{2,1 \cdot 10^5 \frac{N}{mm^2} \cdot 18,104063 \cdot 10^4 mm^4 \cdot 1,6 \cdot 10^3 mm} = \\
 &= 2,342608 \cdot 10^{-3} [rad]
 \end{aligned}$$

Pentru a afla săgeata și rotirea secțiunii transversale din punctul Q , trebuie să ținem cont de originea care se află în A= O.

$$\begin{cases} EI_z \frac{dv}{dx} = EI_z \varphi_0 - A_{ox} \\ EI_z v(x) = EI_z \varphi_0 x - S_{ox} \end{cases}; \quad \text{pentru Q avem :}$$

$$\varphi_Q = \lim_{x \uparrow 0,7m} \left(\varphi_0 - \frac{A_{ox}}{EI_z} \right) = \lim_{x \uparrow 0,7m} \frac{dv}{dx} = \lim_{x \uparrow 0,7m} \frac{EI_z \varphi_0 - A_{ox}}{EI_z};$$

$$\varphi_Q = \varphi_0 - \frac{A_{OQ}}{EI_z};$$

$$\begin{aligned}
 A_{OQ} &= \frac{0,28125kN.m.0,1m}{2} + 0,28125kN.m.0,6m + \frac{1,0875kN.m.0,6m}{2} = \\
 &= 0,509063kN.m^2 = 0,509063 \cdot 10^9 N.mm^2
 \end{aligned}$$

$$\begin{aligned}
 \varphi_Q &= 2,342608 \cdot 10^{-3} [rad] - \frac{0,509063 \cdot 10^9 N.mm^2}{2,1 \cdot 10^5 \frac{N}{mm^2} \cdot 18,104063 \cdot 10^4 mm^4} = \\
 &= -0,01104 [rad]
 \end{aligned}$$

$$\begin{aligned}
 v_Q &= \lim_{x \uparrow 0,7m} \frac{EI_z \varphi_0 x - S_{ox}}{EI_z} = \lim_{x \uparrow 0,7m} \left(\varphi_0 x - \frac{S_{ox}}{EI_z} \right) = \\
 &= \varphi_0 \cdot 0,7m - \frac{S_{oQ}}{EI_z} \\
 S_{oQ} &= \frac{0,28125kNm \cdot 0,1m}{2} \left(\frac{0,1m}{3} + 0,6m \right) + 0,28125kNm \cdot 0,6m \cdot 0,3m + \\
 &+ \frac{1,0875kNm \cdot 0,6m}{2} \cdot 0,2m = 0,124781kNm^3 \\
 S_{OQ} &= 0,124781 \cdot 10^{12} N \cdot mm^3 ; \\
 v_Q &= 2,342608 \cdot 10^{-3} [rad] \cdot 0,7 \cdot 10^3 mm - \\
 &- \frac{0,124781 \cdot 10^{12} N \cdot mm^3}{2,1 \cdot 10^5 \frac{N}{mm^2} \cdot 18,104063 \cdot 10^4 mm^4} = -1,64217 mm .
 \end{aligned}$$

Problema nr.8

Să se calculeze săgeata și rotirea secțiunii transversale din punctul Q , pentru bara din figura 22 , știind că :

$E = 2,1 \cdot 10^5 N/mm^2$; $P = 2 kN$; $l = 0,63 m$ cu secțiunea transversală din figura 23.

Rezolvare:

Aflăm forțele de reacțiune V_A și V_B din condițiile de echilibru:

$\sum F_y = 0$; $V_A + V_B = P$; ecuația de verificare.

$$\sum M_{iz}(A) = 0 ; \quad P \cdot l - V_B \cdot 4l = 0 ; \quad V_B = \frac{P}{4} .$$

$$\sum M_{iz}(B) = 0 ; \quad -3l \cdot P + V_A \cdot 4l = 0 ; \quad V_A = \frac{3P}{4} ; \quad ;$$

$$V_A + V_B = P ; \text{ ecuația de verificare ; } \frac{3P}{4} + \frac{P}{4} = P ; \quad P = P , \text{ este}$$

îndeplinită ecuația de verificare, deci s-au calculat corect forțele de reacțiune .

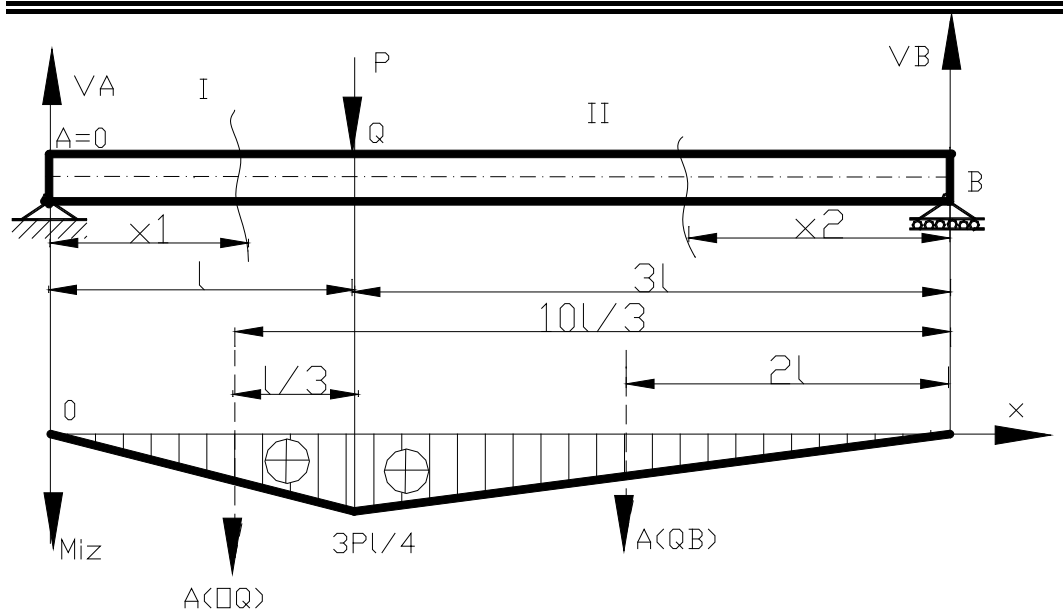


Figura 22

Se calculează mai întâi caracteristicile secțiunii transversale, apoi se calculează și celelalte date ale problemei.

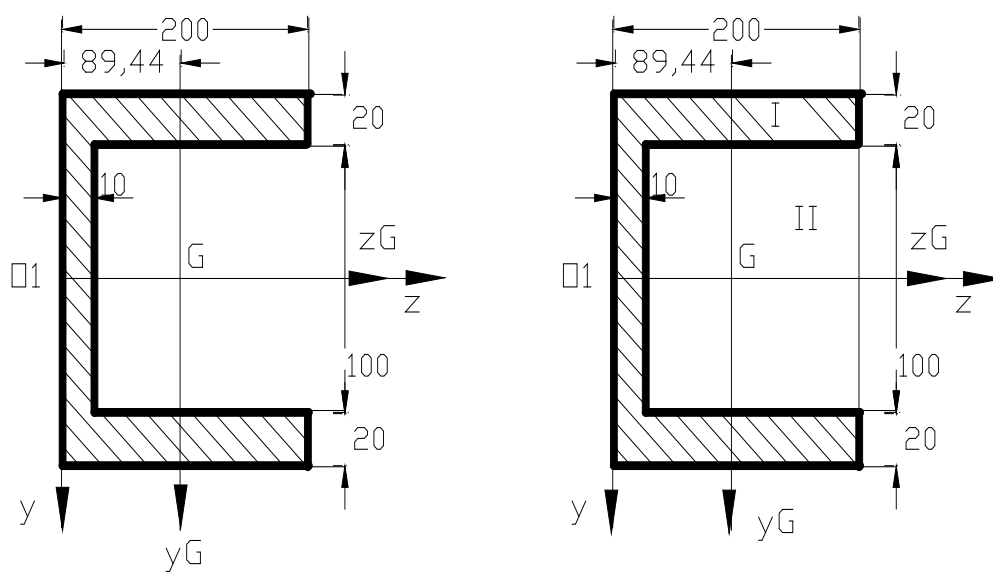


Figura 23

$$I_z = I_z^I - I_z^{II}; \quad I_z^I = \frac{200 \cdot 140^3}{12}; \quad I_z^{II} = \frac{190 \cdot 100^3}{12};$$

$$I_z = I_z^I - I_z^{II} = \frac{200 \cdot 140^3}{12} - \frac{190 \cdot 100^3}{12};$$

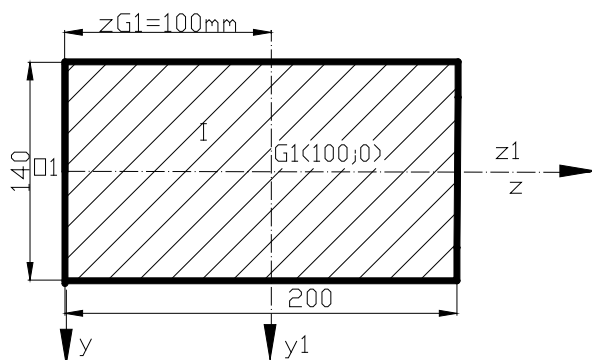


Figura 24

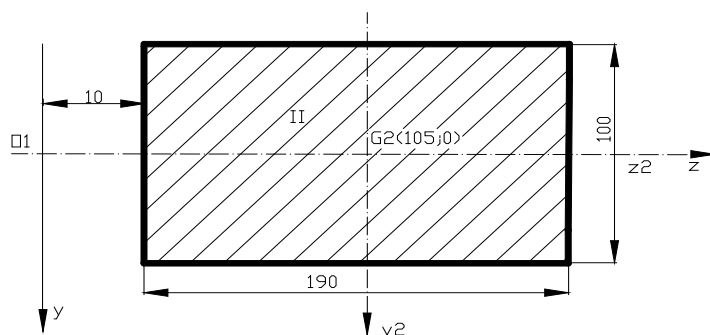


Figura 25

$$I_z = 29,9 \cdot 10^6 \text{ mm}^4;$$

$$z_G = \frac{z_1 A_1 - z_2 A_2}{A_1 - A_2} = \frac{100 \text{ mm} \cdot 28 \cdot 10^3 \text{ mm}^2 - 195 \text{ mm} \cdot 19000 \text{ mm}^2}{28000 \text{ mm}^2 - 19000 \text{ mm}^2} =$$

$$= 89,44 \text{ mm}$$

$$\text{cu } z_1 = 100 \text{ mm}; \quad A_1 = 140 \cdot 200 \text{ mm}^2;$$

$A_1 = 28000 \text{ mm}^2$; $z_2 = 105 \text{ mm}$; $A_2 = 190 \cdot 100 \text{ mm}^2 = 19000 \text{ mm}^2$; pentru calculul săgeților și a rotirilor, vom aplica metoda grafo-analitică.

$$\begin{cases} EI_z \frac{dv}{dx} = EI_z \varphi_0 - A_{ox} \\ EI_z v(x) = EI_z \varphi_0 x + v_0 EI_z - S_{ox} \end{cases}; \text{ dar cum săgeata în articulația A}$$

este egală cu zero , $v_0 = 0$,

$$\begin{cases} EI_z \frac{dv}{dx} = EI_z \varphi_0 - A_{ox} \\ EI_z v(x) = EI_z \varphi_0 x - S_{ox} \end{cases}; \text{ și } \varphi_0 \text{ (rotirea din origine) se află cu}$$

ajutorul celei de a II-a condiție de reazem.

$$\begin{aligned} \lim_{x \uparrow 4l} v(x) = v_B = 0 &= \frac{1}{EI_z} \lim_{x \uparrow 1,6m_z} (EI_z \varphi_0 x - S_{ox}) = \\ &= \varphi_0 \cdot 4l - \frac{S_{OB}}{EI_z} = 0 \end{aligned}; \quad \varphi_0 = \frac{S_{OB}}{4lEI_z};$$

$$S_{OB} = \frac{10l}{3} A_{OQ} + 2l \cdot A_{QB} = \frac{10l}{3} \frac{3Pl^2}{8} + 2l \cdot \frac{9Pl^2}{8} = 3,5Pl^3; \text{ să}$$

calculăm și cu ajutorul calculului integral .

Regiunea întâi

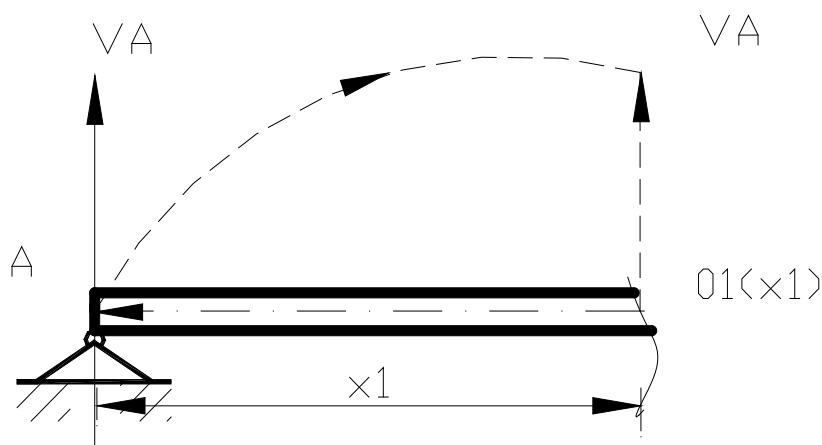


Figura 26

$$x_1 \in (0;l) \quad ; \quad M_{iz}(x_1) = V_A x_1 = \frac{3P}{4} x_1;$$

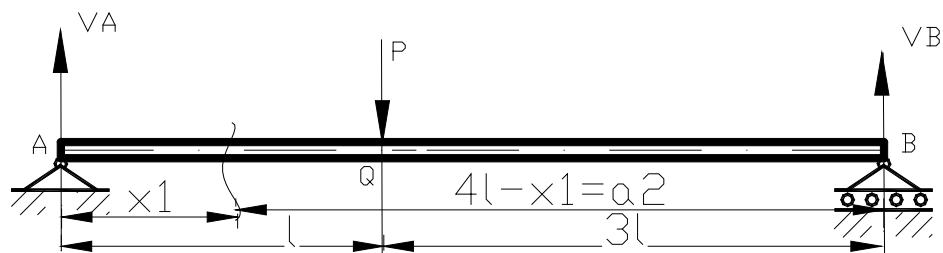


Figura 27

Regiunea a-II-a $x_2 \in (0; 3l)$; $M_{iz}(x_2) = V_B x_2 = \frac{P}{4} x_2$;

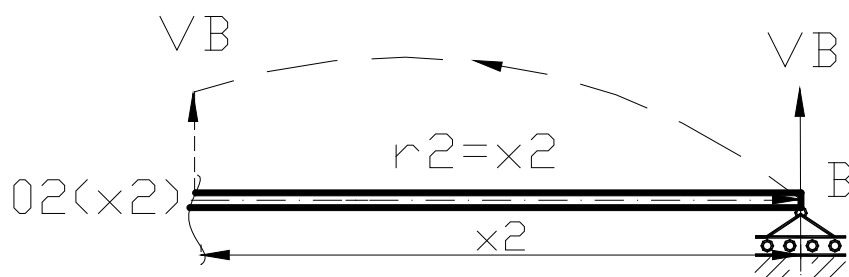


Figura 28

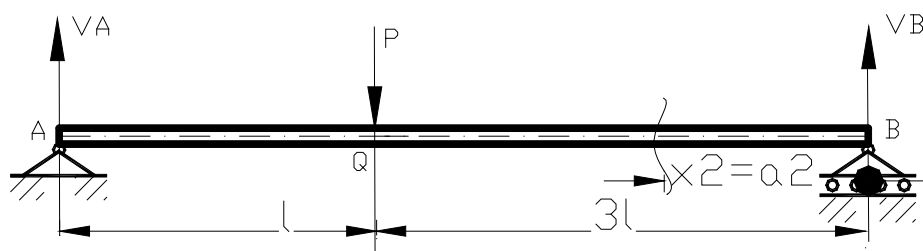


Figura 29

$$S_{OB} = \int_0^l (4l - x_1) M_{iz}(x_1) dx_1 + \int_0^{3l} x_2 M_{iz}(x_2) dx_2 = \int_0^l (4l - x_1) \frac{3Px_1}{4} dx_1 +$$

$$+ \int_0^{3l} x_2 \frac{Px_2}{4} dx_2$$

$$S_{OB} = 3,5Pl^3$$

$$\varphi_0 = \frac{S_{OB}}{4lEI_z} = \frac{3,5Pl^3}{4lEI_z} = \frac{3,5 \cdot 2kN \cdot (0,6m)^2}{4 \cdot 2,1 \cdot 10^5 \frac{N}{mm^2} \cdot 29,9 \cdot 10^6 mm^4} =$$

$$= \frac{3,5 \cdot 2 \cdot 10^3 N \cdot (0,6)^2 10^6 mm^2}{4 \cdot 2,1 \cdot 10^5 \frac{N}{mm^2} \cdot 29,9 \cdot 10^6 mm^4} ;$$

$$\varphi_0 = 0,010033 \cdot 10^{-2} [rad] .$$

Săgeata și rotirea în Q :

$$\varphi_Q = \lim_{x \uparrow l} \left(\varphi_0 - \frac{A_{ox}}{EI_z} \right) = \lim_{x \uparrow l} \frac{dv}{dx} = \lim_{x \uparrow l} \frac{EI_z \varphi_0 - A_{ox}}{EI_z} ;$$

$$\varphi_Q = \varphi_0 - \frac{A_{OQ}}{EI_z} ;$$

$$\varphi_Q = 0,010033 \cdot 10^{-2} [rad] - \frac{A_{OQ}}{EI_z} ;$$

$$A_{OQ} = \frac{3Pl^2}{8} = \frac{3 \cdot 2kN \cdot (0,63m)^2}{8} = \frac{3 \cdot 10^3 N \cdot (0,63)^2 10^6 mm^2}{4} =$$

$$= 0,297675 \cdot 10^9 Nmm^2$$

$$\varphi_Q = 0,010033 \cdot 10^{-2} [rad] - \frac{0,297675 \cdot 10^9 Nmm^2}{2,1 \cdot 10^5 \frac{N}{mm^2} \cdot 29,9 \cdot 10^6 mm^4} =$$

$$= 0,005292 \cdot 10^{-2} [rad]$$

Săgeata din punctul Q :

$$v_Q = \lim_{x \uparrow l} \frac{EI_z \varphi_0 x - S_{ox}}{EI_z} = \lim_{x \uparrow l} \left(\varphi_0 x - \frac{S_{ox}}{EI_z} \right) = \varphi_0 l - \frac{S_{OQ}}{EI_z} ;$$

$$S_{OQ} = A_{OQ} \frac{l}{3} = \frac{3Pl^2}{8} \frac{l}{3} = \frac{Pl^3}{8} ;$$

sau calculăm cu integrala:

$$S_{OQ} = \int_0^l (l - x_1) M_{iz}(x_1) dx_1 = \int_0^l (l - x_1) \frac{3Px_1}{4} dx_1 = \frac{Pl^3}{8} ;$$

$$S_{oQ} = \frac{2kN(0,63m)^3}{8} = \frac{10^3 N(0,63)^3 10^9 mm^3}{4} = 0,062512 \cdot 10^{12} Nmm^3$$

$$v_Q = 0,010033 \cdot 10^{-2} [rad] 0,63 \cdot 10^3 mm - \frac{0,62512 \cdot 10^{12} N \cdot mm^3}{2,1 \cdot 10^5 \frac{N}{mm^2} 29,9 \cdot 10^6 mm^4} =$$

$$= 0,053252 mm$$

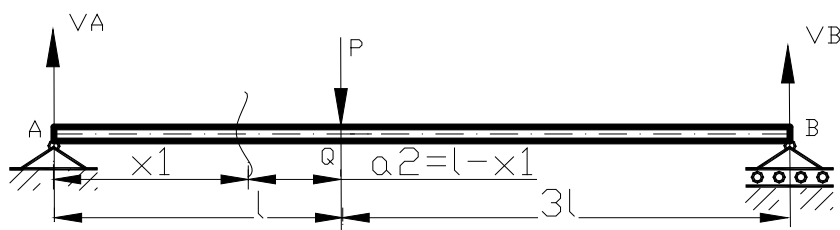


Figura 30

6.16. Studiul deplasărilor prin metode energetice

Lucrul mecanic al forțelor exterioare

6.16.1. Bara supusă la întindere sau compresiune



Figura 31

Barei din figura 31 se aplică o forță de întindere, a cărei valoare crește progresiv de la zero la P.

$$\delta = \Delta l = \frac{Pl}{EA} = kP$$

Lucrul mecanic elementar al unei forțe \vec{P} , corespunzător deplasării $d\vec{l}$ a punctului de aplicație este conform definiției din mecanică:

$dL = \vec{P} \cdot d\vec{l} = P \cdot dl \cdot \cos \alpha$, unde unghiul α fiind unghiul între direcția forței și cea a deplasării.

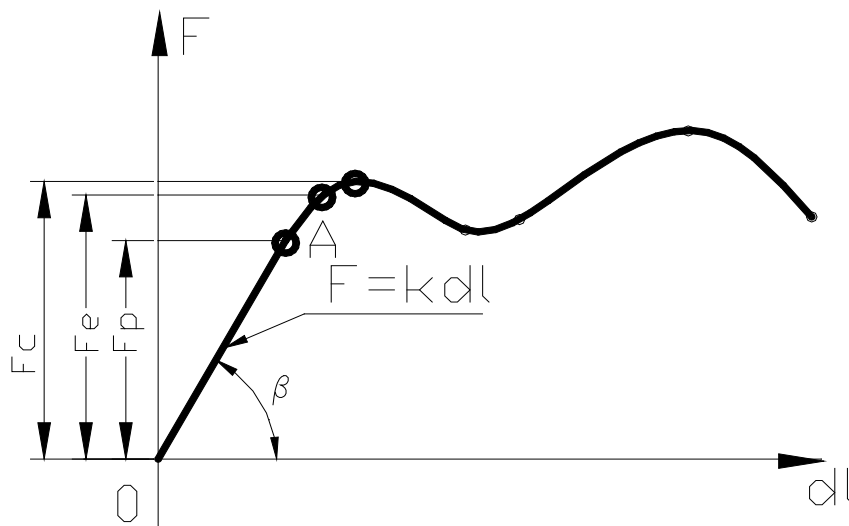


Figura 32

În cazul nostru, bara fiind solicitată la întindere, $\alpha = 0$;
 $\cos \alpha = \cos 0 = 1$; și $dl = d\delta$, iar lucrul mecanic elementar
 $dL = P \cdot d\delta = P k dP$; $dL = k P dP$;

$\int dL = \int k P dP = k \int P dP = k \frac{P^2}{2} = k P \cdot \frac{P}{2} = \frac{\delta P}{2}$; această relație se poate face și pentru alte solicitări simple.

6.16.2. Bara supusă la încovoiere pură

Din figura 33, rezultă: $x \in (0, l)$; $M_{iz}(x) = -M_0$;

Lucrul mecanic de deformație înmagazinat în această bară va fi:

$$L = \sum \int \frac{M_{iz}^2(x)}{2EI_z} dx; \quad M_{iz}(x) = -M_0 = \text{constant};$$

$$L = \sum \int \frac{M_{iz}^2(x)}{2EI_z} dx = \int_0^l \frac{(-M_0)^2}{2EI_z} dx = \frac{M_0^2}{2EI_z} x \Big|_0^l = \frac{M_0^2 l}{2EI_z}$$

Dar unghiulul în capătul liber al barei este: $\varphi = \frac{\partial L}{\partial M_0} = \frac{2M_0 l}{2EI_z} = \frac{M_0 l}{EI_z}$;

deci lucrul mecanic al cuplului exterior M_0 , fiind $L = \frac{M_0 \varphi}{2}$.

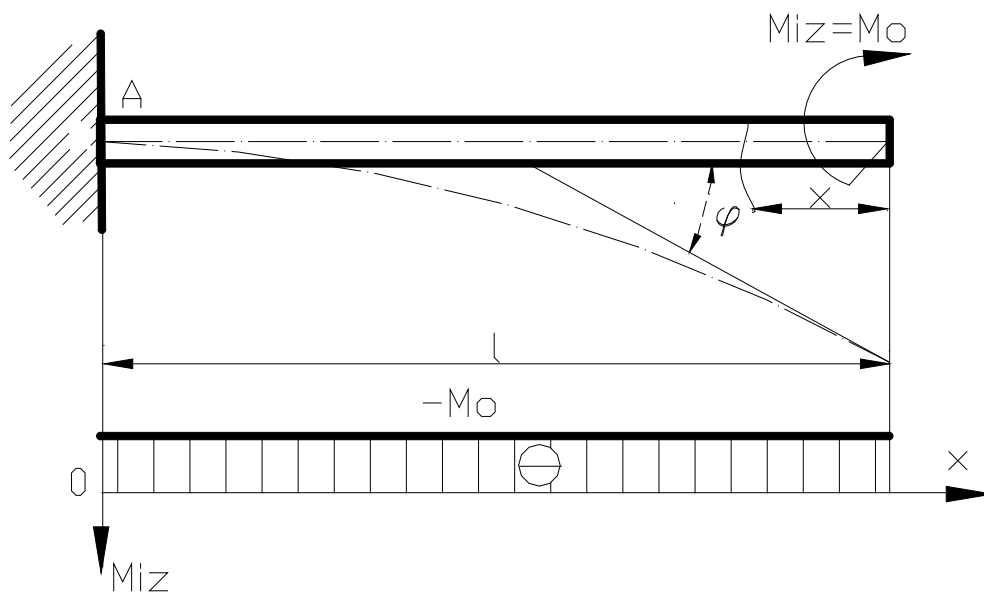


Figura 33

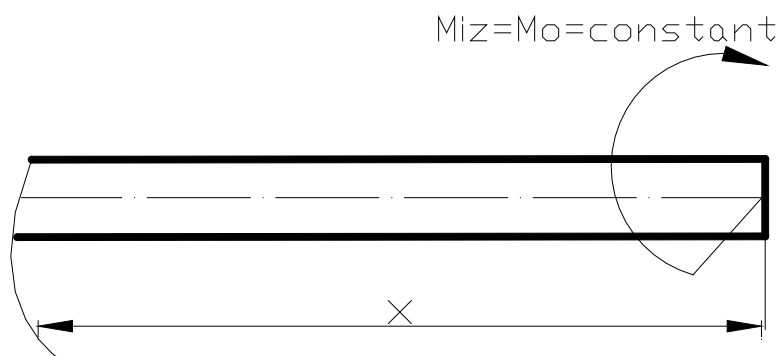
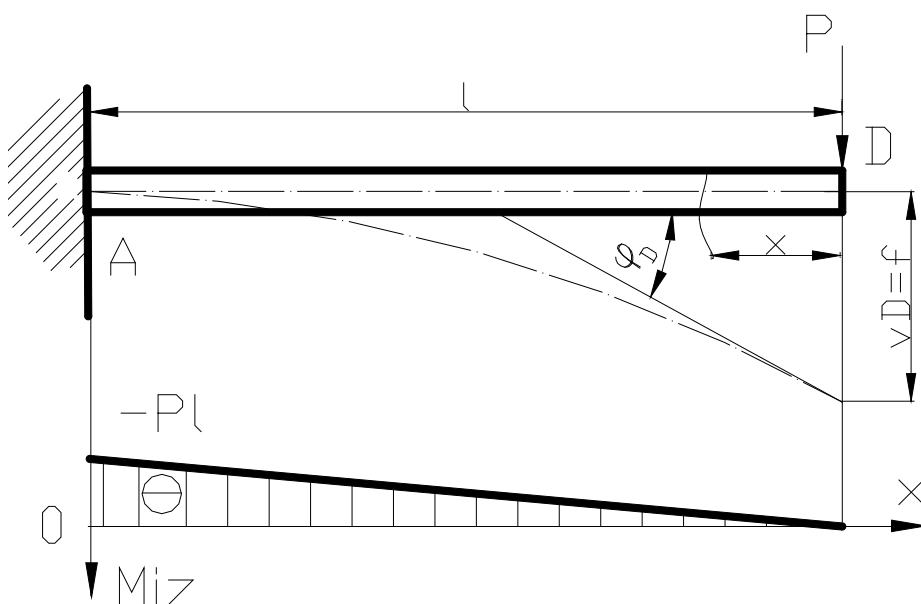


Figura 34

6.16.3. Bara supusă la solicitarea de încovoiere simplă

$$x \in (0, l); \quad M_{iz}(x) = -Px; \quad \lim_{x \downarrow 0} M_{iz}(x) = \lim_{x \downarrow 0} (-Px) = 0;$$

$$\lim_{x \uparrow l} M_{iz}(x) = \lim_{x \uparrow l} (-Px) = -Pl;$$


Figura 35

$$L = \sum \int \frac{M_{iz}^2(x)}{2EI_z} dx = \int_0^l \frac{(-Px)^2}{2EI_z} dx = \frac{P^2}{2EI_z} \frac{x^3}{3} \Big|_0^l = \frac{P^2 l^3}{6EI_z};$$

$$v_D = f_D = \frac{\partial L}{\partial P} = \frac{2Pl^3}{6EI_z} = \frac{Pl^3}{3EI_z}; \quad L = \frac{P \cdot v_D}{2} = \frac{Pf}{2}; \quad f = f_D.$$

6.16.4. Bara supusă la solicitarea de răsucire a unui arbore

$$x \in (0, l); \quad M_t(x) = M_{t0};$$

$$L = \sum \int \frac{M_t^2(x)}{2GI_p} dx = \int_0^l \frac{M_{t0}^2(x)}{2GI_p} dx = \int_0^l \frac{M_{t0}^2}{2GI_p} dx = \frac{M_{t0}^2}{2GI_p} x \Big|_0^l = \frac{M_{t0}^2 l}{2GI_p};$$

$$\Delta\varphi_B = \frac{\partial L}{\partial M_{t0}} = \frac{2M_{t0}l}{2GI_p} = \frac{M_{t0}l}{GI_p}; \quad L = \frac{M_{t0}\Delta\varphi_B}{2}. \text{ În toate cazurile}$$

în care relația între forță sau cuplul exterior și deformația corespunzătoare este liniară, iar aplicarea sarcinii se face static, lucrul mecanic al forțelor exterioare este egal cu energia de deformație

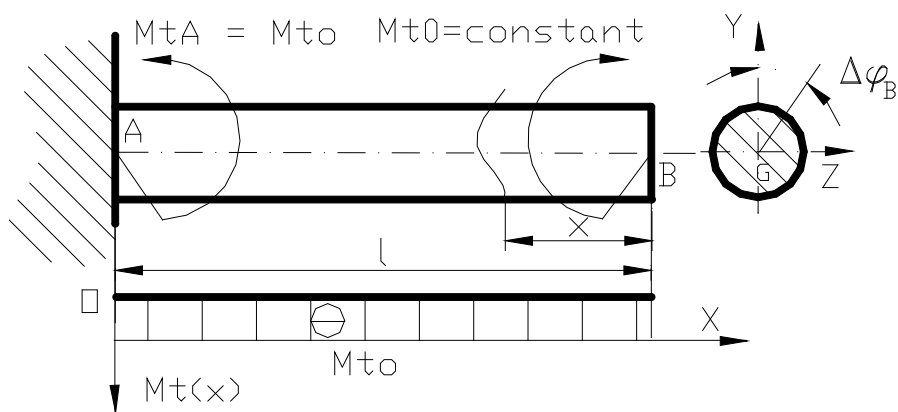


Figura 36

acumulată având o expresie dată de formulele arătate mai sus. Aceste expresii pe grafic reprezintă aria triunghiului OAB.

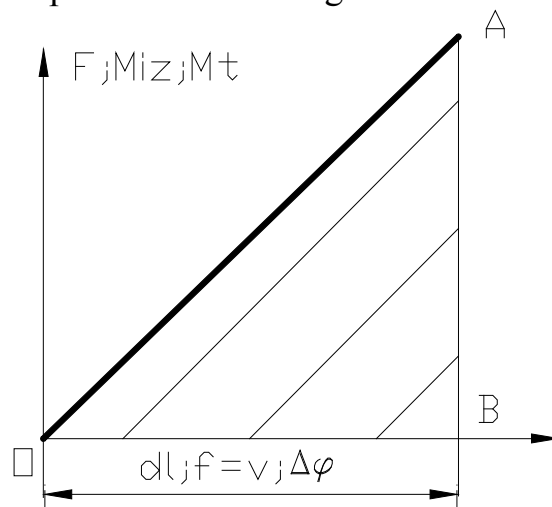


Figura 37

6.17. Teoremele reciprocității lucrului mecanic și a deplasărilor.

Teorema lui Betti

Asupra unui corp oarecare se aplică două stări succesive de sollicitare, produse de două grupe succesive de sarcini, aplicând asupra corpului prima stare de sollicitare, punctele de aplicație ale forțelor suferă deplasări, deci forțele produc lucrul mecanic, iar corpul acumulează energia L_{11} .

Primul indice (1) indică faptul că lucrul mecanic este produs de forțele din prima stare de sollicitare, al doilea indice (1) indică deplasările din prima stare.

Apoi pe corpul deformat se aplică o a doua grupă de forțe, deci o a doua stare de sollicitare, care cauzează o a doua grupă de deplasări, în acest moment, forțele din a doua stare produse, corespunzător deplasărilor produse de ele, lucrul mecanic L_{22} .

În același timp însă, forțele din prima stare, care se aflau aplicate pe corp, produc, datorită deplasărilor, produse din a doua stare, lucrul mecanic L_{12} , în final energia acumulată de corp, egală cu lucrul mecanic al forțelor exterioare, este $L_{11} + L_{22} + L_{12}$.

Schimbând ordinea de aplicare a sarcinilor, deci începând cu a doua și aplicând același raționament, rezultă lucrul mecanic total

$L_{22} + L_{11} + L_{21}$, unde L_{21} este lucrul mecanic datorită forțelor din a doua stare și deplasările produse de prima, în fond energia totală fiind aceeași deci: $L_{11} + L_{22} + L_{12} = L_{22} + L_{11} + L_{21}$.

Implică $L_{12} = L_{21}$; aceasta fiind teorema reciprocității lucrului mecanic sau **teorema lui Betti** care este: dacă asupra unui corp deformabil se aplică două stări de încărcare succesive, lucrul mecanic efectuat de forțele (și cuplurile) din prima stare cu deplasările (săgeți și unghiuri) din a doua este egal cu lucrul mecanic efectuat din a doua stare cu deplasările din prima stare de încărcare.

Problema nr.9

Să se calculeze săgeata din punctul D, pentru bara din figura 38 a), știind că: $E = 2,1 \cdot 10^5 \text{ N/mm}^2$; $F = 4 \text{ kN}$; $l = 0,73 \text{ m}$, secțiunea transversală fiind circulară cu diametru $d = 60 \text{ mm}$.

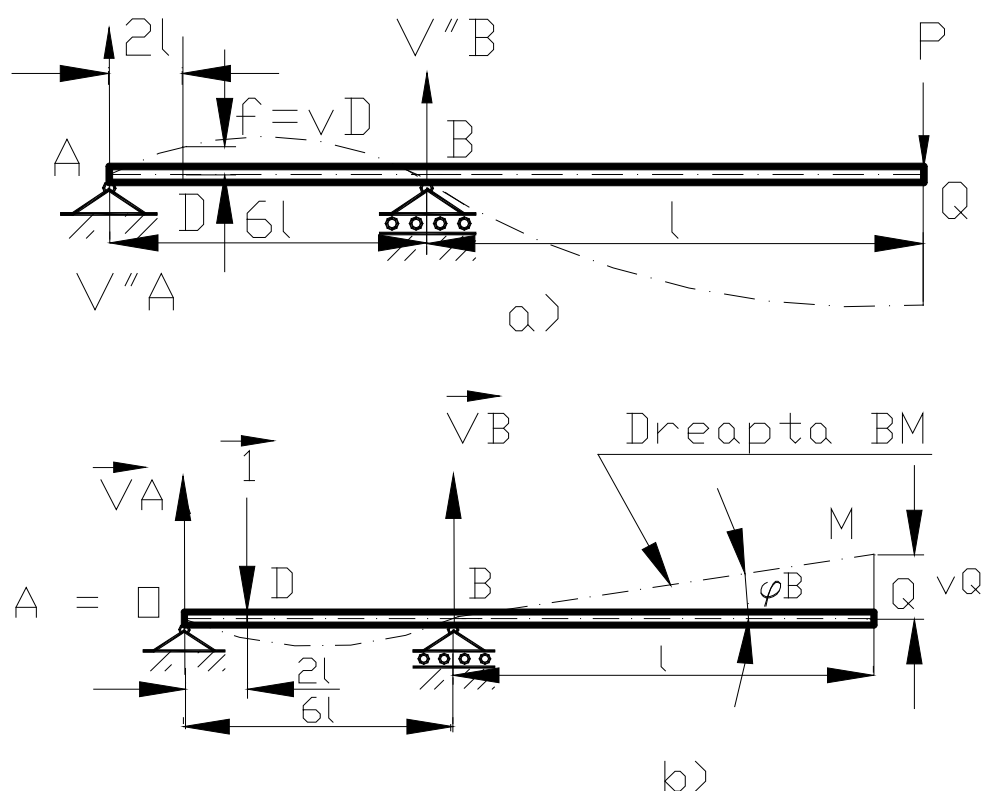


Figura 38

$I_z = \frac{\pi \cdot 60^4}{64} = 635850 \text{ mm}^4$; prima stare de încărcare, se ia

încărcarea reală a barei, iar drept a doua stare se aplică o forță egală cu unitatea (forța versor a forței P) în secțiunea unde urmează a se afla săgeata [figura 38 cazul b)]. Deci bara este supusă succesiv la

forțele $\left(\vec{P}; \vec{1} = \frac{\vec{P}}{|\vec{P}|} = \vec{u}_{\vec{P}} \right)$, $\vec{1}$ este forța versor (unitate) și se aplică în

secțiunea transversală D. Lucrul mecanic al forțelor din prima stare de încărcare, adică a forței P, cu deplasarea corespunzătoare de la a doua stare este $L_{12} = -Pv$;

$v = v_Q$ (s-a luat cu minus pentru că v este în sens invers cu forța P).

Analog , forța versor (unitară) de la a doua stare cu deplasarea din dreptul ei de la prima stare dă $L_{21} = -1.f$ (semnul minus pentru că forța unitară s-a luat de sens contrar săgeții f) deci : $L_{12} = L_{21}$;
 $-P_v = -1.f$; rezultă că $P_v = 1.f$, $[P_v] = [1.f]$; $[P][v] = [1].[f]$;
 $[kN] . [m] = [kN] . [m]$ (forța unitate poate fi : 1 kN ; 1 N ; etc.) .
 Pentru bara din figura 38 cazul b) :

$\sum F_y = 0$; $V_A + V_B = 1$; ecuația de verificare.

$$\sum M_{iz}(A) = 0 ; \quad 1.2l - V_B . 6l = 0 ; \quad V_B = \frac{1}{3} ; \quad \sum M_{iz}(B) = 0 ;$$

$$-1.4l + V_A . 6l = 0 ; \quad V_A = \frac{2}{3} .$$

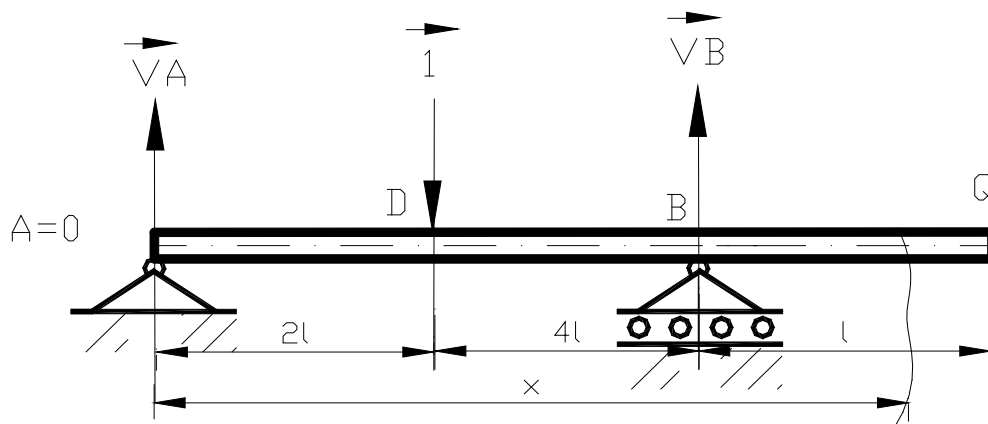


Figura 39

$V_A + V_B = 1$; ecuația de verificare, $\frac{2}{3} + \frac{1}{3} = 1$; este îndeplinită

ecuația de verificare.

Aplicăm procedeul Clebsch, pentru calculul săgeților și a rotirilor, în cazul nostru trebuie să determinăm rotirea în punctul A (rotirea în origine) , am luat ca origine capătul A ($A = 0$ și această origine rămâne neschimbată pe tot timpul rezolvării problemei).

$$M_{iz}(x) = \frac{2x}{3} - 1(x - 2l) + \frac{1}{3}(x - 6l) ; \quad \text{este expresia momentului}$$

generalizator din ultima regiune, $EI_z \frac{d^2 v}{dx^2} = -M_{iz}(x) ;$

$$EI_z \frac{d^2 v}{dx^2} = -\frac{2x}{3} + 1(x-2l) - \frac{1}{3}(x-6l)$$

$$\left\{ \begin{array}{l} EI_z \frac{dv}{dx} = -\frac{x^2}{3} + \frac{(x-2l)^2}{2} - \frac{(x-6l)^2}{6} + C \\ EI_z v(x) = -\frac{x^3}{9} + \frac{(x-2l)^3}{6} - \frac{(x-6l)^3}{18} + Cx + D \end{array} \right.$$

$$\lim_{x \uparrow 0} v(x) = v_A = 0 = \lim_{x \uparrow 0} \frac{\left(-\frac{x^3}{9} + Cx + D \right)}{EI_z} = \frac{D}{EI_z}$$

deci, $D = 0$. Aflăm pe C din a doua condiție de reazem:

$$\lim_{x \uparrow 6l} v(x) = v_B = 0 = \lim_{x \uparrow 6l} \frac{\left(-\frac{x^3}{9} + \frac{(x-2l)^3}{6} + Cx \right)}{EI_z} =$$

$$= \frac{\left(-\frac{(6l)^3}{9} + \frac{(4l)^3}{6} + C \cdot 6l \right)}{EI_z} ; \text{ rezultă că ,}$$

$$C = 2,22 l^2 ; EI_z \frac{dv}{dx} = -\frac{x^2}{3} + \frac{(x-2l)^2}{2} - \frac{(x-6l)^2}{6} + 2,22 l^2$$

$$\varphi_B = \lim_{x \uparrow 6l} \frac{dv}{dx} = \lim_{x \uparrow 6l} \left[-\frac{x^2}{3} + \frac{(x-2l)^2}{2} - \frac{(x-6l)^2}{6} + 2,22 l^2 \right] \frac{1}{EI_z} ;$$

$$\varphi_B = -\frac{1,78 l^2}{EI_z} .$$

Din figura 39 porțiunea BQ nu este solicitată deci $M_{iz}(x) = 0$, aplicăm ecuația fibrei medii deformată pe această regiune și se obține:

$$EI_z \frac{d^2 v}{dx^2} = 0 ; EI_z \frac{dv}{dx} = C_{BQ} ; EI_z v(x) = xC_{BQ} + D_{BQ} ;$$

$$y(x) = v(x) = \frac{1}{EI_z} (xC_{BQ} + D_{BQ}) \text{ este ecuația dreptei BM (ecuația fibrei medii deformată) .}$$

În triunghiul BQM din figura 38 cazul b) aplicăm funcțiile trigonometrice :

$$\operatorname{tg} \varphi_B = \frac{v_Q}{l} \approx \varphi_B; \quad v_Q = l \cdot \varphi_B = -\frac{1,78l^3}{EI_z};$$

săgeata în D , fiind $f_D = f$; $1 \cdot f = P \cdot v_Q = P \cdot v$;

$$f = \frac{-1,78Pl^3}{EI_z} = -\frac{1,78 \cdot 4 \cdot kN \cdot (0,73m)^3}{2,1 \cdot 10^5 \frac{N}{mm^2} \cdot 635850mm^4};$$

$$f = \frac{-1,78Pl^3}{EI_z} = -\frac{1,78 \cdot 4 \cdot kN \cdot (0,73m)^3}{2,1 \cdot 10^5 \frac{N}{mm^2} \cdot 635850mm^4} = -\frac{1,78 \cdot 4 \cdot 10^3 N \cdot (0,73)^3 10^9 mm^3}{2,1 \cdot 10^5 \frac{N}{mm^2} \cdot 635850mm^4} =$$

$$= -2 \cdot 10^{-2} mm$$

6.18. Studiul deplasărilor prin metoda Mohr- Maxwell

Metoda de integrare a lui Vereșceaghin

Fie o bară asupra căreia acționează forțele $\vec{F}_1; \vec{F}_2; \vec{F}_3$, fiind prima stare de încărcare (cea reală) și în al doilea caz asupra ei acționează o forță egală cu unitatea (forța versor din punctul E) , forța unitate ($\vec{1}$) se pune cu punctul de aplicație în secțiunea în care vrem să calculăm deplasarea liniară . Dacă luăm un element infinitesimal din bară (dx) , în prima stare forța axială $N(x)$, iar în a doua stare o forță axială \bar{n} , care în cazul de față este egală cu unu , adică $\bar{n} = \vec{1}$, forța versor (se neglijează greutatea proprie a barei) dar în cazul general are o valoare oarecare \bar{n} . Explicităm lucrul mecanic dL_{12} pentru

elementul infinitesimal din bară (dx), unde dL_{12} se datorește forței $N(x)$ de la prima stare de încărcare și deplasării produse de forța

(n) de la a doua stare, care se poate scrie: $\Delta(dx) = \frac{n \cdot dx}{EA}$;

$dL_{12} = N(x) \cdot \Delta(dx) = \frac{N \cdot n}{EA} dx$; se integrează expresia și se obține,

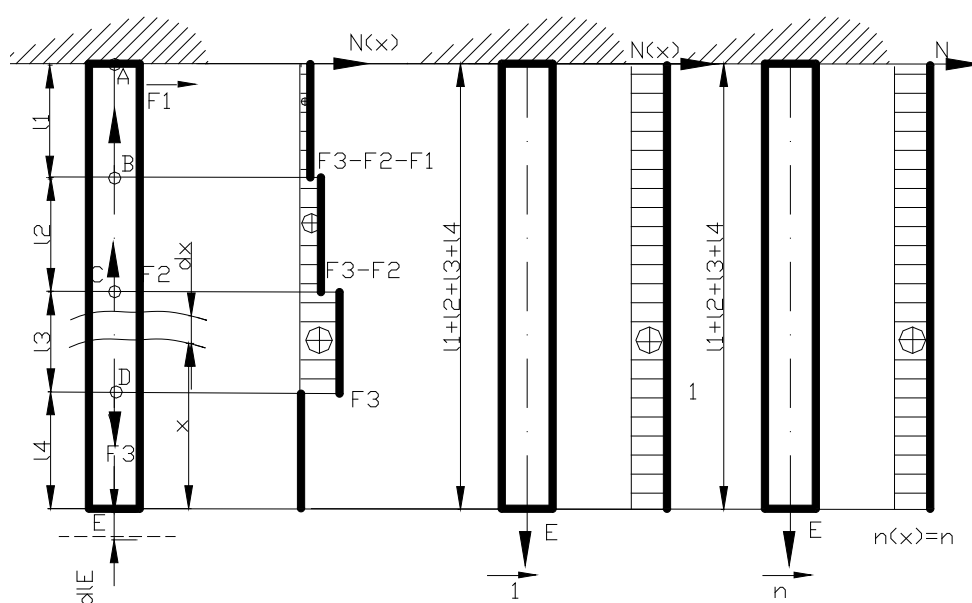


Figura 40

$$\int_l dL_{12} = L_{12} = \int_l \frac{N \cdot n}{EA} dx.$$

În care $N(x)$, este forța axială într-o secțiune curentă, datorită încărcării reale a barei, iar (n) , este forța axială în secțiune curentă, datorită încărcării versor (unitare) aplicată în punctul și pe direcția deplasării căutate. $L_{21} = 1 \delta = \delta$; $L_{12} = L_{21}$; $\delta = \sum \int_l \frac{N(x) \cdot n}{EA} dx$, din

$$1. \delta = \sum_l \int \frac{N(x) \cdot n}{EA} dx ; [1] \cdot [\delta] = \frac{[N] \cdot [n]}{[E] \cdot [A]} [dx] ; [N] \cdot [m] = \frac{[N] \cdot [N]}{[\frac{N}{m^2}] \cdot [m^2]} [m]$$

; $[N] \cdot [m] = [N] \cdot [m]$.

La o bară solicitată la încovoiere din figura 42 a), la fel aplicăm teorema reciprocității a lui Betti, prima stare de încărcare este cea reală , căreia îi corespunde diagrama de momente $M_{iz} (x)$, pentru a determina săgeata în secțiunea (1) aflată la distanța l_5 față de reazemul din A, a doua stare de încărcare este cea produsă de forța

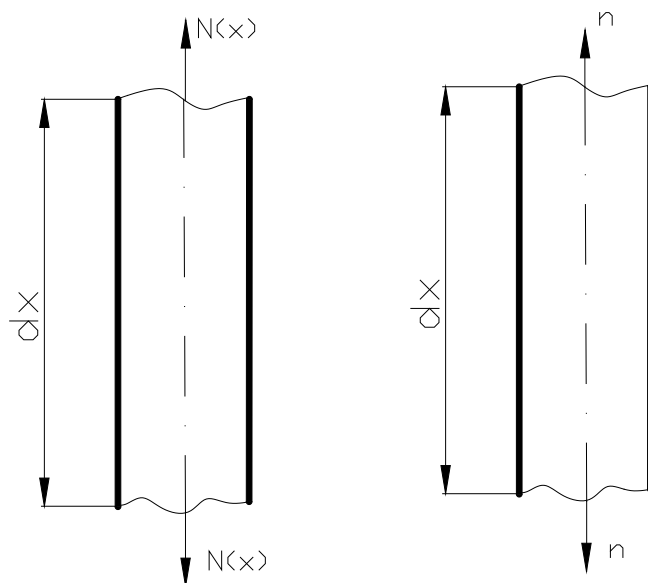


Figura 41

versor (unitară) aplicată în secțiunea considerată și pe direcția săgeții căutate și pentru această stare de încărcare am făcut diagrama de momente încovoietoare $m_{iz} (x)$. Dacă se iau elemente infinitezimale dx , din cele două bare încărcate astfel, cuplurile $m_{iz} (x)$ din a doua stare de încărcare produc

un unghi de rotire : $\Delta \varphi = \frac{m_{iz}(x)}{EI_z} dx$; în acest caz

, $dL_{12} = M_{iz}(x) \cdot \Delta \varphi = \frac{M_{iz}(x) \cdot m_{iz}(x)}{EI_z} dx$; se integrează ,

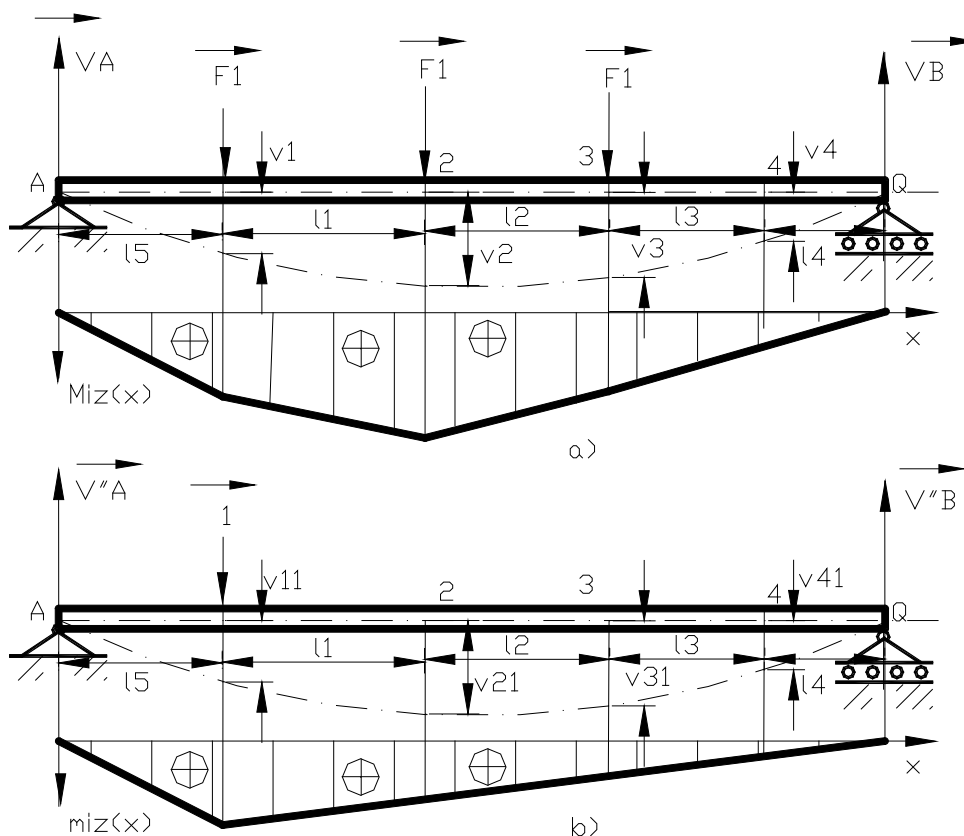


Figura 42a

$$\sum \int_l dL_{12} = L_{12} = \sum \int_l \frac{M_{iz}(x) \cdot m_{iz}(x)}{EI_z} dx ;$$

$$L_{12} = L_{21} ; \quad L_{21} = 1 \cdot \delta = \delta ;$$

$$\delta = \sum \int_l dL_{12} = L_{12} = \sum \int_l \frac{M_{iz}(x) \cdot m_{iz}(x)}{EI_z} dx , \text{ care este o formă}$$

particulară a teoremei **Mohr-Maxwell** pentru calculul deplasărilor.

$$1 \cdot \delta = \sum \int_l \frac{M_{iz}(x) \cdot m_{iz}(x)}{EI_z} dx ; [1] \cdot [\delta] = \sum \int_l \frac{[M_{iz}(x)] \cdot [m_{iz}(x)]}{[E][I_z]} [dx] ;$$

$$[N][m] = \frac{[N \cdot m] \cdot [N \cdot m]}{[\frac{N}{m^2}][m^4]} [m] ; \quad [N \cdot m] = [Nm]$$

Dacă se generalizează , aplicând forța versor (unitară) sau momentul versor (unitar) în secțiune și pe direcția deplasării căutate produce eforturi : n, t, m_{iz}, m_t expresia deplasării devine:

$$\delta = \sum \int_l \frac{N(x)n(x)}{EA} dx + \sum \int_l \frac{k.T(x)t(x)}{GA} dx + \sum \int_l \frac{M_{iz}(x)m_{iz}(x)}{EI_z} dx +$$

$$+ \sum \int_l \frac{M_t(x)m_t(x)}{GI_d} dx$$

, unde $n(x), N(x), m_t(x), m_{iz}(x)$

sunt respectiv forța axială , forța tăietoare , momentul de torsiune și momentul încovoietor produse de sarcina versor (unitară) într-o secțiune curentă. Dacă există un sistem de bare curbe , atunci expresia pentru δ va fi :

$$\delta = \sum \int_s \frac{N(s)n(s)}{EA} ds + \sum \int_s \frac{k.T(s)t(s)}{GA} ds + \sum \int_s \frac{M_{iz}(s)m_{iz}(s)}{EI_z} ds +$$

$$+ \sum \int_s \frac{M_t(s)m_t(s)}{GI_d} ds$$

Când deplasarea rezultă din calcul pozitivă , înseamnă că, ea are sensul forței versor (unitare) sau a momentului versor (unitar) .

Pentru încovoiere $\delta = \sum \int_l \frac{M_{iz}(x)m_{iz}(x)}{EI_z} dx ;$

avem produsul a două funcții $M_{iz}(x)$ și $m_{iz}(x)$, cu mențiunea că $m_{iz}(x)$ pentru barele drepte , va fi tot timpul o funcție liniară și de aici se va aplica metoda lui Vereșceaghin de calcul a integralelor.

Această metodă de calcul fiind o metodă grafo-analitică de calcul din figura 42 b , dacă pentru o bară cu $EI_z = \text{constant}$, rămâne de calculat $\int M_{iz}(x)m_{iz}(x)dx$, din desen $m_{iz}(x) = x \tan \alpha$; în triunghiul AMN,

$$\tan \alpha = \frac{MN}{AM}; \quad \tan \alpha = \frac{m_{iz}(x)}{x};$$

$m_{iz}(x) = x \cdot \tan \alpha$; elementul de arie dA , al diagramei $M_{iz}(x)$ este ,
 $dA = M_{iz}(x) \cdot dx$; se integrează și se obține:

$$\int M_{iz}(x) m_{iz}(x) dx = \int M_{iz}(x) dx m_{iz}(x) = \int dA m_{iz}(x) = \int dA x \operatorname{tg} \alpha =$$

$$= \operatorname{tg} \alpha \int x dA = (\operatorname{tg} \alpha) (x_C \cdot A)$$

$$x_C \operatorname{tg} \alpha = PQ = y_C.$$

Iar x_C fiind centrul de greutate al primei diagrame $M_{iz}(x)$. Unde (A) este egală cu aria totală a diagramei $M_{iz}(x)$, din diagramă se observă că, $\int M_{iz}(x) m_{iz}(x) dx = A \cdot y_C$; se înmulțește aria întreagă a diagramei $M_{iz}(x)$, cu ordonata y_C pe care o are diagrama liniară $m_{iz}(x)$ în dreptul centrului de greutate al primei diagrame.

Dar în cazul nostru, cum avem diagramele pe mai multe regiuni și diagrama lui $m_{iz}(x)$ este formată dintr-o linie frântă atunci se

$$\text{calculează astfel: } \int M_{iz}(x) m_{iz}(x) dx = \sum_{i=1}^n A_i y_{iC}; \quad \text{unde } (i)$$

reprezintă numărul de segmente de dreaptă care formează diagrama $m_{iz}(x)$.

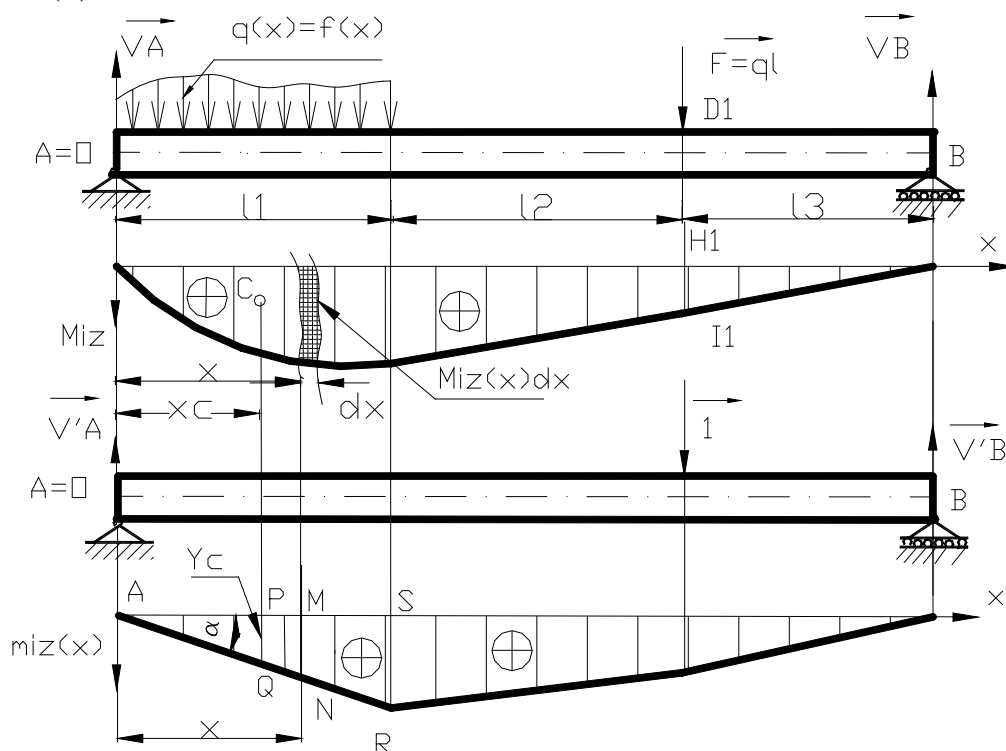


Figura 42 b

Problema nr.10

Pentru bara din figura 43 , să se determine unghiurile de pe reazemele A și B , adică φ_A respectiv φ_B , prin metoda Mohr-Maxwell, știind că : $q = 1,7 \text{ N/m}$; $l = 0,85 \text{ m}$; $E = 2,1 \cdot 10^5 \text{ N/mm}^2$ secțiunea pătrată cu gol cu: $a = 20 \text{ mm}$ și $b = 40 \text{ mm}$.

$$\sum F_y = 0 \quad ; \quad V_A + V_B = 2ql \quad ; \quad \text{ecuația de verificare.}$$

$$\sum M_{iz}(A) = 0; 2ql \cdot l + ql^2 - V_B \cdot 9l = 0; V_B = \frac{ql}{3}; \quad \sum M_{iz}(B) = 0; -$$

$$2ql \cdot 8l + ql^2 + V_A \cdot 9l = 0; V_A = \frac{5ql}{3}; \quad V_A + V_B = 2ql \quad \text{ecuația de}$$

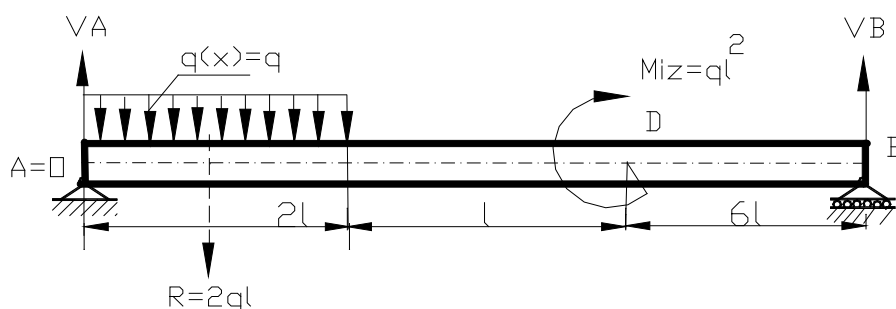


Figura 43

verificare ; $\frac{5ql}{3} + \frac{ql}{3} = \frac{6ql}{3} = 2ql$; ecuația de verificare este îndeplinită

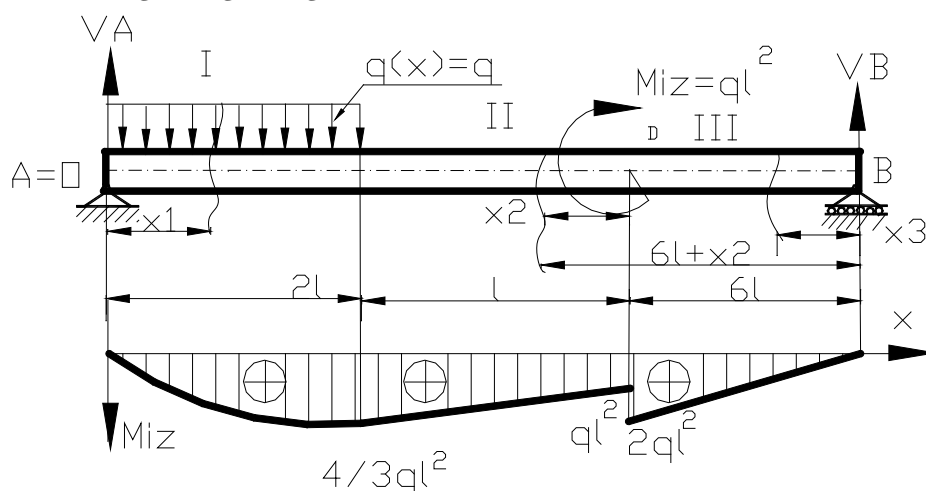


Figura 44

Regiunea întâi

$$x_1 \in (0; 2l] ; \quad M_{iz}(x_1) = \frac{5qlx_1}{3} - \frac{qx_1 \cdot x_1}{2} = \frac{5qlx_1}{3} - \frac{qx_1^2}{2} ;$$

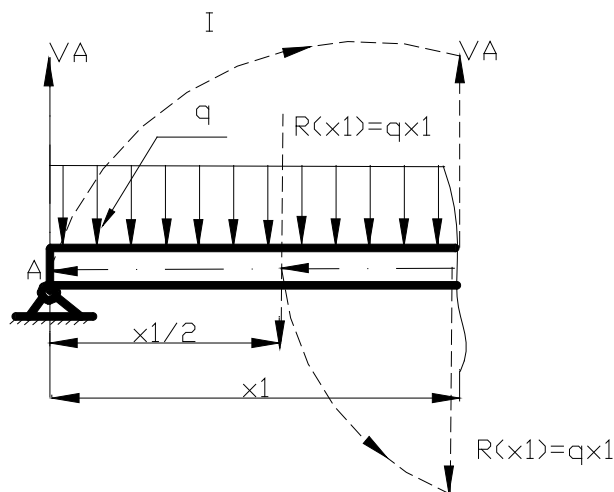


Figura 45

$$\lim_{x_1 \uparrow 2l} M_{iz}(x_1) = \frac{5ql \cdot (2l)}{3} - q \frac{(2l)^2}{2} = \frac{4ql^2}{3} ;$$

$$\frac{dM_{iz}(x_1)}{dx_1} = \frac{5ql}{3} - qx_1 ; \quad \frac{d^2M_{iz}(x_1)}{dx_1^2} = -q < 0 \quad ; \quad \text{concavă} .$$

Metoda a doua de calcul a lui $M_{iz}(x_1)$:

$$\frac{dT(x_1)}{dx_1} = -q ;$$

$$dT = -q \cdot dx_1 ; \quad \int dT(x_1) = T(x_1) = -\int q dx_1 = -qx_1 + C_1 ;$$

determinăm constanta C_1 , din condițiile inițiale ale lui Cauchy:

$$\lim_{x_1 \downarrow 0} T(x_1) = \frac{5ql}{3} = q \cdot 0 + C_1 , \quad \text{deci} \quad C_1 = \frac{5ql}{3} .$$

$$T(x_1) = -\int q \cdot dx_1 = -qx_1 + C_1 = -qx_1 + \frac{5ql}{3} ; \text{ iar } \frac{dM_{iz}(x_1)}{dx_1} = T(x_1) ;$$

$$dM_{iz}(x_1) = T(x_1) dx_1 ; \text{ integrăm ,}$$

$$\int dM_{iz}(x_1) = M_{iz}(x_1) = \int T(x_1) dx_1 = \int \left(-qx_1 + \frac{5ql}{3} \right) dx_1 =$$

$$= -\frac{qx_1^2}{2} + \frac{5qlx_1}{3} + D_1 ; \text{ determinăm}$$

constanta D_1 , din condițiile inițiale ale lui Cauchy,

$$\lim_{x_1 \downarrow 0} M_{iz}(x_1) = 0 = -\frac{q \cdot 0^2}{2} + \frac{5ql \cdot 0}{3} + D_1 ; \quad D_1 = 0 ;$$

$$M_{iz}(x_1) = -\frac{qx_1^2}{2} + \frac{5qlx_1}{3}$$

Reguane a III-a

$$x_3 \in (0; 6l] M_{iz}(x_3) = \frac{qlx_3}{3} ; \quad \lim_{x_3 \downarrow 0} M_{iz}(x_3) = 0 ;$$

$$\lim_{x_3 \uparrow 6l} M_{iz}(x_3) = \frac{ql \cdot (6l)}{3} = 2ql^2 .$$

Metoda a doua de calcul

$$q(x_3) = 0 ; \quad \frac{dT(x_3)}{dx_3} = q(x_3) = 0 ; \quad dT = 0 \cdot dx_3 ;$$

$$\int dT(x_3) = T(x_3) = \int 0 dx_3 = C_3 ;$$

determinăm constanta C_3 , din condițiile inițiale ale lui Cauchy

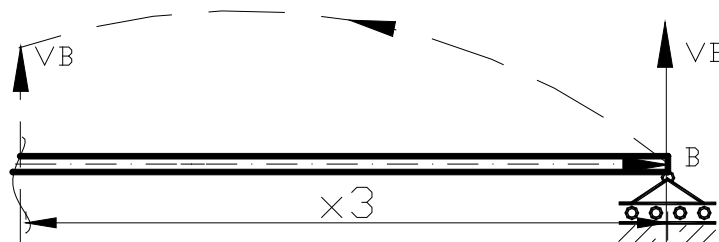


Figura 46

$$\lim_{x_3 \downarrow 0} T(x_3) = -\frac{ql}{3} = C_3, \text{ deci } C_3 = -\frac{ql}{3};$$

$$T(x_3) = -\frac{ql}{3}; \text{ iar } \frac{dM_{iz}(x_3)}{dx_3} = -T(x_3); \quad dM_{iz}(x_3) = -T(x_3)dx_3;$$

integrăm ,

$$\int dM_{iz}(x_3) = M_{iz}(x_3) = -\int T(x_3)dx_3 = -\int \left(-\frac{ql}{3}\right)dx_3 = \frac{qlx_3}{3} + D_3;$$

determinăm constanta D_3 , din condițiile inițiale ale lui Cauchy,

$$\lim_{x_3 \downarrow 0} M_{iz}(x_3) = 0 = D_3 + \frac{ql \cdot 0}{3}; \quad D_3 = 0; \quad M_{iz}(x_3) = \frac{qlx_3}{3}.$$

Regiunea a II-a

$$x_2 \in [0; l)$$

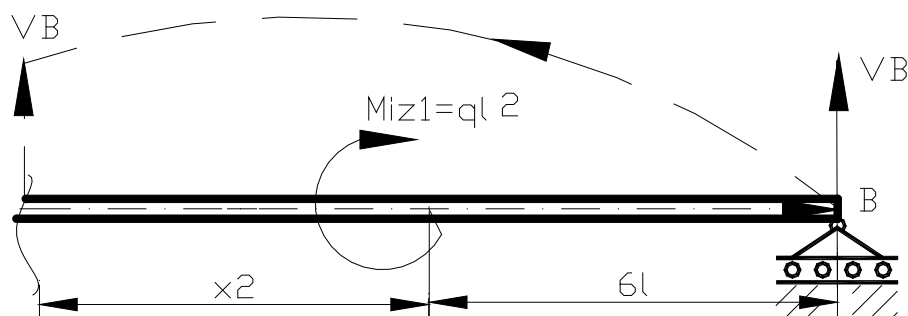


Figura 47

$$M_{iz}(x_2) = \frac{ql(6l + x_2)}{3} - ql^2 = ql^2 + \frac{qlx_2}{3};$$

$$\lim_{x_2 \downarrow 0} M_{iz}(x_2) = 2ql^2 - ql^2 = ql^2;$$

$$\lim_{x_2 \uparrow l} M_{iz}(x_2) = \frac{ql \cdot (6l + l)}{3} - ql^2 = \frac{4}{3}ql^2;$$

Metoda a doua de calcul

$$q(x_2) = 0; \quad \frac{dT(x_2)}{dx_2} = q(x_2) = 0; \quad dT = 0 \cdot dx_2;$$

$$\int dT(x_2) = T(x_2) = \int 0 dx_2 = C_2;$$

determinăm constanta C_2 , din condițiile inițiale ale lui Cauchy:

$$\lim_{x_2 \downarrow 0} T(x_2) = -\frac{ql}{3} = C_2, \text{ deci } C_2 = -\frac{ql}{3};$$

$$T(x_2) = -\frac{ql}{3}; \quad \text{iar } \frac{dM_{iz}(x_2)}{dx_2} = -T(x_2); \quad dM_{iz}(x_2) = -T(x_2)dx_2;$$

integrăm,

$$\int dM_{iz}(x_2) = M_{iz}(x_2) = -\int T(x_2)dx_2 = -\int \left(-\frac{ql}{3}\right)dx_2 = \frac{qlx_2}{3} + D_2;$$

determinăm constanta D_2 , din condițiile inițiale ale lui Cauchy,

$$\lim_{x_2 \downarrow 0} M_{iz}(x_2) = ql^2 = D_2 + \frac{ql \cdot 0}{3}; \quad D_2 = ql^2;$$

$$M_{iz}(x_2) = \frac{qlx_2}{3} + ql^2.$$

Pentru a calcula rotirea în A, se aplică în articulația din A un moment

unitar ($\vec{i} = \frac{\vec{M}_{iz1}}{|\vec{M}_{iz1}|} = \vec{u}_{\vec{M}_{iz1}}$ moment versor), se calculează forțele de

reacțiune V'_A, V'_B din condițiile de echilibru ale barei din figura 48a.

$$\sum F_y = 0; \quad V'_A + V'_B = 0; \text{ ecuația de verificare.}$$

$$\sum M_{iz}(A) = 0; \quad -V'_B \cdot 9l + 1 = 0; \quad V'_B = \frac{1}{9l}; \quad \sum M_{iz}(B) = 0;$$

$$V'_A \cdot 9l + 1 = 0; \quad V'_A = -\frac{1}{9l}; \quad V'_A + V'_B = 0 \quad \text{ecuația de verificare}$$

$$; \quad \frac{-1}{9l} + \frac{1}{9l} = 0; \text{ ecuația de verificare este îndeplinită.}$$

$$\lim_{x \downarrow 0} m_{iz}(x) = \lim_{x \downarrow 0} \left[1 - \frac{x}{9l}\right] = 1 ; \quad \lim_{x \uparrow 9l} m_{iz}(x) = \lim_{x \uparrow 9l} \left[1 - \frac{x}{9l}\right] = 0 ;$$

$$\varphi_A = \sum \int_l \frac{M_{iz}(x) m_{iz}(x)}{EI_z} dx ;$$

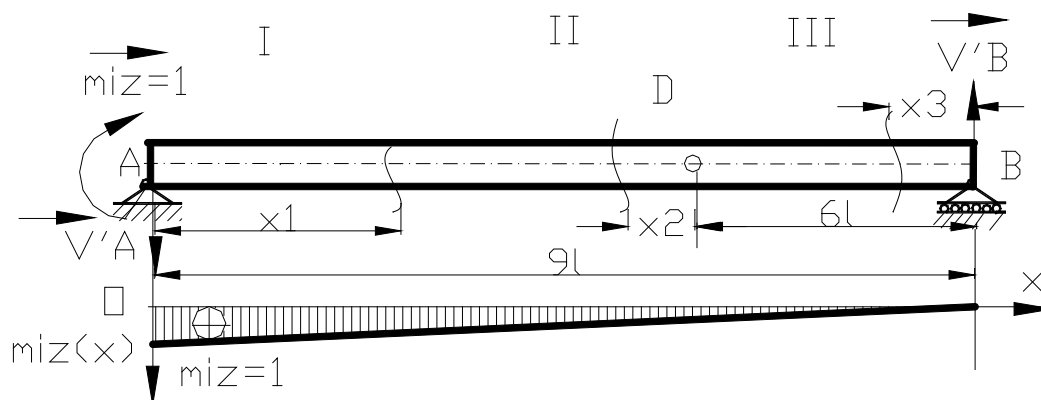


Figura 48a

$$\varphi_A =$$

$$= \frac{1}{EI_z} \left\{ \int_0^{2l} \left(\frac{5qlx_1}{3} - \frac{qx_1^2}{2} \right) \left(1 - \frac{x_1}{9l} \right) dx_1 + \int_0^l \left(\frac{qlx_2}{3} + ql^2 \right) \frac{(6l + x_2)}{9l} dx_2 + \int_0^{6l} \frac{qlx_3}{3} \left(\frac{x_3}{9l} \right) dx_3 \right\}$$

$$= \frac{5,230ql^3}{EI_z} ;$$

Se explicitează variația $m_{iz1}(x)$ pe regiuni :

$$x_1 \in (0, 2l) \quad ; \quad m_{iz1}(x_1) = 1 - \frac{x_1}{9l} ; \quad x_2 \in (0, l) \quad m_{iz1}(x_2) = \frac{(6l + x_2)}{9l} .$$

$$x_3 \in (0, 6l) \quad ; \quad m_{iz1}(x_3) = \frac{x_3}{9l} .$$

Trebuie ca expresiile lui $M_{iz}(x)$ și $m_{iz}(x)$ să fie parcurse în același sens și x să aibă aceeași origine pentru amândouă expresiile, altfel nu are sens.

Acum pentru calculul rotirii secțiunii transversale din articulația B , se pune un moment încovoietor concentrat unitar în B din figura 48b ,

[moment versor (unitate) $\vec{m}_{iz2} = \frac{\vec{M}_{iz2}}{|\vec{M}_{iz2}|} = \vec{1}$] .

$\sum F_y = 0$; $V''_A + V''_B = 0$; ecuația de verificare.

$\sum M_{iz}(A) = 0$; $V''_B \cdot 9l + 1 = 0$; $V''_B = -\frac{1}{9l}$; $\sum M_{iz}(B) = 0$;

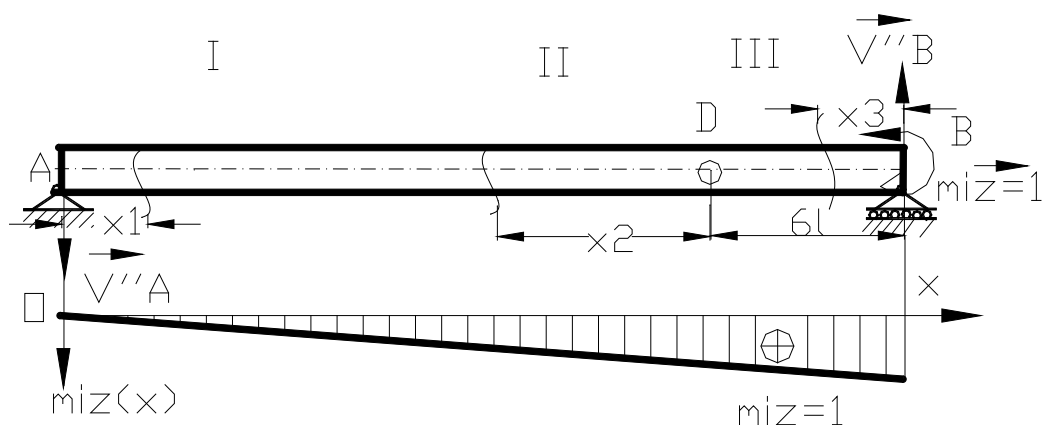


Figura 48b

$V''_A \cdot 9l - 1 = 0$; $V''_A = \frac{1}{9l}$; $V'_A + V'_B = 0$ ecuația de verificare

$-\frac{1}{9l} + \frac{1}{9l} = 0$; ecuația de verificare este îndeplinită .

$x \in (0, 9l)$; $m_{iz}(x) = \frac{x}{9l}$; $\lim_{x \downarrow 0} m_{iz}(x) = \lim_{x \downarrow 0} \left(\frac{x}{9l} \right) = 0$;

$\lim_{x \uparrow 9l} m_{iz}(x) = \lim_{x \uparrow 9l} \left[\frac{x}{9l} \right] = 1$; $\varphi_B = \sum \int_l \frac{M_{iz}(x) m_{iz}(x)}{EI_z} dx$;

Se explicitează variația $m_{iz2}(x)$ pe regiuni :

$x_1 \in (0, 2l)$; $m_{iz2}(x_1) = \frac{x_1}{9l}$; $x_2 \in (0, l)$; $m_{iz2}(x_2) = 1 - \frac{(6l + x_2)}{9l}$;

$x_3 \in (0, 6l)$; $m_{iz2}(x_3) = 1 - \frac{x_3}{9l}$;

$$\varphi_B = \frac{1}{EI_z} \cdot \left\{ \int_0^{2l} \left(\frac{5qlx_1}{3} - \frac{qx_1^2}{2} \right) \left(\frac{x_1}{9l} \right) dx_1 + \int_0^l \left(\frac{qlx_2}{3} + ql^2 \right) \left[1 - \frac{(6l+x_2)}{9l} \right] dx_2 + \int_0^{6l} \frac{qlx_3}{3} \left(1 - \frac{x_3}{9l} \right) dx_3 \right\}$$

$$= \frac{3,931481ql^3}{EI_z}$$

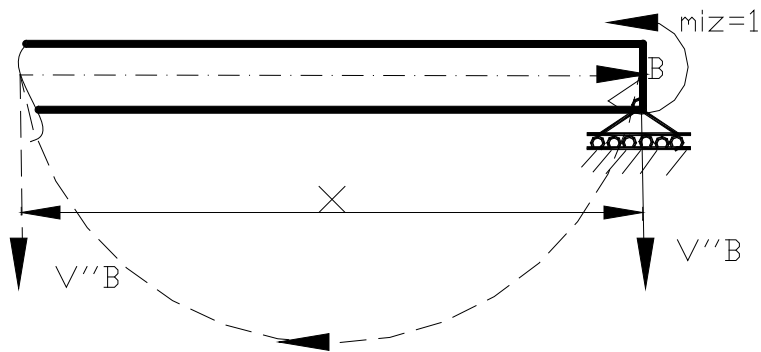


Figura 49

$$I_z = \frac{40^4}{12} - \frac{20^4}{12} = 2.10^5 \text{ mm}^4;$$

$$\varphi_A = \frac{5,230 \cdot \frac{1,7N}{m} \cdot (0,85m)^3}{2,1 \cdot 10^5 \frac{N}{mm^2} \cdot 2.10^5 \text{ mm}^4} = \frac{5,230 \cdot 1,7 \cdot (0,85)^3 10^6}{2,1 \cdot 10^5 \cdot 2.10^5} = 1,3 \cdot 10^{-4} [\text{rad}];$$

$$\varphi_B = \frac{3,931481 \cdot \frac{1,7N}{m} \cdot (0,85m)^3}{2,1 \cdot 10^5 \frac{N}{mm^2} \cdot 2.10^5 \text{ mm}^4} = \frac{3,931481 \cdot 1,7 \cdot (0,85)^3 10^6}{2,1 \cdot 10^5 \cdot 2.10^5} = 0,9710^{-4} [\text{rad}].$$

6.19. Grinzi drepte static nedeterminate

6.19.1. Introducere

Dacă eforturile din secțiunile transversale ale barelor sau ale sistemelor de bare, nu se pot determina numai cu ajutorul metodelor de calcul ale staticii, fie din cauza unor legături suplimentare, fie din cauza formei sistemului, barele și sistemele de bare de acest fel se numesc bare sau sisteme de bare static nedeterminate.

Sistemele de bare static nedeterminate pot fi :

- a) sisteme cu nedeterminări exterioare

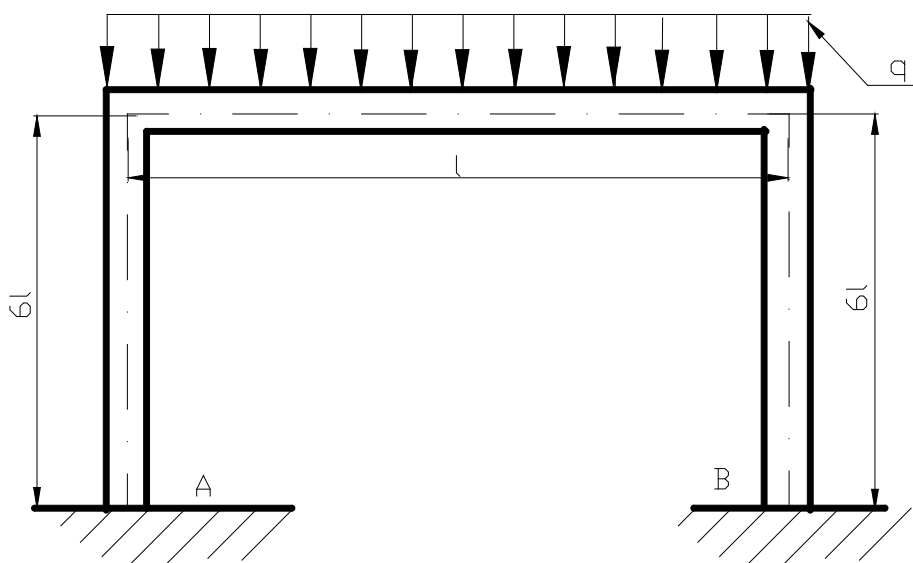


Figura 50

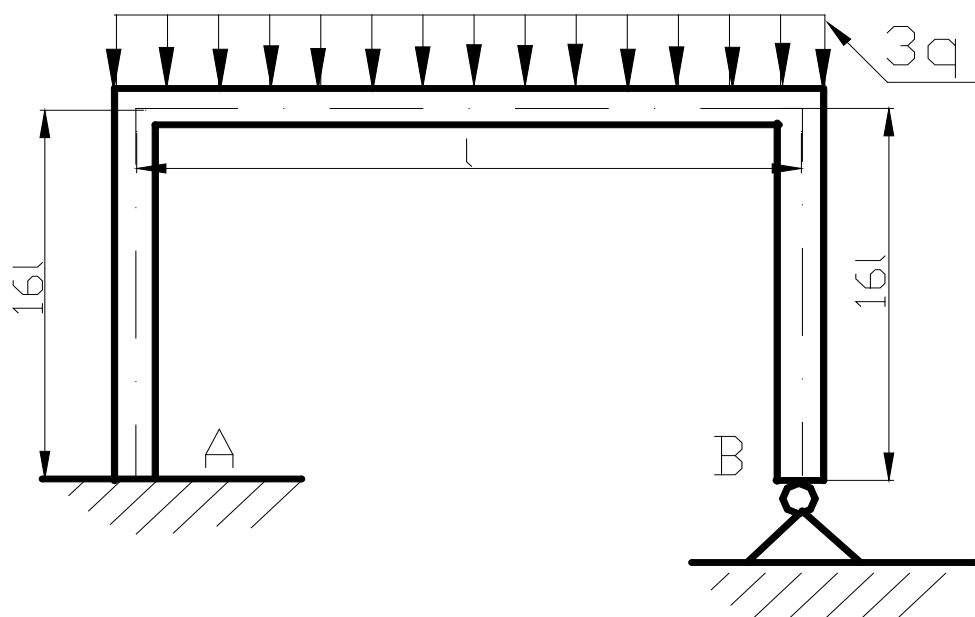


Figura 51

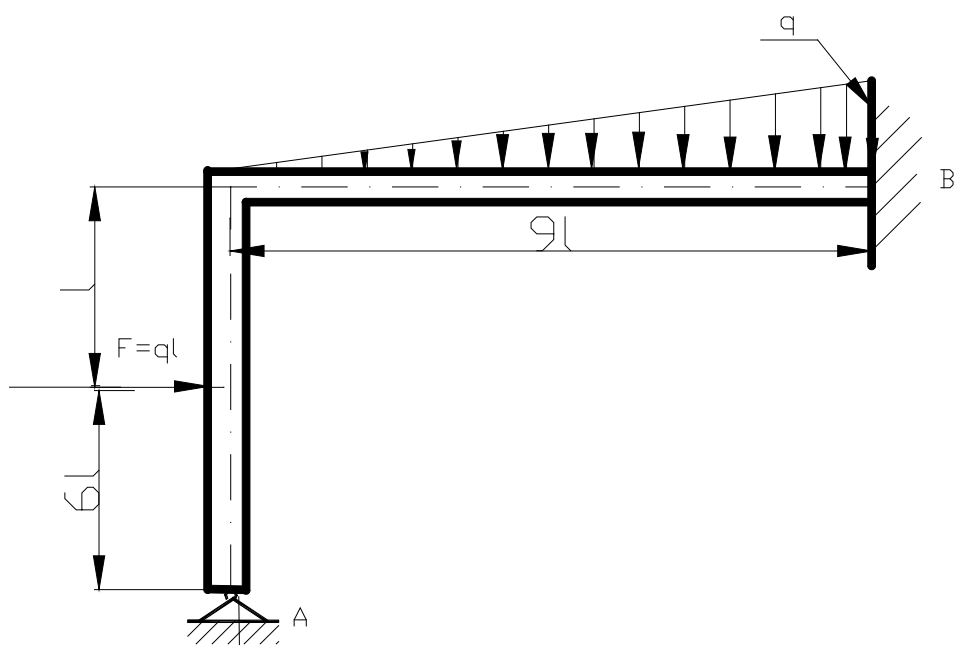


Figura 52

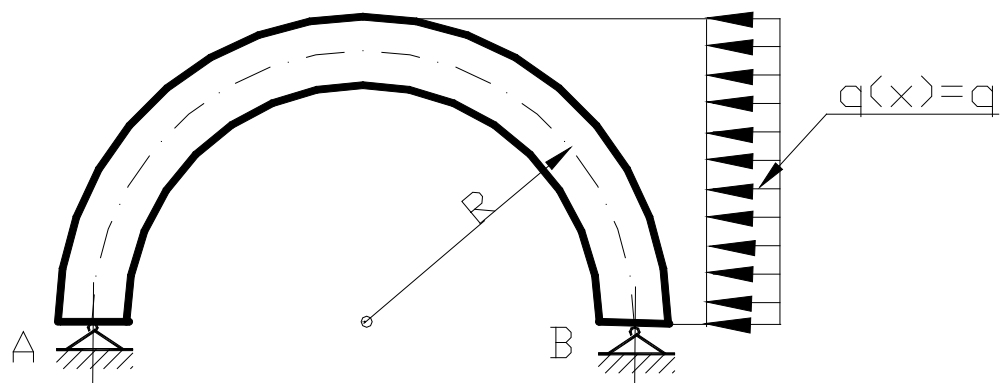


Figura 53

b) sisteme cu nedeterminări interioare

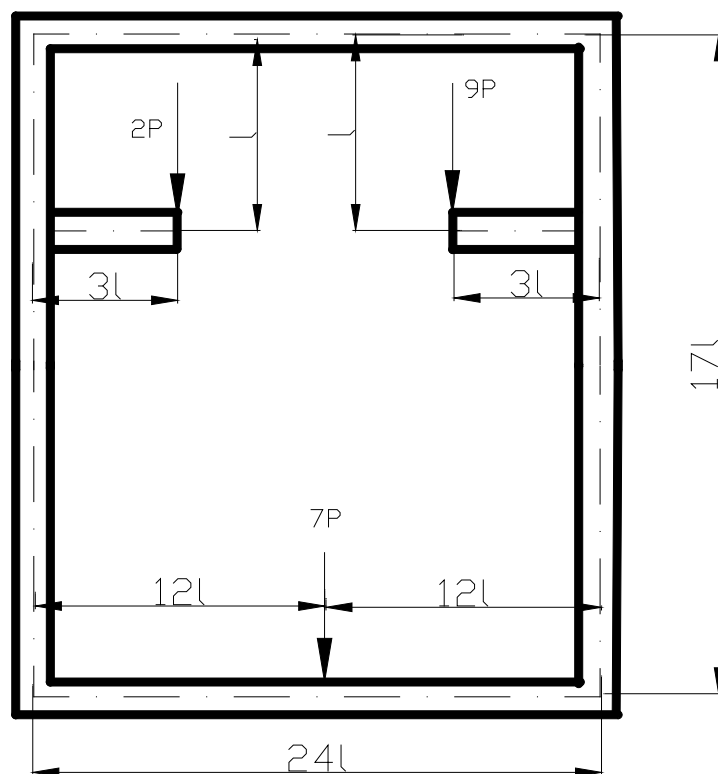


Figura 54

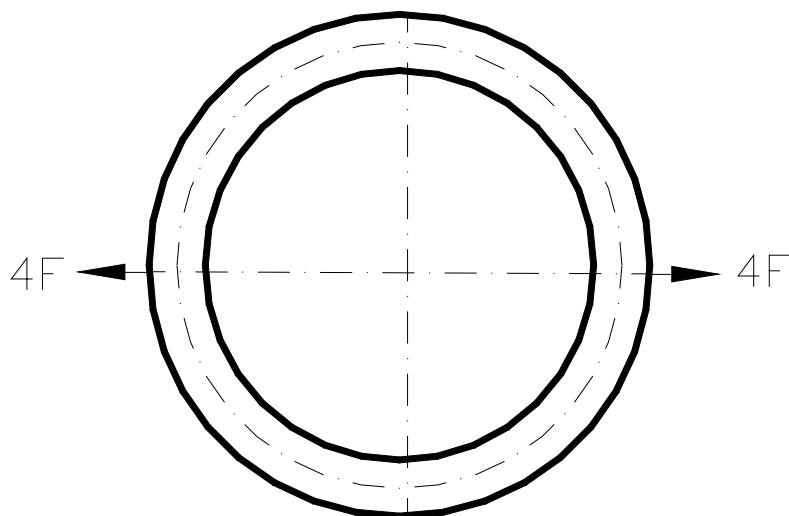


Figura 55

c) sisteme cu nedeterminări interioare și exterioare

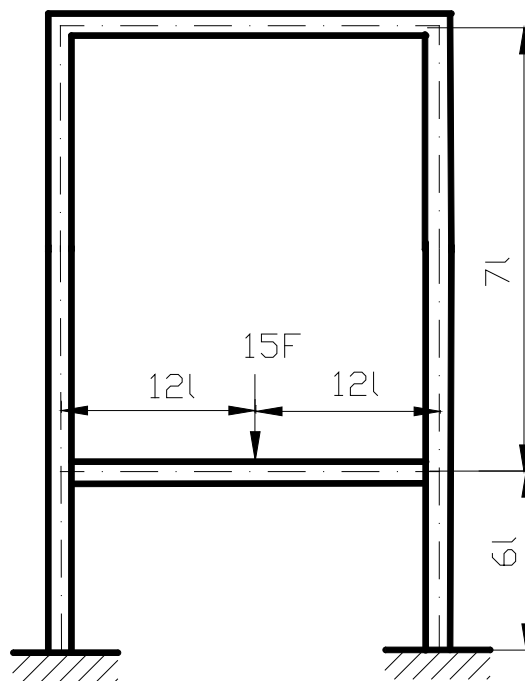


Figura 56

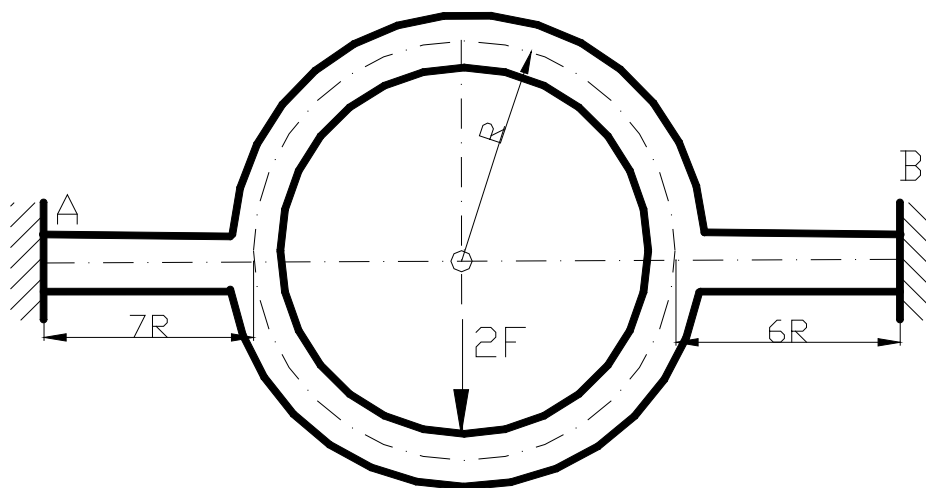


Figura 57

a) Sistemele cu nedeterminări exterioare

Bara dreaptă

Bara curbă din figura 53.

Cadre din figurile: 50, 51 , 52.

b) Sistemele cu nedeterminări interioare

Cadru închis figura 54

Inel figura 55.

c) Sisteme cu nedeterminări interioare și exterioare

Inel încastrat figura 57.

Cadru etajat figura 56.

În acest capitol se abordează numai barele static nedeterminate, unde ridicarea nedeterminărilor exterioare se bazează pe condițiile de legătură, anume , o bară dreaptă în încastrare nu are săgeată sau rotire (sunt egale cu zero) , în reazem rigid , bara nu are săgeată (este egală cu zero) .

Folosind condițiile de legătură , la rezolvarea problemelor static nedeterminate se obțin ecuațiile de echilibru elastic, cu ajutorul ecuațiilor de echilibru static și elastic , se obține un sistem de ecuații compatibil unic determinat (admite o soluție unică) .

Probleme static nedeterminate

Ridicarea nedeterminării prin metoda integrării analitice a ecuației diferențiale a fibrei medii deformate

Problema nr:1

Să se dimensioneze bara din figura următoare, știind că : $q = 3 \text{ N/m}$;

$$l = 0,78 \text{ m} ; \quad E = 2,1 \cdot 10^5 \text{ N/mm}^2 ; \quad \sigma_a = 105 \frac{\text{N}}{\text{mm}^2} .$$

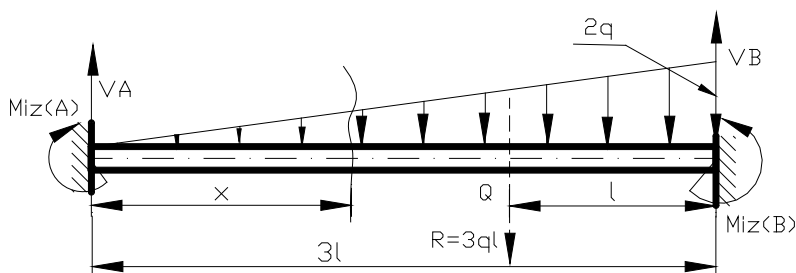


Figura 58

Scriem condițiile de echilibru static:

$$\sum F_y = 0 \quad ; \quad V_A + V_B = 3ql \quad ; \text{ ecuația de verificare.}$$

$$\sum M_{iz}(A) = 0 ; \quad M_{izA} + 3ql \cdot 2l - V_B \cdot 3l - M_{izB} = 0 ;$$

$$\begin{cases} V_A + V_B = 3ql \\ M_{izA} - M_{izB} - V_B \cdot 3l = -6ql^2 \end{cases}$$

Avem 4 necunoscute ($V_A, V_B, M_{izA}, M_{izB}$) și două ecuații , problema este dublu static nedeterminată. Ridicăm nedeterminarea din condiția de deformații, avem: $v_A = 0, \varphi_A = 0, v_B = 0, \varphi_B = 0 . x \in (0; 3l) ;$

$\Delta AMN \approx \Delta ASB$ din figura 59 aplicăm teorema lui Thales (de

asemănare a triunghiurilor) $\frac{q(x)}{2q} = \frac{x}{3l} ; \quad q(x) = \frac{2qx}{3l}$

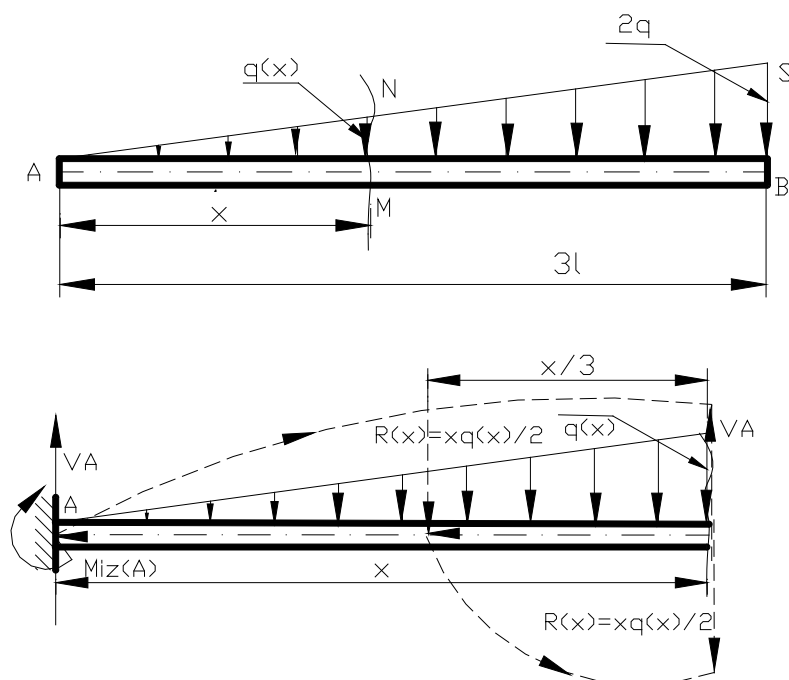


Figura 59

$$R(x) = \frac{xq(x)}{2} = \frac{x}{2} * \frac{2qx}{3l} = \frac{qx^2}{3l} \quad ; \quad M_{iz}(x) = V_A x + M_{izA} - \frac{qx^2}{3l} * \frac{x}{3} ;$$

$$M_{iz}(x) = V_A \cdot x + M_{iz}(A) - \frac{qx^3}{9l}$$

Metoda a II-a de calcul a lui $M_{iz}(x)$; $q(x) = ax + b$ este o dreaptă, sarcina distribuită. Alegem o origine $0=A$ și aflăm pe a și b din desen (dacă se știu două puncte de pe o dreaptă se știe toată dreapta).

$$\lim_{\substack{x \rightarrow 0 \\ x > 0}} q(x) = 0 \quad ; \quad \lim_{\substack{x \rightarrow 3l \\ x < 3l}} q(x) = 2q \quad ; \quad \lim_{\substack{x \rightarrow 0 \\ x > 0}} (ax + b) = 0 \quad ; \quad a \cdot 0 + b = 0 \quad ; \quad b = 0$$

$$\lim_{\substack{x \rightarrow 3l \\ x < 3l}} q(x) = 2q \quad ; \quad \lim_{\substack{x \rightarrow 3l \\ x < 3l}} (ax + b) = 2q \quad ; \quad a \cdot 3l = 2q \quad ; \quad a = \frac{2q}{3l} \quad . \quad \text{Deci}$$

$$q(x) = a x + b \quad ; \quad q(x) = \frac{2q}{3l} x + b$$

$$q(x) = \frac{2q}{3l} x \quad ; \quad \frac{dT}{dx} = -q(x) \quad ; \quad dT = -q(x) dx \quad , \quad \int dT = -\int q(x) dx \quad ;$$

$$T(x) = -\int \frac{2qx}{3l} dx = -\frac{2q}{3l} \frac{x^2}{2} + C_1$$

$$T(x) = -\frac{qx^2}{3l} + C_1 \quad ; \quad \lim_{\substack{x \rightarrow 0 \\ x > 0}} T(x) = V_A \quad ; \quad -\frac{q \cdot 0^2}{3l} + C_1 = V_A \quad ; \quad C_1 = V_A \quad ;$$

$$T(x) = V_A - \frac{qx^2}{3l}$$

$$\frac{dM_{iz}(x)}{dx} = T(x) \quad ; \quad dM_{iz}(x) = T(x) dx \quad ; \quad \int dM_{iz}(x) = \int T(x) dx \quad ;$$

$$M_{iz}(x) = \int \left(V_A - \frac{qx^2}{3l} \right) dx$$

$$M_{iz}(x) = V_A x - \frac{q}{3l} \frac{x^3}{3} + D_1 \quad ; \quad M_{iz}(x) = V_A x - \frac{q}{3l} \frac{x^3}{3} + D_1 \quad ;$$

$$M_{iz}(x) = V_A x - \frac{qx^3}{9l} + D_1$$

$$\lim_{\substack{x \rightarrow 0 \\ x > 0}} M_{iz}(x) = M_{iz}(A) \quad ; \quad V_A \cdot 0 - \frac{q \cdot 0^3}{9l} + D_1 = M_{iz}(A) \quad ;$$

$$D_1 = M_{iz}(A) \quad \text{deci} \quad M_{iz}(x) = V_A \cdot x - \frac{qx^3}{9l} + M_{iz}(A)$$

Aplicăm ecuația fibrei medii deformată $E I_z \frac{d^2 v}{dx^2} = -M_{iz}(x)$;

$$E I_z \frac{d^2 v}{dx^2} = -V_A x + \frac{qx^3}{9l} - M_{iz}(A)$$

$$E I_z \frac{dv}{dx} = -V_A \frac{x^2}{2} - x M_{iz}(A) + \frac{q}{36l} x^4 + C ;$$

$$E I_z v(x) = -V_A \frac{x^3}{6} - \frac{x^2}{2} M_{iz}(A) + \frac{q}{180l} x^5 + Cx + D$$

Am luat originea în A=0 , C=0 , D=0 , aici $\varphi_A = \varphi_0 = \frac{C}{E I_z} = 0$;

$$v_A = v_0 = \frac{D}{E I_z} = 0, \text{ deci,}$$

$$\left\{ \begin{array}{l} E I_z \frac{dv}{dx} = -\frac{V_A x^2}{2} - x M_{izA} + \frac{qx^4}{36l} \\ E I_z v(x) = -\frac{V_A x^3}{6} - \frac{x^2}{2} M_{iz}(A) + \frac{q}{180l} x^5 \end{array} \right. \quad \text{Din cele 4 condiții de}$$

reazem am folosit numai două , avem săgeata și rotirea din A sunt zero. $\varphi_A = 0$; $v_A = 0$. Cele două ecuații care le mai folosim

pentru a ridica nedeterminarea sunt $\varphi_B = 0$ și

$v_B = 0$ (săgeata și rotirea din încadrarea din B sunt zero).

$$0 = \varphi_B = \lim_{\substack{x \rightarrow 3l \\ x < 3l}} \frac{dv}{dx} = \lim_{\substack{x \rightarrow 3l \\ x < 3l}} \frac{-V_A \frac{x^2}{2} - x M_{iz}(A) + \frac{qx^4}{36l}}{E I_z} ; -$$

$$V_A (3l)^2 - 3l M_{iz}(A) + \frac{q}{36l} (3l)^4 = 0$$

$$- 4,5 V_A l - 3 M_{iz}(A) + 2,25 q l^2 = 0 ;$$

$$-\frac{9}{2}V_A l - 3M_{iz}(A) + 9\frac{q}{4}l^2 = 0$$

și a patra ecuație o obținem din :

$$v_B = 0 = \lim_{\substack{x \rightarrow 3l \\ x < 3l}} v(x) = \lim_{\substack{x \rightarrow 3l \\ x < 3l}} \left[-\frac{V_A x^3}{6} - \frac{x^2}{2} M_{izA} + \frac{qx^5}{180l} \right]_{EI_z}$$

$$\frac{-\frac{V_A}{6}(3l)^3 - \frac{(3l)^2}{2} M_{izA} + \frac{q}{180l}(3l)^5}{EI_z} = 0 \quad ;$$

$$-\frac{V_A}{6}3^3 l - \frac{9}{2} M_{izA} + \frac{3^5}{180} ql^2 = 0$$

$$-4,5 V_A l - 4,5 M_{izA} + 1,35 ql^2 = 0$$

$$\begin{cases} (1) V_A + V_B = 3ql \\ (2) M_{iz}(A) - V_B 3l - M_{iz}(B) + 6ql^2 = 0 \\ (3) -4,5 V_A l - 3 M_{iz}(A) + 2,25 ql^2 = 0 \\ (4) -4,5 V_A l - 4,5 M_{iz}(A) + 1,35 ql^2 = 0 \end{cases}$$

Din (3) și (4) rezolvăm și aflăm pe V_A și $M_{iz}(A)$

$$\begin{cases} -4,5 V_A l - 3 M_{iz}(A) + 2,25 ql^2 = 0 \\ -4,5 V_A l - 4,5 M_{iz}(A) + 1,35 ql^2 = 0 \end{cases}$$

$$-4,5 V_A - 3 M_{iz}(A) + 2,25 ql^2 = 0$$

$$4,5 V_A + 4,5 M_{iz}(A) - 1,35 ql^2 = 0$$

$$\text{rezultă : } 1,5 M_{iz}(A) + 0,9 ql^2 \quad ; \quad M_{iz}(A) = -\frac{0,9}{1,5} ql^2 \quad ;$$

$$M_{iz}(A) = -0,6 ql^2$$

$$-4,5 V_A l - 3M_{iz}(A) + 2,25ql^2 = 0 \quad ; \quad -4,5$$

$$V_A l - 3 \cdot 0,6ql^2 + 2,25ql^2 = 0 \quad ; \quad 4,5V_A l = 2,25ql^2 - 1,8ql^2$$

$$V_A l = \frac{ql^2}{4,5} (2,25 - 1,8) = 0,1ql^2$$

$$\text{Din (1)} \quad V_A + V_B = 3ql \quad ; \quad 0,1ql + V_B = 3ql \quad ; \quad V_B = 2,9ql$$

$$\text{Din (2)} \quad M_{iz}(A) - V_B 3l - M_{iz}(B) + 6ql^2 = 0 \quad ;$$

$$-0,6ql^2 - 2,9ql \cdot 3l - M_{izB} + 6ql^2 = 0$$

$$M_{iz}(B) = ql^2 (-0,6 - 2,9 \cdot 3 + 6) = -3,3ql^2 \quad ; \quad M_{iz}(B) = -3,3ql^2$$

$$V_A = 0,1ql$$

$$M_{iz}(A) = -0,6ql^2$$

$$V_B = 2,9ql$$

Deci , dacă s-au obținut $M_{iz}(A)$ și $M_{iz}(B)$, negative le schimbăm sensul pentru că inițial l-am pus la întâmplare.

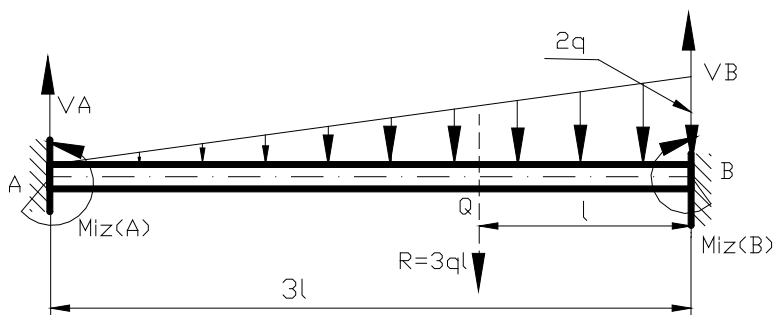


Figura 60

Ne verificăm dacă am calculat corect din $\sum M_{iz}(Q) = 0$

$$0,1ql \cdot 2l - 0,6ql^2 + 3,3ql^2 - 2,9l \cdot l = 0 \quad ;$$

$$ql^2 (0,2 - 0,6 + 3,3 - 2,9) = 0 \quad ; \quad ql^2 (3,5 - 3,5) = 0 \quad ; \quad 0 = 0 \text{ verifică.}$$

Dacă într-un punct nu verifică , rezultă că nu s-au calculat corect, s-a greșit la calcul . Această metodă analitică se folosește când avem cel mult două regiuni pentru că rezultă un calcul mai greu.

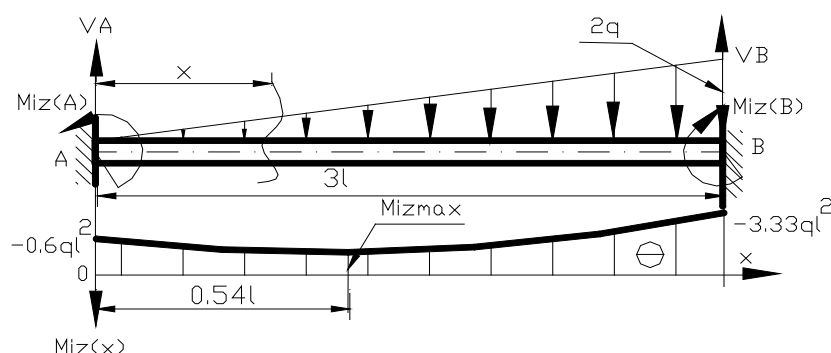


Figura 61

$$M_{iz}(x) = V_A x - \frac{qx^3}{9l} + M_{iz}(A) \quad \text{unde } V_A = 0,1ql \quad ; \quad M_{iz}(A) = -0,6ql^2$$

se iau sensurile inițiale.

$$M_{iz}(x) = 0,1qlx - \frac{qx^3}{9l} - 0,6ql^2;$$

$$\lim_{x \downarrow 0} M_{iz}(x) = \lim_{x \downarrow 0} \left[0,1qlx - \frac{qx^3}{9l} - 0,6ql^2 \right] = -0,6ql^2;$$

$$\lim_{x \uparrow 3l} M_{iz}(x) = \lim_{x \uparrow 3l} \left[0,1qlx - \frac{qx^3}{9l} - 0,6ql^2 \right] = -3,3ql^2 \quad ;$$

$$\frac{dM_{iz}(x)}{dx} = 0,1ql - \frac{qx^2}{3l} \quad ; \quad \frac{d^2M_{iz}(x)}{dx^2} = -2\frac{qx}{3l} < 0;$$

$$\text{concavă} \quad . \quad \frac{dM_{iz}(x)}{dx} = 0,1ql - \frac{qx^2}{3l} = 0 \quad ;$$

$$x_{1,2} = \pm\sqrt{0,3l} = \pm 0,54l \quad ; \quad x = 0,54l \in (0;3l)$$

$M_{iz}''(0,54l) < 0$, deci $x = 0,54l$ este un punct de maxim.

$$M_{iz}(0,54l) = 0,1ql(0,54l) - \frac{q(0,54l)^3}{9l} - 0,6ql^2 = -0,563ql^2;$$

$$M_{iz\max} = |-3,3ql^2| = 3,3ql^2 = 3,3 \cdot \frac{N}{mm^2} (0,78m)^2 =$$

$$= 6,02316 \cdot 10^3 N \cdot mm$$

Dimensionăm cu relația:

$$W_{znec} = \frac{\pi \cdot d^3}{32} = \frac{M_{iz\max}}{\sigma_a};$$

$$d = \sqrt[3]{\frac{32M_{iz\max}}{\pi \cdot \sigma_a}} = \sqrt[3]{\frac{32 \cdot 6,02316 \cdot 10^3 N \cdot mm}{\pi \cdot \frac{105N}{mm^2}}} = 8,361mm;$$

$$d = 9 \text{ mm.}$$

Ridicarea nedeterminării prin procedeul Clebsch

Problema nr:2

Să se verifice bara din figura 63 , știind că : $q = 2,8 \text{ N/m}$; $l = 0,53 \text{ m}$; $\sigma_a = 109 \frac{N}{mm^2}$ iar secțiunea transversală a barei fiind cea din figura 62

Rezolvare:

Scriem condițiile de echilibru static:

$$\sum F_y = 0 \quad ; \quad (1) \quad V_A + V_B + V_C - 4ql - 6ql = 0 \quad ;$$

$$\sum M_{iz}(A) = 0; \quad (2) \quad 4ql \cdot 2l + 6ql \cdot 6l + ql^2 - V_B \cdot 4l - V_C \cdot 7l = 0.$$

Avem din condițiile de echilibru cele două ecuații independente, iar numărul de necunoscute sunt trei (V_A , V_B , V_C) deci problemă este simplu static nedeterminată, se ridică nedeterminarea din condiția de deformații, folosind procedeul Clebsch.

Notă:

Dacă se mai scrie $\sum M_{izB} = 0$; se obține o ecuație care este o combinație liniară dintre ecuațiile (1) și (2) , la fel și pentru

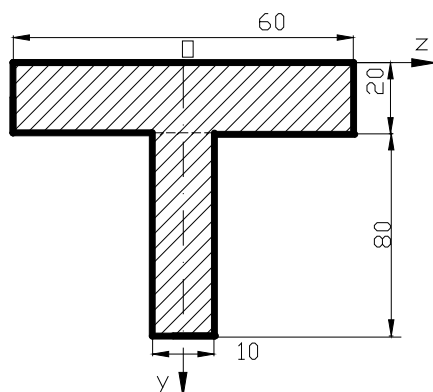


Figura 62

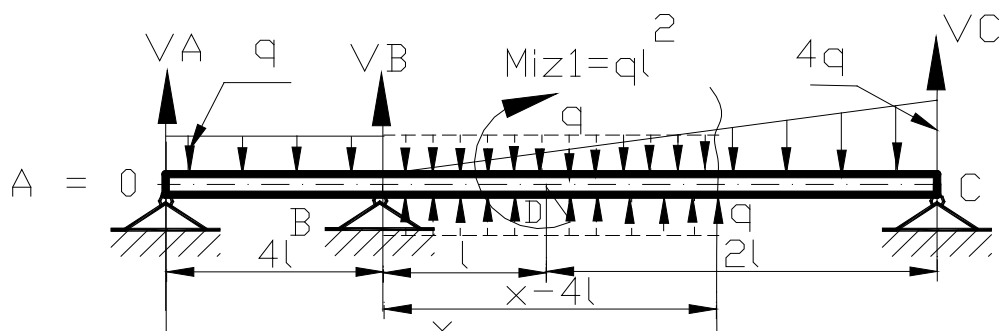


Figura 63

$\sum M_{izC} = 0$; acest lucru s-a specificat de a nu se greși modul de abordare al problemelor static nedeterminate.

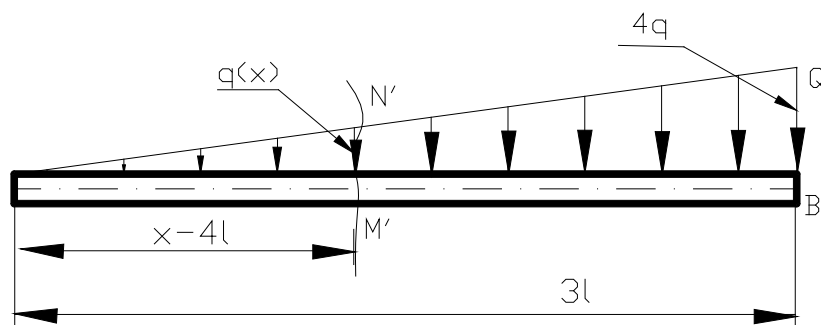


Figura 64

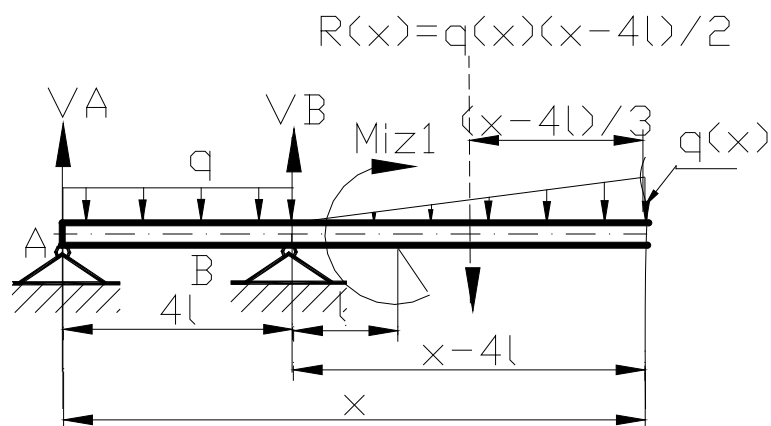


Figura 65

$$M_{iz}(x) = V_A \cdot x - \frac{qx^2}{2} + V_B(x-4l) + \frac{q(x-4l)^2}{2} - \frac{2q(x-4l)^3}{9l} +$$

$$+ ql^2(x-5l)^0;$$

$$\frac{q(x)}{4q} = \frac{(x-4l)}{3l} \text{ din figura 64 ;}$$

$$q(x) = \frac{4q}{3l}(x-4l); \quad R_{\oplus}(x) = \frac{4q}{3l}(x-4l) \frac{(x-4l)}{2} = \frac{2q}{3l}(x-4l)^2 ;$$

$$M_{iz\oplus}(x) = -\frac{2q}{3l}(x-4l)^2 \frac{(x-4l)}{3} = -\frac{2q}{9l}(x-4l)^3 ;$$

Ecuția fibrei medii deformate :

$$EI_z \frac{d^2v}{dx^2} = -[V_A \cdot x - \frac{qx^2}{2} + V_B(x-4l) + \frac{q(x-4l)^2}{2} - \frac{2q(x-4l)^3}{9l} +$$

$$+ ql^2(x-5l)^0];$$

$$EI_z \frac{d}{dx} v = -V_A \cdot \frac{x^2}{2} + \frac{qx^3}{6} - \frac{1}{2}V_B(x-4l)^2 - \frac{q(x-4l)^3}{6} +$$

$$+ \frac{q(x-4l)^4}{18l} - ql^2(x-5l) + C$$

$$EI_z v(x) = -V_A \cdot \frac{x^3}{6} + \frac{qx^4}{24} - \frac{1}{6} V_B (x-4l)^3 - \frac{q(x-4l)^4}{24} +$$

$$+ \frac{q(x-4l)^5}{90l} - \frac{1}{2} ql^2 (x-5l)^2 + Cx + D$$

deoarece $A = 0$ fiind originea : $\frac{D}{EI_z} = v_0 = v_A = 0$; $D = 0$

A doua condiție de reazem:

$$\lim_{\substack{x \rightarrow 4l \\ x < 4l}} v(x) = v_B = 0 = \lim_{\substack{x \rightarrow 4l \\ x < 4l}} \frac{-V_A \frac{x^3}{6} + \frac{qx^4}{24} + Cx}{EI_z} ;$$

$$-V_A \frac{(4l)^3}{6} + \frac{q}{24} (4l)^4 + C \cdot 4l = 0 \quad ; \quad -V_A \frac{(4l)^2}{6} + \frac{q}{24} (4l)^3 + C = 0 \quad ;$$

$$C = V_A l^2 \frac{16}{6} - \frac{ql^3}{24} 4^3$$

$$C = 2,66 l^2 V_A - ql^3 2,66 \quad ; \quad C = 2,66 l^2 V_A - 2,66 ql^3 .$$

Folosind a III-a condiție de reazem obținem ecuația a III-a pentru a ridica nedeterminarea.

$$EI_z v(x) = -V_A \frac{x^3}{6} + \frac{qx^4}{24} - \frac{V_B}{6} (x-4l)^3 - \frac{q}{24} (x-4l)^4 +$$

$$+ \frac{q}{90l} (x-4l)^5 - \frac{ql^2}{2} (x-5l)^2 + 2,66x(l^2 V_A - ql^3)$$

$$v_C = \lim_{\substack{x \rightarrow 7l \\ x < 7l}} v(x) = 0 = \lim_{\substack{x \rightarrow 7l \\ x < 7l}} \frac{-V_A \frac{x^3}{6} + \frac{qx^4}{24} - \frac{V_B}{6} (x-4l)^3}{EI_z} +$$

$$\frac{-\frac{q}{24} (x-4l)^4 + \frac{q}{90l} (x-4l)^5 - \frac{ql^2}{2} (x-5l)^2 + 2,66x(l^2 V_A - ql^3)}{EI_z} ;$$

$$0 = \frac{-V_A \frac{(7l)^3}{6} + \frac{q(7l)^4}{24} - \frac{V_B}{6}(7l - 4l)^3}{EI_z} + \frac{-\frac{q}{24}(7l - 4l)^3 + \frac{q}{90l}(7l - 4l)^5 - \frac{ql^2}{2}(7l - 5l)^2 + 2,66 \cdot 7l(l^2 V_A - ql^3)}{EI_z}$$

$$-38,546 V_A - 4,5 V_B + ql \cdot 78,746 = 0; (3)$$

$$\left\{ \begin{array}{l} V_A + V_B + V_C = 10ql; (1) \\ -4V_B - 7V_C = -45ql; (2) \\ -38,546 V_A - 4,5 V_B + 78,746 ql = 0; (3) \end{array} \right. ;$$

$$\left\{ \begin{array}{l} 7V_A + 7V_B + 7V_C = 70ql; (1) \\ -4V_B - 7V_C = -45ql; (2) \\ 7V_A + 3V_B = 25ql \end{array} \right. ; V_A = 1,47 \text{ ql} ; V_B = 4,9 \text{ ql} ;$$

$V_C = 3,63 \text{ ql}$. Acum trebuie să verificăm dacă s-a făcut corect calculul forțelor de reacțiune, verificând ecuația de echilibru

$\sum M_{iz} = 0$; față de cel puțin două sau trei puncte, acest lucru se face statistic.

$$\sum M_{iz}(N) = 0; \quad \begin{array}{l} 1,47ql \cdot 2l - 4,9ql \cdot 2l + ql^2 + 6ql \cdot 4l - 3,63ql \cdot 5l = 0; \\ ql^2(2,94 - 9,8 + 25 - 18,15) = 0; \end{array}$$

$0 = 0$ se verifică .

$$\sum M_{iz}(M) = 0; \quad \begin{array}{l} 1,47ql \cdot 6l + 4,9ql \cdot 2l + ql^2 - 4ql \cdot 4l - 3,63ql \cdot l = 0; \\ ql^2(8,82 - 19,63 + 10,8) = 0; 0 = 0; \end{array} \quad \text{se verifică}$$

Rezultă calculul corect al forțelor de reacțiune: $V_A = 1,47 \text{ ql}$;
 $V_B = 4,9 \text{ ql}$; $V_C = 3,63 \text{ ql}$.

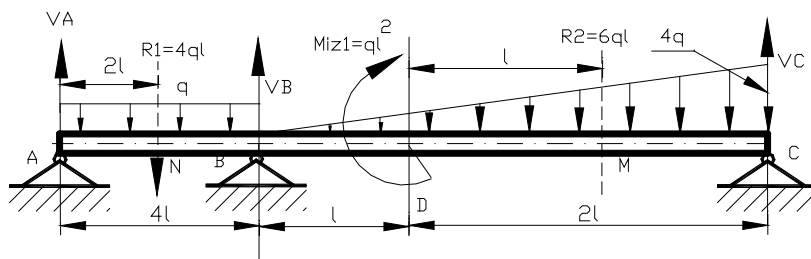


Figura 66

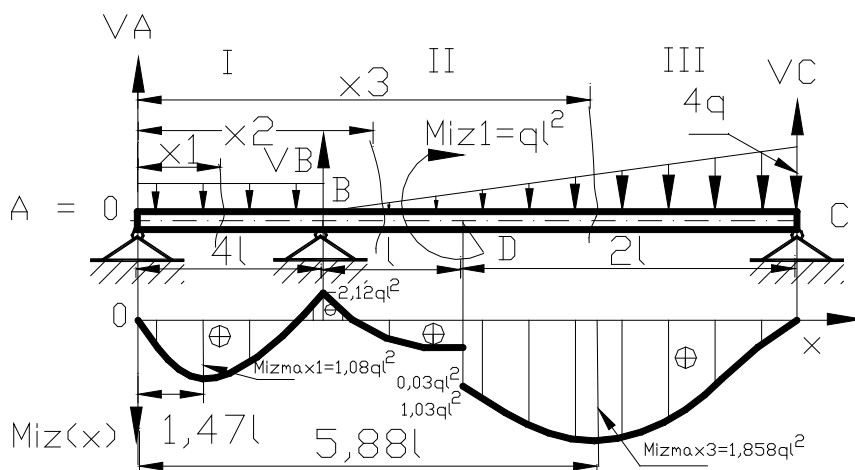


Figura 67

$$M_{iz}(x) = V_A \cdot x - \frac{qx^2}{2} + V_B(x-4l) + \frac{q(x-4l)^2}{2} - \frac{2q(x-4l)^3}{9l} + ql^2(x-5l)^0;$$

se înlocuie V_A și pe V_B , de unde rezultă:

$$M_{iz}(x) = 1,47ql \cdot x - \frac{qx^2}{2} + 4,9ql(x-4l) + \frac{q(x-4l)^2}{2} - \frac{2q(x-4l)^3}{9l} + ql^2(x-5l)^0;$$

expresia momentului generalizator.

Regiunea întâi

$$x_1 \in (0;4l); M_{iz}(x_1) = 1,47ql \cdot x_1 - \frac{qx_1^2}{2};$$

$$\lim_{x_1 \downarrow 0} M_{iz}(x_1) = \lim_{x_1 \downarrow 0} \left(1,47ql \cdot x_1 - \frac{qx_1^2}{2} \right) = 0;$$

$$\lim_{x_1 \uparrow 4l} M_{iz}(x_1) = \lim_{x_1 \uparrow 4l} \left(1,47ql \cdot x_1 - \frac{qx_1^2}{2} \right) = 1,47ql \cdot 4l - \frac{q(4l)^2}{2} = -2,12ql^2;$$

$$\frac{dM_{iz}(x_1)}{dx_1} = 1,47ql - qx_1;$$

$$\frac{dM_{iz}(x_1)}{dx_1} = 1,47ql - qx_1 = 0; \quad x_1 = 1,47l \in (0;4l), \text{ fiind un punct}$$

$$\text{de extrem. } \frac{d^2 M_{iz}(x_1)}{dx_1^2} = -q < 0; \text{ concavă și } x_1 = 1,47l, \text{ este un punct}$$

$$\text{de maxim, } M_{iz \max} = M_{iz}(1,47l) = 1,47ql \cdot 1,47l - \frac{q(1,47l)^2}{2} = 1,08ql^2;$$

Regiunea a II-a

$$x_2 \in (4l;5l);$$

$$M_{iz}(x_2) = 1,47ql \cdot x_2 - \frac{qx_2^2}{2} + 4,9ql(x_2 - 4l) + \frac{q(x_2 - 4l)^2}{2} - \frac{2q(x_2 - 4l)^3}{9l}$$

$$\lim_{x_2 \downarrow 4l} M_{iz}(x_2) = \lim_{x_2 \downarrow 4l} \left[1,47ql \cdot x_2 - \frac{qx_2^2}{2} + 4,9ql(x_2 - 4l) + \frac{q(x_2 - 4l)^2}{2} - \frac{2q(x_2 - 4l)^3}{9l} \right] = -2,12ql^2$$

$$\lim_{x_2 \uparrow 5l} M_{iz}(x_2) = \lim_{x_2 \uparrow 5l} \left[1,47ql \cdot x_2 - \frac{qx_2^2}{2} + 4,9ql(x_2 - 4l) + \frac{q(x_2 - 4l)^2}{2} - \frac{2q(x_2 - 4l)^3}{9l} \right] = 0,03ql^2$$

$$M'_{iz}(x_2) = 1,47ql - qx_2 + 4,9ql + \frac{q(x_2 - 4l)}{3l} - \frac{2q(x_2 - 4l)^2}{3l};$$

$$M''_{iz}(x_2) = -q + q - \frac{4q(x_2 - 4l)}{3l} < 0;$$

$$M'_{iz}(x_2) = 1,47ql - qx_2 + 4,9ql + \frac{q(x_2 - 4l)}{3l} - \frac{2q(x_2 - 4l)^2}{3l} = 0;$$

$$(x_2 - 4l)^2 = \frac{3l^2 \cdot 2,37}{2};$$

$x_{21} = 5,88l$; $x_{22} = 2,12l$, nu aparțin domeniului maxim de definiție , deci nu avem puncte de extrem pe această regiune.

Regiunea a III-a

$$x_3 \in (5l; 7l); \quad M_{iz}(x_3) = 1,47ql \cdot x_3 - \frac{qx_3^2}{2} + 4,9ql(x_3 - 4l) + \frac{q(x_3 - 4l)^2}{2} - \frac{2q(x_3 - 4l)^3}{9l} + ql^2(x_3 - 5l)^0$$

$$\lim_{x_3 \uparrow 7l} M_{iz}(x_3) = \lim_{x_3 \uparrow 7l} \left[1,47ql \cdot x_3 - \frac{qx_3^2}{2} + 4,9ql(x_3 - 4l) + \frac{q(x_3 - 4l)^2}{2} - \frac{2q(x_3 - 4l)^3}{9l} + ql^2 \right] = 0$$

$$\lim_{x_3 \downarrow 5l} M_{iz}(x_3) = \lim_{x_3 \downarrow 5l} \left[1,47ql \cdot x_3 - \frac{qx_3^2}{2} + 4,9ql(x_3 - 4l) + \frac{q(x_3 - 4l)^2}{2} - \frac{2q(x_3 - 4l)^3}{9l} + ql^2 \right] = 1,03ql^2$$

$$M'_{iz}(x_3) = 1,47ql - qx_3 + 4,9ql + \frac{q(x_3 - 4l)}{3l} - \frac{2q(x_3 - 4l)^2}{3l};$$

$$M''_{iz}(x_3) = -q + q - \frac{4q(x_3 - 4l)}{3l} < 0;$$

$$M'_{iz}(x_3) = 1,47ql - qx_3 + 4,9ql + \frac{q(x_3 - 4l)}{3l} - \frac{2q(x_3 - 4l)^2}{3l} = 0;$$

$$(x_3 - 4l)^2 = \frac{3l^2 \cdot 2,37}{2};$$

$x_{31} = 5,88l$; $x_{32} = 2,12l$, numai $x_{31} = 5,88l \in (5l; 7l)$ fiind punct de maxim.

$$M_{iz \max} = 1,47ql \cdot 5,88l - \frac{q(5,88l)^2}{2} + 4,9ql(5,88l - 4l) + \frac{q(5,88l - 4l)^2}{2} - \frac{2q(5,88l - 4l)^3}{9l} + ql^2(5,88l - 5l)^0;$$

$M_{iz \max} = 1,858ql^2$. Caracteristicile geometrice ale secțiunii transversale:

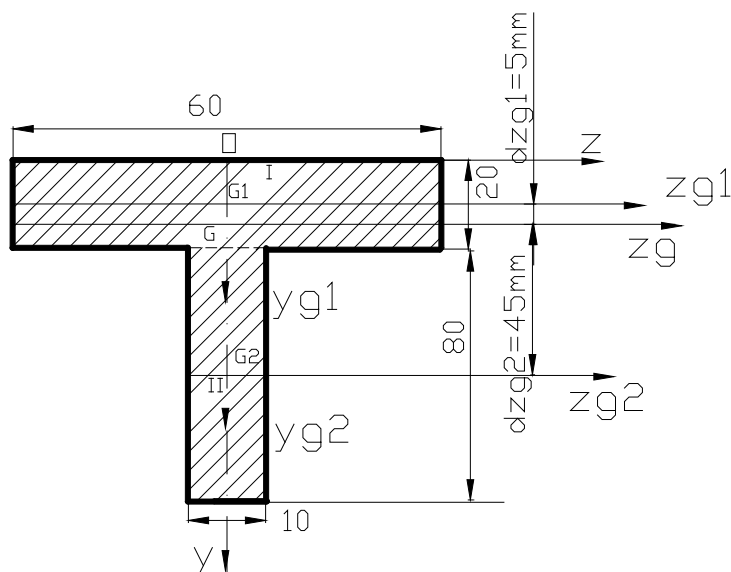


Figura 68

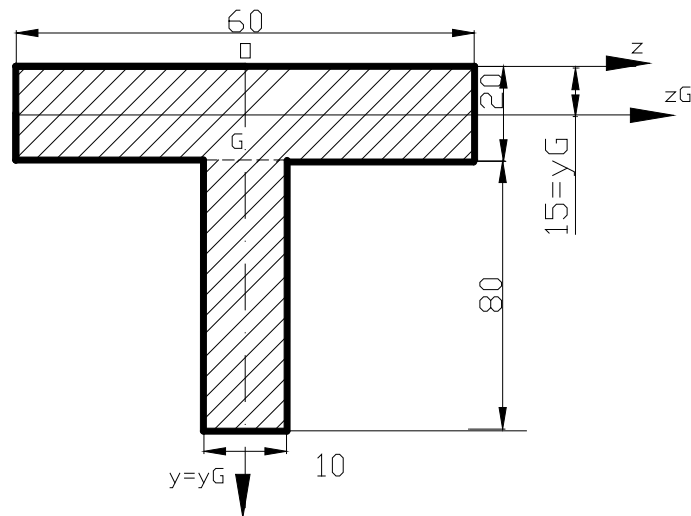


Figura 69

$$G_1 (0;10); \quad G_1 (z_1;y_1); \quad A_1 = 60 \cdot 20 = 1200 \text{ mm}^2; \quad G_2 (0;60); \\ G_2 (z_2;y_2); \quad A_2 = 80 \cdot 10 = 800 \text{ mm}^2;$$

$$y_G = \frac{y_1 A_1 + y_2 A_2}{A_1 + A_2} = \frac{10 \cdot 1200 + 60 \cdot 800}{1200 + 800} \frac{\text{mm}^3}{\text{mm}^2} = 15 \text{ mm};$$

$$I_z = I_z^I + I_z^{II}; \quad I_z^I = I_{zG1} + A_1 \cdot d_{zG1}^2;$$

$$I_z^{II} = I_{zG2} + A_2 \cdot d_{zG2}^2;$$

$$I_z^I = I_{zG1} + A_1 \cdot d_{zG1}^2 = \left[\frac{20^3 \cdot 60}{12} + 1200 \cdot (15 - 10)^2 \right] \text{mm}^4 = 7 \cdot 10^4 \text{ mm}^4$$

;

$$I_z^{II} = I_{zG2} + A_2 \cdot d_{zG2}^2 =$$

$$\left[\frac{80^3 \cdot 10}{12} + 800 \cdot (60 - 15)^2 \right] \text{mm}^4 = 2046666,66 \text{ mm}^4;$$

$$I_z = 2116666,66 \text{ mm}^4.$$

$$W_{z \min} = \frac{I_z}{y_{\max}} = \frac{2116666,66 \text{ mm}^4}{85 \text{ mm}} = 24901,96 \text{ mm}^3;$$

$$\sigma_{\max} = \frac{M_{iz \max}}{W_{z \min}}; \text{ relația de verificare.}$$

$$M_{iz \max} = |-2,12ql^2| = 2,12ql^2 = 2,12 \cdot 2,8 \frac{\text{N}}{\text{m}} (0,53 \text{ m})^2 = ;$$

$$= 2,12 \cdot 2,8 \cdot (0,53)^2 \cdot 10^3 \text{ N} \cdot \text{mm} = 1,667422 \cdot 10^3 \text{ N} \cdot \text{mm};$$

$$\sigma_{\max} = \frac{M_{iz \max}}{W_{z \min}} = \frac{1,667422 \cdot 10^3 \text{ N} \cdot \text{mm}}{24901,96 \text{ mm}^3} = 0,066 \frac{\text{N}}{\text{mm}^2} < \sigma_a, \text{ bara}$$

rezistă .

Ridicarea nedeterminării prin teoremele lui Castigliano

Problema nr:3.

Să se dimensioneze bara din figura 70 , știind că : $q=2,5 \frac{\text{N}}{\text{m}}$,

$$l = 0,29 \text{ m} \text{ și } \sigma_a = 111 \frac{\text{N}}{\text{mm}^2} , \quad \frac{d}{D} = 0,8 .$$

Rezolvare:

$$V_A + V_B + V_D - ql - \frac{16ql}{3} = 0 \quad (1) ; \quad \sum F_y = 0 ; \quad \sum M_{izA} = 0$$

$$ql * l - V_B * 3l + \frac{16ql}{3}(15l) - V_D * 19l = 0 ;$$

$$ql^2 - 3V_B * l + 80ql^2 - 19V_D * l = 0$$

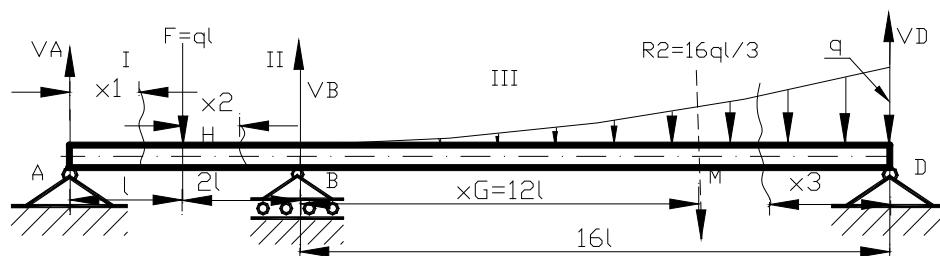


Figura 70

$$\begin{cases} 3V_B + 19V_D = 81ql(2) \\ V_A + V_B + V_D = 6,33ql(1) \end{cases} ; \quad 19V_D = 81ql - 3V_B ;$$

$$V_D = 4,2631ql - 0,157895V_B$$

$$V_A = 6,33ql - V_B - 4,2631ql + 0,1578V_B ;$$

$$V_A = 2,066ql - 0,8422V_B ;$$

Problema este simplu static nedeterminată, sunt două ecuații și trei necunoscute : V_A , V_B , V_D .Am ales ca necunoscută static nedeterminată pe V_B , în mod indirect a dus la explicitarea forțelor de reacțiune V_A și V_D funcție de V_B .

Regiu -nea	$M_{iz}(x)$	$\frac{\partial M_{iz}(x)}{\partial V_B}$	$x \in \dots$
întâi	$2,066qlx - 0,8422xV_B$	$-0,8422x$	$(0, l)$
a II-a	$2,66ql^2 + 1,066qlx - 0,8422V_B(l + x)$	$-0,8422(1+x)$	$(0, 2l)$
a III-a	$\frac{-qx^4}{3072l^2} + \frac{qx^3}{48l} - \frac{qx^2}{2} + 4,2631qlx - 0,1578V_Bx$	$-0,1578x$	$(0, 16l)$

Regiunea întâi $x_1 \in (0, l]$

$$M_{iz}(x) = V_A x_1 = (2,066ql - 0,8422V_B)x$$

Regiunea a II-a:

$$x_2 \in (0, 2l]; \quad M_{iz}(x_2) = V_A(l + x_2) - qlx \quad ;$$

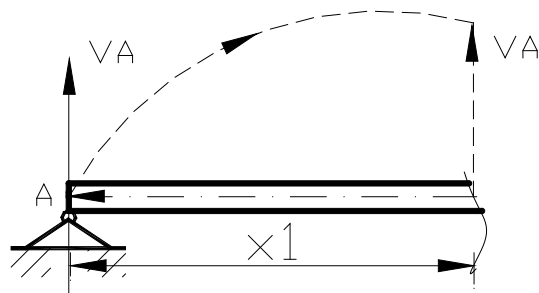


Figura 71

$$M_{iz}(x) = (2,066ql - 0,8422V_B)(l + x) - qlx = 2,066ql^2 - 0,8422V_Bl +$$

$$2,066qlx - 0,8422V_Bx - qlx ;$$

$$M_{iz}(x) = 2,066ql^2 + 1,066qlx - 0,8422V_B(l + x)$$

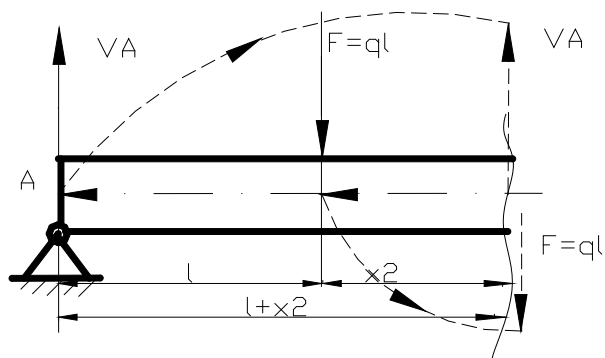


Figura 72 a

Regiunea a III-a : $x_3 \in (0,16l)$

$$M_{iz}(x_4) = -\frac{qx^4}{3072l^2} + \frac{qx^3}{48l} - \frac{qx^2}{2} + V_Dx ;$$

$$V_D = 4,2631ql - 0,1578V_B$$

$$\begin{aligned}
 0 &= \frac{\partial L}{\partial V_B} = \sum \int \frac{1}{EI_z} M_{iz}(x) \frac{\partial M_{iz}(x)}{\partial V_B} dx = v_B ; \\
 0 &= \frac{1}{EI_z} \left\{ \int_0^l (2,066qlx - 0,84422V_B x)(-0,8422x) dx \right\} + \\
 &\frac{1}{EI_z} \left\{ \int_0^{16l} \left[\frac{-qx^4}{3072l^2} + \frac{qx^3}{48l} - \frac{qx^2}{2} + 4,2631qlx - 0,1578V_B x \right] (-0,1578x) dx \right\} + \\
 &\frac{1}{EI_z} \left\{ \int_0^{2l} (2,066ql^2 + 1,066qlx - 0,84422V_B(l+x))[-0,8422(l+x)] dx \right\} \\
 0 &= -0,8422 \int_0^l (2,066qlx^2 - 0,84422V_B x^2) dx - \\
 &-0,8422 \int_0^{2l} \left[2,066ql^3 + 2,066ql^2 x + 1,066ql^2 x + 1,066qlx^2 \right] \\
 &+ 0,8422^2 V_B \int_0^{2l} (l^2 + 2lx + x^2) dx - \\
 &-0,1578 \int_0^{16l} \left[\frac{-qx^5}{3072l^2} + \frac{qx^4}{48l} - \frac{qx^3}{2} + 4,2631qlx^2 - 0,1578V_B x^2 \right] dx
 \end{aligned}$$

$V_B = 4,54023 \cdot ql$; $V_A = -1,7577 \cdot ql$; $V_D = 3,5463 \cdot ql$. $\sum M_{iz} = 0$;
 este ecuația de echilibru și este îndeplinită pentru toate punctele din spațiu sau plan, dar se ia numai punctele de pe bară , pentru că se știu brațele forțelor, nu trebuie să se lucreze la o anumită scară pentru a măsura și brațele forțelor.

Deoarece V_A a dat o valoare negativă , i se schimbă sensul.

$$\sum M_{iz}(H) = 0;$$

$$-1,7577ql \cdot l - 4,54023ql \cdot 2l + \frac{16ql}{3} \cdot 14l - 3,5463ql \cdot 18l = 0 ?? ;$$

$$ql^2 \left(-1,7577 - 4,54023 \cdot 2 + \frac{16}{3} \cdot 14 - 3,5463 \cdot 18 \right) = 0;$$

$$ql^2 \left(-1,7577 - 9,084046 + 74,666 - 63,8334 \right) = 0;$$

$0 = 0$ verifică .

$$\sum M_{iz}(M) = 0;$$

$$-1,7577ql \cdot 15l - ql \cdot 14l + 4,54023ql \cdot 12l - 3,5463ql \cdot 4l = 0?? ;$$

$$ql^2(-1,7577 \cdot 15 - 14 + 4,54023 \cdot 12 - 3,5463 \cdot 4) = 0;$$

$$ql^2(-26,3655 - 14 + 54,4827 - 14,1852) = 0$$

$0 = 0$ verifică .

Regiunea întâi

$$x_1 \in (0;l);$$

$$M_{iz}(x_1) = -1,7577qlx_1$$

$$\lim_{x_1 \downarrow 0} M_{iz}(x_1) = \lim_{x_1 \downarrow 0} (-1,7577qlx_1) = 0;$$

$$\lim_{x_1 \uparrow l} M_{iz}(x_1) = \lim_{x_1 \uparrow l} (-1,7577qlx_1) = -1,7577ql^2;$$

Regiunea a II-a

$$x_2 \in (l;3l];$$

$$M_{iz}(x_2) = -1,7577qlx_2 - ql(x_2 - l) ;$$

$$\lim_{x_2 \downarrow l} M_{iz}(x_2) = \lim_{x_2 \downarrow l} [-1,7577qlx_2 - ql(x_2 - l)] = -1,7577ql^2$$

$$\lim_{x_2 \uparrow 3l} M_{iz}(x_2) = \lim_{x_2 \uparrow 3l} [-1,7577qlx_2 - ql(x_2 - l)] = -7,2731ql^2$$

;

Regiunea a III-a

$$x_3 \in (0;16l);$$

$$M_{iz}(x_3) = -\frac{qx_3^4}{3072l^2} + \frac{qx_3^3}{48l} - \frac{qx_3^2}{2} + 3,5463qlx_3;$$

$$\lim_{x_3 \downarrow 0} M_{iz}(x_3) = \lim_{x_3 \downarrow 0} [-\frac{qx_3^4}{3072l^2} + \frac{qx_3^3}{48l} - \frac{qx_3^2}{2} + 3,5463qlx_3] = 0$$

Rezistența materialelor volumul II

$$\lim_{x_3 \uparrow 16l} M_{iz}(x_3) = \lim_{x_3 \uparrow 16l} \left[-\frac{qx_3^4}{3072l^2} + \frac{qx_3^3}{48l} - \frac{qx_3^2}{2} + 3,5463qlx_3 \right]$$

$$= -7,2731ql^2;$$

$$M'_{iz}(x_3) = -\frac{qx_3^3}{768l^2} + \frac{qx_3^2}{16l} - \frac{qx_3}{2} + 3,5463ql \quad ;$$

$$M''_{iz}(x_3) = -\frac{qx_3^2}{256l^2} + \frac{qx_3}{8l} - q;$$

$$M''_{iz}(x_3) = -\frac{qx_3^2}{256l^2} + \frac{qx_3}{8l} - q = 0 \quad ; \quad (x_3 - 16l)^2 = 0 \quad ; \quad \text{funcția este concavă.}$$

$$M'_{iz}(x_3) = -\frac{qx_3^3}{768l^2} + \frac{qx_3^2}{16l} - \frac{qx_3}{2} + 3,5463ql = 0 \quad ;$$

$$x_3^3 - 48lx_3^2 + 768l^2x_3 - 2723,5584l^3 = 0 \quad ;$$

x_3	4,8851	4,8871	4,91
$x_3^3 - 48lx_3^2 + 768l^2x_3 - 2723,5584l^3$	-0,741 ³	-0,0031 ³	4,811 ³

$x = 4,887 \text{ l}$ este punct de extrem .

$$M_{iz \max} = M(4,887 \text{ l}) = ql^2 \left[-\frac{4,887^4}{3072} + \frac{4,887^3}{48} - \frac{4,887^2}{2} + 3,5463 * 4,887 \right]$$

$$M_{iz \max} = 7,635ql^2$$

$$M_{iz \max} = |7,635ql^2| = 7,635ql^2 = 7,635 \cdot 2,5 \frac{N}{m} (0,29m)^2 =$$

$$= 7,635 \cdot 2,5 \cdot (0,29)^2 \cdot 10^3 \text{ N.mm} = 1,605 \cdot 10^3 \text{ N.mm.}$$

Relația de dimensionare : $W_{z nec} = \frac{M_{iz \max}}{\sigma_a} = \frac{1,605 \cdot 10^3 \text{ N.mm}}{111 \frac{N}{mm^2}} = 14,459 mm^3 ;$

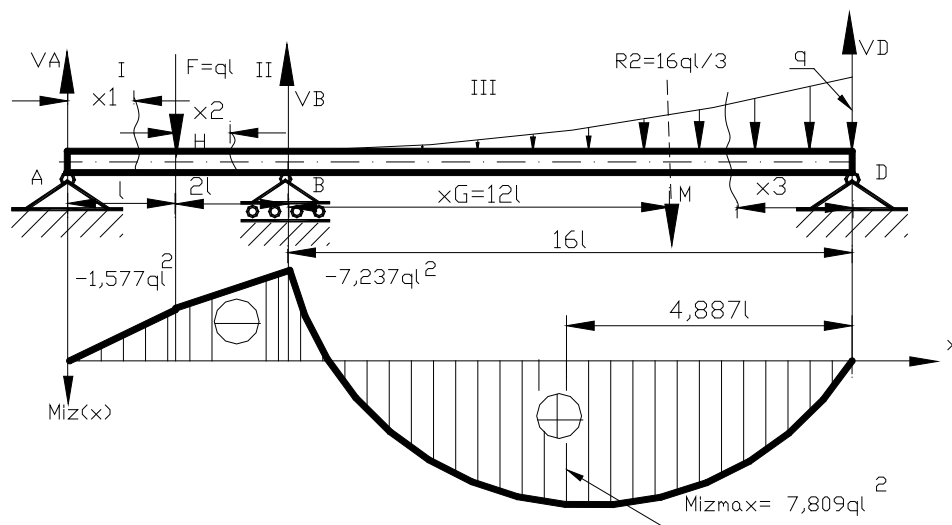


Figura 72 b

$$W_z = \frac{\pi}{32D} (D^4 - d^4) = \frac{\pi D^3}{32} (1 - 0,8^4) = 0,057933 D^3 = 14,459 \text{ mm}^3;$$

$$D = \sqrt[3]{\frac{14,459 \text{ mm}^3}{0,057933}} = 6,18 \text{ mm} \approx 7 \text{ mm};$$

$d = 4,2 \text{ mm}$, dar pentru a da valori întregi , se adoptă $D = 10 \text{ mm}$ și $d = 8 \text{ mm}$.

6.20. Ecuația celor trei momente (ecuația lui Clapeyron)

Dacă o bară are un număr mai mare de reazeme, numită și grindă continuă, pentru ea există o metodă proprie de rezolvare, numită ecuația celor trei momente, dacă bara ar avea (j) reazeme simple , statica ne oferă numai două ecuații de echilibru

($\sum F_y = 0$ și $\sum M_{iz} = 0$) deci bara va fi de (j-2) ori static

nedeterminată . Dacă există forțe exterioare înclinate active, atunci în mod obligatoriu trebuie să avem din cele (j) reazeme și o articulație fixă care să echilibreze rezultanta pe orizontală a forțelor înclinate active. În cazul în care avem o bară cu două reazeme ca în figura 74 , momentele încovoietoare în punctele A_i și A_{i+1} , sunt egale cu zero.

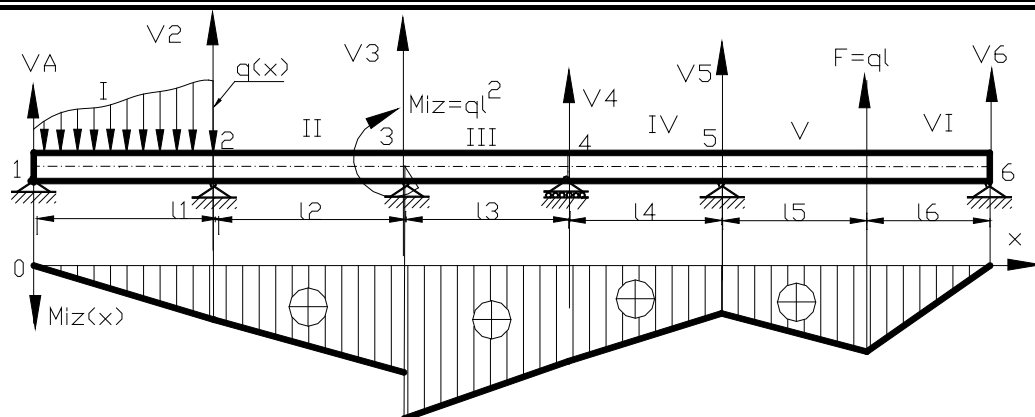


Figura 73

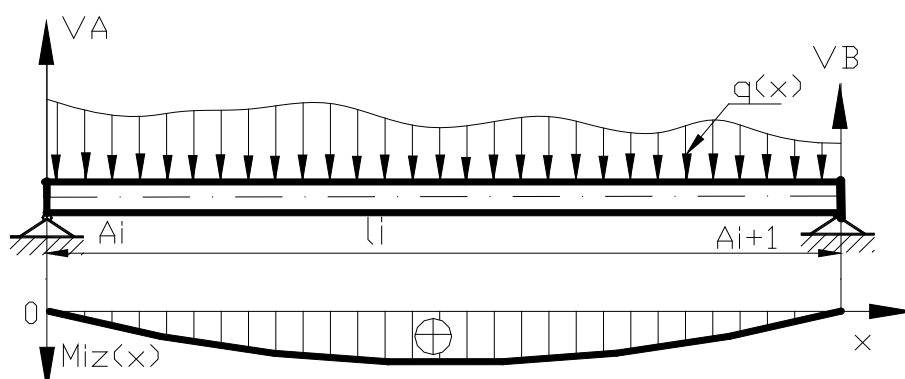


Figura 74

Cazul II

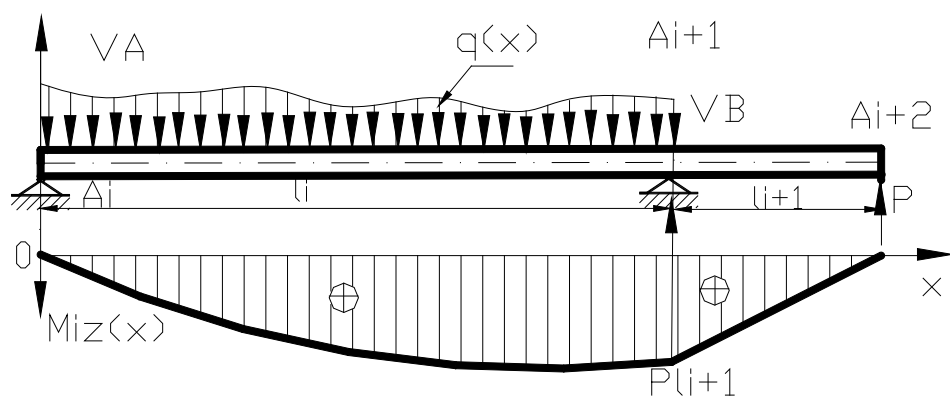


Figura 75

din figura 75, $M_{iz}(A_i) = 0$; $M_{iz}(A_{i+1}) = P \cdot l_{i+1}$, pentru că există consola $A_{i+1} A_{i+2}$.Din figura 76, $M_{iz}(A_{i+1}) = F_2 \cdot l_{i+1}$;

$$M_{iz}(A_i) = F_1 \cdot l_{i-1} .$$

Deci rezultă că în figura (73) inițială avem momente încovoietoare în reazemele 2,3,4 iar în reazemele extreme (1, 6) momentele încovoietoare sunt egale cu zero, menționăm că studiem momentele încovoietoare de pe axa OZ (nu de pe axa OY) . Studiind o bară cu (j) reazeme , sistemul este static nedeterminat de (j – 2) ori , în acest caz există momente încovoietoare în reazemele : 2,3 ...n-1,n...j-1 ,iar la capete , adică , în reazemele (1) și (j) momentele încovoietoare sunt egale cu zero [$M_{iz}(1) = 0$, $M_{iz}(j)=0$] .

Cazul III din figura 77

Atunci când se cunosc forțele de reacțiune : $V_1 , V_2 \dots V_j$, momentele pe reazeme, $M_2 , M_3 \dots M_{j-1}$ se pot calcula.

Și invers , dacă se cunosc momentele încovoietoare din reazemele 2,3 ...n-1,n...j-1 , se pot calcula forțele de reacțiune : $V_1 , V_2 \dots V_j$, acum se iau ca necunoscute static nedeterminate momentele încovoietoare din reazemele 2, 3 ...n-1, n...j-1.

Din condiția de derivabilitate a funcției fibrei medii deformată , rezultă câte o ecuație de deformații pentru fiecare reazem intermediar, se ia două deschideri succesive ale barei, limitate de reazemele n-1, n, n+1 din figura 78.

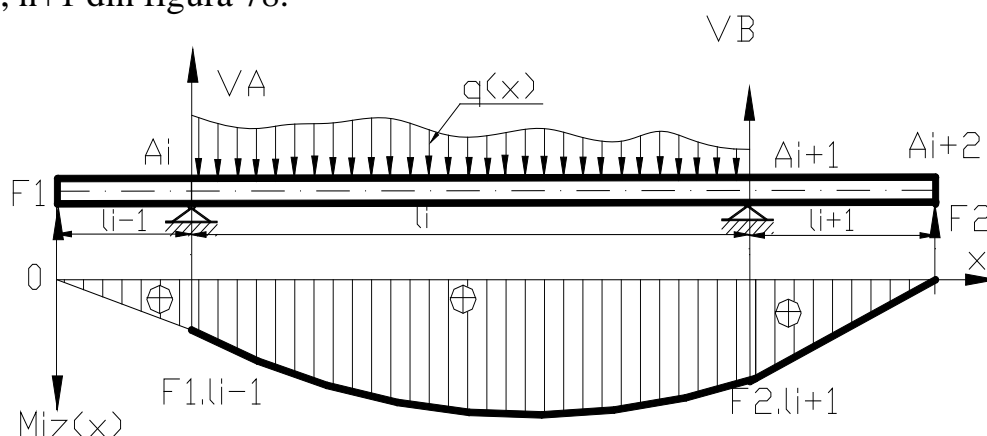


Figura 76

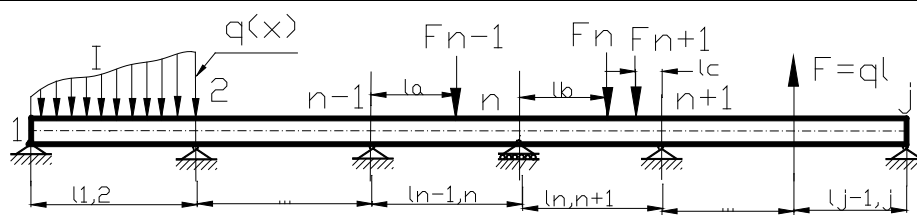


Figura 77

Această grindă din figura 78 fiind un tronson de grindă din figura 77 se poate descompune în grinzi simplu rezemate la capete, ca în figura 79, încărcate cu încărcătura lor provenită din forțele exterioare, F_{n-1} , F_n , F_{n+1} și pe de altă parte cu câte un cuplu (moment încovoietor) pe fiecare reazem.

Grinzile izolate $(n-1, n)$ și $(n, n+1)$ sunt simplu static nedeterminate și se ridică nedeterminarea cum s-a mai menționat din condiția de derivabilitate a funcției fibrei medii deformată.

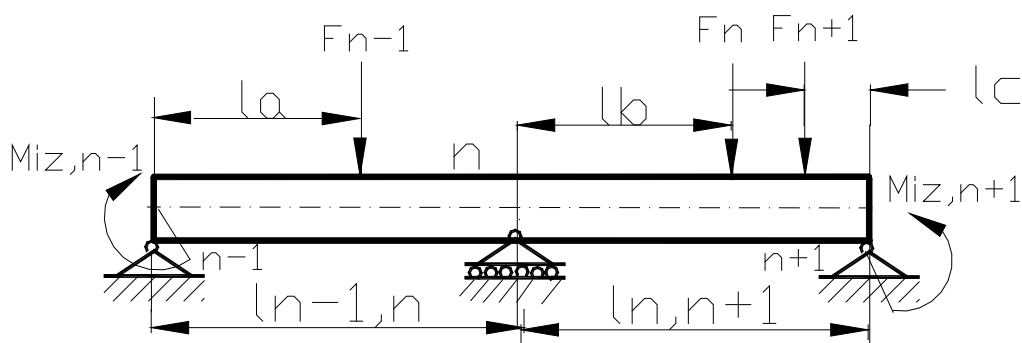


Figura 78

Funcția fibrei medii deformată trebuie să fie continuă și derivabilă pe tot domeniul maxim de definiție.

Pentru trasarea diagramelor de momente încovoietoare se aplică principiul suprapunerii efectelor, forțele exterioare dau anumite momente încovoietoare notate cu M_s .

Acestora li se adaugă triunghiurile date de momentele încovoietoare din reazeme: $M_{iz}(n-1)$, $M_{iz}(n)$, $M_{iz}(n+1)$.

Din figura 81 se vede că : $x \in (0; l_{n-1,n})$;

$$V_{n-1}'' + V_n'' = 0; \quad \sum M_{iz}(n-1) = 0; \quad M_{iz,n-1} - V_n'' l_{n-1,n} = 0;$$

$$V_n'' = \frac{M_{iz,n-1}}{l_{n,n-1}}; \text{ la fel și pentru}$$

$$V_{n-1}'' = -\frac{M_{iz,n-1}}{l_{n,n-1}}; M_{iz}(x) = \frac{-M_{iz,n-1}}{l_{n,n-1}} x + M_{iz,n-1}$$

$$\lim_{x \downarrow 0} M_{iz}(x) = \lim_{x \downarrow 0} \left[\frac{-M_{iz,n-1}}{l_{n,n-1}} x + M_{iz,n-1} \right] = M_{iz,n-1}$$

$$\lim_{x \uparrow l_{n-1,n}} M_{iz}(x) = \lim_{x \uparrow l_{n-1,n}} \left[\frac{-M_{iz,n-1}}{l_{n,n-1}} x + M_{iz,n-1} \right] =$$

$$= [-M_{iz,n-1} + M_{iz,n-1}] = 0$$

Din figura 80 rezultă: $x \in (0; l_{n-1,n})$; $V_{n-1}' + V_n' = F_{n-1}$; ecuația de

verificare, și din $\sum M_{iz}(n-1) = 0$; $-V_n' l_{n-1,n} + F_{n-1} l_a = 0$; $V_n' = \frac{F_{n-1} l_a}{l_{n-1,n}}$

din $\sum M_{iz}(n) = 0$; $V_{n-1}' l_{n-1,n} - F_{n-1} (l_{n-1,n} - l_a) = 0$; $V_{n-1}' = \frac{F_{n-1} (l_{n-1,n} - l_a)}{l_{n-1,n}}$

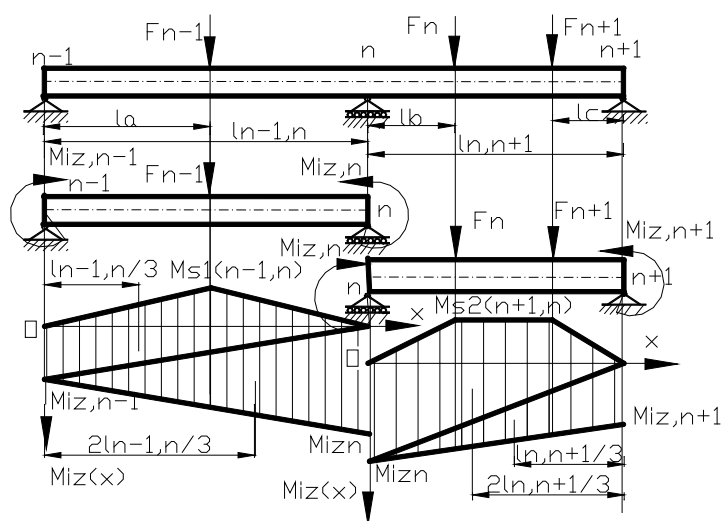


Figura 79

Rezistența materialelor volumul II

Regiunea întâi : $x_1 \in (0; l_a)$; $M_{iz}(x_1) = V'_{n-1} \cdot x_1$
 $\lim_{x_1 \downarrow 0} M_{iz}(x_1) = 0$; $\lim_{x_1 \uparrow l_a} M_{iz}(x_1) = V'_{n-1} l_a = M_{s1}(n-1, n)$.

Regiunea a II-a: $x_2 \in (0; l_{n-1, n} - l_a)$; $M_{iz}(x_2) = V'_n \cdot x_2$
 $\lim_{x_2 \downarrow 0} M_{iz}(x_2) = 0$; $\lim_{x_2 \uparrow l_{n-1, n} - l_a} M_{iz}(x_2) = M_{s1}(n-1, n)$.

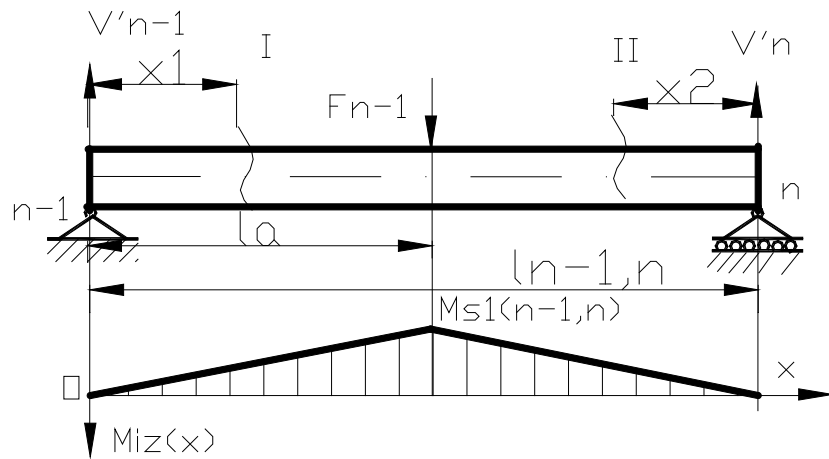


Figura 80

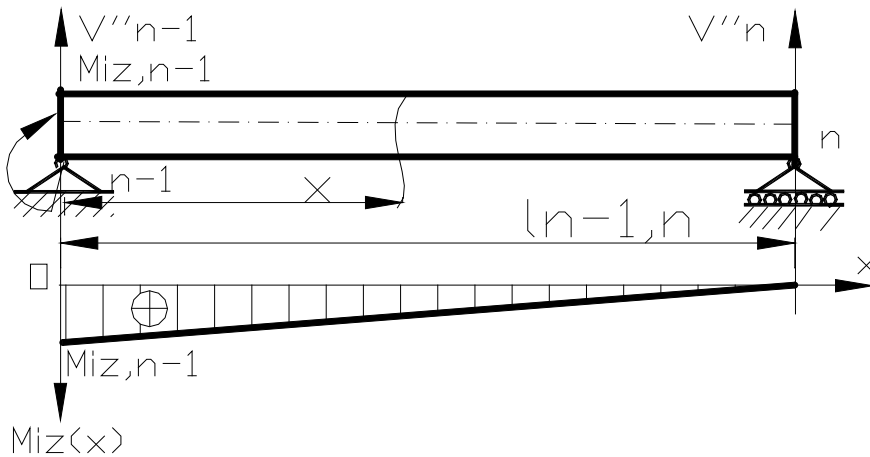


Figura 81

Din figura 82 rezultă:

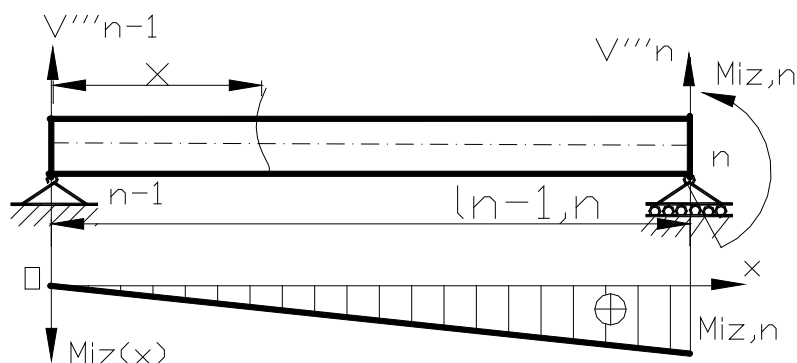
$$x \in (0; l_{n-1,n}) ; V_{n-1}''' + V_n''' = 0 ; \quad \sum M_{iz}(n-1) = 0 ;$$

$$-M_{iz,n} - V_n''' l_{n-1,n} = 0 ; \quad V_n''' = -\frac{M_{iz,n}}{l_{n,n-1}} ; \text{ la fel și pentru}$$

$$V_{n-1}''' = \frac{M_{iz,n}}{l_{n,n-1}} ; M_{iz}(x) = \frac{M_{iz,n}}{l_{n,n-1}} x ;$$

$$\lim_{x \downarrow 0} M_{iz}(x) = \lim_{x \downarrow 0} \left[\frac{M_{iz,n}}{l_{n,n-1}} x \right] = 0 ;$$

$$\lim_{x \uparrow l_{n-1,n}} M_{iz}(x) = \lim_{x \uparrow l_{n-1,n}} \left[\frac{M_{iz,n}}{l_{n,n-1}} x \right] = M_{iz,n} .$$


Figura 82

Acum se însumează efectele produse de forța F_{n-1} și momentele încovoietoare $M_{iz,n}$, $M_{iz,n-1}$, se pun pe o singură diagramă conform principiului suprapunerii efectelor ca în figura 79, la fel se procedează și cu tronsonul $(n, n+1)$. **Din figura 83 b cu** $x \in (0; l_{n+1,n})$;

$$V_{n+1}' + V_n' = 0 ; \quad \sum M_{iz}(n+1) = 0 ; \quad M_{iz,n} + V_n' l_{n+1,n} = 0 ;$$

$$V_n' = -\frac{M_{iz,n}}{l_{n,n+1}} ; \text{ la fel și pentru } V_{n+1}' = \frac{M_{iz,n}}{l_{n,n+1}} ;$$

$$M_{iz}(x) = \frac{M_{iz,n}}{l_{n,n+1}} x ; \quad \lim_{x \downarrow 0} M_{iz}(x) = \lim_{x \downarrow 0} \left[\frac{M_{iz,n}}{l_{n,n+1}} x \right] = 0$$

$$\lim_{x \uparrow l_{n,n+1}} M_{iz}(x) = \lim_{x \uparrow l_{n,n+1}} \left[\frac{M_{iz,n}}{l_{n,n+1}} x \right] = M_{iz,n} ; \text{ apoi se trasează}$$

din figura 83 a diagrama de momente încovoietoare $M_{s2}(n,n+1)$.

Din figura 84 cu : $x \in (0; l_{n+1,n})$

$$V_{n-1}^{IV} + V_n^{IV} = 0; \quad \sum M_{iz}(n) = 0; \quad M_{iz,n+1} + V_{n+1}^{IV} \cdot l_{n+1,n} = 0$$

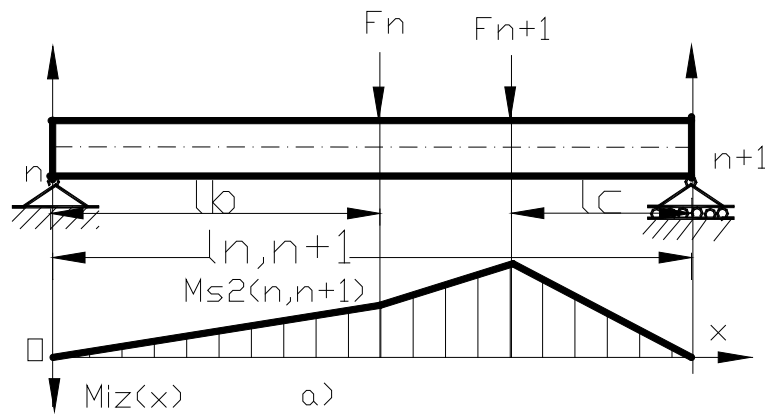


Figura 83 a

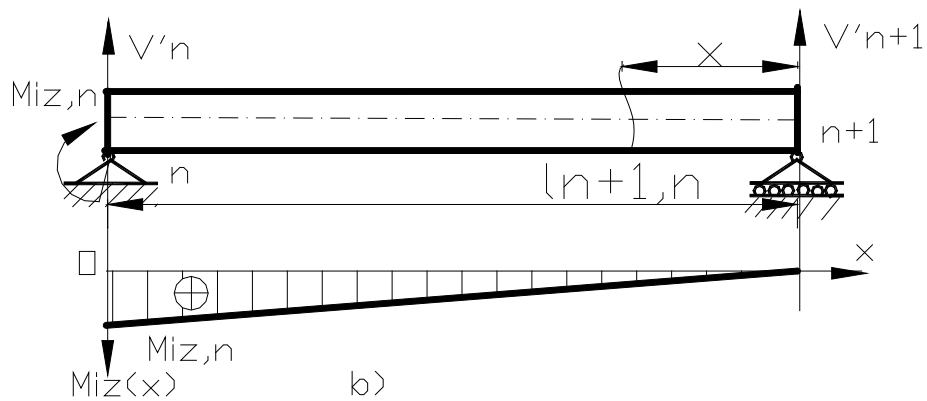


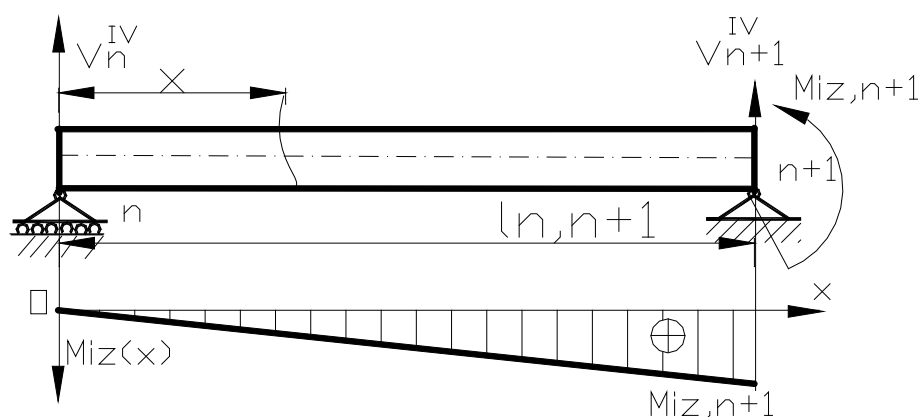
Figura 83 b

$$V_{n+1}^{IV} = -\frac{M_{iz,n+1}}{l_{n,n+1}}; \text{ la fel și pentru}$$

$$V_n^{IV} = \frac{M_{iz,n+1}}{l_{n,n+1}}; M_{iz}(x) = \frac{M_{iz,n+1}}{l_{n,n+1}} x ;$$

$$\lim_{x \downarrow 0} M_{iz}(x) = \lim_{x \downarrow 0} \left[\frac{M_{iz,n+1}}{l_{n,n+1}} x \right] = 0 ;$$

$$\lim_{x \uparrow l_{n,n+1}} M_{iz}(x) = \lim_{x \uparrow l_{n,n+1}} \left[\frac{M_{iz,n+1}}{l_{n,n+1}} x \right] = M_{iz,n+1} .$$


Figura 84

Fie grinda (n-1, n , n+1) din figura 79 , aplicăm metoda grafo-analitică , cu mențiunea că originea este în reazemul (n) , adică în cel din mijloc, φ_n^s fiind unghiul de rotire al secțiunii transversale din stânga reazemului (n) datorită sarcinilor de pe grinda (n-1 , n) , φ_n^d fiind unghiul de rotire al secțiunii transversale din dreapta reazemului (n) , datorită sarcinilor de pe grinda (n , n+1).

$\varphi_n^s = -\varphi_n^d$ (când se schimbă sensul axei OX , atunci se schimbă și semnul derivatei întâi)

$$\varphi_0 = \frac{[v(x) - v_0]}{x} + \frac{S_{ox}}{x * EI_z} ; \quad O = n , \text{ originea } .$$

$$\varphi_n^s = \frac{[v_{n-1}(x) - v_n(x)]}{l_{n-1,n}} + \frac{S_{n,n-1}}{l_{n-1} * E_{n-1,n} I_{n-1,n}} ;$$

$$\varphi_n^s = \frac{[v_{n-1}(x) - v_n(x)]}{l_{n-1,n}} + \frac{s_{n,n-1}}{l_{n-1} * E_{n-1,n} I_{n-1,n}} +$$

$$+ \frac{1}{l_{n-1,n} E_{n-1,n} I_{n-1,n}} \left[\frac{M_{iz,n-1} l_{n-1,n}}{2} * \frac{l_{n-1,n}}{3} + \frac{M_{iz,n} * l_{n-1,n}}{2} * * \frac{2}{3} l_{n-1,n} \right]$$

Pentru $S_{n,n-1}$ avem contribuția momentelor încovoietoare $M_{iz,s}$ și a triunghiurilor date de momentele încovoietoare $M_{iz,n}$, $M_{iz,n-1}$.

$$S_{n,n-1} \frac{1}{l_{n-1,n} E_{n-1,n} I_{n-1,n}} = \frac{s_{n,n-1}}{l_{n-1} * E_{n-1,n} I_{n-1,n}} +$$

$$+ \frac{1}{l_{n-1,n} E_{n-1,n} I_{n-1,n}} \left[\frac{M_{iz,n-1} l_{n-1,n}}{2} * \frac{l_{n-1,n}}{3} + \frac{M_{iz,n} * l_{n-1,n}}{2} * * \frac{2}{3} l_{n-1,n} \right]$$

$$\frac{s_{n,n-1}}{l_{n-1} * E_{n-1,n} I_{n-1,n}} \text{ este dat de } M_{iz,s} . \quad \text{În mod analog se}$$

procedează și pentru calculul φ_n^d .

$$\varphi_n^d = \frac{[v_{n+1}(x) - v_n(x)]}{l_{n+1,n}} + \frac{S_{n,n+1}}{l_{n+1} * E_{n+1,n} I_{n+1,n}} ;$$

$$\varphi_n^d = \frac{[v_{n+1}(x) - v_n(x)]}{l_{n+1,n}} + \frac{s_{n,n+1}}{l_{n+1} * E_{n+1,n} I_{n+1,n}} +$$

$$+ \frac{1}{l_{n+1,n} E_{n+1,n} I_{n+1,n}} \left[\frac{M_{iz,n+1} l_{n+1,n}}{2} * \frac{l_{n+1,n}}{3} + \frac{M_{iz,n} * l_{n+1,n}}{2} * \frac{2}{3} l_{n+1,n} \right]$$

$$\text{din } \varphi_n^s = -\varphi_n^d ; \quad \varphi_n^s + \varphi_n^d = 0 ;$$

Rezistența materialelor volumul II

$$\begin{aligned}
 & \frac{[v_{n-1}(x) - v_n(x)]}{l_{n-1,n}} + \frac{s_{n,n-1}}{l_{n-1} * E_{n-1,n} I_{n-1,n}} + \\
 & + \frac{1}{l_{n-1,n} E_{n-1,n} I_{n-1,n}} \left[\frac{M_{iz,n-1} l_{n-1,n}}{2} * \frac{l_{n-1,n}}{3} \right] + \\
 & \frac{[v_{n-1}(x) - v_n(x)]}{l_{n-1,n}} + \frac{s_{n,n-1}}{l_{n-1} * E_{n-1,n} I_{n-1,n}} + \\
 & + \frac{1}{l_{n-1,n} E_{n-1,n} I_{n-1,n}} \left[\frac{M_{iz,n-1} l_{n-1,n}}{2} * \frac{l_{n-1,n}}{3} + \frac{M_{iz,n} * l_{n-1,n}}{2} * \frac{2}{3} l_{n-1,n} \right] + \\
 & + \frac{1}{l_{n-1,n} E_{n-1,n} I_{n-1,n}} \frac{M_{iz,n} * l_{n-1,n}}{2} * \frac{2}{3} l_{n-1,n}
 \end{aligned}$$

În cazul în care există : $E_{n-1,n} = E_{n+1,n} = E$ și $I_{n-1,n} = I_{n+1,n} = I_z$ se obține relația ,

$$\begin{aligned}
 & M_{iz,n-1} * \frac{l_{n-1,n}}{6} + \frac{2M_{iz,n} * l_{n-1,n}}{6} + \frac{s_{n,n-1}}{l_{n-1,n}} + \\
 & + EI_z \left[\frac{v_{n-1}(x) - v_n(x)}{l_{n-1,n}} + \frac{v_{n+1}(x) - v_n(x)}{l_{n+1,n}} \right] + M_{iz,n+1} * \frac{l_{n,n+1}}{6} + \\
 & + 2M_{iz,n} * \frac{l_{n,n+1}}{6} + \frac{s_{n,n+1}}{l_{n,n+1}} = 0 \\
 & M_{iz,n-1} l_{n-1,n} + 2M_{iz,n} [l_{n-1,n} + l_{n,n+1}] + M_{iz,n+1} l_{n,n+1} + \\
 & + 6EI_z \left[\frac{v_{n-1}(x) - v_n(x)}{l_{n-1,n}} + \frac{v_{n+1}(x) - v_n(x)}{l_{n+1,n}} \right] = -6 \left[\frac{s_{n,n-1}}{l_{n-1,n}} + \frac{s_{n,n+1}}{l_{n,n+1}} \right]
 \end{aligned}$$

aceasta este **ecuația celor trei momente sau ecuația lui Clapeyron**.

În cazul în care reazemele sunt rigide [$v_{n-1}(x) = v_n(x) = v_{n+1}(x) = 0$] și grinda continuă este de secțiune constantă , atunci se obține :

$$\begin{aligned}
 & M_{iz,n-1} l_{n-1,n} + 2M_{iz,n} [l_{n-1,n} + l_{n,n+1}] + M_{iz,n+1} l_{n,n+1} = \\
 & = -6 \left[\frac{s_{n,n-1}}{l_{n-1,n}} + \frac{s_{n,n+1}}{l_{n,n+1}} \right] , \text{ ecuația celor trei}
 \end{aligned}$$

momente pentru cazul particular , iar $s_{n,n-1}$ și $s_{n,n+1}$ sunt momentele

statice ale suprafețelor diagramelor de momente încovoietoare la grinzile simplu rezemate în raport cu reazemele (n-1) respectiv (n+1).

Problema nr.4

Să se verifice bara din figura 85 , știind că : $q = 1,3 \text{ N/m}$;

$$l = 0,285 \text{ m} ; \quad \sigma_a = 117 \frac{\text{N}}{\text{mm}^2} .$$

Secțiunea transversală a barei fiind cea din figura 86.

$$R = \int_0^{2l} q(x) dx = \int_0^{2l} q \cdot \sin \frac{\pi \cdot x}{2l} dx = q \int_0^{2l} \sin \frac{\pi \cdot x}{2l} dx ; \quad \text{se face schimbarea de}$$

variabilă , $\frac{\pi \cdot x}{2l} = t$; se diferențiază ,

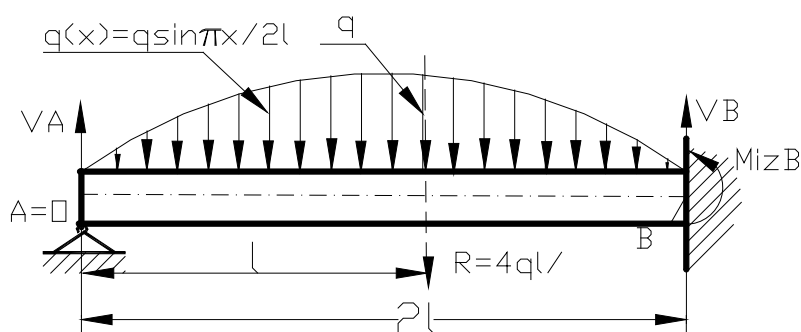


Figura 85

$$d\left(\frac{\pi \cdot x}{2l}\right) = dt ; \quad \frac{\pi \cdot x}{2l} dx = dt ; \quad dx = \frac{2l}{\pi} dt ; \quad t_1 = \frac{\pi \cdot 0}{2l} = 0 ;$$

$$t_2 = \frac{\pi \cdot 2l}{2l} = \pi ;$$

$$\cos \pi = -1 ; \cos 0 = 1 ;$$

$$R = q \int_0^{2l} \sin \frac{\pi \cdot x}{2l} dx = q \int_0^{\pi} \frac{2l}{\pi} \sin t \cdot dt = -\frac{2ql}{\pi} \cdot \cos t \Big|_0^{\pi} = -\frac{2ql}{\pi} (\cos \pi - \cos 0) = \frac{4ql}{\pi}$$

Punem condițiile de echilibru ale barei:

$$\sum F_y = 0 ; V_A - \frac{4ql}{\pi} + V_B = 0 ;$$

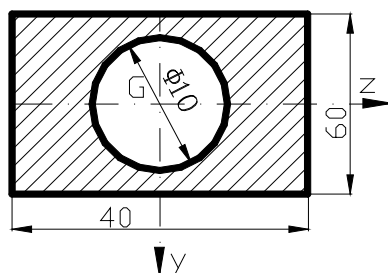


Figura 86

$\sum M_{iz,A} = 0; \frac{4ql}{\pi} \cdot l - V_B \cdot 2l - M_{iz}(B) = 0$; există două ecuații și trei necunoscute [V_A , V_B , $M_{iz}(B)$], sistemul este simplu static nedeterminat, se ridică nedeterminarea cu ajutorul ecuației lui **Clapeyron**.

Reazemul încastrat din punctul (B) , la această metodă se descompune în două reazeme articulate aflate la distanța ε (ε este un număr pozitiv foarte aproape de zero) , pentru că ecuația lui Clapeyron se aplică la trei reazeme articulate consecutive (acest lucru reiese din demonstrația teoremei). Aplicăm ecuația celor trei momente pentru reazemele articulate din punctele : A – B – B' , fiind

$$M_{iz}(A) \cdot 2l + 2M_{iz}(B)[2l + \varepsilon] + M_{iz}(B') = -6 \left[\frac{S_{BA}}{2l} + \frac{S_{BB'}}{\varepsilon} \right]$$

$$M_{iz}(A) = 0; M_{iz}(B') = 0; S_{BB'} = 0; 4l \cdot M_{iz}(B) = -6 \frac{S_{BA}}{2l}; M_{iz}(B) = -\frac{3}{4} \cdot \frac{S_{BA}}{l^2}$$

$$; q(x) = q \sin \frac{\pi x}{2l}; \quad \frac{dT(x)}{dx} = -q(x) ;$$

$$dT(x) = -q(x)dx; \int dT(x) = -\int q(x)dx; T(x) = -\int q \sin \frac{\pi x}{2l} dx = -q \int \sin \frac{\pi x}{2l} dx ; \quad \text{se}$$

face schimbarea de variabilă , $\frac{\pi \cdot x}{2l} = t$; se diferențiază ,

$$d\left(\frac{\pi \cdot x}{2l}\right) = dt; \quad \frac{\pi \cdot x}{2l} dx = dt; \quad dx = \frac{2l}{\pi} dt;$$

$$T(x) = -q \int \sin \frac{\pi \cdot x}{2l} dx = -q \int \frac{2l}{\pi} \sin t \cdot dt = \frac{2ql}{\pi} \cdot \cos t + C = \frac{2ql}{\pi} \cos \frac{\pi x}{2l} + C;$$

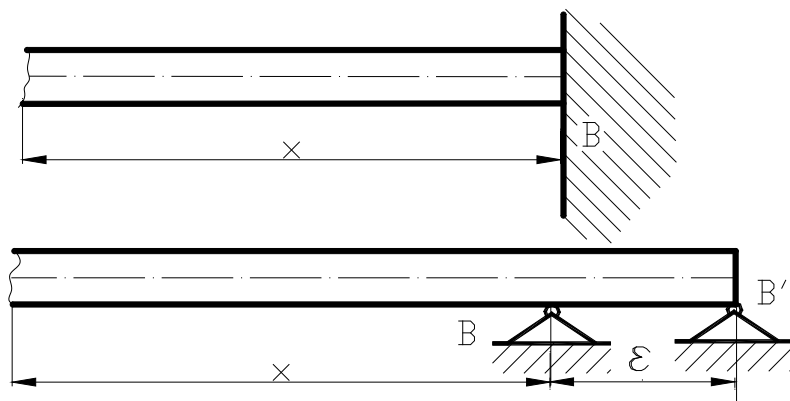


Figura 87

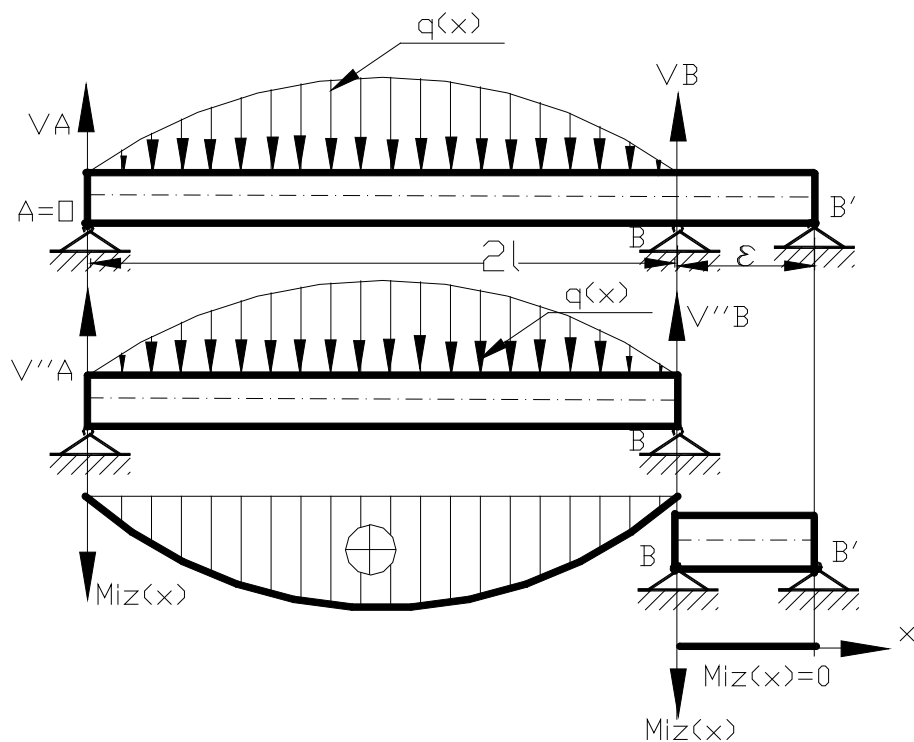


Figura 88

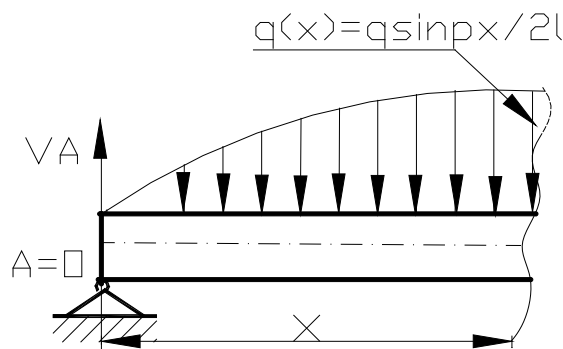


Figura 89

$$\lim_{x \downarrow 0} T(x) = V_A'' = \frac{2ql}{\pi} \cos 0 + C; V_A'' = \frac{2ql}{\pi} \cos 0 + C; C = V_A'' - \frac{2ql}{\pi};$$

$$T(x) = \frac{2ql}{\pi} \cos \frac{\pi x}{2l} - \frac{2ql}{\pi} + V_A''; \quad \frac{dM_{iz}(x)}{dx} = T(x); dM_{iz}(x) = T(x)dx;$$

$$\int dM_{iz}(x) = \int T(x)dx; = M_{iz}(x);$$

$$M_{iz}(x) = \int \left\{ \frac{2ql}{\pi} \left[\cos \frac{\pi x}{2l} - 1 \right] + V_A'' \right\} dx = \frac{2ql}{\pi} \int \left(\cos \frac{\pi x}{2l} - 1 \right) dx + x V_A'' + D$$

$$\text{dar, } \int \cos \frac{\pi x}{2l} dx = \frac{2l}{\pi} \sin \frac{\pi x}{2l} + D;$$

$$M_{iz}(x) = \frac{2ql}{\pi} \left[\frac{2l}{\pi} \sin \frac{\pi x}{2l} - x \right] + x V_A'' + D; \quad \lim_{x \downarrow 0} M_{iz}(x) = 0 = D;$$

$$M_{iz}(x) = \frac{2ql}{\pi} \left[\frac{2l}{\pi} \sin \frac{\pi x}{2l} - x \right] + x V_A'';$$

$$S_{BA} = \int_0^{2l} x M_{iz}(x) dx = \frac{4ql^2}{\pi^2} \int_0^{2l} x \sin \frac{\pi x}{2l} dx - \frac{2ql}{\pi} \int_0^{2l} x^2 dx + V_A'' \int_0^{2l} x^2 dx;$$

$$\int x \sin \frac{\pi x}{2l} dx, \text{ se integrează prin părți.}$$

$$\int f(x) g'(x) dx = f(x) \cdot g(x) - \int g(x) f'(x) dx; \quad f(x) = x; f'(x) = 1;$$

$$\sin \frac{\pi x}{2l} dx = g'(x) dx = dg(x) ;$$

$$\int \sin \frac{\pi x}{2l} dx = \int g'(x) dx = \int dg(x) = g(x) = -\frac{2l}{\pi} \cos \frac{\pi x}{2l} ;$$

$$\int x \sin \frac{\pi x}{2l} dx = -\frac{2l}{\pi} \cdot x \cdot \cos \frac{\pi x}{2l} - \int \left[-\frac{2l}{\pi} \cos \frac{\pi x}{2l} \right] dx =$$

$$-\frac{2l}{\pi} \cdot x \cdot \cos \frac{\pi x}{2l} + \left(\frac{2l}{\pi} \right)^2 \sin \frac{\pi x}{2l} ;$$

$$S_{BA} = \frac{4ql^2}{\pi^2} \left[-\frac{2l}{\pi} \cdot x \cdot \cos \frac{\pi x}{2l} + \left(\frac{2l}{\pi} \right)^2 \sin \frac{\pi x}{2l} \right]_0^{2l} - \frac{2ql}{\pi} \frac{x^3}{3} \Big|_0^{2l} + V_A'' \frac{x^3}{3} \Big|_0^{2l} ;$$

$$S_{BA} = -1,181616 ql^4 + 2,66 V_A'' l^3 ,$$

Din figura 88 rezultă: $V_A'' + V_B'' = \frac{4ql}{\pi}$, una din condițiile de

echilibru a barei, fiind și ecuația de verificare.

$$\cdot \sum M_{iz}(A) = 0; V_B'' \cdot 2l - \frac{4ql}{\pi} \cdot l = 0; V_B'' = \frac{2ql}{\pi} ;$$

$$\sum M_{iz}(B) = 0; V_A'' \cdot 2l - \frac{4ql}{\pi} \cdot l = 0; V_A'' = \frac{2ql}{\pi} ; S_{BA} = 0,512652 ql^4 ;$$

$$M_{iz,B} = -\frac{3}{4} \frac{S_{BA}}{l^2} = -0,384489 ql^2 , \text{ deoarece a dat cu semnul minus ,}$$

trebuie să schimbăm sensul momentului , în acest caz sensul momentului fiind sensul acelor de ceasornic.

$$V_A + V_B = \frac{4ql}{\pi} = 1,273885 \cdot ql ;$$

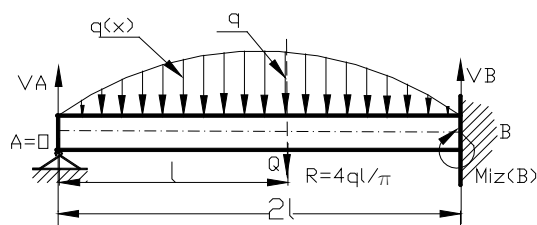


Figura 90

$$\sum M_{iz}(A) = 0; -V_B \cdot 2l + \frac{4ql}{\pi} \cdot l + 0,384489ql^2 = 0; V_B = 0,829187ql;$$

$$\sum M_{iz}(B) = 0; V_A \cdot 2l - \frac{4ql}{\pi} \cdot l + 0,384489ql^2 = 0; V_A = 0,444698ql; \text{ se}$$

verifică dacă nu s-a greșit la calcul, trebuie să fie îndeplinită condiția de echilibru: $\sum M_{iz}(\text{punct, oarecare}) = 0$, din plan sau spațiu, statistic trebuie să ne verificăm în cel puțin cinci puncte pentru a fi siguri că am calculat corect.

$$\sum M_{iz}(Q) = 0; 0,444698ql \cdot l + 0,384489ql^2 - 0,829187ql \cdot l = 0; 0 = 0$$

$$M_{iz}(x) = \frac{4ql^2}{\pi^2} \sin \frac{\pi x}{2l} - \frac{2ql}{\pi} x + 0,444698ql \cdot x;$$

$$\lim_{x \downarrow 0} M_{iz}(x) = \lim_{x \downarrow 0} \left(\frac{4ql^2}{\pi^2} \sin \frac{\pi x}{2l} - \frac{2ql}{\pi} x + 0,444698ql \cdot x \right) = 0;$$

$$\lim_{x \uparrow 2l} M_{iz}(x) = \lim_{x \uparrow 2l} \left(\frac{4ql^2}{\pi^2} \sin \frac{\pi x}{2l} - \frac{2ql}{\pi} x + 0,444698ql \cdot x \right) = -0,384489ql^2;$$

$$\frac{dM_{iz}(x)}{dx} = T(x) = \frac{2ql}{\pi} \cos \frac{\pi x}{2l} - \frac{2ql}{\pi} + 0,444698ql;$$

$$\frac{d^2 M_{iz}(x)}{dx^2} = -q \sin \frac{\pi x}{2l} < 0; \text{ concavă.}$$

$$\frac{dM_{iz}(x)}{dx} = T(x) = \frac{2ql}{\pi} \cos \frac{\pi x}{2l} - \frac{2ql}{\pi} + 0,444698ql = 0; x = 0,804706l; \text{ fiind}$$

punctul de extrem, în acest caz punct de maxim.

$$M_{iz \max} = M_{iz}(0,804706l) = 1,059713ql^2 =$$

$$= 1,059713 * 1,3 \frac{N}{m} * (0,285m)^2 = 1,059713 * 1,3 * (0,285)^2 * 10^3 N \cdot mm$$

$$M_{iz \max} = 111,897745 N \cdot mm;$$

$$I_z = \left(\frac{60^3 * 40}{12} - \frac{\pi * 10^4}{64} \right) mm^4 = 71,950913 * 10^4 mm^4;$$

$$W_{z \min} = \frac{I_z}{y_{\max}} = \frac{71,950913 * 10^4 \text{ mm}^4}{30 \text{ mm}} = 2,398364 * 10^4 \text{ mm}^3;$$

relația de verificare , a barei este:

$$\sigma_{\max} = \frac{M_{iz \max}}{W_{z \min}} = \frac{111,897745 \text{ N.mm}}{2,398364 * 10^4 \text{ mm}^3} = 0,004666 \frac{\text{N}}{\text{mm}^2} < \sigma_a$$

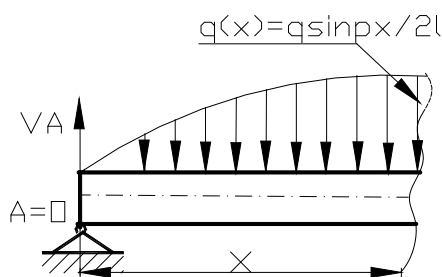


Figura 91

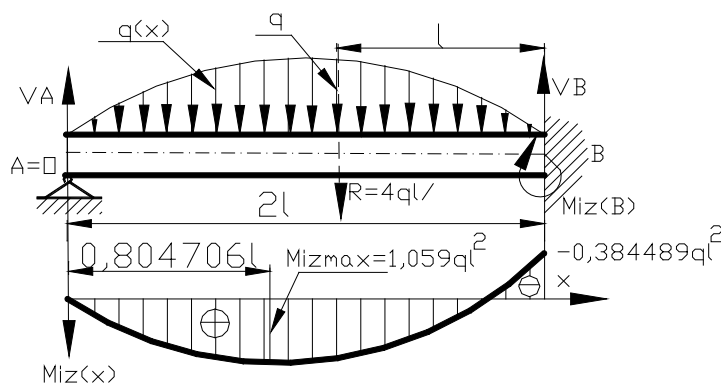


Figura 92

6.21. Teorema reciprocității deplasărilor sau teorema lui Maxwell

Se consideră aceeași succesiune de încărcări ca la demonstrarea teoremei reciprocității lucrului mecanic, dar în acest caz, se ia o bară simplu rezemată la capete , unde prima stare de încărcare este formată din forța \vec{F} , aplicată în secțiunea (1), iar a doua stare suprapusă peste prima , este formată tot de o forță \vec{F} , aplicată în secțiunea (2) ca în figura 93 .

Se ține cont de următoarea notație :

v_{11} - fiind , săgeata în secțiunea (1), datorită primei stări de încărcare;

v_{21} - fiind , săgeata în secțiunea (2), datorită primei stări de încărcare;

v_{12} - fiind , săgeata în secțiunea (1), datorită celei de-a doua stări de încărcare;

v_{22} - fiind , săgeata în secțiunea (2), datorită celei de-a doua stări de încărcare.

În cazul primei stări de încărcare , lucrul mecanic produs de forța \vec{F} aplicată static , este : $L_{11} = \frac{F * v_{11}}{2}$; după aplicarea celei de-a doua stări, se adaugă lucrul mecanic , conform figurii,

$$L_{22} + L_{12} = \frac{F * v_{22}}{2} + F * v_{12} , \text{ unde } L_{12} = F * v_{12} , \text{ nu are}$$

factorul ($\frac{1}{2}$), deoarece forța \vec{F} din secțiunea (1) se află pe grindă și parcurge cu întreaga sa intensitate , drumul v_{12} .

La finalul stării a doua , energia totală acumulată de bară , este :

$$L = \frac{1}{2} F * v_{11} + \frac{F * v_{22}}{2} + F * v_{12} . \text{ Dacă se schimbă succesiunea}$$

stărilor de încărcare și se egalează energiile se ajunge la exprimarea teoremei reciprocității sub forma :

$$L = \frac{1}{2} F * v_{11} + \frac{F * v_{22}}{2} + F * v_{21};$$

$$L_{22} = \frac{F * v_{22}}{2}; L_{11} + L_{21} = \frac{F * v_{11}}{2} + F v_{21};$$

$$L = L_{22} + L_{11} + L_{21} = \frac{F * v_{22}}{2} + \frac{F * v_{11}}{2} + F * v_{21} ; L = L$$

$$\frac{F * v_{22}}{2} + \frac{F * v_{11}}{2} + F * v_{21} = L = \frac{1}{2} F * v_{11} + \frac{F * v_{22}}{2} + F * v_{12};$$

$$F v_{12} = F v_{21}; v_{12} = v_{21};$$

Teorema lui Maxwell

Deplasarea produsă în secțiunea (1) a unei bare , când o forță oarecare este aplicată în secțiunea (2), este egală cu deplasarea produsă în secțiunea (2) când aceeași forță calcă în secțiunea (1), ambele deplasări sunt măsurate pe direcțiile forțelor respective. În cazul în care forța \vec{F} poate fi egală cu unitatea , adică egală cu forța versor ; $\vec{u} = \frac{\vec{F}}{|\vec{F}|} = \vec{1}$, teorema se mai numește și teorema reciprocității

deplasărilor unitare , anume : deplasarea produsă a unei bare în secțiunea (1) , pe direcția forței care se va aplica în această secțiune, de către forța unitară (versor) aplicată în secțiunea (2) , este egală cu deplasarea produsă în secțiunea (2), de forța unitară (versor) aplicată în secțiunea (1).

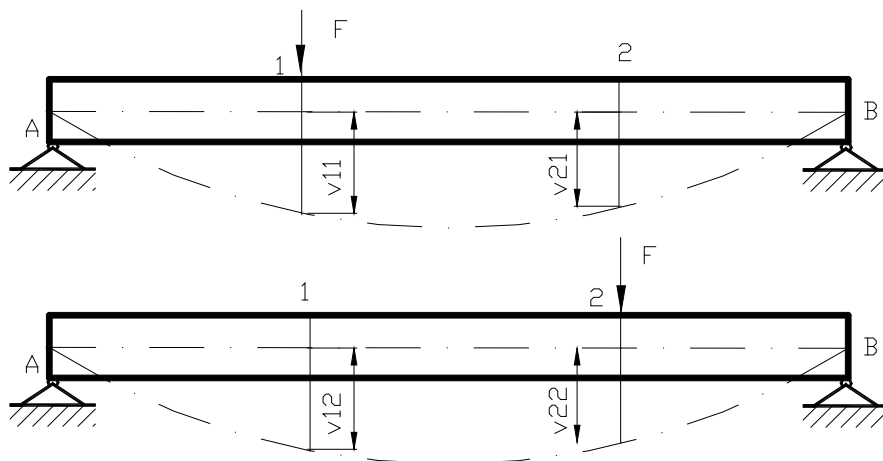


Figura 93

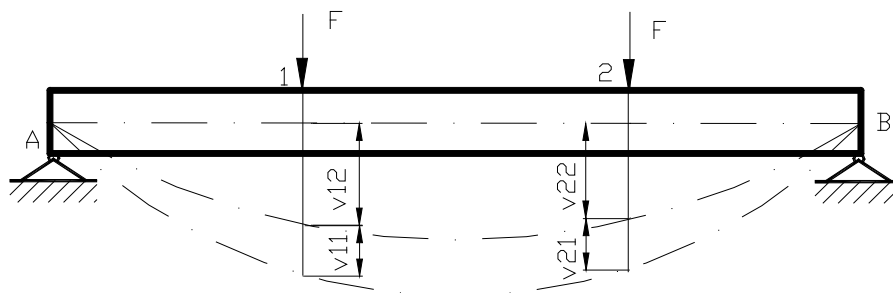


Figura 94

Sistem de bază

Rezistența materialelor posedă mai multe metode de rezolvare a sistemelor static nedeterminate, toate metodele pornesc de la faptul că ecuațiile de echilibru ale staticii pot fi completate cu o serie de ecuații, bazate pe considerente de deformații, pentru barele drepte una din metodele cele mai des folosite, este și metoda eforturilor.

În această metodă se transformă sistemul static nedeterminat în unul static determinat, numit sistem de bază sau sistem fundamental, suprimând atâtea legături exterioare cât este necesar.

În legătura suprimată, se introduce un efort static nedeterminat, notat de obicei, cu: $Y_1, Y_2 \dots Y_n$, în locul unui reazem simplu se introduce o singură forță, tot la fel, atunci când o articulație se înlocuiește cu un reazem simplu; în locul unei articulații suprimate se introduc două forțe; în locul unei încastrări se introduc două forțe și un cuplu. Transformarea sistemului în sistem de bază se face în mai multe moduri.

Considerând eforturile: $Y_1, Y_2 \dots Y_n$ cunoscute, sistemul de bază trebuie să fie, pe de o parte static determinat, pe de altă parte, indeformabil geometric, adică să nu permită deplasări cinematice ca în figura 95.

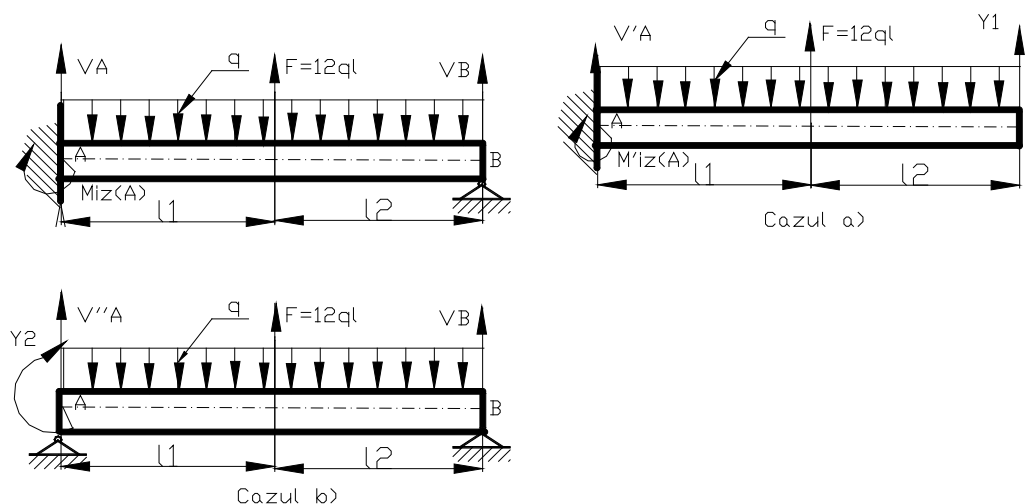


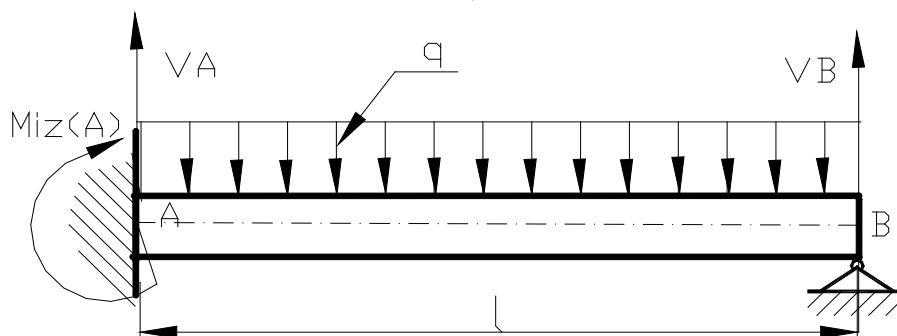
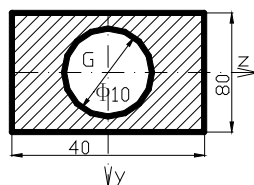
Figura 95

Problema nr. 5

Să se verifice bara din figura 96 : $\sigma_a = \frac{109N}{mm^2}$; $q = 2 \frac{kN}{m}$; $l = 0,6m$.

Rezolvare:

S-a suprimat o singură legătură pentru formarea sistemului de bază, în acest caz s-a suprimat legătura pe verticală din articulația (B), înlocuind-o prin necunoscuta static nedeterminată $Y_1 = V_B$. Principial , în metoda eforturilor se exprimă deplasările în diferite puncte ale sistemului de bază , datorită sarcinilor date și necunoscutelor static nedeterminate, scriind că ele sunt identice cu

**Figura 96****Figura 97**

cele din sistemul static nedeterminat dat . Se va ține seama de faptul că în reazemul (B) deplasarea pe verticală , a sistemului de bază , fie ea δ_1 , este nulă , ca și în sistemul inițial. Este avatajos să folosim principiul suprapunerii efectelor în modul următor:

a) se consideră întâi că în sistemul de bază lucrează numai sarcinile exterioare date, în cazul de față sarcina (q) distribuită , deci nu există forța \vec{Y}_1 , și se calculează deplasarea ce le corespunde pe direcția forței \vec{Y}_1 , adică δ_{10} .

- b) se consideră apoi că în sistemul de bază lucrează numai forța \vec{Y}_1 și se calculează deplasarea corespunzătoare, este preferabil ca în locul unei forțe \vec{Y}_1 să se aplice o forță unitară (versor) a forței \vec{Y}_1 care produce deplasarea δ_{11} arătată în figura 99, atunci unei forțe \vec{Y}_1 , îi va corespunde o deplasare ($\delta_{11} \cdot Y_1$).
- c) aplicând principiul suprapunerii efectelor, se scrie că deplasarea totală este nulă :

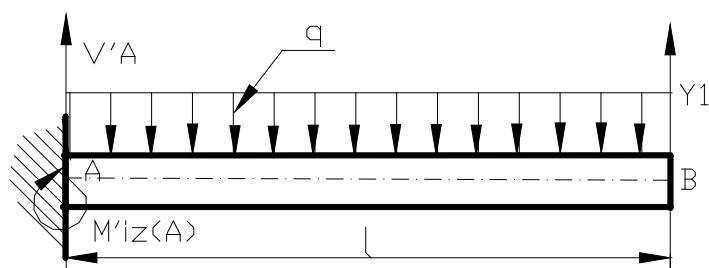


Figura 98

$\delta_1 = \delta_{10} + \delta_{11} \cdot Y_1 = 0$, de aici rezultă, $Y_1 = -\frac{\delta_{10}}{\delta_{11}}$, această relație are un caracter general.

Cazul I

Când acționează forța distribuită.

Regiunea întâi

Din figura 99 rezultă:

$$x_1 \in (0; l) \quad M_{iz}(x_1) = -\frac{qx_1^2}{2}; \quad \frac{dM_{iz}(x_1)}{dx_1} = -qx_1; M''(x_1) = -q < 0$$

$$\text{concavă}, \quad \lim_{x_1 \downarrow 0} M_{iz}(x_1) = \lim_{x_1 \downarrow 0} \left(-\frac{qx_1^2}{2} \right) = 0$$

$$\lim_{x_1 \uparrow l} M_{iz}(x_1) = \lim_{x_1 \uparrow l} \left(-\frac{qx_1^2}{2} \right) = -\frac{ql^2}{2};$$

Cazul II

Când acționează forța versor (unitate) în capătul liber al barei.
Regiunea întâi

$$x_1 \in (0; l) \quad m_{iz}(x_1) = x_1; \quad \lim_{x_1 \downarrow 0} m_{iz}(x_1) = \lim_{x_1 \downarrow 0} (x_1) = 0; \text{ se notează}$$

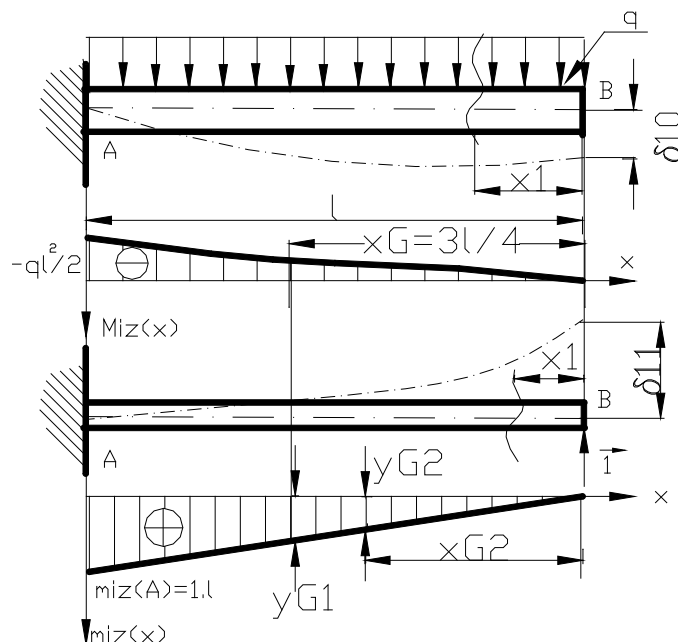


Figura 99

momentul încovoiător dintr-o secțiune cu $m_{iz}(x_1)$, pentru că provine de la forță egală cu unitatea (forța versor care este $\vec{1} = \frac{\vec{Y}_1}{|\vec{Y}_1|} = \frac{\vec{V}_B}{|\vec{V}_B|} = \vec{u}_{\vec{V}_B}$).

$$\lim_{x_1 \uparrow l} m_{iz}(x_1) = \lim_{x_1 \uparrow l} (x_1) = l.$$

În aflarea coeficientului δ_{10} , se ia diagrama $M_{iz}(x_1)$ din figură și se înmulțește după regula lui Veresceaghin, cu ordonata diagramei $m_{iz}(x_1)$ din dreptul centrului de greutate al digramei $M_{iz}(x_1)$.

$$[\text{unde } x_1 = x] \quad x_G = \frac{\int_0^l x M_{iz}(x) dx}{\int_0^l M_{iz}(x) dx} = \frac{\int_0^l x \left(\frac{-qx^2}{2} \right) dx}{\int_0^l \left(\frac{-qx^2}{2} \right) dx} = \frac{3l}{4};$$

Aria diagramei $M_{iz}(x)$ va fi :
$$A = \int_0^l \left(-\frac{qx^2}{2} \right) dx = -\frac{qx^3}{6} \Big|_0^l = -\frac{ql^3}{6};$$

$$EI_z \delta_{10} = -\frac{ql^3}{6} \frac{3l}{4} = A * y_{G1}; \delta_{10} = -\frac{ql^4}{8EI_z}; y_{G1} = 3l/4$$

Aria diagramei $m_{iz}(x)$ va fi :

$$a = \int_0^l x dx = \frac{x^2}{2} \Big|_0^l = \frac{l^2}{2}; EI_z \delta_{11} = \frac{l^2}{2} \frac{2l}{3} = a * y_{G2}; \delta_{11} = \frac{l^3}{3EI_z};$$

$$V_B = Y_1 = -\frac{\delta_{10}}{\delta_{11}} = -\frac{-\frac{ql^4}{8EI_z}}{\frac{l^3}{3EI_z}} = \frac{3ql}{8}, \text{ unde } y_{G2} = 2l/3$$

Regiunea întâi (figura 100)

$$x \in (0;l) \quad M_{iz}(x) = \frac{3qlx}{8} - \frac{qx^2}{2};$$

$$\frac{dM_{iz}(x)}{dx} = \frac{3ql}{8} - qx; M''(x_1) = -q < 0, \text{ concavă}$$

$$\lim_{x \downarrow 0} M_{iz}(x) = \lim_{x \downarrow 0} \left(\frac{3qlx}{8} - \frac{qx^2}{2} \right) = 0;$$

$$\lim_{x \uparrow l} M_{iz}(x) = \lim_{x \uparrow l} \left(\frac{3qlx}{8} - \frac{qx^2}{2} \right) = -\frac{ql^2}{8}$$

$$\frac{dM_{iz}(x)}{dx} = \frac{3ql}{8} - qx = 0; x = \frac{3l}{8}, \text{ punct de extrem, punct de maxim.}$$

$$M_{\max} = M_{iz}\left(\frac{3l}{8}\right) = \lim_{x \rightarrow \frac{3l}{8}} M_{iz}(x) = \lim_{x \rightarrow \frac{3l}{8}} \left(\frac{3qlx}{8} - \frac{qx^2}{2} \right) = 9 \frac{ql^2}{128}$$

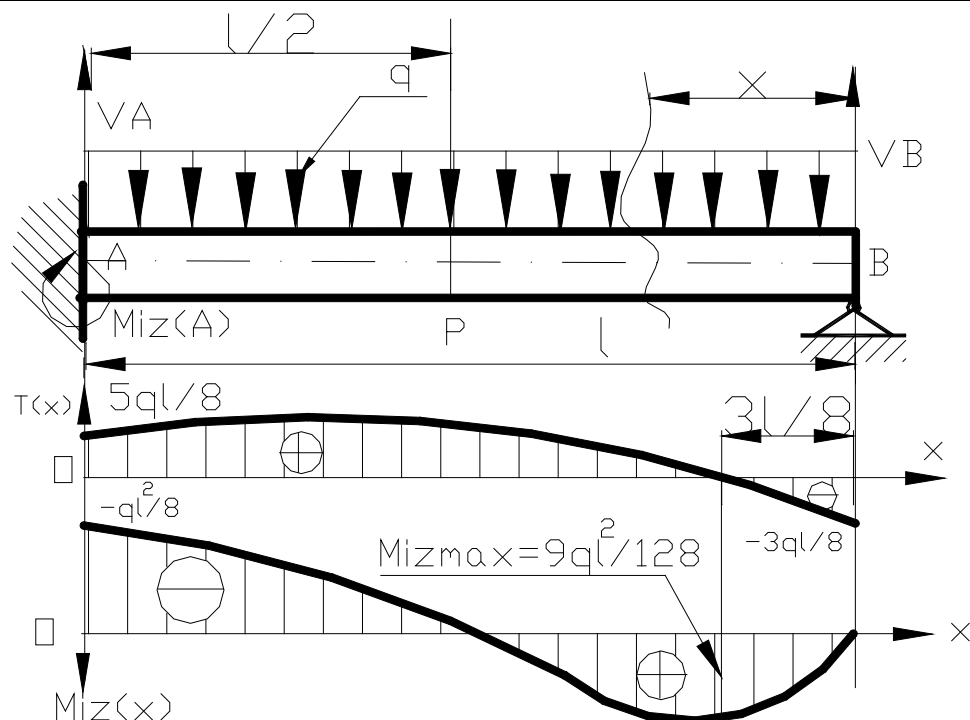


Figura 100

$T(x) = -\frac{3ql}{8} + qx$; $\lim_{x \uparrow 0} T(x) = \lim_{x \uparrow 0} \left(-\frac{3ql}{8} + qx \right) = -\frac{3ql}{8}$;
 $\lim_{x \uparrow l} T(x) = \lim_{x \uparrow l} \left(-\frac{3ql}{8} + qx \right) = \frac{5ql}{8}$; se verifică calculul corect ,
 prin $\sum M_{iz}(\text{oarecare}) = 0$; o condiție de echilibru .

$$\sum M_{iz}(A) = 0; -\frac{3ql}{8} \cdot l + \frac{l}{2} * ql - \frac{ql^2}{8} = 0; 0 = 0, \text{ verifică}$$

$$\sum M_{iz}(B) = 0; \frac{5ql}{8} * l - \frac{l}{2} * ql - \frac{ql^2}{8} = 0; 0 = 0, \text{ verifică},$$

$$\sum M_{iz}(P) = 0; \frac{5ql}{8} * \frac{l}{2} - \frac{3ql}{8} * \frac{l}{2} - \frac{ql^2}{8} = 0; 0 = 0, \text{ verifică}.$$

$$I_z = I_z^I - I_z^{II} = \left(\frac{40 * 8^3}{12} - \frac{\pi * 10^4}{64} \right) mm^4 = 127,95 * 10^4 mm^4; y_{\max} = 40mm;$$

$$W_{z \min} = \frac{I_z}{y_{\max}} = \frac{127,95 * 10^4 \text{ mm}^4}{40 \text{ mm}} = 3,19875 * 10^4 \text{ mm}^3; M_{iz \max} = \left| -\frac{ql^2}{8} \right|$$

$$M_{iz \max} = 2 \frac{kN}{m} * \frac{(0,6m)^2}{8} = 0,09 * 10^6 \text{ N.mm} = 9 * 10^4 \text{ N.mm}; \sigma_{\max} = \frac{M_{iz \max}}{W_{z \min}}$$

$$\sigma_{\max} = \frac{9 * 10^4 \text{ N.mm}}{3,19875 * 10^4 \text{ mm}^3} = 2,8135 \frac{\text{N}}{\text{mm}^2} < \sigma_a; \text{ bara nu se rupe, în}$$

acest fel se verifică . Pentru problemele multiplu static nedeterminate, se procedează la o generalizare a metodei expuse, prin suprimarea la o serie de legături, obținând sistemul de bază , solicitat prin încărcarea dată , plus eforturile $Y_1, Y_2 \dots Y_n$ care înlocuiesc legăturile suprimate. Se ține cont și de faptul că deplasările în dreptul acestor eforturi sunt nule (egale cu zero) ,de aici rezultă :

$$\left\{ \begin{array}{l} \delta_1 = \delta_{11} * Y_1 + \delta_{12} * Y_2 + \dots + \delta_{1n} * Y_n + \delta_{10} = 0 \\ \delta_2 = \delta_{21} * Y_1 + \delta_{22} * Y_2 + \dots + \delta_{2n} * Y_n + \delta_{20} = 0 \\ \dots \\ \delta_n = \delta_{n1} * Y_1 + \delta_{n2} * Y_2 + \dots + \delta_{nn} * Y_n + \delta_{n0} = 0 \end{array} \right.$$

Aceste ecuații se numesc ecuații de condiție sau ecuații canonice în metoda eforturilor, unde coeficienții (δ_{ij}) din aceste ecuații , semnifică următoarele :

- δ_{11} este deplasarea pe direcția efortului Y_1 produsă de o sarcină unitară aplicată în același punct și pe aceeași direcție cu Y_1 ;
- δ_{12} este deplasarea pe direcția efortului Y_1 produsă de o sarcină unitară aplicată în același punct cu Y_2 și având direcția lui Y_2 ;
- δ_{22} este deplasarea pe direcția efortului Y_2 produsă de o sarcină unitară aplicată în același punct și pe aceeași direcție cu Y_2 ;
- δ_{n0} este deplasarea pe direcția efortului Y_n produsă de sarcinile exterioare aplicate sistemului, când nu există eforturile Y_n .

Coeficienții (δ_{ij}) se pot determina prin metoda Mohr-Maxwell sau pe altă cale, ținând cont de teorema reciprocității deplasărilor se poate scrie că : $\delta_{ij} = \delta_{ji}$.

Prezentarea modului de calcul al coeficienților (δ_{ij}) prin metoda

Mohr-Maxwell: M_{iz}^0 - fiind momentul încovoietor într-o secțiune oarecare a sistemului de bază , produs de forțele și momentele exterioare date ;

$m_{iz}^1, m_{iz}^2, \dots, m_{iz}^n$, momentele încovoietoare într-o secțiune oarecare produs de sarcinile versor (unitare) aplicate pe direcțiile și în punctele de aplicație ale necunoscutelor static nedeterminate

Y_1, Y_2, \dots, Y_n și coeficienții (δ_{ij}) se obțin din ecuațiile următoare;

$$\delta_{10} = \sum \int \frac{1}{EI_z} (M_{iz}^0 * m_{iz}^1) dx; \delta_{11} = \sum \int \frac{1}{EI_z} (m_{iz}^1)^2 dx;$$

$$\delta_{12} = \sum \int \frac{1}{EI_z} (m_{iz}^2 * m_{iz}^1) dx; \dots \delta_{in} = \sum \int \frac{1}{EI_z} (m_{iz}^i * m_{iz}^n) dx . \text{ Folosind}$$

metoda de integrare a lui Veresceaghin , se calculează: δ_{10} , din

diagramele M_{iz}^0, m_{iz}^1 ; δ_{11} din diagrama m_{iz}^1 cu ea însăși ; δ_{12} din diagrama m_{iz}^1 cu diagrama m_{iz}^2 , luând suprafața uneia și ordonatele celeilalte (după cum dorim).

Capitolul VII

Stabilitate elastică

(Flambaj)

Stabilitatea echilibrului elastic.

7.1. Definiția flambajului

Până acum s-a studiat rezistența pieselor de construcție pe baza eforturilor unitare și a deformațiilor produse de diferite feluri de solicitări. S-a considerat că piesele se află în stare de echilibru static. Din mecanica teoretică, echilibrul unui corp rigid poate fi stabil, nestabil sau indiferent.

O bilă metalică, asupra căreia acționează numai greutatea proprie și rezemată pe o suprafață, se află în echilibru atunci când punctul de reazem se află pe verticala centrului de greutate și forța de greutate este echilibrată de reacțiunea reazemului.

Bila se află în poziția de echilibru stabil, figura 101 (a), în echilibru nestabil, figura 101 (b) și indiferent, figura 101 (c), după cum suprafața de rezemare este o suprafață convexă, o suprafață concavă sau o suprafață plană orizontală.

La mici perturbații de la poziția de echilibru instabil, centrul de greutate coboară și bila nu mai revine la poziția inițială, iar în cazul echilibrului indiferent, centrul de greutate al bilei păstrează cota neschimbată și bila se află în stare de echilibru, oricare ar fi poziția sa pe planul orizontal.

Un alt exemplu din figura 102 de echilibru stabil, nestabil sau indiferent îl constituie cazul unui disc omogen suspendat într-un punct, poziția de echilibru va fi realizată atunci când centrul său de greutate (G) și punctul de suspensie (A) se găsesc pe aceeași verticală.

Echilibrul poate fi stabil, nestabil sau indiferent, după cum centrul (G) se află dedesubtul punctului de suspensie (A), deasupra acestuia sau cele două puncte coincid

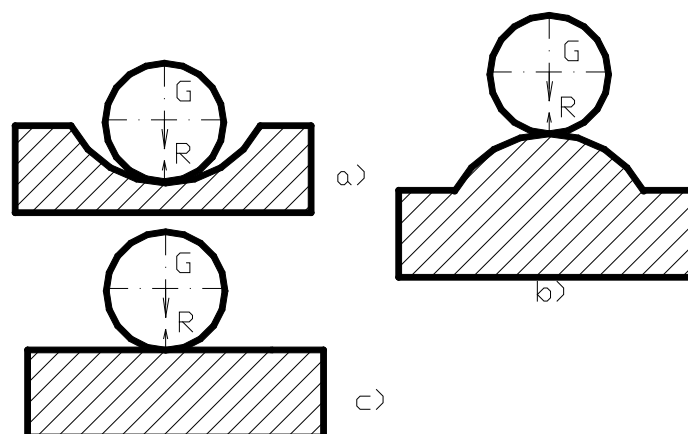


Figura 101

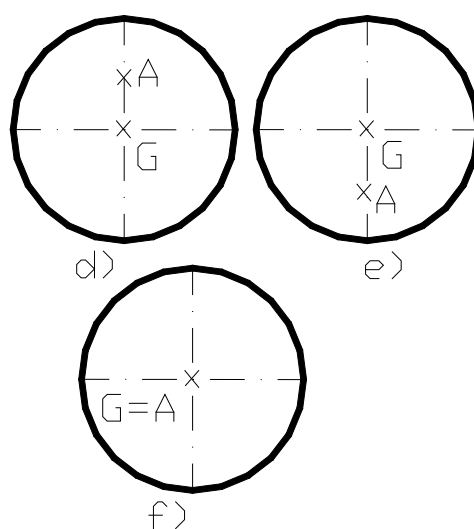


Figura 102

Cazul III

Studiul unui con circular drept care se reazemă pe un plan orizontal. Pentru poziția de echilibru stabil, (fig. 103 g) , centrul de greutate al conului are cota minimă față de planul de rezemare în poziția de echilibru nestabil, (fig. 103 i), cota este maximă, iar în poziția de echilibru indiferent, (fig. 103 j), cota păstrează aceeași valoare.

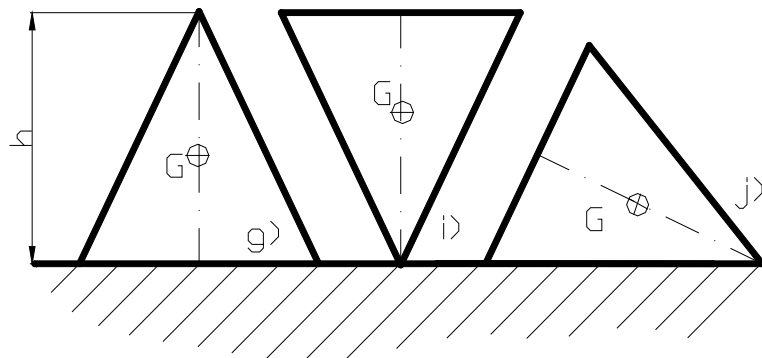


Figura 103

În realitate, numeroasele piese de construcții, se află în stare de echilibru instabil, datorită mărimii forțelor exterioare la care sunt supuse.

Acest lucru se va exemplifica prin prezentarea câtorva cazuri. Dacă avem o bară dreaptă, elastică, supusă la compresiune sub acțiunea a două forțe axiale \vec{F} , a căror intensitate crește treptat.

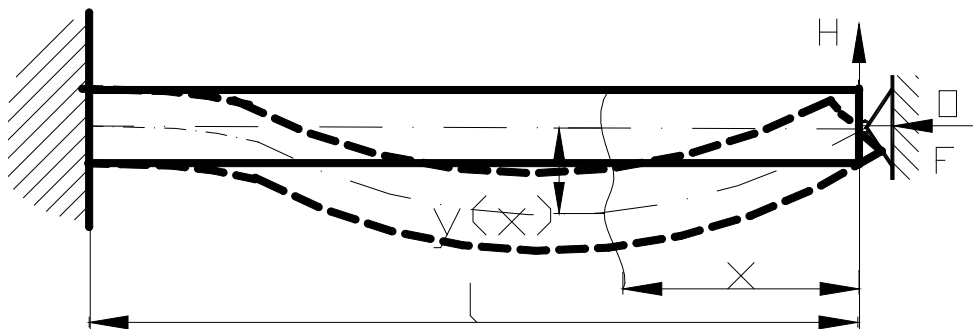


Figura 104

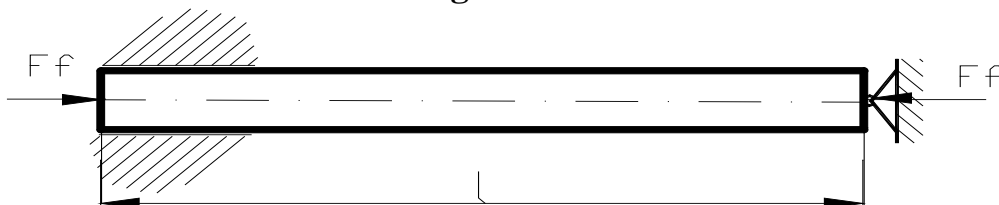


Figura 105

Bara se află în echilibru stabil atâta timp cât forța \vec{F} nu atinge o anumită limită F_f , în cazul în care forța \vec{F} depășește această limită,

bara se încovoiaie brusc. Acest fenomen de încovoiere a unei bare sub acțiunea sarcinii axiale de compresiune poartă numele de **flambaj**. Valoarea forței F , la care se produce flambajul, se numește **forță critică de flambaj** și se notează cu F_f .

Cât timp $F < F_f$, bara își păstrează forma rectilinie, care este forma stabilă a echilibrului său. În cazul în care se aplică o forță orizontală, bara este scoasă din poziția dreaptă și dacă se înlătură această forță, bara execută o serie de oscilații și revine la poziția inițială, datorită elasticității sale.

Când $F > F_f$, forma rectilinie încetează de a mai fi formă de echilibru stabil, bara se curbează, fără să mai poată reveni la poziția inițială, bara se deformează până se rupe.

Un alt caz, este cel al unui inel subțire, supus unei presiuni exterioare (q) uniform repartizată pe circumferința sa, are forma toroidală de echilibru stabil.

După atingerea presiuni critice de flambaj el poate lua forma oarecare indicată pe figura 106.

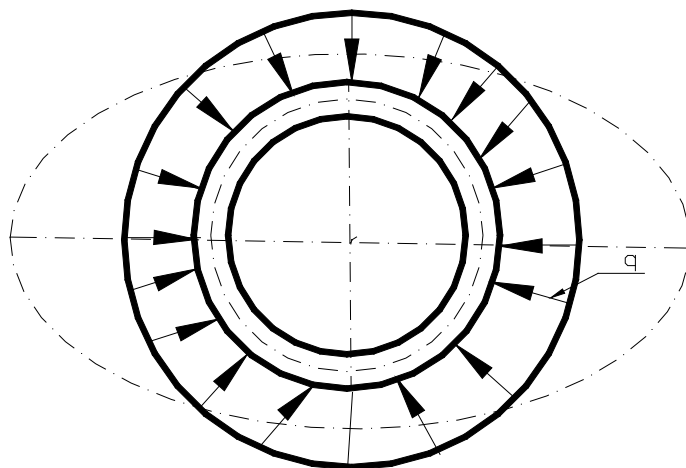


Figura 106

Cazul III**O grindă de secțiune dreptunghiulară îngustă la un capăt și încărcată cu o forță concentrată la capătul liber.**

Când forța F nu atinge valoarea critică, există o încovoiere a grinzii în planul vertical, fiind o formă de încovoiere stabilă. Atunci când

$F > F_f$, pe lângă încovoierea din planul vertical, apare și o

încovoiere în planul orizontal, însoțită de o răsucire a grinzii.

Când o piesă dintr-o construcție se află în echilibru nestabil, calculul de rezistență nu trebuie făcut, nu-și are rostul. Construcția care iese din starea de echilibru, o piesă se rupe sau întreaga construcție, nu din cauza rezistenței mecanice insuficiente, ci datorită poziției inițiale corespunzătoare echilibrului nestabil.

Calculul la flambaj constă în determinarea forței critice și alegerea unui coeficient de siguranță, astfel încât forța reală care solicită bara la compresiune să fie inferioară forței critice de flambaj.

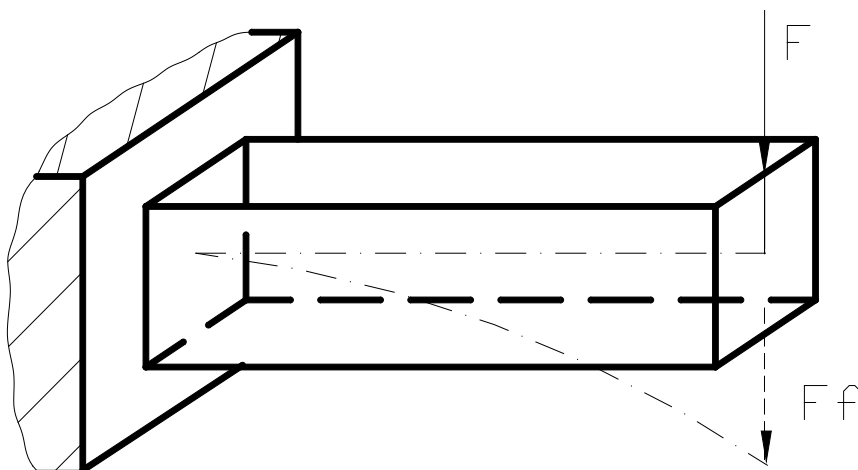


Figura 107

7.2. Formula lui Euler pentru calculul forței critice de flambaj la barele drepte

O bară dreaptă, subțire și elastică, solicitată la compresiune sub acțiunea a două forțe axiale, părăsește forma dreaptă de echilibru, adică flambează în momentul când se depășește forța critică de

flambaj. Apariția fenomenului de flambaj apare datorită următoarelor cauze:

- excentricitatea inevitabilă a punctului de aplicație al forței de compresie;
- micile abateri de la linia dreaptă pe care le poate avea axa barei;
- imperfecta omogenitate a materialului din care este făcută bara.

În anul 1744 Euler a studiat fenomenul flambajului, a calculat pe cale analitică formula cu ajutorul căreia se poate calcula forța critică de flambaj în cazul barelor drepte, solicitate la compresie. Vom determina după metoda lui Euler valoarea critică de flambaj pentru bare solicitate la compresie, care diferă între ele numai prin felul reazemului:

- bara articulată la ambele capete;
- bara încastrată la un capăt și liberă la celălalt;
- bara încastrată la un capăt și articulată la celălalt;
- bara încastrată la ambele capete.

7.2.1. Bara articulată la ambele capete

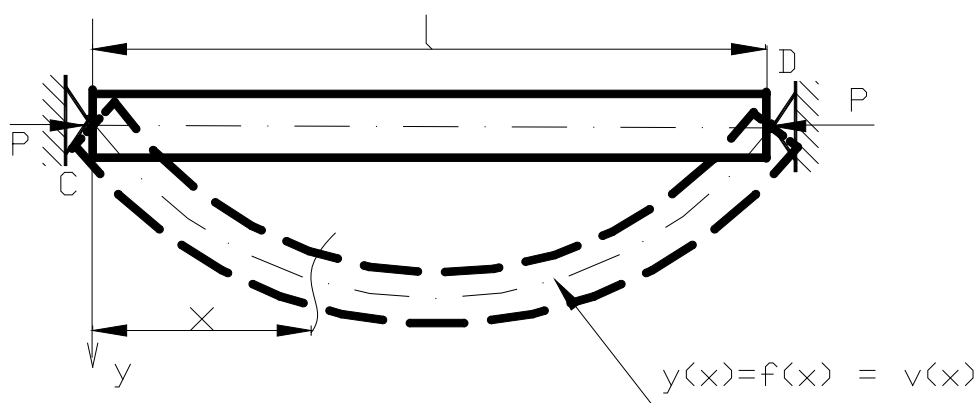


Figura 108

Avem o bară dreaptă, de lungime l , articulată la ambele capete și supusă acțiunii forței axiale de compresie P . Bara se curbează în

momentul când $P = P_f$. Într-o secțiune oarecare la distanța x , forța va produce un moment încovoietor $M_{iz}(x)$; $M_{iz}(x) = Py$ unde $y = y(x)$ reprezentând săgeata barei în dreptul secțiunii curente. Pornind de la ecuația diferențială a fibrei medii deformate :

$$EI_z \frac{d^2 y}{dx^2} = -M_{iz}(x) = -Py \quad ; \quad EI_z \frac{d^2 y}{dx^2} = -Py \quad ;$$

$$EI_z \frac{d^2 y}{dx^2} + Py = 0; \frac{d^2 y}{dx^2} + Py \frac{1}{EI_z} = 0; \text{ se notează cu}$$

$$\alpha^2 = \frac{P}{EI_z} \quad ; \quad \text{ecuația diferențială devine: } \frac{d^2 y}{dx^2} + \alpha^2 y = 0 \quad .$$

Soluția generală a acestei ecuații diferențiale cu coeficienții constanți este: $y(x) = A \sin \alpha x + B \cos \alpha x$; pentru a se determina constantele de integrare A și B , se scriu condițiile de reazem ale barei, pe care le luăm în considerare și anume:

$\lim_{x \downarrow 0} y(x) = 0$; pentru capătul din C , iar $\lim_{x \uparrow l} y(x) = 0$; pentru capătul din D și la mijlocul barei există condiția,

$$\lim_{x \rightarrow \frac{l}{2}} \frac{dy(x)}{dx} = 0 \quad . \text{ Din } \lim_{x \downarrow 0} y(x) = 0, \text{ avem}$$

$$y(0) = A \sin \alpha \cdot 0 + B \cos \alpha \cdot 0 = B = 0 \quad ; \quad \text{deci } B = 0 \quad ; \quad y(x) = A \sin \alpha x \quad ;$$

$$\text{și din } \lim_{x \uparrow l} y(x) = 0, \text{ rezultă } y(l) = A \sin \alpha l = 0 \quad ; \quad \text{cum } A \neq 0 \quad ;$$

$$\text{rezultă că } \sin \alpha l = 0 \quad ; \quad \text{pentru } \alpha l = 0 \text{ sau } \alpha l = \pi, 2\pi, \dots, n\pi$$

$$\text{se știe că din matematică } \sin x = \beta \quad ; \quad x = k\pi + (-1)^k \arcsin \beta \quad ;$$

soluțiile ecuației trigonometrice generale. Dacă se ia $\alpha l = 0$

$\sin \alpha l = \sin 0 = 0$ cu $\alpha = 0$ deci $P = 0$ și $y = 0$ nu interesează acest caz pentru că $P \neq 0$ din starea inițială. Apoi luăm pe imediat următoarea

$$\alpha l = \pi \quad ; \quad \alpha^2 = \frac{\pi^2}{l^2} = \frac{P}{EI_z} = \frac{F}{EI_z} \quad . \text{ S-a considerat bara într-o poziție}$$

deformată, deci forța $F = P$, corespunzătoare relației de mai sus reprezintă chiar forța critică de flambaj, $P_f = F_f = \frac{\pi^2 EI_z}{l^2}$. Pentru barele cu rigiditate variabilă, încovoierea va avea loc întotdeauna în același plan și anume în planul de rigiditate minimă. În acest caz formula se scrie $F_f = \frac{\pi^2 EI_{\min}}{l^2}$ aceasta fiind formula lui Euler pentru determinarea forței critice de flambaj în cazul barei articulate la ambele capete, care este considerat un caz fundamental de flambaj.

Fibra medie deformată a barei, forma de echilibru corespunzătoare forței critice astfel determinate, este o sinusoidă cu o singură buclă. $y(x) = A \sin \alpha x$ dar $\alpha l = \pi$; $\alpha = \frac{\pi}{l}$;

$$y(x) = A \sin \frac{\pi}{l} x.$$

Pentru următoarea soluție (a treia) $\alpha l = 2\pi$; $\alpha = \frac{2\pi}{l}$;

$$\alpha^2 = \frac{P}{EI} ; \quad \frac{4\pi}{l^2} = \frac{F_f}{EI_{\min}} ; \quad F_f = \frac{\pi^2 EI_{\min}}{\left(\frac{l}{2}\right)^2} ; \quad F_{f3} = \frac{4\pi^2 EI_{\min}}{l^2} ;$$

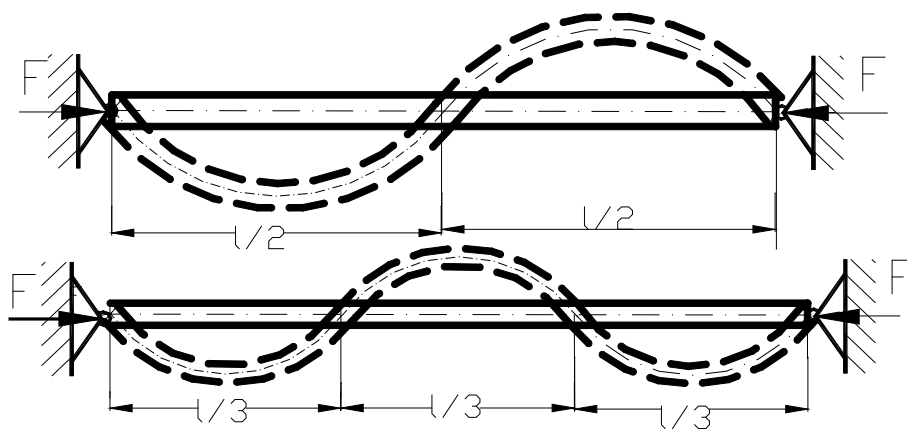


Figura 109

În acest caz F_{f3} este de patru ori mai mare decât cea precedentă și corespunde cazului când mijlocul barei ar fi împiedicat să se deplaseze lateral.

La fel când se ia soluția generală a ecuației trigonometrice

$$: \alpha \cdot l = n\pi \quad ; \quad \alpha^2 = \left(\frac{n\pi}{l}\right)^2 = \frac{n^2}{l^2} \pi^2 = \frac{F_f}{EI_{\min}} ;$$

$$F_f = \frac{\pi^2 EI_{\min}}{\left(\frac{l}{n}\right)^2} = \frac{\pi^2 EI_{\min}}{l^2} * n^2 \quad \text{corespunzătoare cazului când bara}$$

ar fi împiedicată să se deplaseze lateral în (n-1) puncte intermediare. Ecuația fibrei medii deformată în acest caz este:

$$y(x) = v(x) = A \sin \frac{n\pi}{l} x \quad \text{pentru că} \quad \alpha = \frac{n\pi}{l} . \quad \text{Ne interesează}$$

$$\text{valoarea minimă a forței critice de flambaj : } F_f = \frac{\pi^2 EI_{\min}}{l^2}$$

7.2.2. Bara încastrată la un capăt și liberă la celălalt capăt

S-a ales originea reperului din capătul liber al barei, momentul încovoietor produs de forța F va fi : $M_{iz}(x) = F \cdot y$. Ecuația

diferențială a fibrei medii deformată fiind : $EI_z \frac{d^2 y}{dx^2} = -F \cdot y$; la

fel $y(x) = v(x) = A \sin \alpha \cdot x + B \cos \alpha \cdot x$ soluția ecuației diferențiale.

Pentru determinarea constantelor A și B se scriu condițiile limită :

$$\lim_{\substack{x \rightarrow 0 \\ x > 0}} y(x) = 0 \quad \text{și} \quad \lim_{\substack{x \rightarrow l \\ x < l}} \frac{dy}{dx} = 0 . \text{ Folosind aceste condiții vom obține}$$

$$\lim_{\substack{x \rightarrow 0 \\ x > 0}} (A \sin \alpha x + B \cos \alpha x) = 0, \quad A \sin 0 + B \cos 0 = 0 \quad ; \quad A \cdot 0 + B =$$

$$0 \quad ; \quad B=0; \quad y(x) = A \sin \alpha x \quad ; \quad y'(x) = \frac{dy}{dx} = A \alpha \cos x \quad ;$$

$$\lim_{\substack{x \rightarrow l \\ x < l}} \frac{dy}{dx} = \lim_{x < l} A \cos \alpha x = 0 \quad ; \quad \cos \alpha l = 0 \quad ; \quad \alpha l = \frac{\pi}{2}, \frac{3\pi}{2}$$

, $\frac{5\pi}{2}, \dots, (2n+1)\frac{\pi}{2}$ unde $n \in N$, oarecare. Se ia prima soluție

$$\alpha l = \frac{\pi}{2} \quad ; \quad \alpha = \frac{\pi}{2l} \text{ rezultă } \alpha^2 = \frac{F}{EI_{\min}} \quad ; \quad \frac{\pi^2}{(2l)^2} = \frac{F}{EI_{\min}} \quad ;$$

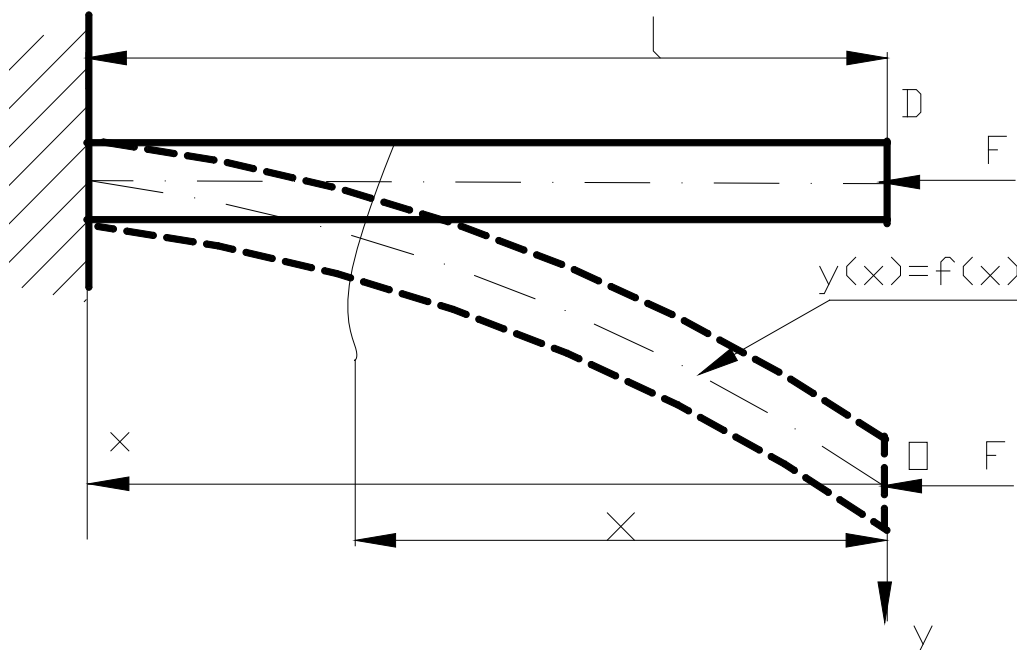


Figura 110

$$F_f = \frac{\pi^2 EI_{\min}}{(2l)^2}$$

Fibra medie deformată corespunzătoare forței critice de flambaj este o sinusoidă $y(x) = v(x) = A \sin \frac{\pi x}{2l}$

În cazul celorlalte soluții, forța critică de flambaj ia valori mai mari corespunzătoare cazurilor când anumite puncte ale barei ar fi împiedicate să se deplaseze lateral.

7.2.3. Bara încastrată la un capăt și articulată la celălalt

Fie \vec{H} reacțiunea necunoscută, expresia momentului încovoietor într-o secțiune oarecare x va fi : $M_{iz}(x) = F \cdot y - H \cdot x$.

Ecuția fibrei medii deformată va fi $EI \frac{d^2 y}{dx^2} = -F \cdot y + H \cdot x$;

$$\alpha^2 = \frac{F}{EI_{\min}} ; \quad EI_{\min} \frac{d^2 y}{dx^2} + Fy = H \cdot x$$

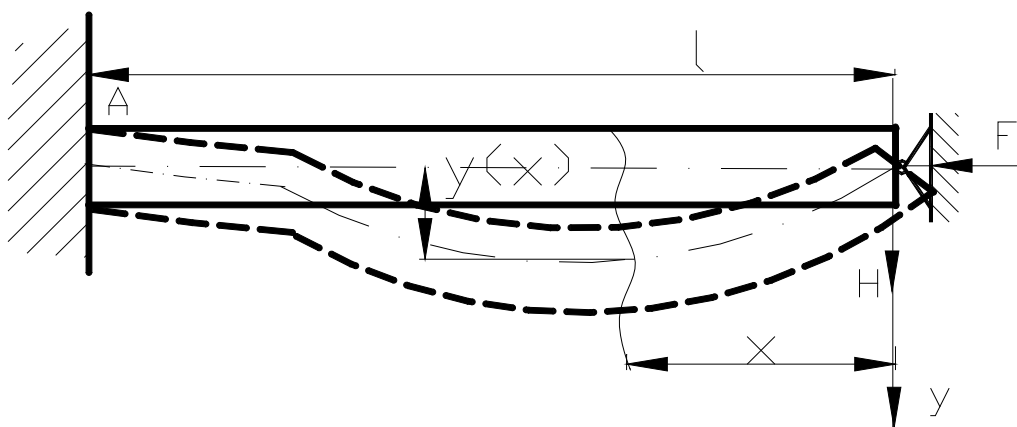


Figura 111

$$\frac{d^2 y}{dx^2} + \frac{F}{EI_{\min}} y = \frac{H}{EI_{\min}} x \quad ; \quad \frac{d^2 y}{dx^2} + \alpha^2 y = \frac{H}{EI_{\min}} x \quad \text{este o ecuație}$$

diferențială liniară neomogenă.

$$\frac{d^2 y}{dx^2} + \alpha^2 y = 0 \quad ; \quad \text{soluția de la omogenă}$$

$$y_1(x) = v_1(x) = A \sin \alpha x + B \cos \alpha x \quad \text{și} \quad \frac{d^2 y}{dx^2} + \alpha^2 y = \frac{H}{EI_{\min}} x \quad \text{este}$$

ecuația diferențială neomogenă admite cu soluția: $y_2(x) = Cx + D$,

$$\text{unde} \quad \frac{dy_2(x)}{dx} = C \quad ; \quad \frac{d^2 y_2(x)}{dx^2} = 0, \quad \text{introducând în}$$

$$\frac{d^2 y}{dx^2} + \alpha^2 y = \frac{H}{EI_{\min}} x \quad ; \quad 0 + \alpha^2 (Cx + D) = \frac{H}{EI_{\min}} x; \quad \text{prin}$$

$$\text{identificare rezultă: } \alpha^2 Cx + \alpha^2 D = \frac{H}{EI_{\min}} x + 0 \quad ; \quad \alpha^2 C = \frac{H}{EI_{\min}} \quad \text{și}$$

$$\alpha^2 D = 0; \quad D = 0 \quad ; \quad C = \frac{H}{\alpha^2 EI_{\min}} \quad ;$$

$$\alpha^2 = \frac{F}{EI_{\min}}; \quad C = \frac{H}{\frac{F}{EI_{\min}} EI_{\min}} = \frac{H}{F} \quad ; \quad C = \frac{H}{F} \quad y_2(x) = \frac{H}{F} x$$

$$\text{soluția generală a ecuației} \quad \frac{d^2 y}{dx^2} + \alpha^2 y = \frac{H}{EI_{\min}} x;$$

$$y(x) = y_1(x) + y_2(x) \quad ; \quad y(x) = A \sin \alpha x + B \cos \alpha x + \frac{H}{F} x$$

Pentru determinarea constantelor A, B, H se scriu următoarele condiții limită :

$$\lim_{\substack{x \rightarrow 0 \\ x > 0}} y(x) = 0 \quad ; \quad \lim_{\substack{x \rightarrow l \\ x < l}} y(x) = 0 \quad ; \quad \lim_{x \rightarrow l} \frac{dy}{dx} = 0$$

$$\lim_{\substack{x \rightarrow 0 \\ x > 0}} y(x) = \lim_{\substack{x \rightarrow 0 \\ x > 0}} \left(A \sin \alpha x + B \cos \alpha x + \frac{H}{F} x \right) = A \sin 0 + B \cos 0 + \frac{H}{F} 0 = 0$$

implică $B = 0$

deci $y(x) = A \sin \alpha x + \frac{H}{F} x$; $y'(x) = \frac{dy}{dx} = A \alpha \cos \alpha x + \frac{H}{F}$;

$$\lim_{\substack{x \rightarrow l \\ x < l}} y(x) = \lim_{\substack{x \rightarrow l \\ x < l}} \left(A \sin \alpha x + \frac{H}{F} x \right) = 0$$

$$A \sin \alpha l + \frac{H}{F} l = 0 \quad ; \quad \lim_{\substack{x \rightarrow l \\ x < l}} \left(A \alpha \cos \alpha x + \frac{H}{F} \right) = 0 \quad ; \quad A \alpha \cos \alpha l + \frac{H}{F} = 0$$

; $A \sin \alpha l = -\frac{H}{F} l$; $A \alpha \cos \alpha l = -\frac{H}{F}$; prin împărțire se obține:

$$\frac{A \sin \alpha l}{A \alpha \cos \alpha l} = \frac{-\frac{H}{F} l}{-\frac{H}{F}} \quad ; \quad \frac{\tan \alpha l}{\alpha} = l \quad ; \quad \tan \alpha l = \alpha l \quad \text{este o ecuație}$$

transcendentă în α l, pe care o rezolvăm pe cale grafică.

Deci $\alpha l = 4,493$; $\alpha^2 l^2 = 20,16 = 2,05 \pi^2 \cong 2 \pi^2$;

$$\alpha^2 = \frac{2 \pi^2}{l^2} = \frac{F}{EI_{\min}} \quad \text{de unde} \quad F_f = \frac{2 \pi^2 EI_{\min}}{l^2} = \frac{\pi^2 EI_{\min}}{\left(\frac{l}{\sqrt{2}} \right)^2}.$$

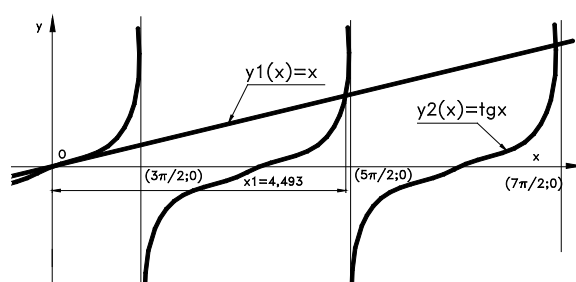
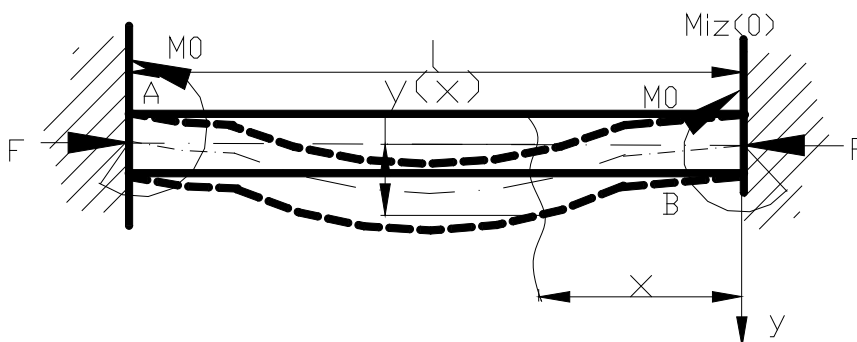


Figura 112

7.2.4. Bara încastrată la ambele capete**Figura 113**

Expresia momentului încovoietor într-o secțiune oarecare (x) va fi :

$M_{iz}(x) = Fy - M_0$, unde M_0 fiind momentul de reacțiune din încastrare. Ecuația diferențială a fibrei medii deformate fiind:

$$EI_{\min} \frac{d^2 y}{dx^2} = -Fy + M_0; EI_{\min} \frac{d^2 y}{dx^2} + Fy = M_0 ;$$

$$\frac{d^2 y}{dx^2} + \frac{F}{EI_{\min}} y = \frac{M_0}{EI_{\min}} ; \alpha^2 = \frac{F}{EI_{\min}} ;$$

$$\frac{d^2 y}{dx^2} + \alpha^2 y = \frac{M_0}{EI_{\min}}; y = y_1 + y_2 ; y_1(x) = A \sin \alpha x + B \cos \alpha x \text{ soluția}$$

$$\text{de la ecuația diferențială omogenă. } \frac{d^2 y}{dx^2} + \alpha^2 y = 0$$

și $y_2(x) = Cx + D$ soluția de la ecuația diferențială neomogenă.

$$\frac{d^2 y}{dx^2} + \alpha^2 y = \frac{M_0}{EI_{\min}} ; \frac{dy_2}{dx} = C ; \frac{d^2 y_2}{dx^2} = 0$$

$$0 + \alpha^2 (Cx + D) = \frac{M_0}{EI_{\min}} ; D = \frac{M_0}{\alpha^2 EI_{\min}} ;$$

$$\alpha^2 Cx + \alpha^2 D = \frac{M_0}{EI_{\min}} = 0x + \frac{M_0}{EI_{\min}} ; \alpha^2 = \frac{F}{EI_{\min}}; C = 0 ;$$

$$D = \frac{M_0}{\frac{F}{EI_{\min}}} \quad ; \quad D = \frac{M_0}{F} \quad \text{deci} \quad y_2(x) = \frac{M_0}{F} \quad ; \quad \text{deci}$$

$y(x) = y_1(x) + y_2(x)$ soluția generală a ecuației diferențiale,

$$y(x) = A \sin \alpha \cdot x + B \cos \alpha \cdot x + \frac{M_0}{F}$$

Determinăm pe A, B, M_0 din condițiile limită $\lim_{\substack{x \rightarrow 0 \\ x > 0}} y(x) = 0$,

$$\lim_{\substack{x \rightarrow 0 \\ x > 0}} \frac{dy}{dx} = 0 \quad ; \quad \lim_{\substack{x \rightarrow l \\ x < l}} y(x) = 0 \quad ; \quad \lim_{\substack{x \rightarrow l \\ x < l}} \frac{dy}{dx} = 0$$

$$y(x) = A \sin \alpha \cdot x + B \cos \alpha \cdot x + \frac{M_0}{F} \quad ;$$

$$\lim_{\substack{x \rightarrow 0 \\ x > 0}} y(x) = A \sin 0 + B \cos 0 + \frac{M_0}{F} = 0 \quad ; \quad B + \frac{M_0}{F} = 0 \quad ;$$

$$B = -\frac{M_0}{F} \quad ; \quad y'(x) = A \alpha \cos \alpha \cdot x - B \alpha \sin \alpha \cdot x = \frac{dy}{dx} \quad ;$$

$$\lim_{\substack{x \rightarrow 0 \\ x > 0}} \frac{dy}{dx} = A \alpha \cos 0 - B \alpha \sin 0 = 0 \quad ; \quad A \alpha = 0 \quad ; \quad A = 0$$

$$y(x) = B \cos \alpha \cdot x + \frac{M_0}{F} \quad ; \quad y'(x) = -B \sin \alpha \cdot x \quad ; \quad \lim_{\substack{x \rightarrow l \\ x < l}} \frac{dy(x)}{dx} = -B \sin \alpha \cdot l = 0$$

$$; \quad \sin \alpha \cdot l = 0 \quad \lim_{\substack{x \rightarrow l \\ x < l}} \left(B \cos \alpha \cdot x + \frac{M_0}{F} \right) = 0 \quad ; \quad B \cos \alpha \cdot l + \frac{M_0}{F} = 0 \quad ;$$

$$-\frac{M_0}{F} \cos \alpha \cdot l + \frac{M_0}{F} = 0 \quad ; \quad \frac{M_0}{F} (1 - \cos \alpha \cdot l) = 0 \quad ; \quad 1 - \cos \alpha \cdot l = 0$$

$\cos \alpha l = 1$; $\sin \alpha l = 0$; din $\cos \alpha l = 1$ rezultă $\alpha l = 0, 2\pi, 4\pi, \dots, 2n\pi$
iar $\sin \alpha l = 0$ rezultă $\alpha l = 0, \pi, 2\pi, \dots, n\pi$ unde
 $n \in \mathbb{N}$ oarecare. Se observă $\alpha l = 0$, dar rezultă $\alpha = 0$ și deci $P = 0$
deci imposibil. Forța critică de flambaj rezultă din : $\alpha l = 2\pi$

$$\alpha = \frac{2\pi}{l} ; \alpha^2 = \left(\frac{2\pi}{l}\right)^2 = \frac{P_f}{EI_{\min}} ; P_f = \frac{\pi^2 EI_{\min}}{\left(\frac{l}{2}\right)^2}.$$

Valoarea minimă a forței critice de flambaj în cele patru cazuri

studiate se poate scrie sub o formulă generală unitară : $P_f = \frac{\pi^2 EI_{\min}}{l_f^2}$

care se numește formula lui Euler, unde l_f poartă numele de lungime de flambaj a barei.

Lungimile de flambaj sunt :

Cazul I $l_f = l$

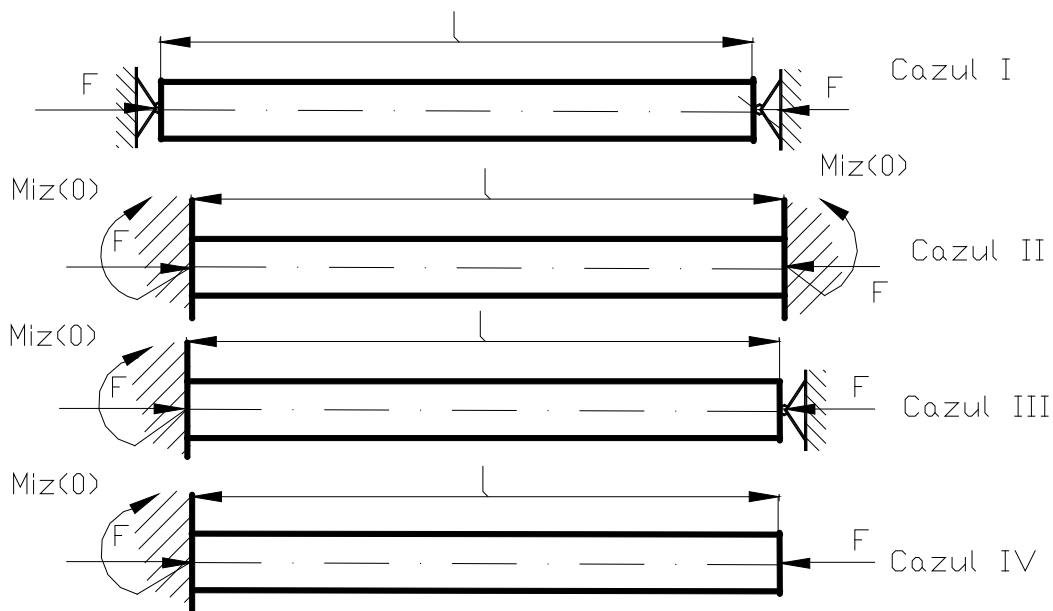


Figura 114

Cazul II $l_f = 0,5l$

Cazul III $l_f = \frac{l}{\sqrt{2}} = 0,707.l$

Cazul IV $l_f = 2l$

7.3. Limita de valabilitate a formulei lui Euler. Flambajul în zona elastică și în zona plastică

La flambaj, se consideră că eforturile unitare de compresiune sunt uniform repartizate pe secțiune. Împărțind forța critică de flambaj la aria secțiunii, rezultă valoarea efortului unitar critic de flambaj.

$$\sigma_f = \frac{P_f}{A} = \frac{\pi^2 EI_{\min}}{l_f^2 A}; i_{\min} = \sqrt{\frac{I_{\min}}{A}}$$

$$\sigma_f = \frac{\pi^2 EA i_{\min}^2}{l_f^2 A} = \frac{\pi^2 E}{\left(\frac{l_f}{i_{\min}}\right)^2} = \frac{\pi^2 E}{\lambda^2}$$

unde i_{\min} este raza de inerție minimă ; de aici va rezulta :

$$\lambda = \frac{l_f}{i_{\min}} \text{ fiind raportul dintre lungimea de flambaj și raza de inerție}$$

minimă a secțiunii, poartă denumirea de coeficient de subțirime sau coeficient de zveltețe. Deci efortul unitar critic de flambaj, depinde de proprietățile elastice ale materialului (E) și de coeficientul de zveltețe λ , unde λ depinde de dimensiunile și forma barei. Atingerea tensiunii normale de flambaj σ_f antrenează după sine o schimbare radicală a noțiunii de rezistență. Pentru σ_f trebuie să stabilim un alt punct de vedere, decât cel de rezistență, tensiunea normală σ_f reprezintă pentru bara comprimată același pericol ca și atingerea stării limită pentru tensiunea normală la solicitarea de compresiune, deoarece acest efort unitar se obține pentru valoarea critică a sarcinii. În sistemul de coordonate $[\sigma_f, 0, \lambda]$ formula lui Euler reprezintă o hiperbolă cubică, având ca asimptotă orizontală axa 0λ care are

ecuația ($\sigma_f = 0$). Din figura 115 rezultă că atunci când λ scade σ_f crește.

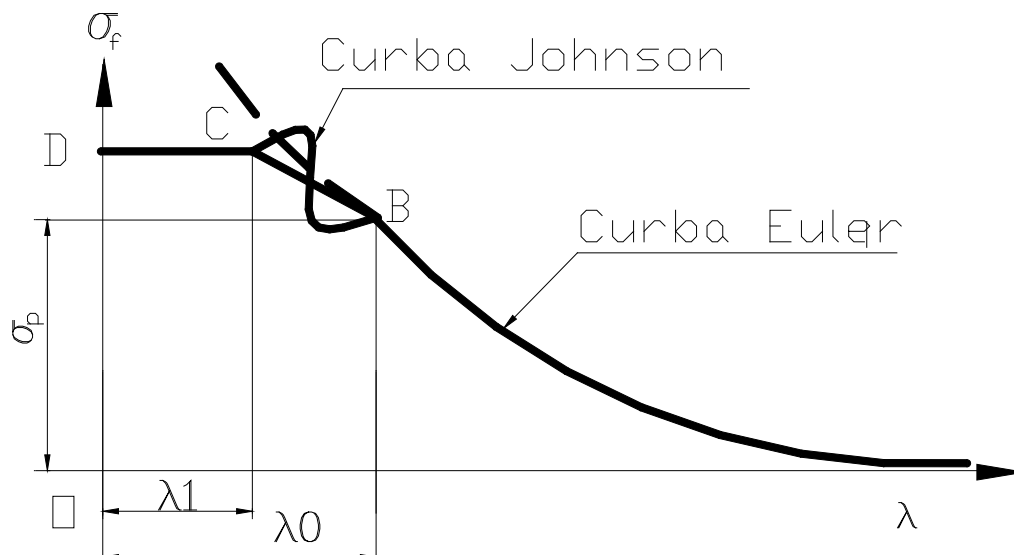


Figura 115

În punctul (B), σ_f atinge limita de proporționalitate rezultând o valoare λ_0 pentru coeficientul de zveltețe, care pentru unele materiale se confundă cu limita de elasticitate.

Pentru valori mai mici decât λ_0 pierderea stabilității apare pentru valori ale efortului unitar σ_f superioare limitei de elasticitate și acest domeniu se numește flambaj elasto-plastic. În acest domeniu nu sunt valabile formulele lui Euler. Domeniul elasto-plastic a fost studiat de către Tetmayer-Iasinski, Johnson și alții, au demonstrat că în acest domeniu nu mai sunt valabile aceste formule ale lui Euler. Formulele lui Euler sunt valabile numai pentru $\lambda > \lambda_0$. Se poate calcula valoarea lui λ_0 pentru anumite oțeluri. Când

$$\sigma_p = 200 \frac{N}{mm^2}; E = 2,1 * 10^5 \frac{N}{mm^2} ; \sigma_f = \frac{\pi^2}{\lambda_0^2} E ; \sigma_f = \sigma_p ;$$

$$\sigma_p = \frac{\pi^2}{\lambda_0^2} E ; \lambda_0^2 = \frac{\pi^2 E}{\sigma_p} ; \lambda_0 = \sqrt{\frac{\pi^2 E}{\sigma_p}} ;$$

$$\lambda_0 = \sqrt{\frac{\pi^2 * 2,1 * 10^5 \frac{N}{mm^2}}{200 \frac{N}{mm^2}}} = 102 ; \lambda_0 = 102$$

Pentru calculul tensiunii normale critice din domeniul elasto-plastic se folosesc formule stabilite pe baza datelor experimentale.

Tetmayer-Iasinski au aproximat porțiunea BC cu o dreaptă de ecuație $\sigma_f = a - b\lambda$, unde (a) și (b) sunt coeficienți obținuți prin încercări experimentale pentru fiecare material în parte. În același domeniu, porțiunea B-C a fost aproximată cu o parabolă :

$\sigma_f = \sigma_c (1 - b_1\lambda + b_2\lambda^2)$ de către Johnson , σ_c fiind tensiunea normală de rupere la compresie.

Câteva relații de calcul pentru calculul tensiunii normale critice pentru domeniul elasto-plastic:

$$\sigma_f = (310 - 1,14\lambda) \left[\frac{N}{mm^2} \right], \text{ pentru oțel foarte moale } \lambda \in [10,105]$$

$$\sigma_f = (335 - 0,62\lambda) \left[\frac{N}{mm^2} \right] \text{ pentru oțel moale și } \lambda < 90$$

$$\sigma_f = (470 - 2,3\lambda) \left[\frac{N}{mm^2} \right] \text{ pentru oțel aliat cu nichel și } \lambda < 86.$$

Dacă se trece din domeniul elasto-plastic în domeniul plastic, adică λ va tinde la zero

$$\lim_{\lambda \rightarrow 0} \sigma_f(\lambda) = \lim_{\lambda \rightarrow 0} \sigma_c (1 - b_1\lambda + b_2\lambda^2) = \sigma_c ; \sigma_f = \sigma_c$$

Deci distrugerea piesei nu se mai produce prin pierderea stabilității, ci prin depășirea tensiunii normale la compresie. Valoarea maximă a coeficientului de zveltețe din domeniul plastic s-a notat cu λ_1 . Piese sollicitate la compresie în funcție de coeficientul de zveltețe se disting trei genuri de formule de calcul și anume :

-pentru $\lambda > \lambda_0$, se folosesc formulele lui Euler pentru că ne aflăm în domeniul elastic;

-pentru $\lambda \in (\lambda_1; \lambda_0]$, adică pentru domeniul elasto-plastic, se folosesc formule empirice ;
 -pentru $\lambda < \lambda_1$, adică pentru domeniul plastic se folosesc formule de calcul de la compresiune, în general $\lambda_1 = 20$.

7.4. Calculul de rezistență la flambaj

În funcție de modul de construcție calculul de rezistență la flambaj se face în două feluri, și anume :

- 1) – calculul de flambaj pentru piesele de mașini
- 2) - calculul de flambaj pentru construcțiile metalice.

7.4.1. Calculul de rezistență la flambaj pentru piesele de mașini

Respectând modul de calcul de rezistență se face calculul de dimensionare și de verificare. Calculul de dimensionare se face prin încercări , pentru că nu știm în ce domeniu ne aflăm din cele trei existente. Se presupune inițial că piesa este în domeniul elastic , având o valoare pentru coeficientul de siguranță, care în domeniul construcției de mașini variază într-un interval destul de mare, între [3 ;30]

și din formula : $F_a = \frac{F_f}{c} = \frac{\pi^2 EI_{\min}}{cl_f^2}$ se calculează $I_{\min} = \frac{F_a \cdot c \cdot l_f^2}{\pi^2 E}$

$c_{\text{impus}} = c$ = coeficientul de siguranță;

F_a = forța admisibilă . Cunoscând forma secțiunii transversale, putem afla dimensiunile acestuia. Având dimensiunile secțiunii transversale se calculează λ .

Cazul I

Dacă $\lambda_{cal} > \lambda_0$ dimensionarea a fost făcută bine cu formula lui Euler.

Cazul II

$\lambda_{cal} < \lambda_0$, dimensionarea trebuie făcută din nou, folosind formulele de calcul din domeniul elasto-plastic. În domeniul elasto-plastic se procedează astfel :

-se calculează $\sigma_f = a - b\lambda$

-se calculează σ_{cef} la compresiunea simplă prin adoptarea dimensiunilor pentru secțiunea transversală;

-se verifică coeficientul de siguranță $c_{calculat} = \frac{\sigma_f}{\sigma_{cef}}$.

Acest procedeu se repetă până când coeficientul de siguranță calculat se obține egal sau mai mare sau egal decât coeficientul de siguranță impus din problemă.

Calculul de verificare

Știind forma și dimensiunile secțiunilor transversale se calculează coeficientul de zveltețe λ_{cal} și în funcție de valoarea lui vom folosi formulele de calcul din domeniul elastic sau elasto-plastic :

1) $\lambda_{cal} > \lambda_0$, se folosesc formulele lui Euler.

2) $\lambda_{cal} < \lambda_0$ se folosește una din formulele empirice din domeniul elasto-plastic . La flambaj a verifica înseamnă a calcula coeficientul de

siguranță cu formula : $c_{calculat} = \frac{\sigma_f}{\sigma_c} \geq c_{impus} = c$ deci bara nu flambează,

iar când $c_{calculat} = \frac{\sigma_f}{\sigma_c} < c_{impus} = c$; bara flambează deci nu verifică.

Problema nr. 1

Să se dimensioneze o tijă de oțel cu secțiunea din figura 116 , încastrată la un capăt și articulată la celălalt, având lungimea $l=1,82m$; comprimată cu forța $F=205$ kN. Se dau $c_{impus} = c =4$, $\lambda_0 =105$,

$\sigma_c = 210MP_a$, $E = 2,1 * 10^5 MP_a$, iar pentru flambajul în zona

elasto-plastică $\sigma_f = 304 - 1,12\lambda [MP_a]$. Lungimea de flambaj a tijei

$$l_f = \frac{\sqrt{2}}{2} * 1,82m = 1,286934m ; l_f = 1,286934m .$$

Se calculează momentul de inerție cu formula lui Euler, presupunem că ne aflăm în domeniul elastic.

$$I_z = \frac{F * c * l_f^2}{\pi^2 * E} = \frac{205KN * 4 * (1,286934)^2 m^2}{\pi^2 * 2,1 * 10^5 MP_a} =$$

$$= \frac{205 * 10^3 N * 4 * (1,286934)^2 * 10^6 mm^2}{\pi^2 * 2,1 * 10^5 \frac{N}{mm^2}} = 65,591538 * 10^4 mm^4$$

$$I_y = 65,591538 * 10^4 mm^4 ; I_y = \frac{(2a)^3 * 4a}{12} - \frac{\pi a^4}{64} = I_{\min}$$

$$I_y = I_{\min} = a^4 \left[\frac{8 * 4}{12} - \frac{\pi}{64} \right] = a^4 \left[\frac{8}{3} - \frac{\pi}{64} \right]$$

$$I_{\min} = a^4 [2,66 - 0,049063] = 2,617604 a^4 ; I_{\min} = I ;$$

$$2,617604 a^4 = 65,591538 * 10^4 mm^4 ;$$

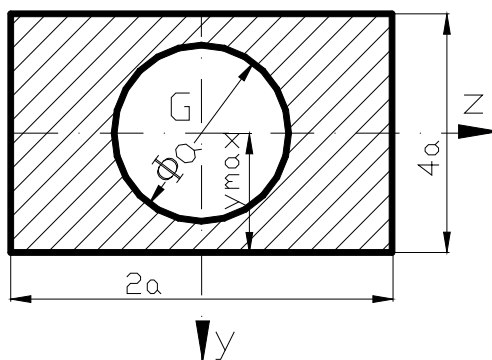


Figura 116

$$a = \sqrt[4]{\frac{65,591538 * 10^4}{2,617604}} = 22,37mm ; a = 23 mm$$

Se calculează raza de inerție : $i = \sqrt{\frac{I}{A}} = \sqrt{\frac{2,617604a^4}{7,215a^2}} = 0,602329a$

$$; A = 4a * 2a - \frac{\pi a^2}{4} = a^2 \left[8 - \frac{\pi}{4} \right]$$

$$A = a^2 [8 - 0,785] = 7,215a^2 ;$$

$$i = 0,602329 * 23mm = 13,853567mm$$

Se calculează coeficientul de zveltețe (de subțirime) :

$$\lambda = \frac{l_f}{i_{\min}} = \frac{1,286934 * 10^3 mm}{13,853567mm} = 92,895 < \lambda_0$$

Deoarece $\lambda < \lambda_0$, dimensionarea cu formula lui Euler nu este bună, folosim Tetmayer-Iasinski:

$$\sigma_f = 304 - 1,12\lambda = 304 - 1,12 * 92,895 = 304 - 104,0424 = ;$$

$$= 199,9576MP_a$$

$$\sigma_f = 199,9576MP_a ;$$

Se calculează efortul unitar la compresiune :

$$\sigma = \frac{F}{A} = \frac{205 * 10^3 N}{3816,735mm^2} = 53,710829MP_a ;$$

$$A = 7,215a^2 = 7,215 * 23^2 = 3816,735mm^2$$

Se calculează coeficientul de siguranță la flambaj :

$$c_{\text{calculat}} = \frac{\sigma_f}{\sigma} = \frac{199,9576MP_a}{53,710829MP_a} = 3,722 < 4 ; c_{\text{calculat}} < c_{\text{impus}} = c = 4 ;$$

Se mărește (**a**) apoi se calculează c_{calculat} până când

$$c_{\text{calculat}} \geq c_{\text{impus}} = 4 ; \text{ Se ia } a = 25mm ;$$

$$i = 0,602329a = 0,602329 * 25mm = 15,058225mm ;$$

$$A = 7,215a^2 = 7,215 * 25^2 mm^2 = 4509,375mm^2 ;$$

$$\lambda = \frac{l_f}{i_{\min}} = \frac{1,286934 * 10^3 \text{ mm}}{15,058225 \text{ mm}} = 85,463858 \quad ; \text{ Se recalculează :}$$

$$\sigma_f = 304 - 1,12 * 85,463858 = 208,280479 \text{ MPa} ;$$

$$\sigma = \frac{F}{A} = \frac{205 * 10^3 \text{ N}}{4509,375 \text{ mm}^2} = 45,460845 \text{ MPa} ;$$

$$c = \frac{\sigma_f}{\sigma} = \frac{208,280479 \text{ MPa}}{45,460845 \text{ MPa}} = 4,581536 > 4 \quad ; \text{ deci } a = 25 \text{ mm}$$

rezultă că dimensionarea este bună.

Problema nr. 2

Să se determine diametrul interior al șurubului unui cric prin calculul la flambaj, dacă sarcina maximă de ridicare este de 125 KN, lungimea $l = 781 \text{ mm}$ și se consideră liber la un capăt și încastrat la celălalt . Se

dau : $c_{\text{impus}} = c = 3,8$; $\lambda_0 = 105$; $E = 2,1 * 10^5 \text{ MPa}$;

$\sigma_f = 304 - 1,12\lambda \text{ [MPa]}$; $\sigma_c = 235 \text{ MPa}$; lungimea de flambaj

$l_f = 2l = 2 * 781 \text{ mm}$; $l_f = 1562 \text{ mm}$;

Folosind formula lui Euler (din domeniul elastic) , se obține :

$$I_{\min} = \frac{F \cdot c \cdot l_f^2}{\pi^2 E} = \frac{125 \cdot 10^3 \text{ N} \cdot 3,8 \cdot (1562 \text{ mm})^2}{\pi^2 \frac{2,1 \cdot 10^5 \text{ N}}{\text{mm}^2}} = 559728,0581 \text{ mm}^4$$

$$I_{\min} = \frac{\pi d^4}{64} \quad ; \quad d = \sqrt[4]{\frac{64 I_{\min}}{\pi}} \quad ;$$

$$d = \sqrt[4]{\frac{64 * 559728,0581 \text{ mm}^4}{\pi}} = \sqrt[4]{11 * 408 * 469,97} = 58,11 \quad ;$$

$d = 59 \text{ mm}$; raza de inerție :

$$i = \sqrt{\frac{I_{\min}}{A}} = \sqrt{\frac{\frac{\pi d^4}{64}}{\frac{\pi d^2}{4}}} = \sqrt{\frac{d^2}{16}} = \frac{d}{4} ; i_{\min} = \frac{59mm}{4} = 14,75mm ;$$

Coeficientul de zveltețe :

$$\lambda = \frac{l_f}{i_{\min}} = \frac{1562mm}{14,75mm} = 105,898 > 105 \quad \text{dimensionarea cu}$$

formula lui Euler este bună, suntem în domeniul elastic.

Problema nr. 3.

La filetarea de degroșare a unui șurub din OL 37 , lung de 1,21 m și cu diametrul $d = 35 \text{ mm}$, apare o componentă axială a forței de așchiere $F = 1,785 \text{ KN}$. Să se verifice la flambaj acest șurub. Bara se consideră încastrată la un capăt și articulată în celălalt.

Se dau $\lambda_0 = 105$; $c_{\text{impus}} = c = 8$; $\sigma_f = 304 - 1,12\lambda [MP_a]$;

$$\sigma_c = 240 MP_a ; E = 2,1 * 10^5 MP_a$$

$$i = \frac{d}{4} = \frac{35mm}{4} = 8,75mm ; i = 8,75mm ;$$

$$l_f = \frac{\sqrt{2}}{l} * l = \frac{\sqrt{2}}{2} * 1,21m = 0,855599m$$

Coeficientul de subțirime este :

$$\lambda = \frac{l_f}{i} = \frac{855,599mm}{8,75mm} = 97,782743 < 105 ; \text{ Efortul unitar critic de}$$

flambaj se calculează cu formula lui Tetmayer-Iasinski :

$$\sigma_f = 304 - 1,12\lambda ; \lambda = 97,782743 ;$$

$$\sigma_f = 304 - 1,12 * (97,782743) = 194,483328 MP_a ; \text{ Efortul unitar la}$$

compresiune este :

$$\sigma = \frac{F}{A} = \frac{1,785KN}{\frac{\pi}{4} * (35)^2 mm^2} = 1,856233 MP_a . \text{ Coeficientul de siguranță la}$$

flambaj este :

$$c_{calculat} = \frac{\sigma_f}{\sigma} = \frac{194,483328 MP_a}{1,856233 MP_a} = 104,773123 ;$$

$$c_{calc} = 104,773123 > c_{impus} = 8$$

În final șurubul nu flambează.

Problema nr. 4

O bară de oțel cu lungimea $l = 3,72m$, de secțiune circulară inelară cu $D = 60\text{ mm}$ și $d = 30\text{ mm}$, este fixată rigid între doi pereți masivi la temperatura $t_0 = 30^0 C$. Să se determine temperatura limită la care se poate încălzi bara fără să flambeze.

Se dau : coeficientul de dilatare liniară a barei $\alpha = 16 * 10^{-6} (0^0 C)^{-1}$

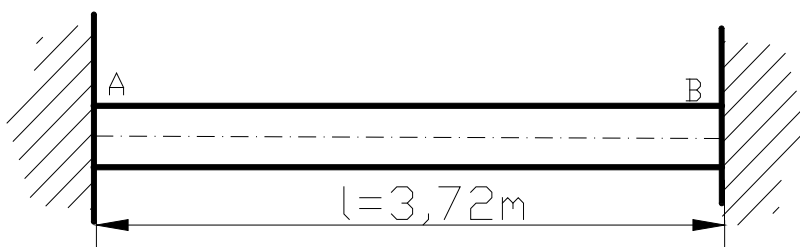


Figura 117

modulul de elasticitate longitudinal $E = 2,1 * 10^5 MP_a$ și $\lambda_0 = 105$.

$$A = \frac{\pi}{4} (60^2 - 30^2) mm^2 = 10^2 * \frac{\pi}{4} (36 - 9) = 10^2 * \frac{\pi}{4} * 27 mm^2 ;$$

$$I_z = \frac{\pi}{64} (60^4 - 30^4) = \frac{\pi}{64} * 10^4 (6^4 - 3^4) = \frac{\pi * 10^4}{64} (1296 - 81) ;$$

$$I_y = I_z = 59,610938 * 10^4 mm^4 ;$$

$$i = \sqrt{\frac{I_{min}}{A}} = \sqrt{\frac{59,610938 * 10^4 mm^4}{2119,5 mm^2}} = 16,7705 mm ;$$

$$l_f = \frac{l}{2} = \frac{3,72m}{2} = 0,167705 * 10^2 mm ;$$

$$i = 16,7705 \text{ mm} \quad ; \quad l_f = 1,86 \text{ m} = 1,86 * 10^3 \text{ mm} \quad ;$$

$$\lambda = \frac{l_f}{i_{\min}} = \frac{1,86 * 10^3 \text{ mm}}{16,7705 \text{ mm}} = 110,909037 > \lambda_0 = 105$$

Suntem în domeniul elastic, calculul sarcinii critice se face folosind formula lui Euler. Efortul unitar la dilatarea împiedică a unei bare

$$\text{este : } \sigma = E \cdot \alpha \cdot \Delta t \quad ; \quad \varepsilon = \frac{\Delta l}{l_0} = \frac{l_0 \cdot \alpha \cdot \Delta t}{l_0} = \alpha \cdot \Delta t \quad ; \quad \Delta l = l_0 \cdot \alpha \cdot \Delta t \quad ;$$

$$\varepsilon = \alpha \Delta t \quad ; \quad \sigma = E \cdot \varepsilon \quad ; \quad \sigma = E \alpha \Delta t \quad ; \quad \sigma_f = \frac{\pi^2 E}{\lambda^2} \quad ;$$

Pentru determinarea temperaturii la care se produce pierderea stabilității elastice a barei, se scrie că acest efort este egal cu efortul

$$\text{unitar critic de flambaj și rezultă : } E \alpha \Delta t = \frac{\pi^2 E}{\lambda^2} \quad ;$$

$$\Delta t = \frac{\pi^2 E}{\lambda^2 E \alpha} = \frac{\pi^2}{\lambda^2 \alpha} = \frac{\pi^2}{110,909037^2 * 16 * 10^{-6} (^\circ \text{C})^{-1}} \quad ;$$

$$\Delta t = 50,096276^\circ \text{C} \quad ; \quad \text{temperatura limită la care poate fi încălzită este}$$

$$: \quad t = t_0 + \Delta t = 30^\circ \text{C} + 50,096276^\circ \text{C} \quad ; \quad t = 80,096276^\circ \text{C} .$$

7.4.2. Calculul de rezistență la flambaj în construcții metalice

În construcțiile metalice se folosesc laminate standardizate și executate din oțel moale OL 37. La flambaj se folosește o metodă generală , numită metoda coeficientului de flambaj. Făcând un studiu al acestui calcul , destinat normelor de calcul pentru construcții metalice, pentru $\lambda > 105$, un coeficient de siguranță $c = 2,4$; iar pentru $\lambda = 20$ se calculează un coeficient de siguranță

$$c = \frac{\sigma_c}{\sigma_{ac}} = \frac{2400 \text{ MPa}}{1400 \text{ MPa}} = 1,714 . \text{ Pentru a calcula coeficientul de}$$

siguranță pentru $\lambda = 20$, s-a admis că σ_f a atins limita de curgere la

compresiune, iar σ_{ac} efortul unitar admisibil la compresiune. În domeniul elasto-plastic $\lambda \in [20, 105]$ și coeficientul de siguranță $c \in [1, 714; 2, 4]$; σ_f în acest domeniu are o variație eliptică.

$\sigma_f = 177,08 + 0,70178\sqrt{7515 - (\lambda - 20)^2} [MPa]$; cu $\sigma_{af} = \frac{\sigma_f}{c}$ σ_{af} ; tensiunea admisibilă la flambaj. Dimensionarea pieselor se face cu formula : $A_{nec} = \frac{F}{\sigma_{af}}$. Cum σ_{af} fiind o mărime variabilă, se

introduce noțiunea de coeficient de flambaj și anume : $\varphi = \frac{\sigma_{af}}{\sigma_{ac}} < 1$

și dimensionarea devine $A_{nec} = \frac{F}{\varphi \cdot \sigma_{ac}}$, iar pentru

verificare $\sigma_{ef} = \frac{F}{\varphi \cdot A} \leq \sigma_{ac}$; unde σ_{ac} fiind tensiunea normală

admisibilă la compresiune . Această metodă este folosită în Rusia și poartă denumirea de metoda φ , iar standardele germane folosesc așa- numitul “ multiplicatorul de flambaj “ , care este inversul lui φ

; $\omega = \frac{1}{\varphi} = \frac{\sigma_{ac}}{\sigma_{af}} > 1$ și relația de calcul devine $\sigma_{ef} = \frac{\omega \cdot F}{A} \leq \sigma_{ac}$. Cu

ajutorul acestei metode se calculează cu aceleași formule în cele două domenii (elastic, elasto-plastic). În schimb , pentru dimensionare se fac încercări :

- se adoptă o valoare pentru λ și din tabel se ia valoarea lui φ ;
- având pe φ se face dimensionarea ;
- funcție de valoarea calculată a lui t din standardele pentru laminate se adoptă o secțiune standardizată ;
- se recalculează λ , respectiv φ și se verifică tensiunea normală efectivă ;
- în cazul în care dă o diferență mare între tensiunea normală efectivă și cea admisibilă , calculul se reia adoptând o valoare intermediară

pentru λ între cea adoptată inițial și cea recalculată. Calculul se repetă până se ajunge la o valoare a lui σ_f apropiată de σ_{ac} .

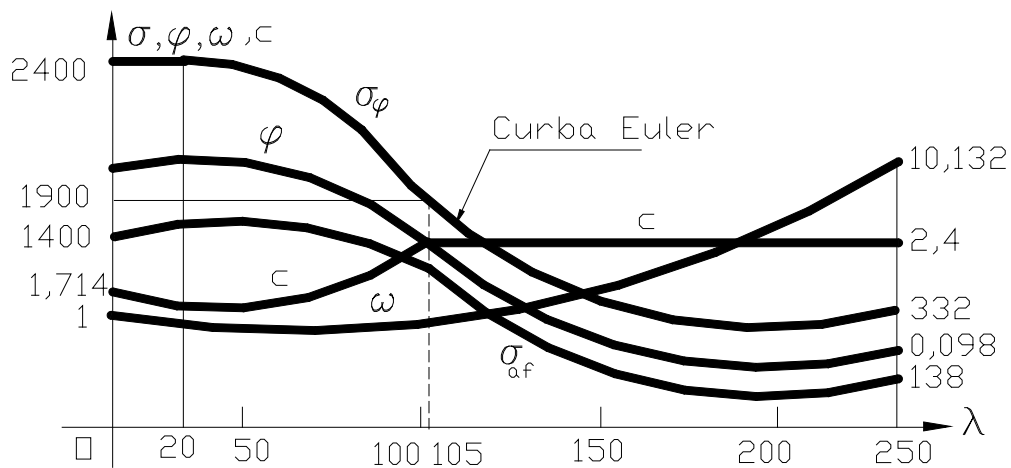


Figura 118

Coeficienții de flambaj φ pentru OL 37

λ	0	1	2	3	4	5	6	7	8	9
20	1	0.996	0.991	0.986	0.981	0.976	0.971	0.967	0.962 2	0.957
30	0.953	0.948	0.944	0.939	0.935	0.931	0.926	0.921	0.916 6	0.912
40	0.907	0.902	0.898	0.894	0.889	0.884	0.879	0.875	0.871 1	0.866
50	0.862	0.857	0.853	0.849	0.844	0.840	0.835	0.830	0.825 5	0.821
60	0.817	0.812	0.807	0.803	0.798	0.794	0.789	0.785	0.780 0	0.775
70	0.771	0.766	0.761	0.757	0.752	0.748	0.743	0.738	0.733 3	0.728
80	0.723	0.718	0.713	0.708	0.703	0.698	0.693	0.688	0.683 3	0.677
90	0.672	0.666	0.661	0.655	0.649	0.643	0.637	0.631	0.624 4	0.617
100	0.610	0.602	0.593	0.583	0.572	0.561	0.550	0.539	0.528 8	0.519
110	0.510	0.501	0.491	0.483	0.474	0.466	0.458	0.451	0.444 4	0.436
120	0.428	0.421	0.411	0.407	0.401	0.395	0.389	0.383	0.377 7	0.371

Rezistența materialelor volumul II

130	0.365	0.359	0.354	0.349	0.344	0.339	0.334	0.329	0.32 4	0.319
140	0.314	0.310	0.307	0.302	0.297	0.293	0.289	0.285	0.28 1	0.278
150	0.274	0.271	0.267	0.264	0.260	0.257	0.254	0.250	0.24 7	0.244
160	0.240	0.238	0.235	0.232	0.229	0.226	0.224	0.221	0.21 8	0.216
170	0.213	0.211	0.208	0.206	0.204	0.201	0.199	0.197	0.19 5	0.193
180	0.190	0.188	0.186	0.184	0.182	0.180	0.178	0.176	0.17 4	0.172
190	0.170	0.168	0.167	0.165	0.163	0.161	0.160	0.158	0.15 7	0.155
200	0.154	0.152	0.151	0.150	0.148	0.147	0.145	0.143	0.14 2	0.141
210	0.140	0.138	0.137	0.135	0.134	0.133	0.132	0.130	0.12 9	0.128
220	0.127	0.126	0.125	0.124	0.122	0.121	0.120	0.119	0.11 8	0.117
230	0.116	0.115	0.114	0.113	0.112	0.111	0.110	0.109	0.10 8	0.107
240	0.107	0.106	0.105	0.104	0.103	0.102	.0102	0.101	0.10 0	0.099
250	0.098	-	-	-	-	-	-	-	-	-

Coeficienții de flambaj ϕ pentru lemn și fontă

λ	lemn	fontă	λ	lemn	fontă
0	1	1	80	0.48	0.26
10	0.99	0.97	90	0.38	0.20
20	0.97	0.91	100	0.30	0.16
30	0.93	0.81	110	0.25	-
40	0.87	0.69	120	0.22	-
50	0.80	0.57	130	0.18	-
60	0.71	0.44	140	0.16	-
70	0.61	0.34	150	0.14	-

Problema nr. 5

Ce forță de compresiune poate suporta o bară din profil cornier cu aripi egale 45x45x6 , de lungime $l = 1,978m$, încastrată la ambele capete, pentru un coeficient de siguranță $c_{impus} = c = 2,2$.

$$\sigma_{ac} = 140 \frac{N}{mm^2} = 140 MPa ; \text{ Forța de compresie se calculează}$$

$$\text{folosind metoda } (\varphi) : l_f = \frac{l}{2} = \frac{1,978}{2} = 0,989m ; l_f = 989mm ;$$

$$i_{\min} = 0,87cm = 8,7mm ;$$

$$\lambda = \frac{l_f}{i_{\min}} = \frac{989mm}{8,7mm} = 113,678161 ; \varphi = 0,474 ; \varphi \in [0,483; 0,474]$$

a) Din metoda φ rezultă :

$$F = \varphi \cdot A \cdot \sigma_{ac} = 0,474 * 508mm^2 * 140 \frac{N}{mm^2} = 33710,88N ;$$

$$A = 5,08cm^2 = 5,08 * 10^2 mm^2 = 508mm^2 ; F = 33,71088kN$$

b) Cu ajutorul formulei lui Euler se obține:

$$F = \frac{\pi^2 EI_{\min}}{cl_f^2} = \frac{\pi^2 * 2,1 * 10^5 \frac{N}{mm^2} * 3,82 * 10^4 mm^4}{2,2 * (989mm)^2} = 37\,000\,N =$$

37 kN

$$I_{\min} = 3,82cm^4 = 3,82 * 10^4 mm^4 ; F = 37 * 10^3 N = 37kN$$

Deci (a) și (b) dau valori apropiate pentru forța de compresie.

Problema nr. 6

O bară , profil I , de lungime $l = 2,217m$, articulată la ambele capete, este solicitată la compresie de o forță axială $F = 99,5kN$.

Să se dimensioneze bara pentru $\sigma_{ac} = 140 \frac{N}{mm^2}$.

Metoda φ : $A_{nec} = \frac{F}{\varphi \sigma_{ac}}$; Deoarece nu se cunoaște φ , se ia un

$\lambda = 85$ la întâmplare , avem $\varphi = 0,698$ și deci

$$A_{nec} = \frac{99,5 * 10^3 N}{0,698 * 140 \frac{N}{mm^2}} = 1018,215 mm^2 \text{ și se ia } I_{10}$$

$$I_y = I_{min} = 12,2 * 10^4 mm^2 ; A = 10,6 * 10^2 mm^2 ;$$

$$i_{min} = i_y = 1,07 cm = 10,7 mm .$$

Verificăm coeficientul de zveltețe :

$$\lambda = \frac{l_f}{i_{min}} = \frac{2,217 * 10^3 mm}{107 mm} = 207,196 ; l_f = l = 2,217 m . \text{ Deoarece}$$

λ a ieșit prea mare, se ia o valoare intermediară pentru $\lambda = 150$.

$$A_{nec} = \frac{F}{\varphi \sigma_{ac}} = \frac{99,5 * 10^3 N}{0,274 * 140 \frac{N}{mm^2}} = 2593,847758 mm^2$$

$$\varphi = 0,274 \text{ se ia } I_{18} : I_y = I_{min} = 81,3 * 10^4 mm^4 ;$$

$$i_{min} = i_y = 17,1 mm ; A = 27,9 * 10^2 mm^2 ;$$

$$\lambda = \frac{l_f}{i_{min}} = \frac{2,217 * 10^3 mm}{17,1 mm} = 129,649123$$

Diferența dintre $\lambda = 150$ adoptat și $\lambda_{calc} = 129,64$ cel calculat nu este prea mare și verificăm tensiunea normală din bară , adică

$$\sigma_{cef} = \frac{99,5 * 10^3 N}{0,365 * 27,9 * 10^2 mm^2} = 97,70 MPa < 140 MPa ; \varphi = 0,365$$

, deci rămâne I_{18} .

Capitolul VIII

Solicitări dinamice prin șoc

Solicitarea prin șoc se produce când asupra unui corp intervine o variație bruscă de viteză. Șocul este urmarea contactului între corpuri, produs într-un timp extrem de scurt, în urma șocului, se produce o forță de contact foarte mare, greu de evaluat. Între cele două suprafețe de contact se produc eforturi unitare locale foarte mari, urmate, de obicei, de apariția unor deformații permanente, șocul se propagă cu efect mai redus în toată masa corpurilor ce se lovesc.

Se caută o asimilare a solicitării prin șoc cu o solicitare statică, prin considerente energetice, această metodă are o marjă de aproximare în asimilarea solicitărilor dinamice cu cele statice.

8.1. Solicitarea la întindere sau compresiune prin șoc .

Dacă avem o bară de lungime l și de secțiune transversală A , din figura 119 în lungul căreia cade o placă de greutate F de la o înălțime h . Greutatea F , căzând de la înălțimea h , lovește opritorul (O), se produce în acel moment solicitarea la întindere prin șoc în urma căreia bara suferă o lungire δ . Se pornește de la principiul conservării energiei, anume, energia cinetică a greutatei (F) se transformă în lucrul mecanic elastic de deformare înmagazinat de bară, produs ca urmare a acțiunii forței (F). $L_1 = F(h + \delta)$ energia cinetică care este egală cu energia potențială. Energia potențială de deformare

$$L_2 = \frac{EA\delta^2}{2l} ; L_2 = \frac{\sigma\epsilon}{2} Al = \frac{E\epsilon^2}{2} Al ; \sigma = E\epsilon ; \epsilon = \frac{\Delta l}{l} = \frac{\delta}{l} ;$$

$$L_2 = \frac{E}{2} Al * \frac{\delta^2}{l^2} = \frac{EA\delta^2}{2l} ; \text{ Dar } L_1 = L_2 ;$$

$$F(h + \delta) = \frac{EA\delta^2}{2l} ; EA\delta^2 = 2Fhl + 2lF\delta ;$$

$$EA\delta^2 - 2Fl\delta - 2Fhl = 0 \text{ necunoscută fiind } \delta \text{ săgeata dinamică.}$$

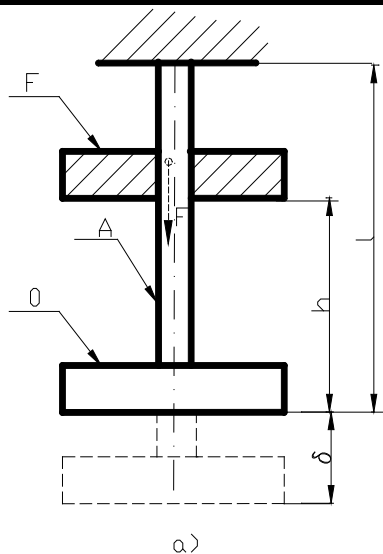


Figura 119

$$\delta_{1,2} = \frac{Fl \pm \sqrt{F^2 l^2 + 2FhlEA}}{EA} = \frac{Fl}{EA} \pm \sqrt{\frac{F^2 l^2}{E^2 A^2} + \frac{2FhlEA}{E^2 A^2}} =$$

$$= \frac{Fl}{EA} \pm \sqrt{\left(\frac{Fl}{EA}\right)^2 + 2h \frac{Fl}{EA}} \quad ; \text{ se ia numai } \delta$$

cu (+) , cea cu minus dă soluții negative, deci ar fi compresiune, ceea

ce nu ar corespunde realității. $\delta = \frac{Fl}{EA} + \sqrt{\left(\frac{Fl}{EA}\right)^2 + 2h \frac{Fl}{EA}}$; Dar

aplicând pe (F) static ca în figura 120 : $\delta_s = \frac{Fl}{EA}$

$$\delta = \delta_s + \sqrt{\delta_s^2 + 2h\delta_s} = \delta_s \left(1 + \sqrt{1 + \frac{2h}{\delta_s}} \right)$$

unde expresia $\left(1 + \sqrt{1 + \frac{2h}{\delta_s}} \right) = \psi$, se notează cu ψ și se numește

multiplicator de impact sau multiplicator de ciocnire.

$$\delta = \psi \cdot \delta_s \quad .$$

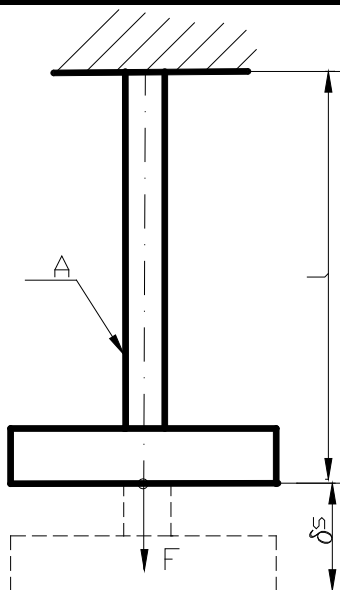


Figura 120

Multiplicatorul de impact ψ are valori foarte mari, δ_s sunt foarte mici și în acest caz : $\psi = 1 + \sqrt{1 + \frac{2h}{\delta_s}}$, se ia $\psi = \sqrt{\frac{2h}{\delta_s}}$, se neglijează ceilalți termeni ai lui ψ . În cazul când în loc de înălțimea h , se dă viteza v a șocului, se obține :

$$v^2 = 2gh \quad ; \quad h = \frac{v^2}{2g} \quad ;$$

$$\psi = 1 + \sqrt{1 + \frac{2h}{\delta_{st}}} = 1 + \sqrt{1 + \frac{2v^2}{2g} * \frac{1}{\delta_{st}}} = 1 + \sqrt{1 + \frac{v^2}{g\delta_{st}}} \quad ; \text{ în mod}$$

analog se obține

$$\sigma_d = \psi \sigma_{st} = \frac{F}{A} \psi \quad ; \quad \sigma_a = \frac{F}{A} \sqrt{\frac{2h}{\delta_{st}}} = \frac{F}{A} \sqrt{\frac{2h}{\frac{Fl}{EA}}} \quad ;$$

$$\sigma_a^2 = \frac{F^2}{A^2} * EA * \frac{2h}{Fl} = \frac{F}{A} * \frac{2hE}{l} \quad ; \quad (Al)_{nec} = \frac{2FEh}{\sigma_a^2} .$$

La dimensionare, intervine volumul barei $V = Al$, cu cât volumul este mai mare cu atât rezistă mai mult la solicitarea dinamică prin șoc.

Dacă se ține seama că : $\psi = 1 + \sqrt{1 + \frac{2h}{\delta_{st}}}$;

$\psi^2 = 1 + 1 + \frac{2h}{\delta_{st}} + 2\sqrt{1 + \frac{2h}{\delta_{st}}}$; $\psi^2 = 2 + \frac{2h}{\delta_{st}} + 2\sqrt{1 + \frac{2h}{\delta_{st}}}$ Neglijând

$2\sqrt{1 + \frac{2h}{\delta_{st}}}$, $\psi^2 = 2\left(1 + \frac{h}{\delta_{st}}\right)$; $\sigma_a = \psi \frac{F}{A}$; $\sigma_a^2 = \psi^2 \frac{F^2}{A^2}$;

$\sigma_a^2 A^2 = \psi^2 F^2$; $\delta_{st} = \frac{Fl}{EA}$;

$\sigma_a^2 A^2 = F^2 2\left(1 + \frac{h}{\frac{Fl}{EA}}\right)$; $\sigma_a^2 A^2 = 2F^2 + 2F^2 \frac{EAh}{Fl}$;

$\sigma_a^2 A^2 - 2A * \frac{FEh}{l} - 2F^2 = 0$;

$A_{1,2} = \left[\frac{FEh}{l} \pm \sqrt{\left(\frac{FEh}{l}\right)^2 + 2F^2 \sigma_a^2}\right] \frac{1}{\sigma_a^2}$;

$A_{nec} = \left[\frac{FEh}{l} + F\sqrt{\left(\frac{Eh}{l}\right)^2 + 2\sigma_a^2}\right] \frac{1}{\sigma_a^2}$.

Un alt caz este atunci când sarcina se aplică brusc, de la înălțimea $h = 0$, $\phi = 2$. Deci efectul unei sarcini aplicate brusc, fără înălțime de cădere, este dublu decât cel al uneia aplicate static, adică cu mărimea crescând lent de la zero până la valoarea finală.

Problema nr. 1

Un stâlp de lemn, având dimensiunile din figura 121 și de lungime $l = 4,752m$, este bătut cu un berbec de greutate $F = 4610N$,căzând

de la înălțimea $h = 3,125m$ se dau : $E = 10^4 \frac{N}{mm^2}$

Să se calculeze efortul unitar produs în stâlp în urma loviturilor.

Rezolvare:

$$\sigma = \psi * \sigma_s = \frac{F}{A} \psi \quad ; \quad \sigma_s = \frac{F}{A} \quad ; \quad \psi = 1 + \sqrt{1 + \frac{2h}{\delta_s}} \quad ;$$

$$\psi = 1 + \sqrt{1 + \frac{2h}{\frac{Fl}{EA}}} = 1 + \sqrt{1 + \frac{2hEA}{Fl}} \quad ;$$

$$\psi = 1 + \sqrt{1 + \frac{2 * 3,125m * 10^4 \frac{N}{mm^2} * 48 * 25mm^2}{4610N * 4,752m}} = \quad ; \quad \psi = 59,520142 \quad ;$$

$$= 1 + \sqrt{1 + 3423,607003} = 59,520142$$

$$\sigma_{st} = \frac{F}{A} = \frac{4610N}{48 * 25mm^2} = 3,841667 \frac{N}{mm^2} \quad ; \quad \sigma_d = 228,656565 MPa$$

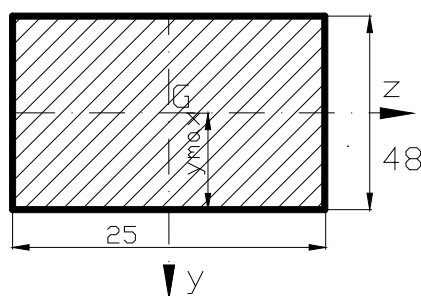


Figura 121
Problema nr. 2.

Problemă de compresiune prin șoc

O greutate $P = 3465 \text{ N}$, cade de la înălțimea $h = 2,683m$ pe o bară cu secțiunea variabilă, având forma unui trunchi de piramidă, cu înălțimea $l = 1,28m$, iar bazele $A_1 = 130mm^2$ și $A_2 = 468mm^2$.

$$E = 2,1 * 10^5 \frac{N}{mm^2} \quad .$$

Rezolvare:

Energia cinetică în momentul șocului este :

$$E_c = L = Ph = 3465N * 2,683m$$

$$E_c = 3465N * 2,683 * 10^3 mm = 9296559Nmm \quad .$$

Energia cinetică este absorbită în întregime de corpul lovit.

$$L = \int_l \frac{N^2 dx}{2EA} = \frac{N^2}{2E} \int_l \frac{dx}{A} \quad ; \quad N \text{ este forța axială în momentul șocului.}$$

Din teorema asemănării triunghiurilor vom obține :

$$\frac{A_1}{a^2} = \frac{A_2}{(a+l)^2} = \frac{A}{x^2} \quad ; \quad A = \text{aria secțiunii transversale într-o secțiune}$$

curentă aflată la distanța “x” față de capătul fictiv O.

$$A = \frac{x^2}{(a+l)^2} A_2 \quad ; \quad L = \frac{N^2}{2E} \int_a^{a+l} \frac{dx}{\frac{x^2 A_2}{(a+l)^2}} = \frac{N^2}{2E} \frac{(a+l)^2}{A_2} \int_a^{a+l} \frac{dx}{x^2} \quad ;$$

$$\int_a^{a+l} \frac{dx}{x^2} = \frac{x^{-2+1}}{-2+1} \Big|_a^{a+l} = -\frac{1}{x} \Big|_a^{a+l} = -\left(\frac{1}{a+l} - \frac{1}{a}\right) = -\left(\frac{a-a-l}{a(a+l)}\right) =$$

$$= \frac{l}{a(a+l)}$$

$$L = \frac{N^2}{2EA_2^2} (a+l)^2 * \frac{l}{a(a+l)} = \frac{N^2(a+l)l}{2EA_2 * a} \quad ; \quad E_c = L$$

$$Ph = \frac{N^2(a+l)l}{2EA_2 a} \quad ; \quad N = \sqrt{\frac{2PhEA_2 a}{(a+l)l}} \quad ;$$

$$N = \sqrt{\frac{2 * 3465N * 2,683m * 2,1 * 10^5 \frac{N}{mm^2} * 468mm^2 * 1,426395m}{2,706395m * 1,28m}}$$

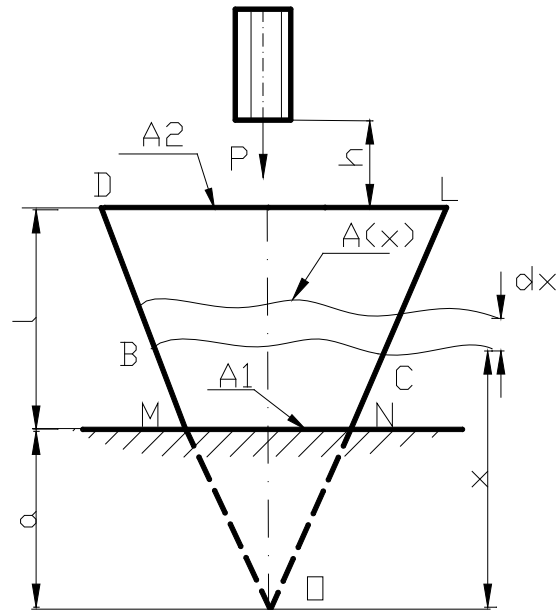


Figura 122

$$N = 867419 \text{ N} ; \quad A_1 = \frac{a^2}{(a+l)^2} A_2 ; \quad \frac{a^2}{(a+l)^2} = \frac{A_1}{A_2}$$

$$; \frac{a}{a+l} = \sqrt{\frac{A_1}{A_2}} ; \quad 1 + \frac{l}{a} = \sqrt{\frac{A_2}{A_1}} ; \quad \frac{l}{a} = \sqrt{\frac{A_2}{A_1}} - 1 ;$$

$$a = \frac{l}{\left(\sqrt{\frac{A_2}{A_1}} - 1 \right)} = \frac{1,28m}{\left(\sqrt{\frac{468mm^2}{130mm^2}} - 1 \right)} = \frac{1,28m}{0,897367} = 1,426395m ;$$

$$a + l = 1,426395m + 1,28m = 2,706395m ; \quad N = 867419N ;$$

Forței axiale îi corespunde o tensiune maximă în secțiunea de arie A_1

$$\cdot \sigma_{\max} = \frac{N}{A_1} = \frac{N}{A_2} \left(\frac{a+l}{a} \right)^2 ;$$

$$\sigma_{\max} = \sqrt{\left(\frac{a+l}{a}\right)^4 * \frac{1}{A_2^2} * \frac{2PhEA_2a}{(a+l)l}} = \sqrt{\frac{2PhE}{A_2} * \left(\frac{a+l}{a}\right)^3 * \frac{1}{l}} = \frac{N}{A_1} =$$

$$= \frac{867 * 419N}{130mm^2} = 6672,453846MP_a;$$

$$\sigma_{\max} = 6672,453846MP_a \text{ foarte mare.}$$

Dacă bara are un vârf ascuțit , adică $a = 0$ și $A_1 = 0$, presiunea de

contact va fi $\sigma_{\max} = \sqrt{\frac{2PhE}{A_2l} \left(1 + \frac{l}{a}\right)^3}$;

$\lim_{a \rightarrow 0} \sigma_{\max} = \infty$; $\frac{l}{0} \Rightarrow \infty$ și de aceea se fac sculele pentru tăiere și perforare având forma ascuțită

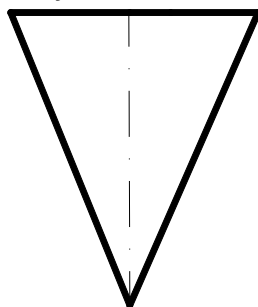


Figura 123

Problema nr. 3.

Tensiunea produsă prin ciocnire într-o bară, în cădere pe o placă rigidă

Se consideră o bară , de greutate $P = 464,307 \text{ N}$ și de rigiditate EA cu $E = 2,1 * 10^5 \frac{N}{mm^2}$, $A = 148mm^2$ lungime $l = 2,163m$ și greutate

specifică $\gamma = 148 \frac{Kgf}{dm^3}$, cade de la înălțimea $h = 4,261 \text{ m}$, asupra

unei plăci rigide (un exemplu practic fiind tija ciocanului de forjat la capătul cursei de forjare).

Rezolvare:

Atunci când se produce ciocnirea , bara posedă o energie cinetică $E_c = L = Ph$, care se transformă în întregime în energie de deformare. În capătul N al barei, tensiunea maximă de compresiune σ_{\max} , este egală cu presiunea de contact, dar la capătul superior M tensiunea barei fiind egală cu zero, variația tensiunii fiind o funcție liniară de variabilă x. $\sigma(x) = \frac{x}{l} \sigma_{\max}$.

Energia potențială de deformare a barei fiind : $L = \iiint_V \frac{\sigma \cdot \varepsilon}{2} dV$;

$$dV = A dx \quad ; \quad \sigma = \varepsilon E \quad ; \quad \varepsilon = \frac{\sigma}{E} \quad ; \quad L = \int_{(l)} \frac{\sigma \varepsilon}{2} A dx \quad ;$$

$$L = \int_{(l)} \frac{\sigma^2}{2E} A dx = \frac{A}{2E} \int_l \sigma^2 dx = \frac{A}{2E} \int_0^l \left(\frac{x}{l} \sigma_{\max} \right)^2 dx = \frac{A}{2E} \frac{\sigma_{\max}^2}{l^2} \int_0^l x^2 dx \quad ;$$

$$\int_0^l x^2 dx = \frac{x^3}{3} \Big|_0^l = \frac{l^3}{3} \quad ; \quad L = \frac{A}{2E} \frac{\sigma_{\max}^2}{l^2} * \frac{l^3}{3} = \frac{\sigma_{\max}^2}{6E} Al \quad ; \quad E_c = L$$

$$Ph = \frac{\sigma_{\max}^2}{6E} Al \quad ; \quad \sigma_{\max} = \sqrt{\frac{6EP h}{Al}} \quad ; \quad \text{dar am } P = \gamma Al$$

$$\sigma_{\max} = \sqrt{\frac{6E * \gamma Al * h}{Al}} = \sqrt{6E \cdot \gamma h} \quad ;$$

$$\sigma_{\max} = \sqrt{6 * 2,1 * 10^5 \frac{N}{mm^2} * 148 \frac{Kgf}{dm^3} * 4,261m} \quad ;$$

$$\gamma = 148 \frac{Kgf}{dm^3} = 148 * \frac{9,8N}{10^6 mm^3} = 1450,4 * 10^{-6} \frac{N}{mm^3} .$$

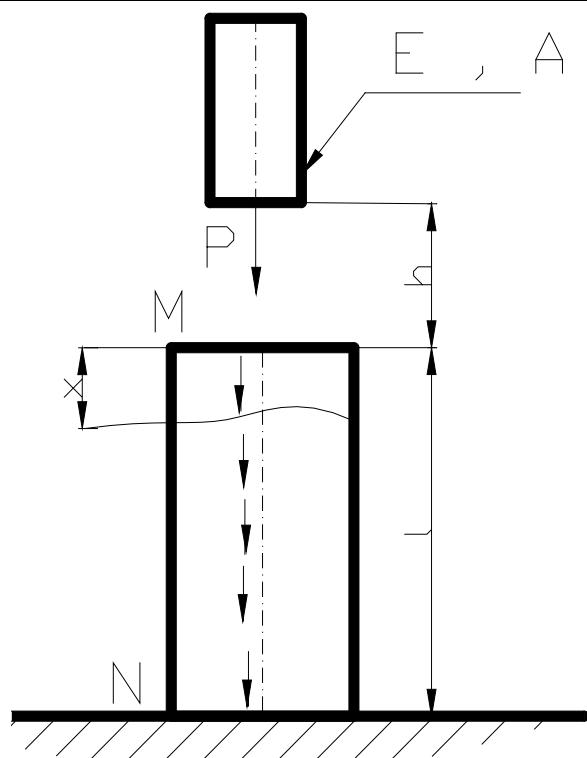


Figura 124

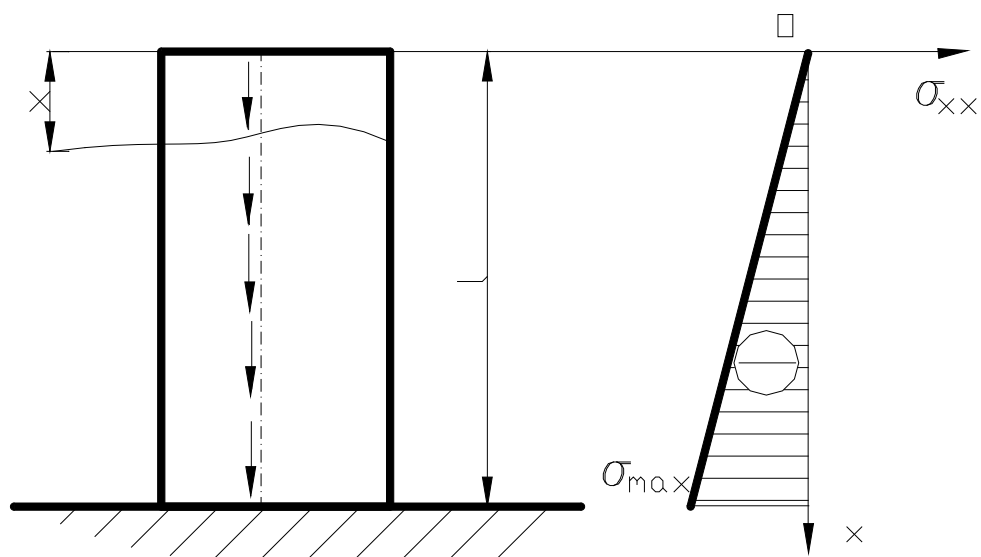


Figura 125

$$\sigma_{\max} = \sqrt{6 * 2,1 * 10^5 \frac{N}{mm^2} * 1450,4 * 10^{-6} \frac{N}{mm^3} * 4,261 * 10^3 mm}$$

$$\sigma_{\max} = 2790,51869 \frac{N}{mm^2}.$$

8.2. Solicitarea la încovoiere prin șoc

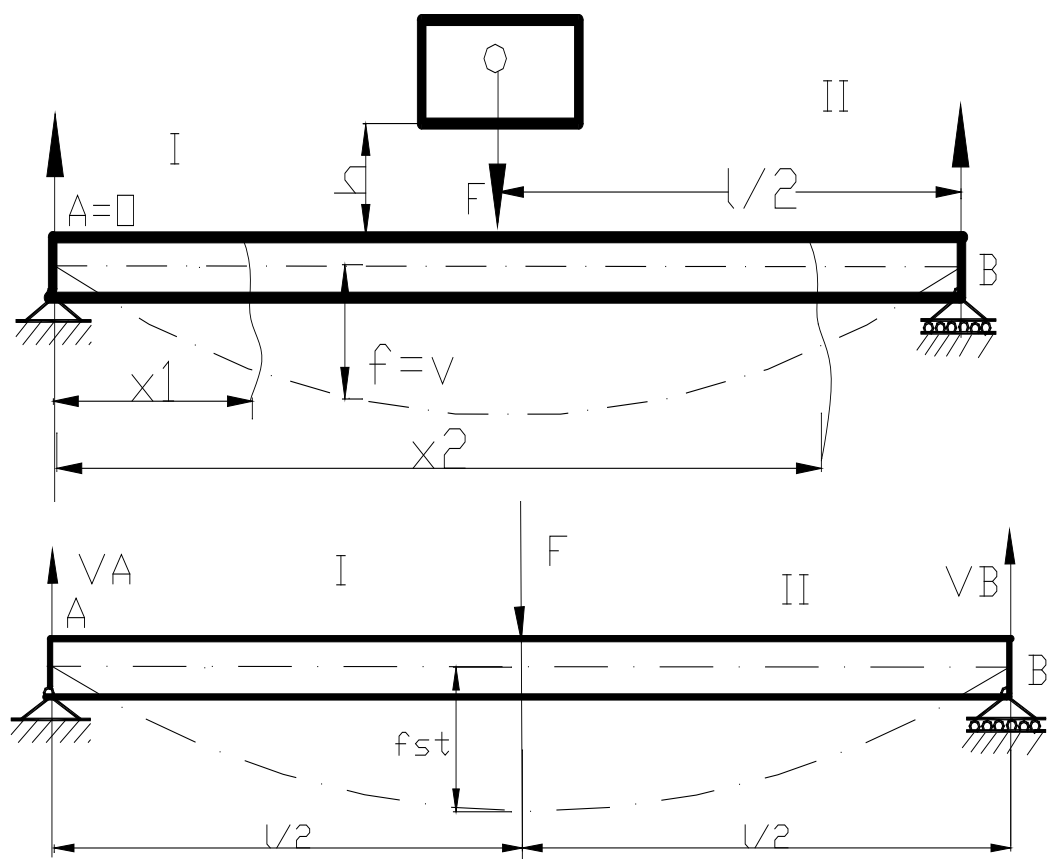


Figura 126

La fel energia cinetică a greutateii F se egalează cu energia potențială de deformare a barei. $E_c = L = F(h + f)$;

$$L = 24 \frac{EI_z \cdot f^2}{l^3} \quad ; \quad L = \int_l \frac{M_{iz}^2}{2EI_z} dx \quad ; \quad M_{iz}(x) = \frac{F}{2} x \quad ;$$

$$L = 2 \int_0^{\frac{l}{2}} \left(\frac{F}{2} x \right)^2 * \frac{1}{2EI_z} dx = \frac{1}{EI_z} \frac{F^2}{4} \frac{x^3}{3} \Bigg|_0^{\frac{l}{2}} \quad ; \quad L = \frac{F^2 l^3}{96EI_z} \quad ; \text{ Pentru}$$

calculul săgeții f , aplicăm procedeul Clebsch, se ia ca origine

$$A = 0. \quad M_{iz}(x_2) = \frac{F}{2} x - F \left(x - \frac{l}{2} \right) \quad ;$$

$$EI_z \frac{d^2 v}{dx^2} = -\frac{F}{2} x + F \left(x - \frac{l}{2} \right) \quad ; \quad EI_z \frac{dv}{dx} = -\frac{F}{2} \frac{x^2}{2} + \frac{F \left(x - \frac{l}{2} \right)^2}{2} + C$$

$$EI_z v(x) = -\frac{F}{4} \frac{x^3}{3} + \frac{F}{6} \left(x - \frac{l}{2} \right)^3 + Cx + D \quad ;$$

Aflăm pe C și D din condițiile de reazem (de sprijin) :

$$\lim_{\substack{x \rightarrow 0 \\ x > 0}} v(x) = 0 = D \quad ; \quad D = 0 \quad ; \quad \lim_{x \rightarrow 0} \frac{1}{EI_z} \left[-\frac{Fx^3}{12} + Cx + D \right] = 0 \quad ;$$

$$D = 0 \quad ; \quad \lim_{\substack{x \rightarrow l \\ x < l}} v(x) = 0 = \frac{1}{EI_z} \lim_{\substack{x \rightarrow l \\ x < l}} \left[-\frac{Fx^3}{12} + \frac{F}{6} \left(x - \frac{l}{2} \right)^3 + Cx \right] \quad ;$$

$$\frac{-Fl^3}{12} + \frac{F}{6} \left(l - \frac{l}{2} \right)^3 + Cl = 0 \quad ; \quad \frac{-Fl^3}{12} + \frac{F}{6} \frac{l^3}{8} + Cl = 0$$

$$\frac{-Fl^2}{12} + \frac{Fl^2}{48} + C = 0 \quad ;$$

$$C = \frac{3Fl^2}{48} ; \quad v(x) = \frac{1}{EI_z} \left[\frac{-Fx^3}{12} + \frac{F}{6} \left(x - \frac{l}{2} \right)^3 + \frac{3Fl^2}{48} x \right]$$

$$f = \lim_{\substack{x \rightarrow \frac{l}{2} \\ x < \frac{l}{2}}} v(x) = \frac{1}{EI_z} \left[\frac{-F}{12} \left(\frac{l}{2} \right)^3 + \frac{3Fl^2}{48} \frac{l}{2} \right]$$

$$f = \frac{Fl^3}{EI_z} \left[\frac{-1}{96} + \frac{3}{96} \right] = \frac{Fl^3}{48EI_z} ; L = \frac{F^2 l^3}{96EI_z} = F * \frac{Fl^3}{EI_z} * \frac{1}{96}$$

$$L = \frac{F}{96} * 48f = \frac{Ff}{2} ; f^2 = \frac{F^2 l^6}{48^2 E^2 I_z^2} ; \frac{F^2 l^3}{EI_z} = \frac{f^2 EI_z}{l^3} 48^2 ;$$

$$L = \frac{1}{96} f^2 EI_z \frac{48^2}{l^3} = \frac{f^2 EI_z 48}{2 * l^3} ; L = 24 \frac{EI_z f^2}{l^3} ; Ec = L ;$$

$$F(h + f) = \frac{24f^2 EI_z}{l^3} ; Fl^3 h + Fl^3 f = 24f^2 EI_z ;$$

$$24f^2 EI_z - Fl^3 f - Fl^3 h = 0 ; f_s = \frac{Fl^3}{48EI_z} ;$$

$$f_{1,2} = \frac{Fl^3 \pm \sqrt{F^2 l^6 + 4 * 24EI_z Fl^3 h}}{2 * 24EI_z} \text{ se ia cu plus, pentru că}$$

săgeata dinamică este foarte mare .

$$f = \frac{Fl^3}{48EI_z} + \sqrt{\frac{F^2 l^6}{(48EI_z)^2} + \frac{4 * 24EI_z Fl^3 h}{(48EI_z)^2}} = \frac{Fl^3}{EI_z} + \sqrt{\left(\frac{Fl^3}{48EI_z} \right)^2 + \frac{Fl^3 * 2h}{48EI_z}}$$

$$\text{dar } \frac{Fl^3}{48EI_z} = f_s \text{ săgeata statică. } f = f_s + \sqrt{f_s^2 + 2hf_s} ;$$

$$f = f_s \left(1 + \sqrt{1 + \frac{2h}{f_s}} \right) ;$$

$\psi = 1 + \sqrt{1 + \frac{2h}{f_s}}$; f = săgeata dinamică , ψ = multiplicatorul de impact.

$$\left\{ \begin{array}{l} f_d = \psi f_s = f \\ \sigma_d = \sigma = \sigma_s \psi = \frac{M_{izs}}{W_z} \psi \end{array} \right. . \text{ Deci , cu cât } f_s \text{ este mai mică , cu}$$

atât ψ este mai mare și în mod indirect f săgeata dinamică. Atunci când $f_s \rightarrow 0$ atunci $f_d \rightarrow \infty$.

Problema nr.4

O greutate $F = 130 \text{ kN}$ cade de la înălțimea $h = 2,13 \text{ m}$ pe o grindă AB de modul de elasticitate , $E = 2,1 \cdot 10^5 \frac{\text{N}}{\text{mm}^2}$ și lungime $l = 0,84 \text{ m}$

; $\left\{ \begin{array}{l} l_1 = 0,3 \text{ m} \\ l_2 = 0,54 \text{ m} \end{array} \right.$, așezată pe două reazeme , având secțiunea

transversală circulară cu $d = 20 \text{ mm}$.

Să se calculeze tensiunea maximă din bară .

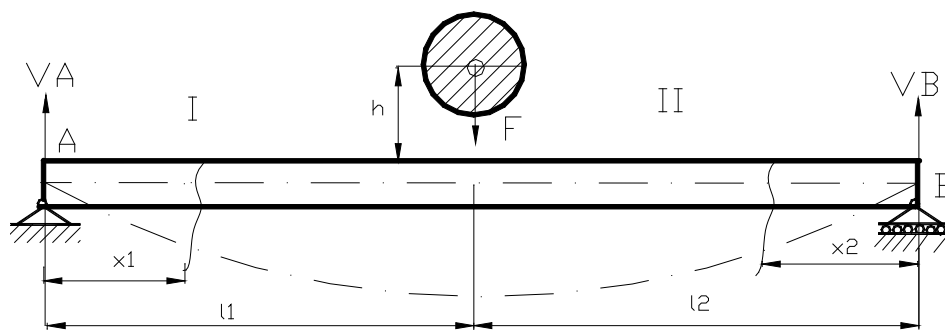


Figura 127

$Ec = L = Fh$; L = energia de deformație a grinzii ;

$$L = \int_{l_1} \frac{M_{iz}^2(x_1)}{2EI_z} dx_1 + \int_{l_2} \frac{M_{iz}^2(x_2)}{2EI_z} dx_2 \quad \text{din figura 128 ; } V_A^0 + V_B^0 = F \quad ;$$

$$\sum F_y = 0 \quad ; \quad \sum M_{iz} A = 0 \quad ; \quad V_B^0 = \frac{Fl_1}{l} \quad ; \quad F * l_1 - V_B^0 * l = 0 \quad ;$$

$$\sum M_{iz} B = 0 \quad ;$$

$$V_A^0 l - Fl_2 = 0 \quad ; \quad V_A^0 = \frac{F * l_2}{l} \quad ;$$

$$V_A^0 + V_B^0 = \frac{Fl_1}{l} + \frac{Fl_2}{l} = \frac{F(l_1 + l_2)}{l} = F \quad \text{este îndeplinită ecuația de}$$

verificare, deci s-au calculat corect forțele de reacțiune V_A^0 și V_B^0 ;

$$V_A^0 = \frac{Fl_2}{l} \quad ; \quad V_B^0 = \frac{Fl_1}{l}$$

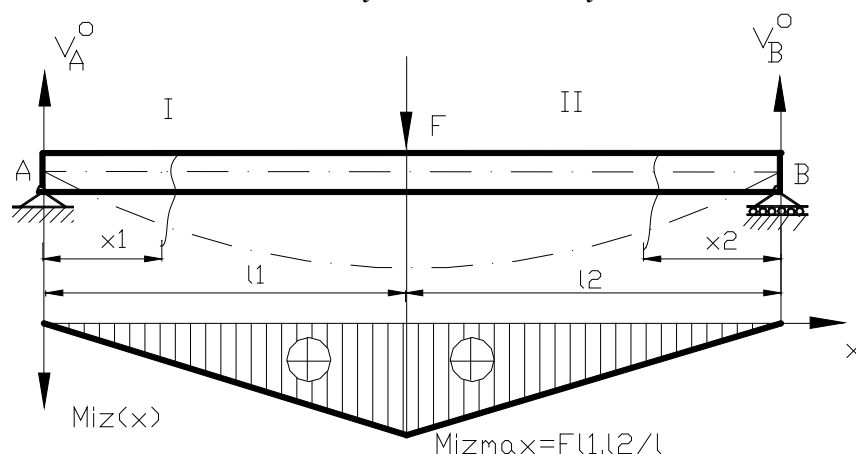


Figura 128

Regiunea întâi $x_1 \in [0, l_1]$; $M_{iz}(x_1) = \frac{Fl_2}{l} x_1$;

$$\lim_{\substack{x_1 \rightarrow 0 \\ x_1 > 0}} M_{iz}(x_1) = 0 \quad ; \quad \lim_{\substack{x_1 \rightarrow l_1 \\ x_1 < l_1}} M_{iz}(x_1) = \frac{Fl_2 l_1}{l} .$$

Reg. II. $x_2 \in [0, l_2)$; $M_{iz}(x_2) = \frac{Fl_1}{l} x_2$; $\lim_{\substack{x_2 \rightarrow 0 \\ x_2 < 0}} M_{iz}(x_2) = 0$;

$$\lim_{\substack{x_2 \rightarrow l_2 \\ x_2 < l_2}} M_{iz}(x_2) = \frac{Fl_1 l_2}{l} ;$$

$$L = \int_0^{l_1} \left(\frac{Fl_2}{l} x_1 \right)^2 \frac{dx}{2EI_z} + \int_0^{l_2} \left(\frac{Fl_1}{l} x_2 \right)^2 \frac{dx}{2EI_z} = \left(\frac{Fl_2}{l} \right)^2 \frac{x_1^3}{3} \Big|_0^{l_1} * \frac{1}{2EI_z} +$$

$$+ \left(\frac{Fl_1}{l} \right)^2 \frac{1}{2EI_z} \frac{x_2^3}{3} \Big|_0^{l_2} =$$

$$= \left(\frac{Fl_2}{l} \right)^2 \frac{l_1^3}{3} \frac{1}{2EI_z} + \left(\frac{Fl_1}{l} \right)^2 * \frac{1}{2EI_z} \frac{l_2^3}{3} = \frac{1}{6EI_z} \left[\left(\frac{Fl_1 l_2}{l} \right)^2 * l_1 + \left(\frac{Fl_1 l_2}{l} \right)^2 l_2 \right]$$

; dar $M_{iz \max} = \frac{Fl_1 l_2}{l}$; $l_1 + l_2 = l$;

$$L = \frac{1}{6EI_z} \left(\frac{Fl_1 l_2}{l} \right)^2 [l_1 + l_2] ; L = \frac{M_{iz \max}^2 l}{6EI_z} ;$$

$$L = Ec ; Fh = \frac{M_{iz \max}^2 l}{6EI_z} ; M_{iz \max} = \frac{Fl_1 l_2}{l} ; M_{iz \max} = \sqrt{\frac{6EI_z Fh}{l}}$$

rezultă momentul încovoietor maxim.

$$M_{iz \max} = \sqrt{\frac{6EI_z Fh}{l}} ; I_z = \frac{\pi d^4}{64} = \frac{\pi 20^4}{64} = 7850 mm^4 ;$$

$$M_{iz \max} = \sqrt{\frac{6 * 2,1 * 10^5 \frac{N}{mm^2} * 7850 mm^4 * 130 * 10^3 N * 2,13 m}{0,84 m}} ;$$

$$M_{iz \max} = 5710,076619 * 10^4 N * mm ;$$

Tensiunea maximă se determină cu relația lui Navier :

$$\sigma_{\max} = \frac{M_{iz, \max}}{W_z} = \sqrt{\frac{6EI_z Fh}{lW_z^2}} ; \frac{I_z}{y_{\max}} = W_{z, \min} ; I_z = W_z y_{\max} ;$$

$$\sigma_{\max} = \frac{5710,076 * 619 * 10^4 \text{ Nmm}}{785 \text{ mm}^3} = 7,273983 * 10^4 \frac{\text{N}}{\text{mm}^2} ;$$

$$W_z = \frac{\pi \cdot d^3}{32} = \frac{\pi}{32} * 20^3 \text{ mm}^3 = 785 \text{ mm}^3$$

Problema nr.5

O greutate $F = 0,45 \text{ KN}$, cade de la o înălțime $h = 2,17 \text{ m}$, pe capătul unei grinzi încastrate de metal $\left(E = 2,1 * 10^5 \frac{\text{N}}{\text{mm}^2} \right)$, de lungime $l = 1,819 \text{ m}$ și de secțiune circulară inelară cu: $d = 20 \text{ mm}$ și $D = 60 \text{ mm}$.

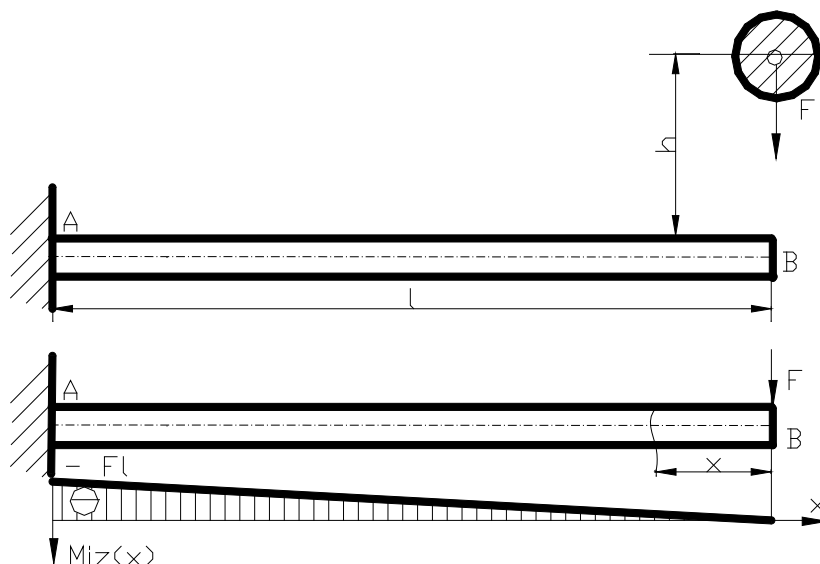


Figura 129

Se cere să se determine tensiunea normală maximă și săgeata din dreptul forței dinamice în momentul lovirii.

Ecuția fibrei medii deformate fiind : $EI_z \frac{d^2 v}{dx^2} = Fx$. Aflăm pe C și

D din condițiile de reazem.

$$\begin{cases} EI_z \frac{dv}{dx} = \frac{Fx^2}{2} + C \\ EI_z v(x) = \frac{Fx^3}{6} + Cx + D \end{cases}$$

$$\lim_{\substack{x \rightarrow l \\ x < l}} \frac{dv}{dx} = 0 = \varphi_A = \frac{1}{EI_z} \lim_{\substack{x \rightarrow l \\ x < l}} \left(\frac{Fx^2}{2} + C \right) = 0 \quad ; \quad \frac{Fl^2}{2} + C = 0$$

$$; C = -\frac{Fl^2}{2} \quad \lim_{\substack{x \rightarrow l \\ x < l}} v(x) = 0 = v_A = \frac{1}{EI_z} \lim_{\substack{x \rightarrow l \\ x < l}} \left(\frac{Fx^3}{6} + Cx + D \right) = 0$$

$$\frac{Fl^3}{6} - \frac{Fl^2}{2} l + D = 0 \quad ;$$

$$D = \frac{Fl^3}{2} - \frac{Fl^3}{6} = \frac{Fl^3}{3} \quad ; \quad \text{deci} \quad v(x) = \frac{1}{EI_z} \left[\frac{Fx^3}{6} - \frac{Fl^2}{2} x + \frac{Fl^3}{3} \right]$$

; Săgeata statică în B :

$$f_{st} = v_{st} = \lim_{\substack{x \rightarrow 0 \\ x > 0}} v(x) = \lim_{\substack{x \rightarrow 0 \\ x > 0}} \frac{1}{EI_z} \left[\frac{Fx^3}{6} - \frac{Fl^2}{2} x + \frac{Fl^3}{3} \right] = \frac{Fl^3}{3EI_z}$$

$$\begin{aligned} f_{st} = \frac{Fl^3}{3EI_z} = f_B &= \frac{0,45kN \cdot (1,819m)^3}{3 * 2,1 * 10^5 \frac{N}{mm^2} \frac{\pi}{64} (60^4 - 20^4) mm^4} = \\ &= \frac{0,45 * 10^3 N * (1,819)^3 * 10^9 mm^3}{3 * 2,1 * 10^5 \frac{N}{mm^2} \frac{\pi}{64} (60^4 - 20^4) mm^4} \end{aligned}$$

$$f_B = f_{st} = 6,8456 \text{ mm} ; \quad I_z = \frac{\pi}{64} (60^4 - 20^4) \text{ mm}^4 = 62,8 * 10^4 \text{ mm}^4 ;$$

$$\psi = 1 + \sqrt{1 + \frac{2h}{f_{st}}} = 1 + \sqrt{1 + \frac{2 * 2,17 * 10^3 \text{ mm}}{6,8456 \text{ mm}}} = 26,198886 ; \text{ săgeata în}$$

momentul șocului va avea valoarea :

$$f_d = f = \psi \cdot f_{st} = 26,198886 * 6,8456 \text{ mm} = 179,34 \text{ mm}$$

$$\sigma_{st \max} = \frac{M_{iz \max}}{W_{z \min}} = \frac{Fl}{W_{z \min}} ; \quad M_{iz \max} = Fl ;$$

$$W_z = \frac{I_z}{\frac{D}{2}} = \frac{62,8 * 10^4 \text{ mm}^4}{30 \text{ mm}} = 2,093333 \text{ mm}^3 * 10^4$$

$$W_z = \frac{\pi}{32D} (D^4 - d^4) = \frac{\pi}{32 * 60} (60^4 - 20^4) = 2,093333 \text{ mm}^3 * 10^4 ;$$

$$\sigma_{st \max} = \frac{0,45 * 10^3 \text{ N} * 1,819 * 10^3 \text{ mm}}{2,093333 \text{ mm}^3 * 10^4} = \frac{0,391027}{10^4} * 10^6 \frac{\text{N}}{\text{mm}^2} = 39,1027 \frac{\text{N}}{\text{mm}^2} ;$$

$$\sigma_{d \max} = \psi \cdot \sigma_{st} = 39,1027 \frac{\text{N}}{\text{mm}^2} * 26,198886 = 1024,447180 \frac{\text{N}}{\text{mm}^2}$$

fiind destul de mare, bara se rupe.

Problema nr.6

O grindă articulată, de greutate $P = 0,98 \text{ kN}$, având secțiunea transversală pătrat cu $a = 20 \text{ mm}$ și lungimea $l = 4,3 \text{ m}$, cade din poziția verticală asupra unui reazem rigid , ca în figura 130 . Se cere să se afle expresia tensiunii maxime .

$$I_z = \frac{a^4}{12} = \frac{20^4}{12} = 13333,33 \text{ mm}^4 ; \text{ Expresia multiplicatorului de}$$

$$\text{impact este: } \psi = 1 + \sqrt{1 + \frac{L_{ext}}{L_{int}}} ; \quad L_{ext} = \frac{Pl}{2} ; \quad L_{int} = \int_{(l)} \frac{M_{iz}^2(x)}{2EI_z} dx$$

$$F(h + f) = \iiint_V \frac{\sigma^2}{2E} dV \quad \text{sau} \quad f = f_d = \psi \cdot f_{st} ; \quad \sigma_d = \psi \cdot \sigma_{st} = \sigma ;$$

$$F(h + \psi \cdot f_s) = \iiint_V \psi^2 \frac{\sigma_{st}^2}{2E} dV ; \quad L_0 = F \cdot h \quad \text{lucrul mecanic produs de}$$

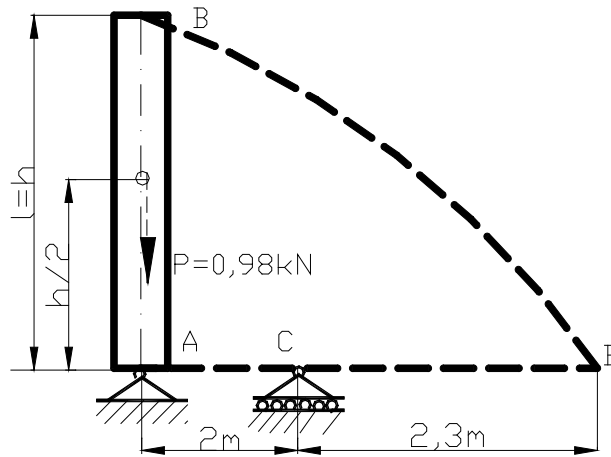


Figura 130

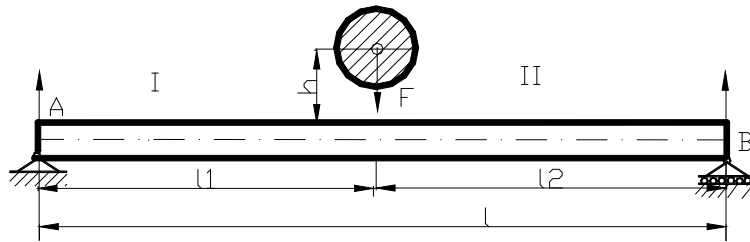


Figura 131

sarcina $F = P$ până în momentul impactului. $L_s = \frac{F \cdot f_s}{2}$ și

$$L_s = \iiint_V \frac{\sigma_s^2}{2E} dV ; \quad F \cdot h + \psi \cdot f_s \cdot F = \psi^2 \cdot L_s ;$$

$$F \cdot f_s = 2L_s ; \quad L_0 + 2L_s \cdot \psi = \psi^2 \cdot L_s ; \quad \psi^2 \cdot L_s - 2L_s \cdot \psi - L_0 = 0 ;$$

$$\psi^2 - 2\psi - \frac{L_0}{L_s} = 0 ; \quad \psi_{1,2} = 1 \pm \sqrt{1 + \frac{L_0}{L_s}} ; \quad \psi = 1 + \sqrt{1 + \frac{L_0}{L_s}} ;$$

L_0 = lucrul mecanic al forțelor exterioare ; L_s = lucrul mecanic de deformare înmagazinat în bară.

Pentru calculul lucrului mecanic interior de deformare înmagazinat în bară , ne folosim de faptul că $q=P/l$ este aplicată în mod static din figura 132.

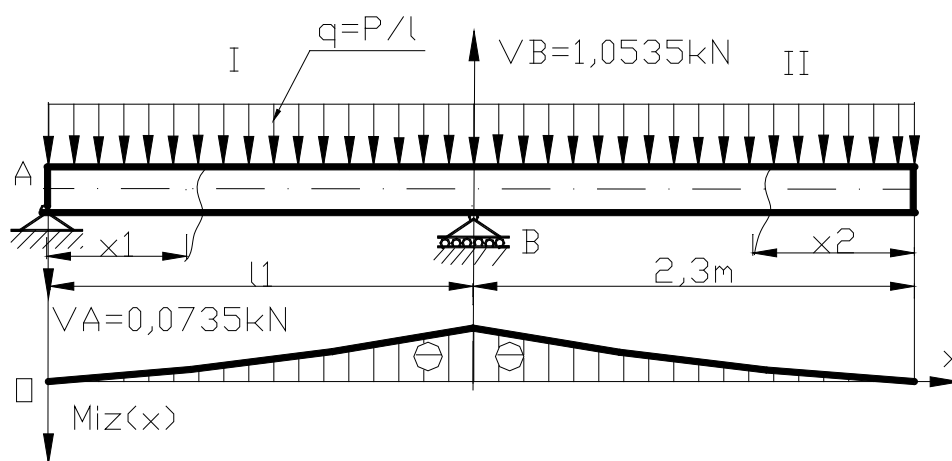


Figura 132

$$V_A + V_B = P \quad ; \quad \sum M_{iz}(A) = 0 \quad ; \quad P \cdot \frac{l}{2} - V_B \cdot 2m = 0 \quad ; \quad V_B = \frac{Pl}{4} \quad ;$$

$$\sum M_{iz}(B) = 0 \quad ; \quad V_A \cdot 2m + P \left(\frac{l}{2} - 2m \right) = 0 \quad ; \quad V_A = -\frac{Pl}{4} + P;$$

$$q = \frac{0,98.kN}{4,3m} = 0,227907 \frac{kN}{m}; P = 0,98kN; V_A + V_B = 0,98kN \quad ; \text{este}$$

îndeplinită ecuația de verificare, s-au calculat corect forțele de reacțiune : V_A și V_B .

$$V_A = -\frac{0,98kN * 4,3}{4} + 0,98kN = -\frac{0,98kN * 0,15}{2} = -0,0735kN$$

$$V_B = \frac{0,98kN * 4,3}{4} = 1,0535kN ;$$

Regiunea întâi:

$$x_1 \in (0; 2m); M_{iz}(x_1) = -0,0735kN \cdot x_1 - \frac{qx_1^2}{2};$$

$$M'_{iz}(x_1) = -0,0735kN - qx_1; M''_{iz}(x_1) = -q; \text{ concavă};$$

$$\lim_{x_1 \downarrow 0} M_{iz}(x_1) = \lim_{x_1 \uparrow 0} \left[-0,0735kN \cdot x_1 - \frac{qx_1^2}{2} \right] = 0;$$

$$\lim_{x_1 \uparrow 2m} M_{iz}(x_1) = \lim_{x_1 \uparrow 2m} \left[-0,0735kN \cdot x_1 - \frac{qx_1^2}{2} \right] = -0,0735kN \cdot 2m -$$

$$- \frac{0,227907 \frac{kN}{m} (2m)^2}{2} = -602814Nmm;$$

Regiunea a II-a

$$x_2 \in (0; 2,3m); M_{iz}(x_2) = -\frac{qx_2^2}{2}; M'_{iz}(x_2) = -qx_2; M''_{iz}(x_2) = -q;$$

$$\text{concavă}; \lim_{x_2 \downarrow 0} M_{iz}(x_2) = \lim_{x_2 \uparrow 0} \left[-\frac{qx_2^2}{2} \right] = 0;$$

$$\lim_{x_2 \uparrow 2,3m} M_{iz}(x_2) = \lim_{x_2 \uparrow 2,3m} \left[-\frac{qx_2^2}{2} \right] = -\frac{0,227907 \frac{kN}{m} (2,3m)^2}{2} =$$

$$= -602814Nmm;$$

$$L_{\text{int}} = \int_0^{2m} \left(-0,0735kN \cdot x_1 - \frac{qx_1^2}{2} \right)^2 \frac{dx_1}{2EI_z} + \int_0^{2,3m} \left(-\frac{qx_2^2}{2} \right)^2 \frac{dx_2}{2EI_z} =$$

$$\frac{0,331675kNm^3}{2EI_z};$$

$$L_{int} = \frac{0,331675 \cdot 10^{12} \text{ N.mm}^3}{2 * 2,1 \cdot 10^5 \frac{\text{N}}{\text{mm}^2} 13333,33 \text{ mm}^4} = 59,227693 \text{ N.mm}; \quad L_{int} = L_s;$$

$$L_0 = L_{ext};$$

$$L_0 = L_{ext} = \frac{Pl}{2} = \frac{0,98 \text{ kN} * 4,3 \text{ m}}{2} = 2,107 * 10^6 \text{ N.mm};$$

$$\psi = 1 + \sqrt{1 + \frac{L_0}{L_s}}; \psi = 1 + \sqrt{1 + \frac{2,107 \cdot 10^6 \text{ N.mm}}{59,227693 \text{ N.mm}}} = 189,6148885;$$

multiplicatorul de impact .

$$M_{iz \max} = |-602814 \text{ N.mm}| = 602814 \text{ N.mm};$$

$$\sigma_{st, \max} = \frac{M_{iz \max}}{W_{z \min}} = \frac{602814 \text{ N}}{1333,33 \text{ mm}^3};$$

$$\sigma_{st \max} = 452,111630 \frac{\text{N}}{\text{mm}^2};$$

$$\sigma_{d, \max} = \psi * \sigma_{st, \max} = 189,6148885 * 452,11 \frac{\text{N}}{\text{mm}^2}$$

$$\sigma_{d, \max} = 85727,09631 \frac{\text{N}}{\text{mm}^2} > \sigma_a, \text{ bara se va rupe, nu rezistă.}$$

8.3. Solicitarea la răsucire prin șoc

Dacă avem un arbore de diametru d , pe care este montat un volant cu momentul de inerție masiv (J), fiind în mișcare de rotație cu viteza unghiulară (ω), apoi se produce o oprire bruscă a arborelui într-o secțiune oarecare (M), aflată la distanța (l) de volant.

Oprirea bruscă se face într-un timp foarte scurt, ceea ce duce la împiedicarea producerii căldurii prin frecare, astfel întreaga energie cinetică a volantului se transformă în energie potențială de deformare a arborelui. Apoi se determină efortul unitar de răsucire produs de către șoc în

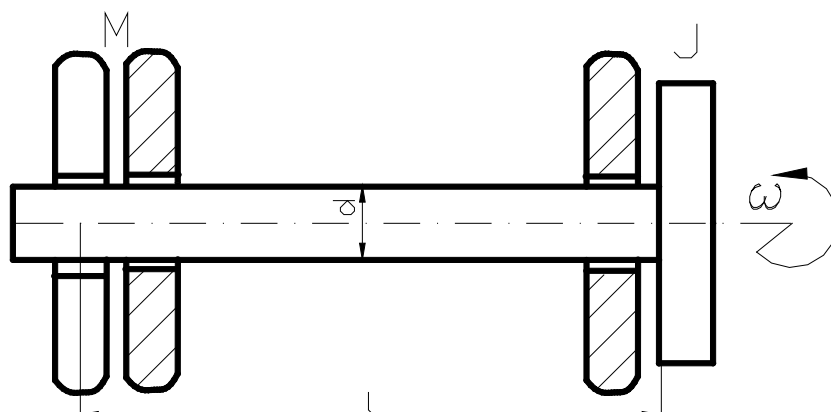


Figura 133

arbore, energia cinetică a volantului va fi : $E_c = \frac{1}{2} J \omega^2$. Iar lucrul

mecanic de deformare al arborelui este, $L = \int_l \frac{M_t^2(x)}{2GI_p} dx$; dar

$$\tau_{\max} = \frac{M_{t,\max}}{W_{p,\min}} = \frac{M_t * d}{2I_p}; M_t = \frac{2\tau_{\max} * I_p}{d}.$$

L =

$$\int_l \frac{1}{GI_p} \left(\frac{2\tau_{\max} * I_p}{d} \right)^2 dx = \int_l \frac{1}{2GI_p} \frac{4\tau_{\max}^2 * I_p^2}{d^2} dx = \frac{2\tau_{\max}^2 * I_p}{Gd^2} * x \Big|_0^l;$$

$$L = \frac{2\tau_{\max}^2 * I_p * l}{Gd^2}; \quad I_p = \frac{\pi.d^4}{32}; \text{volumul} = V = \frac{\pi.d^2}{4} * l; \text{ fiind}$$

volumul arborelui,

$$L = \frac{2\tau_{\max}^2 * \frac{\pi.d^4}{32} * l}{Gd^2} = \frac{\tau_{\max}^2}{16G} (\pi.d^2.l) = \frac{\tau_{\max}^2}{4G} \frac{\pi.d^2}{4} * l = \frac{\tau_{\max}^2}{4G} * V =$$

$$= \frac{1}{2} \frac{\tau_{\max}^2}{2G} V$$

$A = \frac{\pi \cdot d^2}{4}$; aria secțiunii transversale. Dar $E_c = L$, de unde implică

$$: \frac{1}{2} J \cdot \omega^2 = \frac{1}{2} \frac{\tau_{\max}^2}{2G} \cdot V ; \text{ de unde rezultă că , } \tau_{\max} = \sqrt{\frac{2GJ\omega^2}{V}} ;$$

$J = \frac{PD^2}{8g}$ pentru un volant de greutate (P) , având forma unui disc

plin de diametru (D) . În cazul când volantul are forma unei coroane

circulare subțiri , de diametru mediu (D) , $J = \frac{PD^2}{4g}$; pentru a fi un

calcul și mai precis trebuie ca (J) să includă și momentul de inerție masic al arborelui.

Problema nr.1

Un arbore de transmisie , de diametru $d = 4,5$ cm și de lungime $l = 7,912$ m are la un capăt o roată de diametru $D = 45$ cm și greutate $P = 18$ daN , arborele se rotește cu $n = 165$ rot/min și la un moment dat arborele se frânează brusc .

Să se calculeze efortul unitar la răsucire care se produce în arbore , în două cazuri:

- ținând seama de masa arborelui ,
- neglijând masa arborelui.

Rezolvare:

Se dau : $\gamma = 7,85 \frac{Kgf}{dm^3}$; $G = 0,81 \cdot 10^5 \frac{N}{mm^2}$.

$$E_c = L , \quad \frac{1}{2} (J + J_1) \cdot \omega^2 = \frac{1}{2} \frac{\tau_{\max}^2}{2G} \cdot V ; \text{ unde (J) fiind momentul de}$$

inerție masic al arborelui de greutate (Q) , iar (J₁) momentul de inerție masic al roții de greutate (P) ,

$$V = \frac{\pi \cdot d^2}{4} \cdot l = \frac{\pi \cdot (4,5cm)^2}{4} (7,912m) = \frac{\pi \cdot (45mm)^2}{4} (7,912 \cdot 10^3 mm) =$$

$$= 12577,113 \cdot 10^3 mm^3; Q = V \cdot \gamma = 12577,113 \cdot 10^3 mm^3 \cdot 7,85 \frac{Kgf}{dm^3}; \text{ unde}$$

$$1Kgf = 9,8N$$

$$(1dm)^3 = (100mm)^3 = 10^6 mm^3; g = 9,8 m/s^2 = 9,8 \cdot 10^3 mm/s^2;$$

$$Q = 12577,113 \cdot 10^3 mm^3 \cdot 7,85 \cdot 9,8 \frac{N}{10^6 mm^3} = 967,5573031N;$$

$$J = \frac{Q \cdot d^2}{8g} = \frac{967,5573031N \cdot (45mm)^2}{8 \cdot 9,8 \cdot 10^3 \frac{mm}{s^2}} = 24,991117 N \cdot mm \cdot s^2;$$

$$J_1 = \frac{P \cdot D^2}{8g} = \frac{18 \cdot 10N \cdot (450mm)^2}{8 \cdot 9,8 \cdot 10^3 \frac{mm}{s^2}} = 464,923469 N \cdot mm \cdot s^2; J + J_1 =$$

$$489,914586 N \cdot mm \cdot s^2; \omega = \frac{2\pi \cdot n}{60} = \frac{2 \cdot \pi \cdot 165}{60} \frac{rot}{min} = 17,27 \frac{rad}{s}; E_c = L;$$

$$\frac{1}{2} \frac{\tau_{max}^2}{2G} \cdot V = \frac{1}{2} (\omega)^2 [J + J_1]; \tau_{max} = \sqrt{\frac{2G(J + J_1) \omega^2}{V}};$$

$$\tau_{max} = \sqrt{\frac{2 \cdot 0,81 \cdot 10^5 \frac{N}{mm^2} \left(17,27 \frac{rad}{s}\right)^2 \cdot 489,914586 N \cdot mm \cdot s^2}{12577,113 \cdot 10^3 mm^3}} = 43,382 \frac{N}{mm^2}$$

Cazul b)

Atunci când nu se ține seama de masa arborelui , implică (J = 0) , atunci avem:

$$\tau_{max} = \sqrt{\frac{2G \cdot J_1 \omega^2}{V}};$$

$$\tau_{max} = \sqrt{\frac{2 \cdot 0,81 \cdot 10^5 \frac{N}{mm^2} \left(17,27 \frac{rad}{s}\right)^2 \cdot 464,923469 N \cdot mm \cdot s^2}{12577,113 \cdot 10^3 mm^3}} = 42,262 \frac{N}{mm^2}.$$

Capitolul IX

Echilibrul sistemelor plane alcătuite din bare rigide legate între ele prin articulații.

Grinzi cu zăbrele

9.1. Definiții

Echilibrul sistemelor plane de bare articulate între ele , care formează o structură geometric invariabilă , se numește obișnuit grindă cu zăbrele, acest sistem de corpuri pot fi alcătuite într-o mare diversitate de forme geometrice. Barele care alcătuiesc sistemul pot fi legate între ele astfel ca să se obțină un ansamblu rigid, capabil să suporte forțe, grinziile cu zăbrele au o largă întrebuințare , anume: ca elemente de rezistență la acoperirea unor hale industriale de dimensiuni mari, la poduri de șosea și cale ferată , la macarale, la stâlpi electrici pentru rețea de înaltă tensiune. Barele se prind între ele cu ajutorul unor plăcuțe denumite gusee, barele se prind de gusee cu ajutorul niturilor sau sudurilor, grinziile cu zăbrele sunt plane sau spațiale.

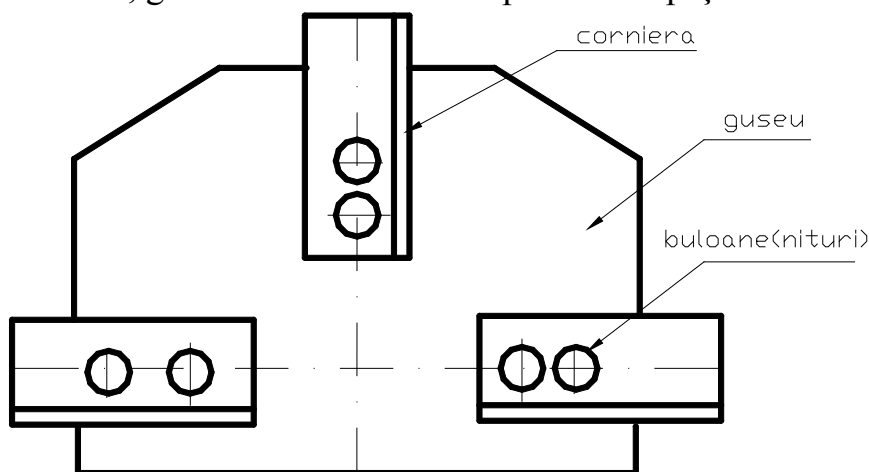


Figura 134

Calculul grinzilor spațiale este mai complicat , de aceea se impune reducerea acestora la grinzi plane, barele care formează conturul grinzii poartă denumirea de tălpi, partea de deasupra reazemelor se

numește talpa superioară (S), iar partea de dedesubtul reazemelor se numește talpa inferioară (I) . Barele ce leagă tălpile și le mențin la distanță fixă se numesc zăbrele , zăbrelele montate cu o înclinare

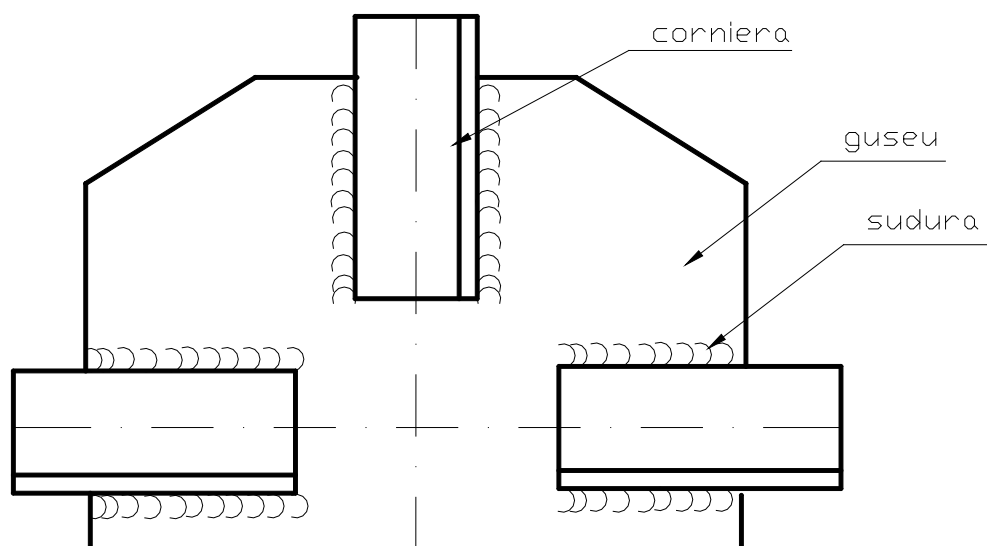


Figura 135

oarecare se numesc diagonale (D) , iar cele ce au o direcție verticală poartă denumirea de montanți (M) .

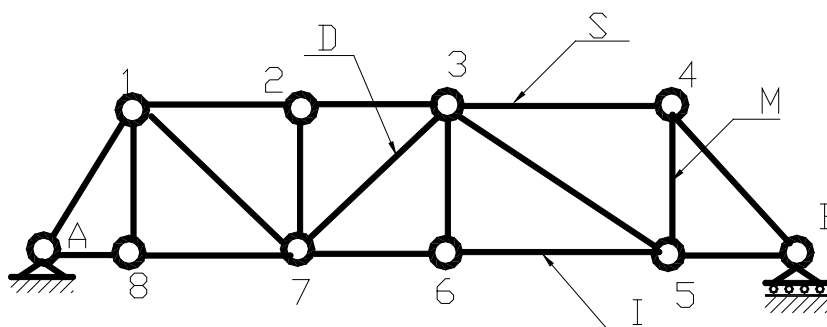


Figura 136

- Ținând seama de forma conturului , grinzile cu zăbrele se împart în :
- a) grinzi cu tălpi paralele (fig: 136)
 - b) grinzi cu tălpi curbe (fig: 137)

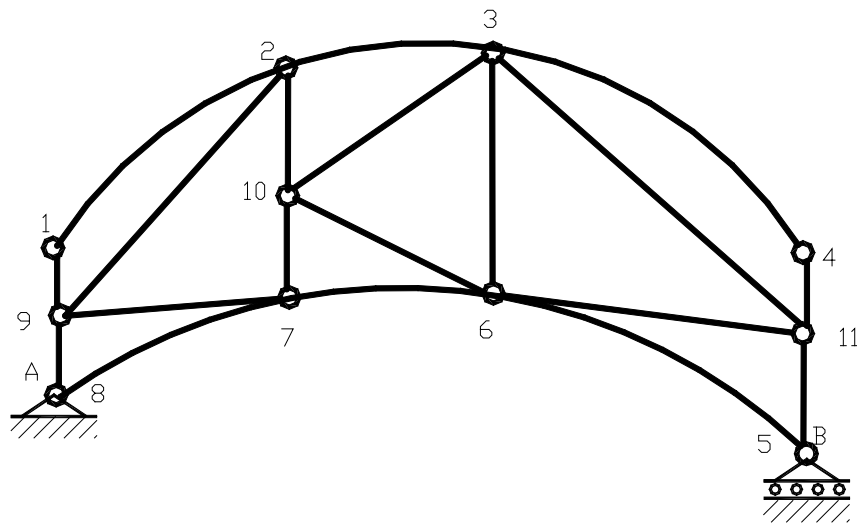
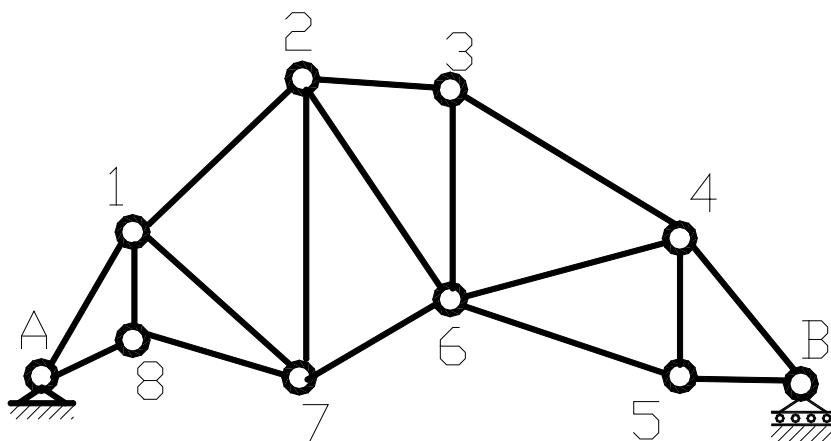


Figura 137

c) grinzi cu tălpi poligonale

**Figura 138**

d) grinzi dreptunghiulare când au montanți și diagonale (fig:139)

e) grinzi triunghiulare când au numai diagonale

f) grinzi cu diagonale în (K) .

În cazul grinzilor cu zăbrele , solicitarea de bază a barelor o constituie solicitarea la tracțiune sau la compresiune.

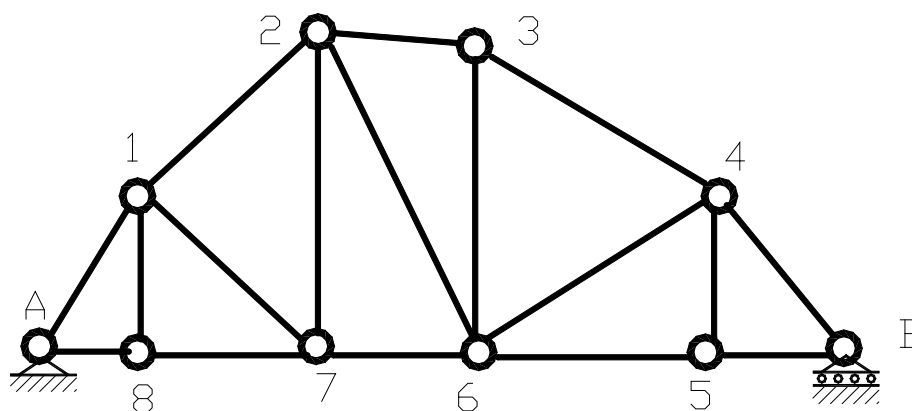


Figura 139

9.1.1. Calculul grinzilor cu zăbrele

În ipoteza simplificatoare a articulațiilor perfecte între barele rigide ale unei grinzi cu zăbrele este necesar ca poziția unui nod în raport cu celelalte să fie invariabilă și în același timp grinda cu zăbrele trebuie fixată în planul său , prin legarea cu mediul exterior. Deasemeni în calculul grinzilor cu zăbrele vom admite că :

- a) sistemele sunt plane
- b) nodurile sunt articulații perfecte
- c) forțele exterioare (sarcinile) sunt conținute în planul grinzii și sunt transmise sistemului numai prin noduri.
- d) greutatea proprie a barelor este neglijabilă în raport cu mărimea sarcinilor aplicate.

Construcția cea mai simplă geometric invariabilă , formată din bare articulate, este triunghiul care are trei noduri și trei bare un al patrulea nod se poate fixa de două noduri prin două bare articulate și operația se poate continua pentru oricâte noduri. . Pentru a calcula eforturile din zăbrele utilizăm metoda secțiunilor , în această metodă se află inclusă metoda izolării nodurilor (care poate fi analitică sau grafică) .

Existând o grindă cu zăbrele în plan cu (n) noduri , se pot scrie numai $(2n)$ ecuații de proiecții de forțe pe două direcții normale între ele , deoarece direcțiile eforturilor din zăbrele se intersectează în nod și în acest caz , ecuația de momente este dependentă de primele două. Grinda având un număr de (b) bare , deci trebuie să determinăm (b) eforturi necunoscute, apoi grinda cu zăbrele se reazemă pe un reazem simplu și unul articulat, rezultă că noi avem de determinat încă trei necunoscute. Deci numărul de necunoscute pentru o grindă fiind $(b+3)$ și avem următoarele cazuri:

- a) $2n > b+3$ grinda suferă o modificare a formei inițiale , adică este un mecanism , acest aspect nu îl studiază rezistența materialelor.
- b) $2n < b+3$ grinda fiind static nedeterminată , pentru acest lucru se numește grindă cu zăbrele cu bare suplimentare.
- c) $2n = b + 3$ grinda este static determinată .

Există sisteme care îndeplinesc condiția $2n = b+3$, dar sunt mecanisme , își modifică forma inițială , pentru ca patrulaterul [3-4-5-6] să nu își modifice forma sa inițială trebuie ca diagonala [2-6] sau [3-5] să fie mutate între nodurile [4-6].

Pentru a putea calcula eforturile din barele unei grinzi cu zăbrele static determinată , trebuie ca pe lângă condiția $2n = b + 3$, să satisfacă și condiția de nemodificare a formei .

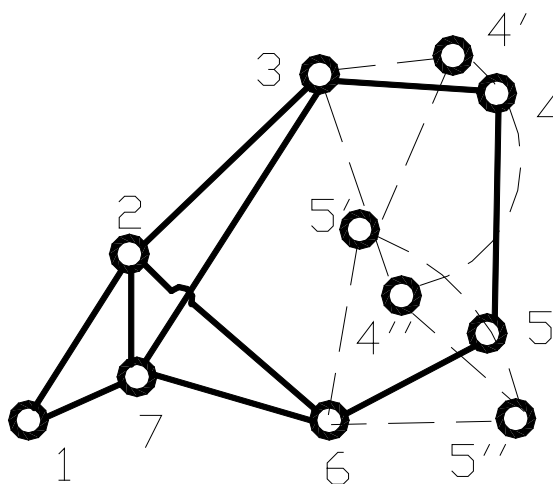


Figura 140

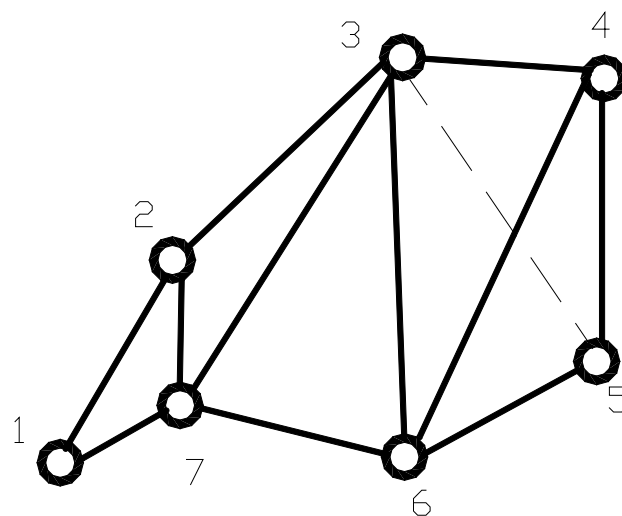


Figura 141

9.2. Calculul eforturilor

9.2.1. Metoda izolării nodurilor – metoda analitică

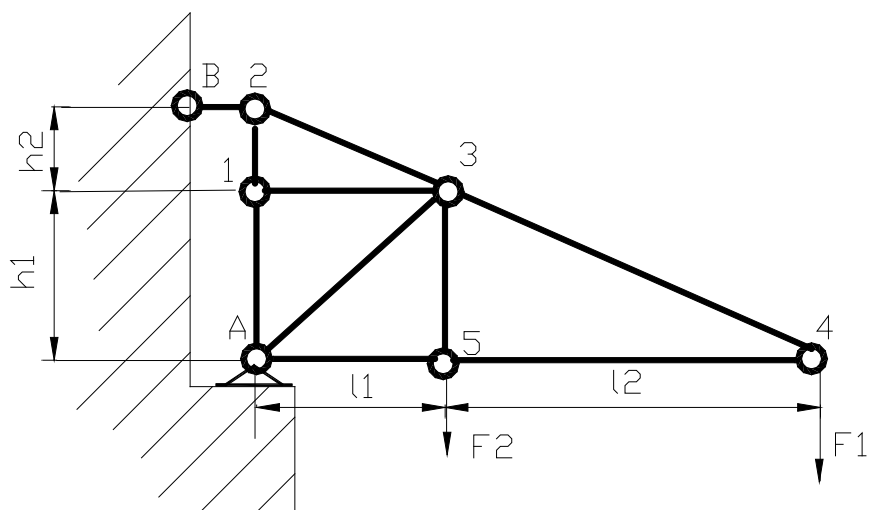


Figura 142

Într-un nod barele sunt concurente și din condiția de echilibru pentru bare vom obține:

$$\begin{cases} \sum F_x = 0 \\ \sum F_y = 0 \end{cases}; \text{ Notă: Ecuția de momente } \sum M_{iz} = 0; \text{ este o}$$

combinație liniară de

$$\begin{cases} \sum F_x = 0 \\ \sum F_y = 0 \end{cases}, \text{ nu este o ecuație liniară independentă.}$$

Având două ecuații trebuie să pornim dintr-un nod ce are cel mult două necunoscute.

Problema nr.1

Să se calculeze eforturile din barele grinzii cu zăbrele din figură și să se dimensioneze știind că sunt de secțiune circulară, se dau :

$$\sigma_a = 104 \frac{N}{mm^2}; l = 0,28m; F = 2kN.$$

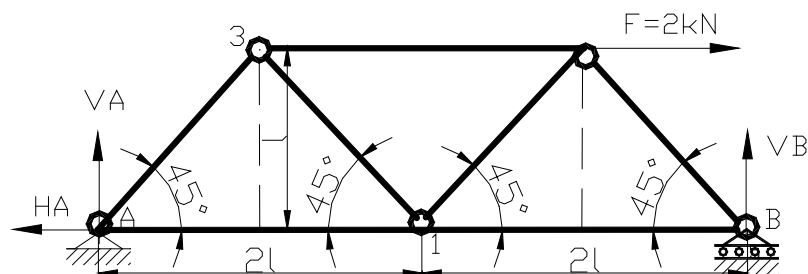


Figura 143

Se calculează forțele de reacțiune V_A , H_A și V_B din condițiile de echilibru :

$\sum F_x = 0; H_A - F = 0; H_A = F$; $\sum F_y = 0; V_A + V_B = 0$, fiind ecuația de verificare, se află forțele de reacțiune V_A , și V_B din condiția de echilibru $\sum M_{iz} = 0$.

$$\sum M_{iz}(A) = 0; F \cdot l - V_B \cdot 4l = 0; V_B = \frac{F}{4};$$

$$\sum M_{iz}(B) = 0; F \cdot l + V_A \cdot 4l = 0; V_A = -\frac{F}{4};$$

$\sum F_y = 0; V_A + V_B = 0; -F/4 + F/4 = 0$ ecuația de verificare este îndeplinită implică calculul corect al forțelor de reacțiune. Deoarece V_A a dat cu semnul minus, îi schimbăm sensul.

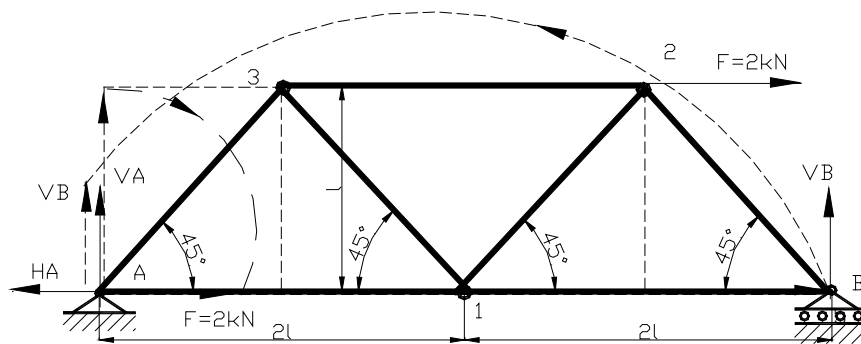


Figura 144

Nu trebuie pornit de la nodurile (3, 2, 1) pentru că avem mai multe necunoscute de determinat (mai multe decât două) și nu le putem determina, se începe din nodurile (A) sau (B) unde există numai două necunoscute și se pot calcula .

Se pornește din nodul (A) :

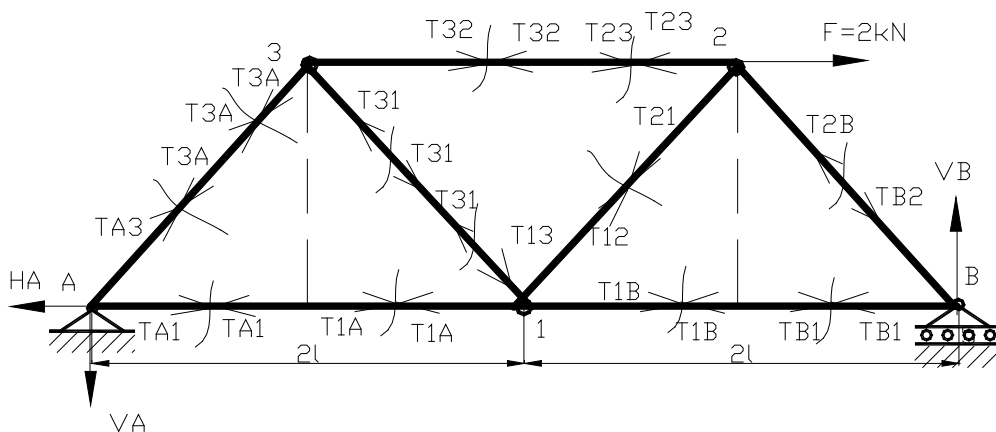


Figura 145

Aflăm eforturile T_{A1} , T_{A3} din $\begin{cases} \sum F_x = 0 \\ \sum F_y = 0 \end{cases}$,

$$\sum F_x = 0; H_A - T_{A3} \cdot \cos 45^\circ - T_{A1} = 0;$$

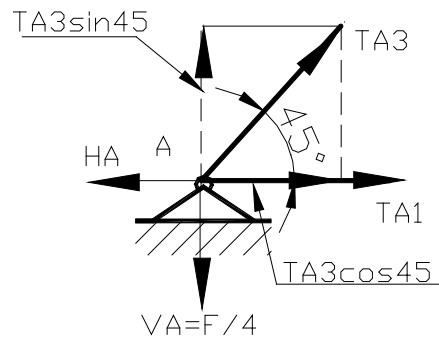


Figura 146

$$\sum F_y = 0; V_A - T_{A3} \cdot \sin 45^\circ = 0; T_{A3} = \frac{F}{4 \cdot \sin 45^\circ} = \frac{F \cdot \sqrt{2}}{4}; \text{ și din}$$

$$H_A - T_{A3} \cdot \cos 45^\circ - T_{A1} = 0; T_{A1} = \frac{3F}{4}; \text{ acum se trece la nodul (3) .}$$

Nodul (3)

$$\sum F_x = 0; T_{32} + T_{31} \cdot \cos 45^\circ - T_{3A} \sin 45^\circ = 0; T_{32} + T_{31} \cdot \cos 45^\circ = \frac{F}{4}$$

;

$$\sum F_y = 0; T_{31} \cdot \sin 45^\circ + T_{3A} \cos 45^\circ = 0; T_{31} = -\frac{F \sqrt{2}}{4}; T_{32} = \frac{F}{2};$$

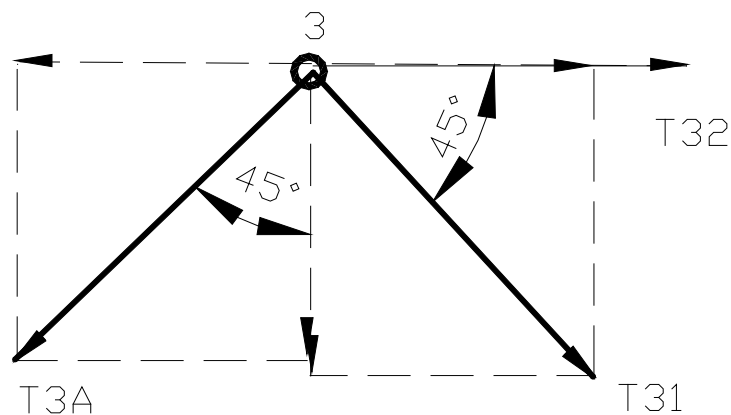


Figura 147

Notă:

$T_{31} = -\frac{F\sqrt{2}}{4}$; prima dată s-a ales un sens arbitrar, dacă din calcul dă plus rezultă că sensul este cel inițial, dacă dă minus îi schimbăm sensul .

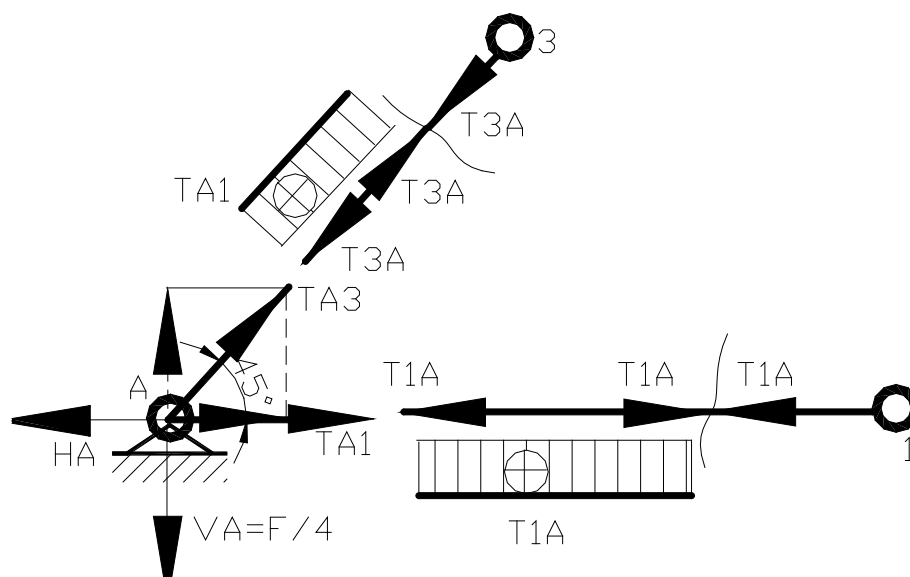
Având toate eforturile din noduri calculate, trebuie să punem și eforturile care acționează în bare, ca regulă se spune că dacă efortul iese din nod , în bară avem efort de întindere și dacă intră în nod avem efort de compresiune (în bara 3-1 din figura 149) , T_{31} intră în nodul (3) , iar în bară există efort de compresiune.

Condițiile de echilibru pentru nodul (1) sunt:

$$\sum F_x = 0; \frac{3F}{4} - T_{13} \cdot \cos 45^\circ - T_{12} \cos 45^\circ - T_{1B} = 0$$

$$\sum F_y = 0; T_{13} \cdot \sin 45^\circ - T_{12} \sin 45^\circ = 0; T_{13} = T_{12}; T_{12} = \frac{F\sqrt{2}}{4} ;$$

$$T_{1B} = \frac{F}{4} ;$$


Figura 148

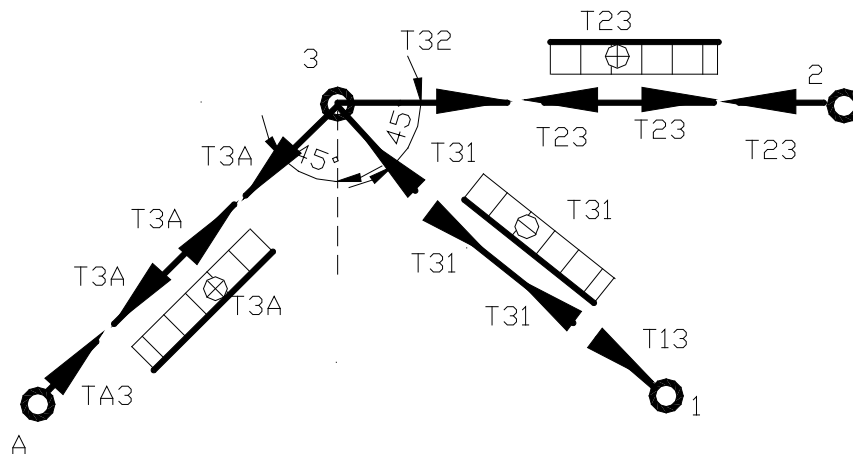


Figura 149

Nodul din punctul (B)

$\sum F_x = 0; T_{B1} + T_{B2} \cos 45^\circ = 0; T_{B2} = -\frac{T_{B1}}{\cos 45^\circ} = -\frac{F\sqrt{2}}{4}$; a dat cu
semnul minus trebuie să-i sensul. Pentru a două ecuație de echilibru ,
 $\sum F_y = 0$, nu este nimic de calculat , ci se verifică :

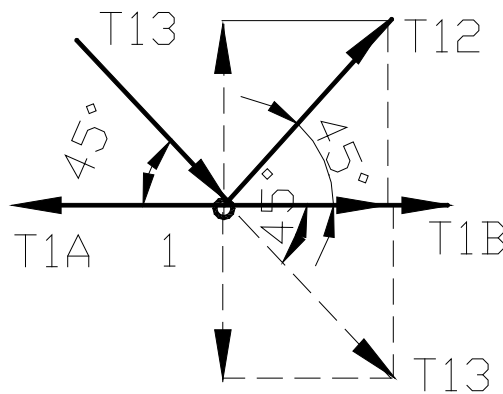


Figura 150

$V_B + T_{B2} \sin 45^\circ = 0; -\frac{F\sqrt{2}}{4} \cdot \frac{\sqrt{2}}{2} + \frac{F}{4} = 0; 0 = 0$; se verifică , implică
calculul corect al eforturilor din bare. A rămas nodul (2) , dar acest

nod este de verificare, pentru că nu mai este nimic de calculat, în bara (2-B) există efort de compresiune:

$$T_{2B} = \frac{F\sqrt{2}}{4}; T_{23} = \frac{F}{2}; T_{21} = \frac{F\sqrt{2}}{4};$$

$$\sum F_x = 0; T_{23} + T_{2B} \cos 45^\circ - F + T_{21} \cos 45^\circ = 0; 0 = 0$$

$$\sum F_y = 0; T_{21} \sin 45^\circ - T_{2B} \sin 45^\circ = 0; T_{2B} = T_{21}; \frac{F\sqrt{2}}{4} = \frac{F\sqrt{2}}{4}; 0 = 0;$$

barele se pot dimensiona, verifica în mod obișnuit .

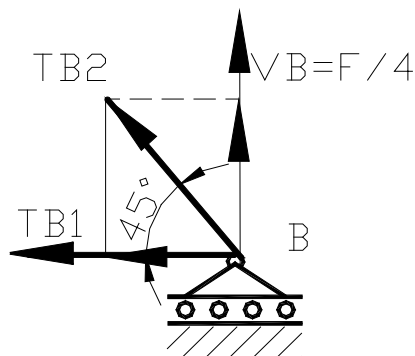


Figura 151

$$T_{A1} = 3F/4 \text{ este maxim. } d = \sqrt{\frac{4 \cdot N_{\max}}{\pi \cdot \sigma_a}} = \sqrt{\frac{4 \cdot 0,75 \cdot 2 \cdot 10^3 \text{ N}}{\pi \cdot 104 \frac{\text{N}}{\text{mm}^2}}} = 4,21 \text{ mm} ; \text{ se}$$

adoptă $d = 5 \text{ mm}$.

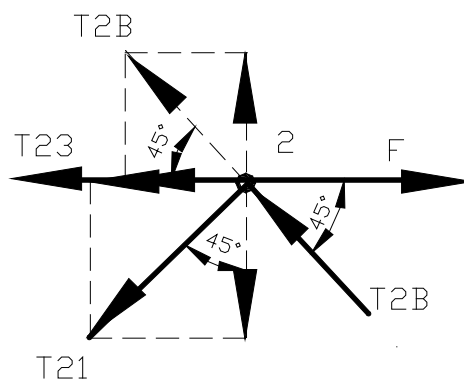


Figura 152

9.2.2. Metoda izolării nodurilor –metoda grafică

Un nod este în echilibru când poligonul tuturor forțelor care acționează în nod este închis, această metodă se aseamănă cu metoda izolării nodurilor –calculul analitic, pentru că se pot determina maxim două necunoscute într-un nod. Eforturile necunoscute au numai direcția determinată, fiind dată de direcția barelor în care acționează, mai rămâne să se afle mărimea și sensul lor, sensul se ia arbitrar, dacă din calcul rezultă pozitiv, implică sensul inițial, dacă dă cu minus îi schimbăm sensul. Determinarea reacțiunilor se obține din închiderea poligonului forțelor și a poligonului funicular sau direct din condițiile de echilibru ale barei.

Problema nr.2

Să se afle eforturile din barele grinzii cu zăbrele încărcată ca în figura 153 :

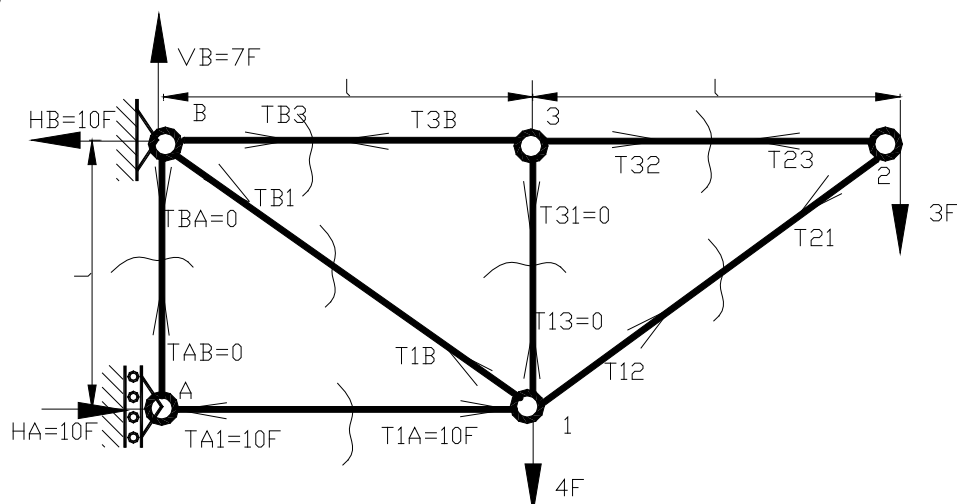


Figura 153

Din $\sum F_x = 0; H_A - H_B = 0$; ecuația de verificare;

$$\sum F_y = 0; V_B = 7F;$$

$$\sum M_{iz}(A) = 0; 3F * 2l + 4Fl - H_B * l = 0; H_B = 10F;$$

$$\sum M_{iz}(B) = 0; 3F * 2l + 4Fl - H_A * l = 0; H_A = 10F; H_A - H_B = 0;$$

$$10F - 10F = 0;$$

Nodul din punctul (A)



Figura 154

Direcția efortului din bara (A -1) se știe că este paralelă cu (A-1) , la fel direcția efortului din bara (A-B) este paralelă cu (A-B) .

Trebuie să se închidă poligonul , $T_{AB} = 0$ din nodul (A) .

Se trece în nodul (B) , în nodul (1) nu se poate trece pentru că avem de determinat trei eforturi (T_{1B} ; T_{13} și T_{12}) , într-un nod se pot determina maxim două necunoscute.

Nodul din punctul (B)

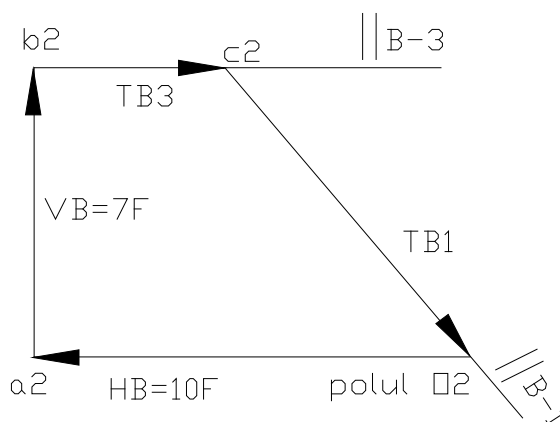


Figura 155

Se alege un pol (O_2) la întâmplare , se duce $H_B = 10 F$ și avem $\vec{H}_B = \vec{O}_2 a_2 = 10 \vec{F}$, din a_2 se duce $a_2 b_2 = \vec{V}_B = 7 \vec{F}$; punctul b_2 este determinat, din b_2 se duce o paralelă cu bara (B-3) , din polul (O_2) cunoscut se duce o paralelă cu (B-1) și aceste două drepte se intersectează în punctul (c_2) , s-au determinat eforturile care acționează în nodul (B) .

Poligonul forțelor s-a închis , pentru că forțele care acționează într-un nod trebuie să fie în echilibru, să fie parcurs într-un singur sens , lucrând la o anumită scară se iau din desen mărimea eforturilor determinate ($b_2 c_2 = \vec{T}_{B3}$; $c_2 O_2 = \vec{T}_{B1}$)

Nodul din punctul (3)

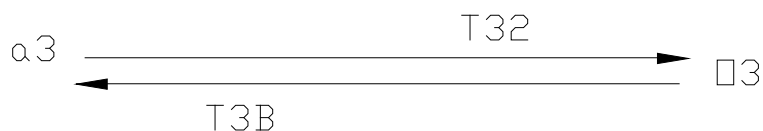


Figura 156

$(a_3 \vec{O}_3 = \vec{T}_{32}; \vec{O}_3 a_3 = \vec{T}_{3B})$; în bara verticală efortul este zero , pentru a se închide poligonul avem : $\vec{T}_{3B} + \vec{T}_{32} = \vec{0}; \vec{T}_{32} = -\vec{T}_{3B}$;

Nodul din punctul (1)

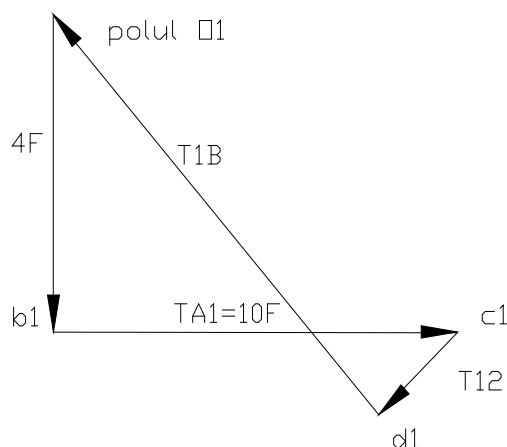


Figura 157

Se alege un pol oarecare (O_1), din acest pol s-a dus $\vec{O}_1 b_1 = 4\vec{F}; \vec{b}_1 c_1 = 10\vec{F}$, din punctul(c_1) s-a dus o paralelă cu bara (1-2) , apoi din punctul O_1 se duce o paralelă cu bara (1-B) din intersecția lor rezultă punctul (d_1), de unde $\vec{T}_{1B} = \vec{O}_1 d_1; \vec{T}_{12} = \vec{c}_1 d_1$;

Nodul din punctul (2)

Nodul acesta este de verificare, dacă se închide poligonul forțelor care acționează în el, rezultă calculul corect al eforturilor din bare, dacă nu se închide atunci se greșește pe undeva la calculul grafic.

Metoda izolării nodurilor –calculul grafic este o metodă relativ greoaie, pentru că trebuie să luăm fiecare nod în parte, la fiecare nod îi

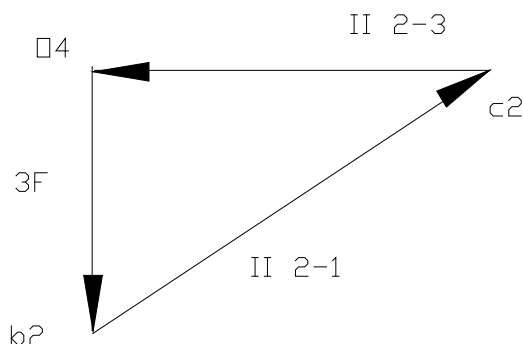


Figura 158

construim un poligon al forțelor și o forță intră de câte două ori, implică prezența unei forțe în două poligoane .

Pentru a înlătura acest inconvenient se ajunge la o metodă numită epura Cremona, pentru construirea epurei Cremona se procedează în două feluri și anume: prin notarea barelor și notarea spațiilor.

9.2.3. Construcția epurei Cremona prin notarea barelor

În poligonul forțelor nu trebuie să utilizăm săgeți pentru sensul eforturilor , se pun săgețile în figura grinzii cu zăbrele , deasemenea se alege un sens de parcurs al grinzii cu zăbrele.

Problema nr.3

Să se afle eforturile din barele grinzii cu zăbrele, aflată în figura 159.

Aflăm forțele de reacțiune: V_A , V_B , H_A din condițiile de echilibru ale grinzii:

$\sum F_x = 0; H_A - F = 0; H_A = F; \sum F_y = 0; V_A + V_B = 3F$, ecuația de verificare.

$\sum M_{iz}(B) = 0; (V_A - 3F)l + F * 2l = 0; V_A = F;$

$\sum M_{iz}(A) = 0; F * 2l - V_B * l = 0; V_B = 2F;$

$V_A + V_B = 3F; F + 2F = 3F; 0 = 0$;

este îndeplinită ecuația de verificare , deci sau calculat corect forțele de reacțiune V_A , V_B .

La început se construiește poligonul forțelor exterioare (active și de reacțiune) abordându-le tot cu același sens , noi am ales sensul acelor

de ceasornic, pe acest schelet se construiesc poligoane care o să genereze o figură generalizatoare.

Sunt în total (9) bare numerotate de la 1-9 , alegem unsens arbitrar de parcurs al tuturor nodurilor , în cazul acesta s-a ales sensul acelor de ceasornic .

Se începe din nodul (G) unde sunt numai două eforturi necunoscute și anume eforturile din barele (8) , (9) , luăm un pol oarecare pentru a construi poligonul forțelor. In nodul (G) prima forță cunoscută este ($3F$) , apoi se trece la efortul din bara (8) urmează efortul din bara (9) .

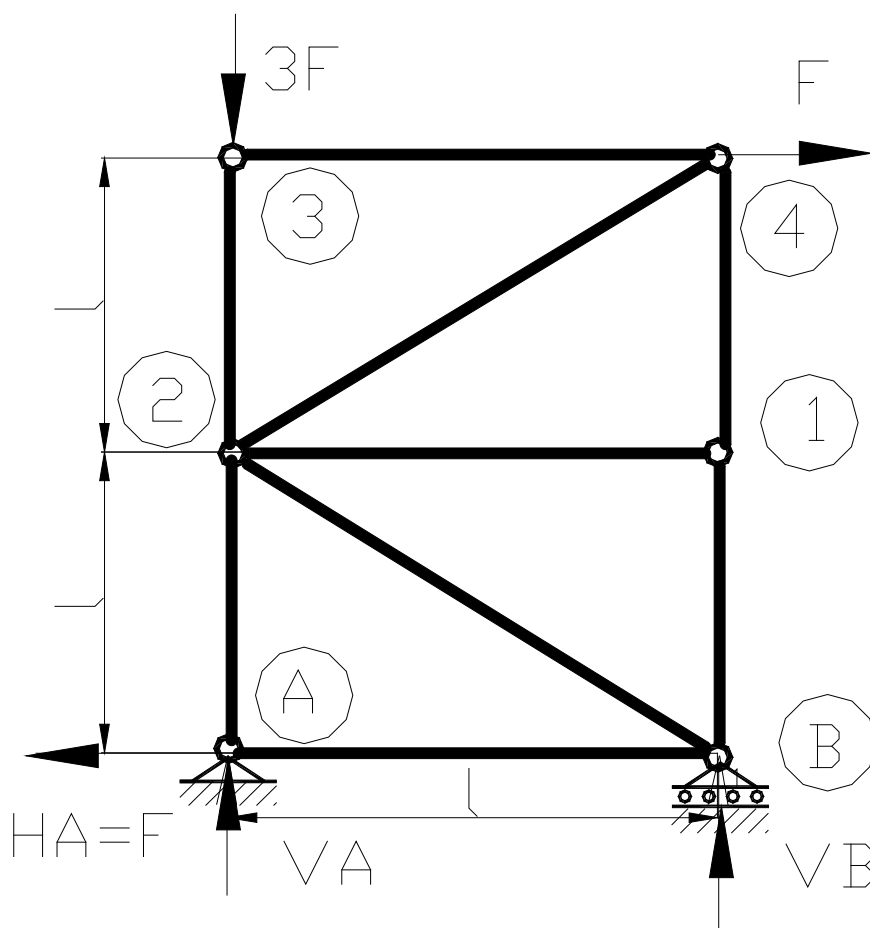


Figura 159

Trecem la nodul (E) și din aproape în aproape se determină toate eforturile din bare, în această metodă nu se mai face câte un poligon al

forțelor pentru fiecare nod în parte,ci o figură generalizatoare care cuprinde toate poligoanele de forțe ale tuturor nodurilor. Eforturile din figura generalizatoare s-au notat cu numerele barelor pentru a fi mai ușor de urmărit și de scos mărimea fiecărui efort din desen , deci în mod indirect trebuie să se lucreze la o anumită scară. S-au pus numai sensurile forțelor exterioare (active sau de reacțiune) , restul sensurilor se văd din desenul grinzii cu zăbrele.

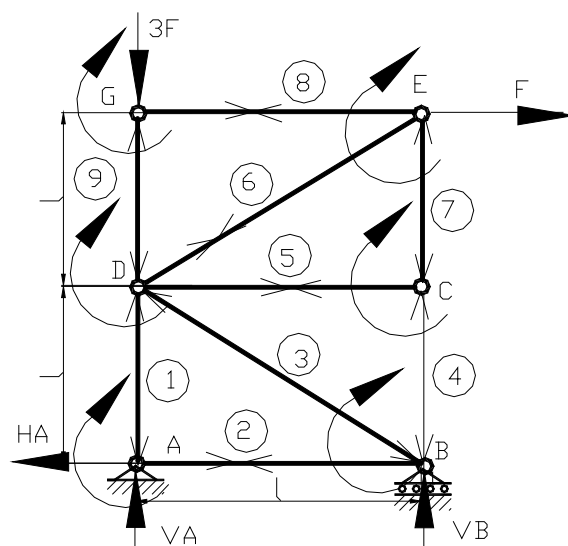


Figura 160

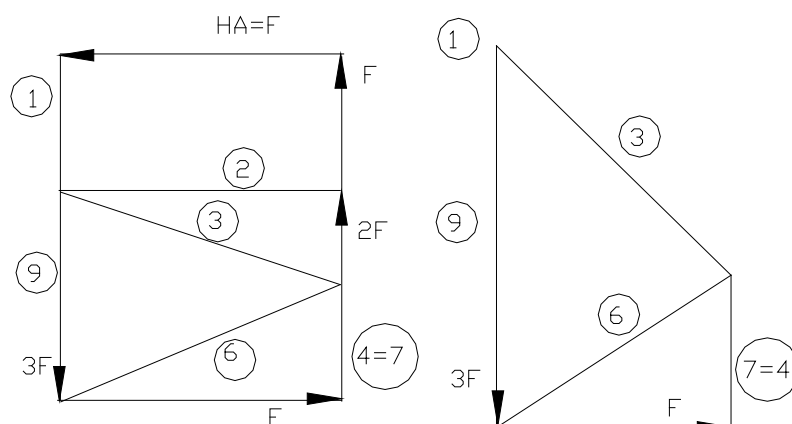


Figura 161

Figura 162

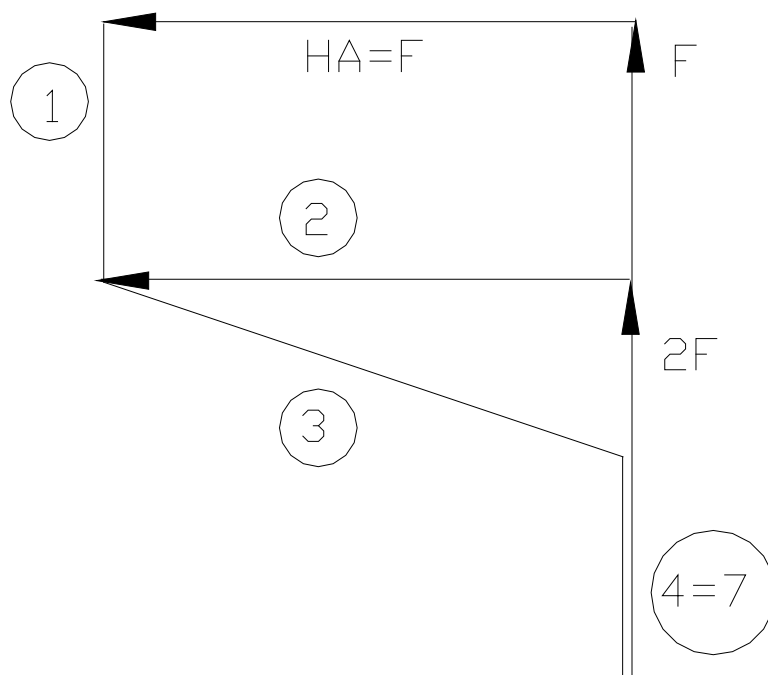


Figura 163

9.2.4. Construcția epurei Cremona prin notarea regiunilor

Această metodă construiește o figură generalizatoare cuprinzând poligoanele de forțe ale tuturor nodurilor, un efort al unei bare se determină cu ajutorul unor câmpuri, câmpurile se notează cu litere ca în figură, se pornește dintr-un nod, alegându-se un sens de parcurgere al nodurilor care rămâne neschimbat în timpul rezolvării problemei. În această problemă s-a ales sensul acelor de ceasornic, forța $\vec{H}_B = e\vec{d}$ se află la intersecția câmpurilor (e) și (d), forța $\vec{V}_A = 3\vec{F} = d\vec{g}$ se află la intersecția câmpurilor (d) și (g) în mod analog forța $3\vec{F} = f\vec{e}$ se află la intersecția câmpurilor (f) și (e). Rezultă că eforturile din bare se scriu ca intersecție de două câmpuri, se pornește dintr-un nod care are cel mult două necunoscute, pentru că în cazul când va exista mai mult de două necunoscute nu se pot calcula, deci va rezulta un sistem incompatibil. Sensurile se trec pe figura grinzii

9.2.5. Metoda analitică a secțiunilor- Metoda Ritter

Metoda izolării nodurilor cât și metoda Cremona prezintă un dezavantaj mare atunci când pe noi ne interesează numai eforturile din anumite bare nu din toate barele. În cazul când ne interesează efortul numai dintr-o bară se secționează grinda cu zăbrele printr-o secțiune ce taie bara care ne interesează. Grinda cu zăbrele se desface în două părți, aceste părți trebuie să fie în echilibru, punând în secțiunile respective eforturile interioare care trebuiesc determinate. Traseul de secționare poate cuprinde 2,3 sau mai multe bare, în cazul când sunt mai mult de trei bare secționate, trebuiesc ca celelalte bare să se intersecteze și să scrie o ecuație de moment $\sum M_{iz} = 0$ față de punctul de intersecție al barelor și în felul acesta se determină efortul unitar interior necunoscut.

Problema nr .5

Să se determine efortul T 10-11 pentru grinda cu zăbrele din figura 166 :

$$\begin{aligned} \sum F_x &= 0 ; H_1 - 2F = 0 ; H_1 = 2F ; \sum F_y = 0 ; \\ V_1 + V_5 &= F - 9F + 5F = 0 ; V_1 + V_5 = 5F \text{ ecuația de verificare.} \\ \sum M_{iz}(1) &= 0 ; -2F \cdot 2l + 9F \cdot 3l - (V_5 + 5F) \cdot 7l = 0 ; \\ -4F + 27F - 7V_5 - 35F &= 0 ; 7V_5 = -12F ; V_5 = -\frac{12}{7}F ; \\ \sum M_{iz}(5) &= 0 ; (V_1 - F)7l - 2F \cdot 2l - 9F \cdot 4l = 0 ; \sum M_{iz}(5) = 0 ; \\ (V_1 - F)7l - 2F \cdot 2l - 9F \cdot 4l &= 0 ; 7V_1 - 7F - 4F - 36F = 0 ; \\ V_1 &= \frac{47}{7}F ; V_1 + V_5 = \frac{47}{7}F - \frac{12}{7}F = \frac{47F - 12F}{7} = \frac{35F}{7} = 5F \text{ este} \\ \text{îndeplinită ecuația de verificare , s-au calculat corect forțele de} \\ \text{reacțiune. Deoarece } V_5 &= -\frac{12}{7}F \text{ trebuie să-i schimbăm sensul.} \end{aligned}$$

Când am secționat , am luat sensul eforturilor din bară la întâmplare ; dacă din calcul dă cu plus , rezultă că am sensul ales inițial, dacă dă cu minus , îi schimbăm sensul. Pentru a afla efortul din bara 11 – 10,

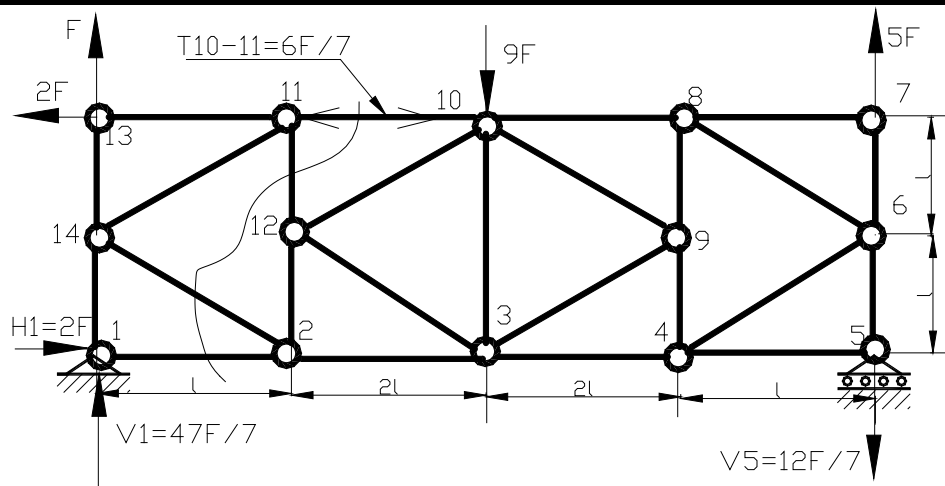


Figura 166

adică T_{11-10} , se scrie $\sum M_{iz}(2) = 0$. În nodul 2, toate eforturile necunoscute T_{2-1} , T_{2-14} , T_{2-12}

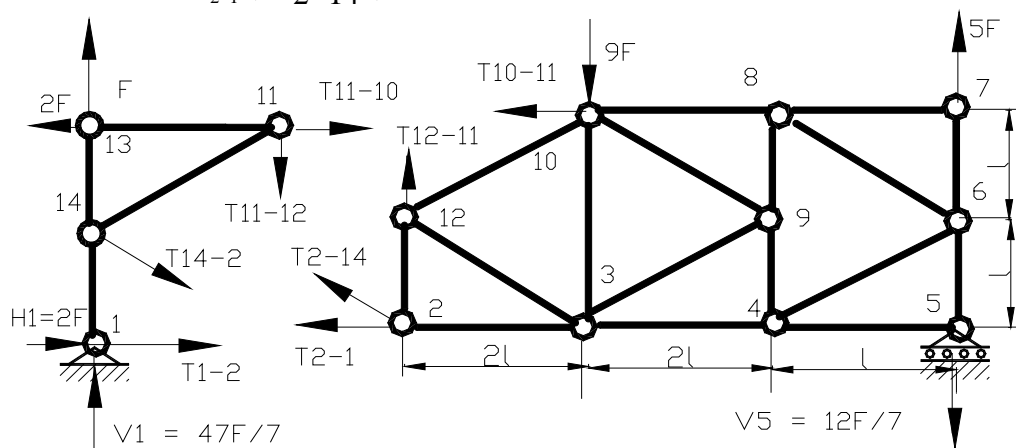


Figura 167

și T_{23} se intersectează. Noi luăm partea dreaptă și scriem

$$\sum M_{iz}(2) = 0 \quad ; \quad -T_{10-11} 2l + 9F \cdot 2l - \left(5F - \frac{12F}{7} \right) 6l = 0 \quad ;$$

$$18F - \left(\frac{35-12}{7}\right)6F = 2T_{10-11} \quad ; \quad F \left[18 - \frac{138}{7}\right] = T_{10-11} \quad ;$$

$$-F \frac{12}{7} = 2T_{10-11} \quad ; T_{10-11} = -\frac{6}{7}F \quad ; \text{îi schimbăm sensul , va intra în nodul 10.}$$

Problema nr.6

Să se determine eforturile din barele 6 – 4, 5 – 4 , pentru grinda cu zăbrele din figur169 .

Rezolvare: $\sum F_x = 0 \quad ; \quad H_2 = 3F \quad ; \quad V_1 + V_2 = F$ ecuația de verificare.

$$\sum M_{iz}(1) = 0 \quad ; \quad 3F \cdot 6l - (V_2 - F)2,5l = 0 \quad ;$$

$$18F - 2,5V_2 + 2,5F = 0 \quad ; \quad V_2 = \frac{20,5F}{2,5} = 8,2F \quad . \sum M_{iz}(2) = 0 \quad ;$$

$$V_1 \cdot 2,5l + 3F \cdot 6l = 0 \quad ; \quad .$$

$$V_1 = -\frac{18}{2,5}F = -7,2F \quad . \text{Se ia partea de deasupra și se scrie :}$$

$$\sum M_{iz}(5) = 0 \quad ; \quad 3Fl - T_{6-4} \cdot 2,5l = 0 \quad ; \quad T_{6-4} = \frac{3F}{2,5} \quad ; \quad T_{6-4} = 1,2F \quad ;$$

$$\text{Atenție , pentru a afla pe } T_{5-4}, \quad \text{tg} \alpha = \frac{2,5}{3} = 0,833$$

$\alpha = 39,794298^\circ$; se face pentru partea de sus $\sum F_{x_{sus}} = 0$. Nu se face $\sum F_{y_{sus}} = 0$

pentru că avem și celelalte necunoscute , fiind eforturile din barele 5 – 3 și 6 – 4. Deci $\sum F_{x_{sus}} = 0 \quad ; \quad 3F - T_{5-4} \sin \alpha = 0 \quad ;$

$$T_{5-4} = \frac{3F}{\sin \alpha} \quad ; \quad \sin 39,794298^\circ = 0,640033 \quad ;$$

$$T_{5-4} = \frac{3F}{0,640033} = 4,687258 \cdot F \quad ;$$

$T_{5-4} = 4,687258F$ fiind efortul căutat.

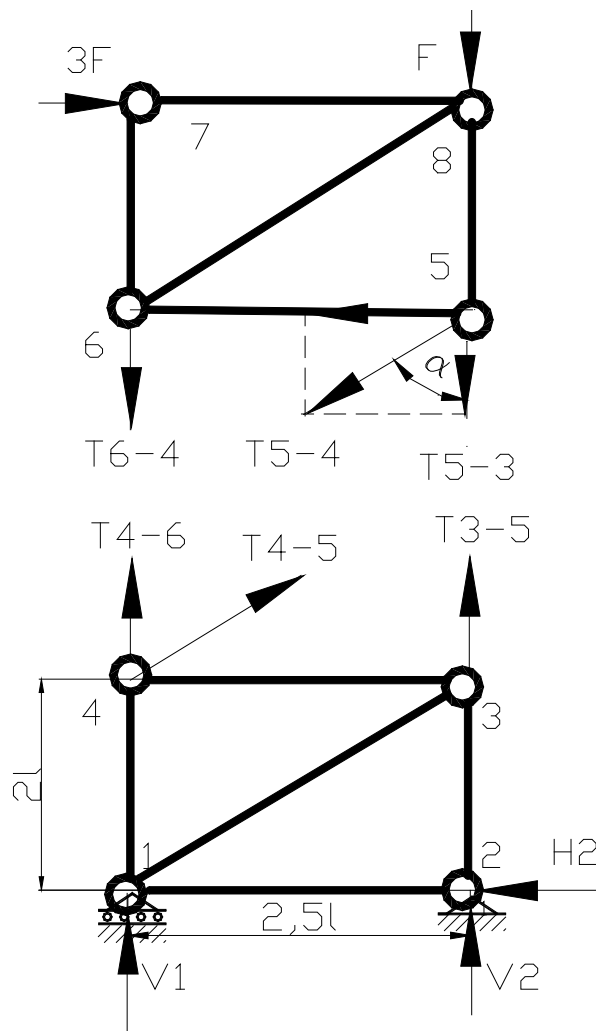


Figura 168

Notă :

La această problemă s-a folosit și condiția de echilibru $\sum M_{iz} = 0$. Când se secționează grinda cu zăbrele în două părți , trebuie să fie în

echilibru. Condițiile de echilibru sunt :

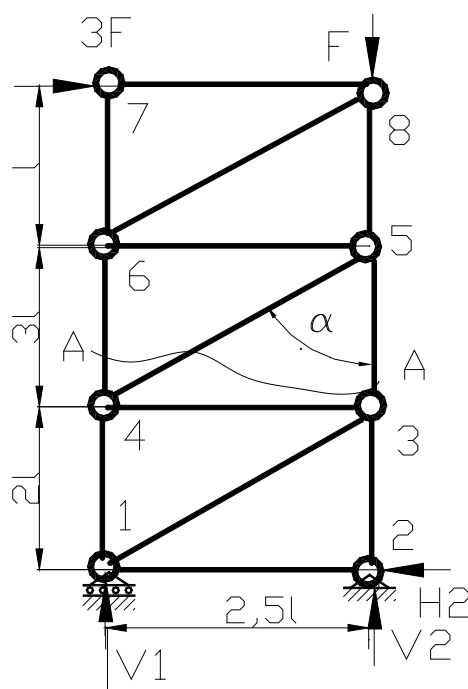
$$\begin{cases} \sum F_x = 0 \\ \sum F_y = 0 \\ \sum M_{iz} = 0 \end{cases} ;$$


Figura 169

9.3. Deformația grinzilor cu zăbrele

În barele grinzilor cu zăbrele iau naștere numai eforturi axiale. Eforturile axiale de întindere sau compresiune, acționând asupra barelor , le modifică lungimea (se lungesc sau se scurtează), deformându-se elastic. Datorită variației lungimii barelor au loc deplasări ale nodurilor , care provoacă și rotirea barelor. , în general , se calculează deplasările nodurilor – săgeata grinzii într-un anumit

punct. Săgeata o putem afla cu ajutorul teoremei lui

$$\text{Castigliano. } dp = \sum_{i=1}^n \int_{(li)} \frac{N_i \cdot \frac{\partial N_i}{\partial F_p}}{A_i \cdot E_i} dl_i ;$$

dp ; săgeata în nodul p , unde ne propunem s-o calculăm;

N_i ; efortul dintr-o bară oarecare i ;

$\frac{\partial N_i}{\partial F_p}$; derivata parțială a expresiei efortului din bara i , în raport

cu forța ce acționează în nodul p ;

A_i = aria secțiunii transversale a barei i ;

E_i = modul de elasticitate longitudinală a materialului din bara i ;

l_i lungimea barei i .

Notă : Dacă în nodul p nu există o forță concentrată, atunci se introduce o forță fictivă concentrată

F_{po} și se calculează eforturile din barele grinzii cu zăbrele în

funcție de această forță și sarcinile de pe grindă. Apoi, după ce s-au

efectuat derivatele parțiale $\frac{\partial N_i}{\partial F_{po}}$, se face $F_{po}=0 \text{ kN}$.

Problema nr.7

Să se calculeze deplasarea nodului 5 pe verticală. Toate barele au secțiunea circulară cu : $d = 20 \text{ mm}$. Se dau $F = 2 \text{ kN}$, $E = 2,1 \cdot 10^5 \text{ MPa}$, $l = 0,21 \text{ m}$.

Rezolvare:

$\sum F_x = 0; H_1 + V_3 = 0$; ecuația de verificare .

$\sum F_y = 0; V_1 - F_2 - F_1 = 0; V_1 = F_2 + F_1$, se află H_1 și V_3 din

$\sum M_{iz}(\text{oarecare}) = 0$

$\sum M_{iz}(1) = 0; V_3 \cdot 2l + F_2 \cdot l + F_1 \cdot 2l = 0; 2V_3 = -F_2 - 2F_1;$,

$V_3 = -2 \text{ kN} - F_1$.

Nodul din punctul (1)

$$\sum F_y = 0; T_{64} - 4kN = 0; T_{64} = 4kN;$$

$$\sum F_x = 0; T_{61} - F_1 = 0; T_{61} = F_1.$$

$$\sum F_y = 0; T_{14} * \sin 45^\circ + T_{12} + V_1 = 0; T_{12} = -F_1 - 2kN$$

$$\sum F_x = 0; T_{14} * \cos 45^\circ - T_{16} + H_1 = 0; T_{14} = -2,828kN$$

Nodul din punctul (2)

$$\sum F_y = 0; T_{23} - T_{21} = 0; T_{23} = -F_1 - 2kN; \sum F_x = 0; T_{24} = 0.$$

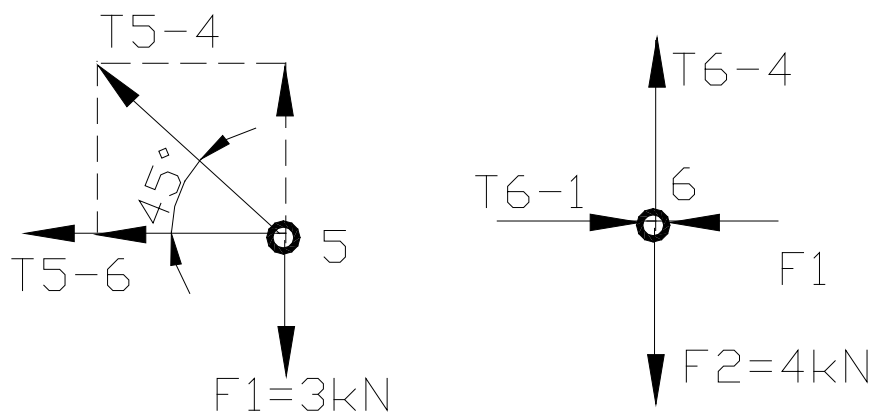


Figura 171

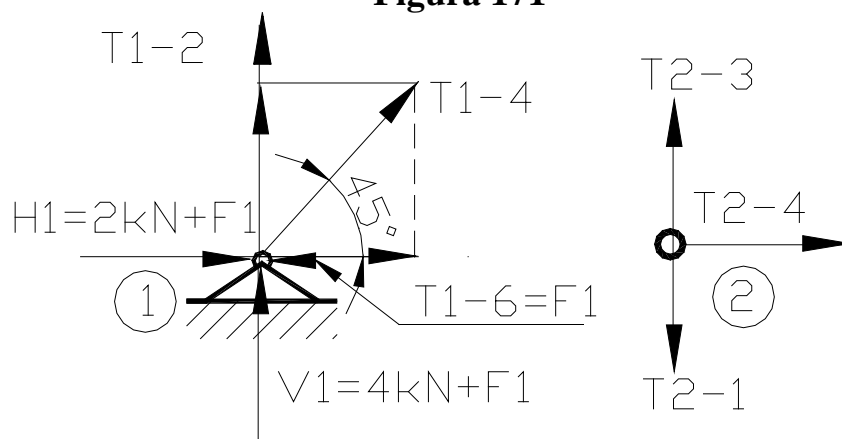


Figura 172

Nodul din punctul (3)

$$\sum F_y = 0; T_{34} * \cos 45^\circ + T_{32} = 0; -F_1 - 2kN + (2,828kN + 1,414F_1) \frac{\sqrt{2}}{2} = 0;$$

$$0=0; \quad \sum F_x = 0; T_{34} * \sin 45^\circ + V_3 = 0; T_{34} = 2,828kN + 1,414F_1$$

Nodul din punctul (4)

$$\sum F_y = 0; T_{43} * \sin 45^\circ + T_{41} \sin 45^\circ - T_{45} \cos 45^\circ - T_{46} = 0; 0 = 0$$

verifică

$\sum F_x = 0; -T_{43} * \cos 45^\circ + T_{41} \cos 45^\circ + T_{45} \sin 45^\circ = 0; 0 = 0$; verifică ,
 în nodul se verifică dacă s-a făcut calculul corect . Dacă a dat efortul
 din bară a rezultat cu minus (-) și nu s-a schimbat sensul (nu este
 obligatorie schimbarea de sens) , se lasă sensul inițial ales dar trebuie

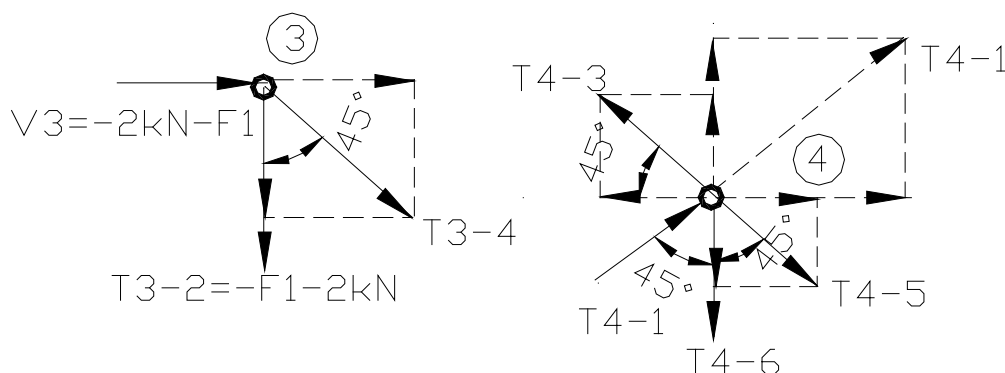


Figura 173

să se țină cont că mărimea efortului este negativ , în această problemă
 nu s-a schimbat sensul pentru că valoarea lui (F_1) poate fi oarecare .
 Este indicat să se facă tabelul , pentru a se nu se omite ceva în

aplicarea teoremei lui Castigliano. $d_5 = \frac{\partial L}{\partial F_1} = \sum \int \frac{N(s)}{E_i A_i} \frac{\partial N(s)}{\partial F_1} ds_i$,

deplasarea nodului (5) pe verticală . $d_5 = \int_0^l \frac{F_1}{E_1 A_1} (1) ds_1 +$

$$\int_0^l \frac{F_1}{E_2 A_2} (1) ds_2 + \int_0^{l\sqrt{2}} \frac{1,414F_1}{E_3 A_3} (1,414) ds_3 + \int_0^l \frac{4kN}{E_4 A_4} (0) ds_4$$

$$\begin{aligned}
 & + \int_0^{l\sqrt{2}} \frac{2,828kN}{E_5 A_5} (0) ds_5 + \int_0^l \frac{0kN}{E_6 A_6} (0) ds_6 + \\
 & \int_0^{l\sqrt{2}} \frac{2,828kN + 1,414F_1}{E_7 A_7} (1,414) ds_7 + \int_0^l \frac{(-F_1 - 2kN)}{E_8 A_8} (-1) ds_8 + \\
 & \int_0^l \frac{(-F_1 - 2kN)}{E_9 A_9} (-1) ds_9; \quad E_1 A_1 = E_2 A_2 = E_3 A_3 = E_4 A_4 = E_5 A_5 = E_6 A_6 \\
 & = E_7 A_7 = E_8 A_8 = E_9 A_9 = EA, \text{ în acest caz particular.}
 \end{aligned}$$

Bara	Efortul din bare N(s)	$\frac{\partial N(s)}{\partial F_1}$	s ∈ (...)
1-6	F ₁	1	(0;1)
6-5	F ₁	1	(0;1)
5-4	1,414 kN	0	(0; 1√2)
4-6	4 kN	0	(0; 1)
4-1	2,828 kN	0	(0; 1√2)
2-4	0	0	(0; 1)
3-4	2,828 kN + 1,414 F ₁	1,414	(0; 1√2)
2-3	- F ₁ - 2 kN	-1	(0; 1)
2-1	- F ₁ - 2 kN	-1	(0; 1)

$$\begin{aligned}
 ds = & \frac{F_1 * l}{EA} + \frac{F_1}{EA} * l + \frac{(1,414)^2 F_1}{EA} * l\sqrt{2} + \frac{(2,828kN + 1,414F_1)}{EA} * (1,414) * l\sqrt{2} + \\
 & + \frac{(F_1 + 2kN) * l}{EA} + \frac{(F_1 + 2kN) * l}{EA}. \text{ Acum se înlocuiește } F_1 = 3 \text{ kN, de}
 \end{aligned}$$

unde rezultă :

$$d_5 = v_5 =$$

$$\frac{38,617168kN * l}{EA} = \frac{38,617168 * 10^3 N * 0,21 * 10^3 mm}{\frac{2,1 * 10^5 N}{mm^2} * 314 mm^2} = 0,12298 mm;$$

$$A = \frac{\pi \cdot d^2}{4} = \frac{\pi}{4} (20mm)^2 = 314mm^2 . \text{ Pentru calculul deplasării pe}$$

verticală a unui nod se mai poate aplica și formula :

$$v = \sum N(s) \frac{\frac{\partial N(s)}{\partial F}}{A_i E_i} l_i \text{ fiind prima teorema a lui Castigliano aplicată în}$$

mod indirect.

Capitolul X

Trasarea diagramelor de eforturi pentru barele cotite

10.1. Generalități

Barele cotite sunt formate din mai multe bare drepte sau curbe , legate între ele prin noduri rigide ca în figura 174.

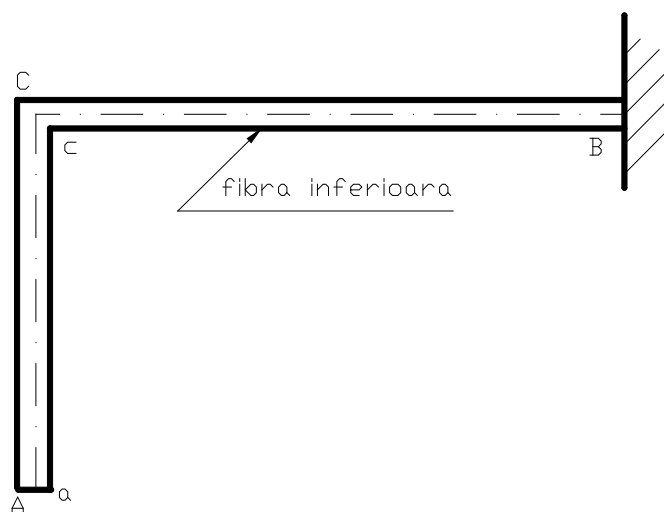


Figura 174

Nodul rigid este nodul ce nu permite rotirea unei bare față de alta .Se consideră moment încovoietor pozitiv când fibra interioară este întinsă și moment încovoietor negativ când fibra interioară este comprimată, convenția de semne pentru forțele tăietoare și forțele axiale și momente este aceeași ca la grinzile drepte. Sistemele static determinate poartă denumirea de grinzi cotite din figura 174, iar cele static nedeterminate se numesc cadre (figura 175) .

Se pune accent pe fibra inferioară , pentru semnele eforturilor interioare pozitive , regula de semne este aceeași de la barele drepte,

numai că aici regula se mi pentru fiecare tronson în parte , apoi reiese întreaga bară cotită sau cadru .

La fel pentru început se studiază numai cele care au planul de acțiune al forțelor planul XOY și momentele încovoietoare exterioare numai după axa OZ (M_{iz}) , în spațiu se va aborda în volumul III.

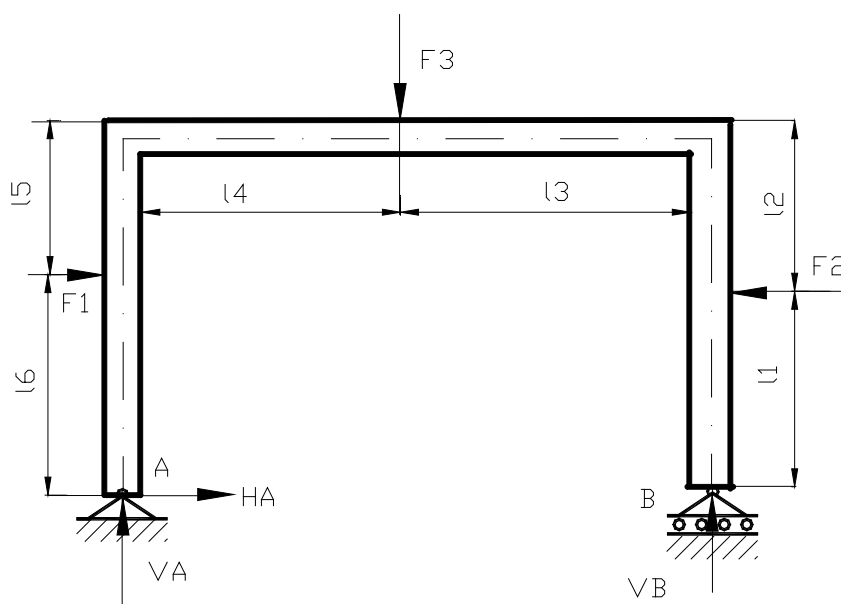


Figura 175

Problema nr.1

Să se traseze diagramele $\vec{N}, \vec{T}, \vec{M}$ pentru grinda cotită din figura 176.

Deoarece forțele exterioare (active și de reacțiune) sunt în planul XOY , ele dau numai momente încovoietoare după axa OZ, adică M_{iz} .

Se află forțele de reacțiune V_A, H_A, V_B din condițiile de

$$\text{echilibru:} \begin{cases} \sum F_x = 0 \\ \sum F_y = 0 \\ \sum M_{iz} = 0 \end{cases}$$

$\sum F_x = 0; H_A + F - 9F = 0; H_A = 8F; \sum F_y = 0; V_A + V_B = 7F$; fiind ecuația de verificare , se află forțele de reacțiune V_A, V_B din

$$\sum M_{iz}(oarecare) = 0;$$

$$\sum M_{iz}(A) = 0; F \cdot 2l + 7F \cdot 2l - 9F \cdot l - V_B \cdot 5l = 0; V_B = \frac{7F}{5};$$

$$\sum M_{iz}(B) = 0; F \cdot 2l - 7F \cdot 3l - 9F \cdot l + V_A \cdot 5l = 0; V_A = \frac{28F}{5};$$

$V_A + V_B = 7F$; **ecuația de verificare,**

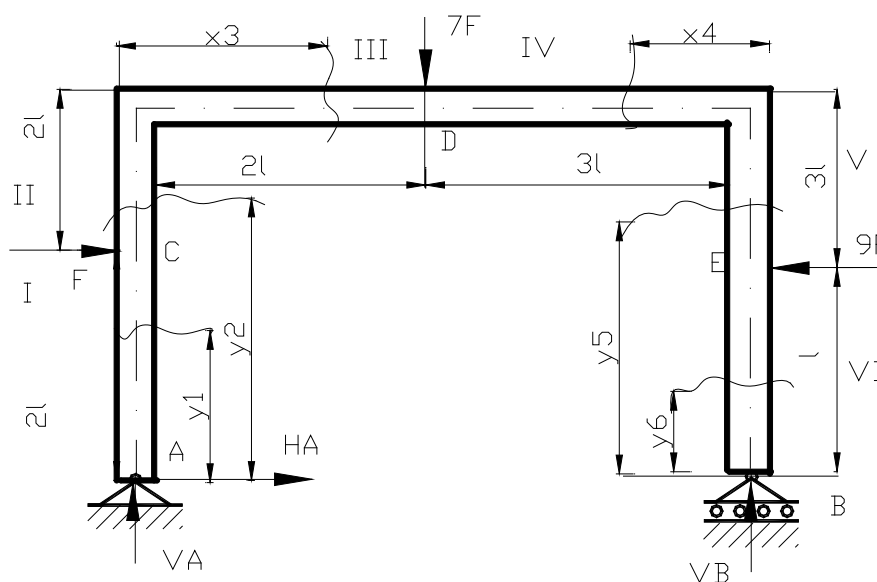


Figura 176

$$\frac{28F}{5} + \frac{7F}{5} = 0; 0 = 0, \text{ este îndeplinită ecuația de verificare, deci s-au}$$

calculat corect forțele de reacțiune V_A și V_B . Forțele concentrate, momentele concentrate, forțele distribuite, momentele distribuite împart grinda cotită în regiuni, atunci când secționăm grinda cotită o desfacem în două părți, iar în secțiunile respective punem eforturile interioare, se scriu condițiile de echilibru, deci se procedează în mod analog ca la barele drepte, originea se ia față de unul din capetele grinzii.

Regiunea întâi

$$y_1 \in (0; 2l); N(y_1) = -\frac{28F}{5}; T(y_1) = -8F; M_{iz}(y_1) = -8F \cdot y_1;$$

$$\text{din figura 179} \cdot \lim_{y_1 \downarrow 0} M_{iz}(y_1) = 0; \lim_{y_1 \uparrow 2l} M_{iz}(y_1) = -16Fl$$

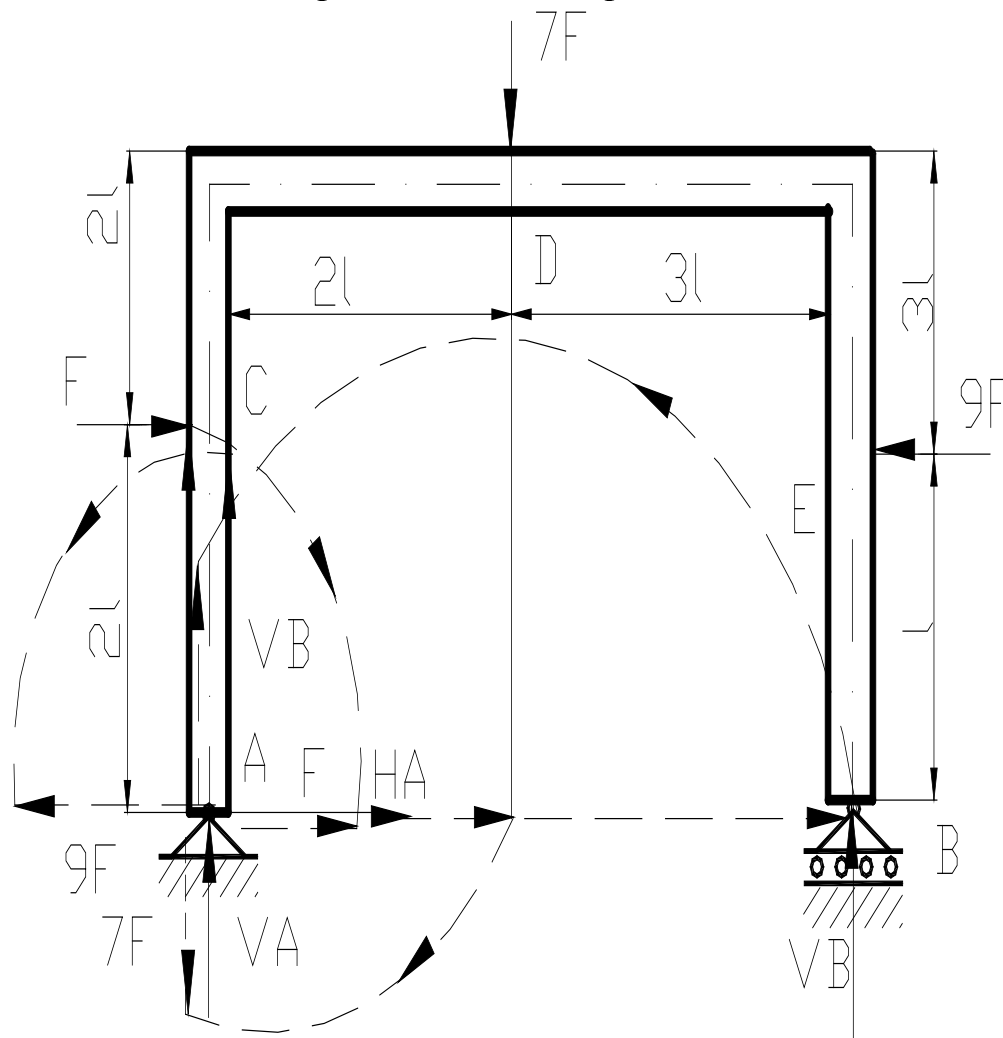


Figura 177

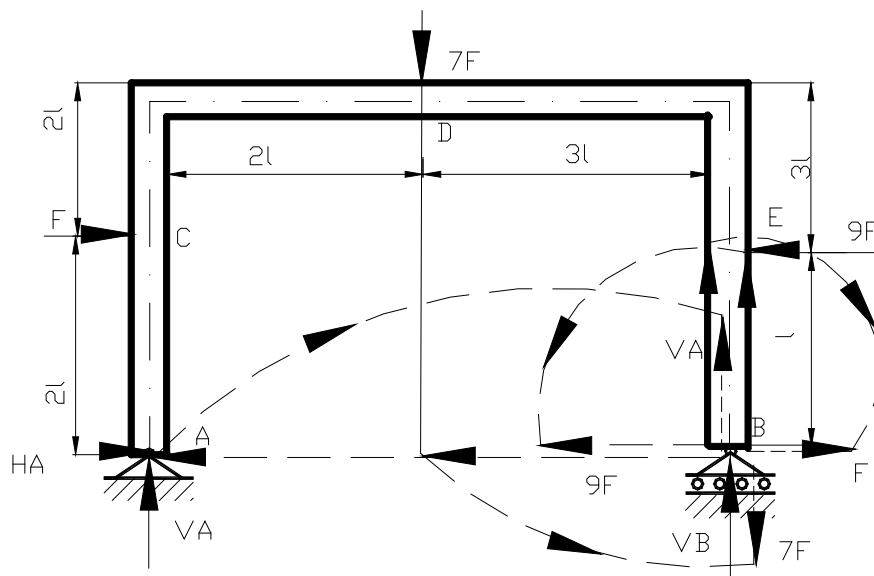


Figura 178

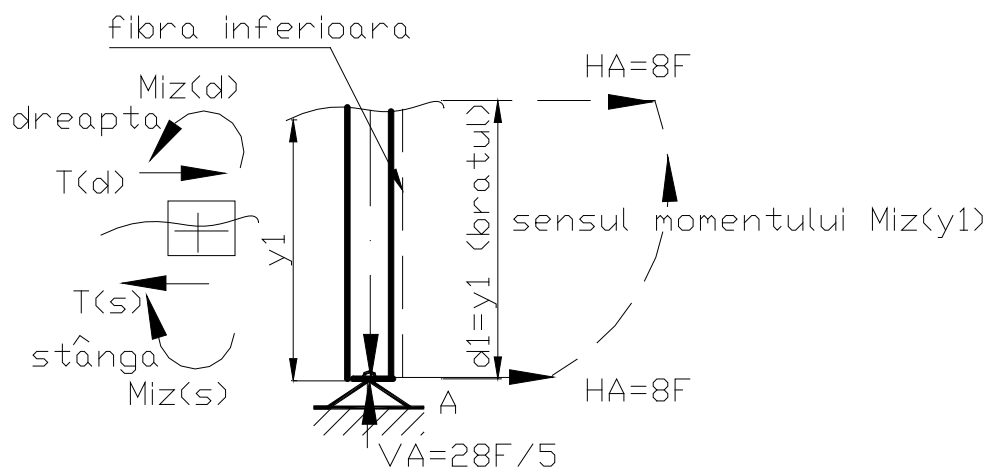


Figura 179

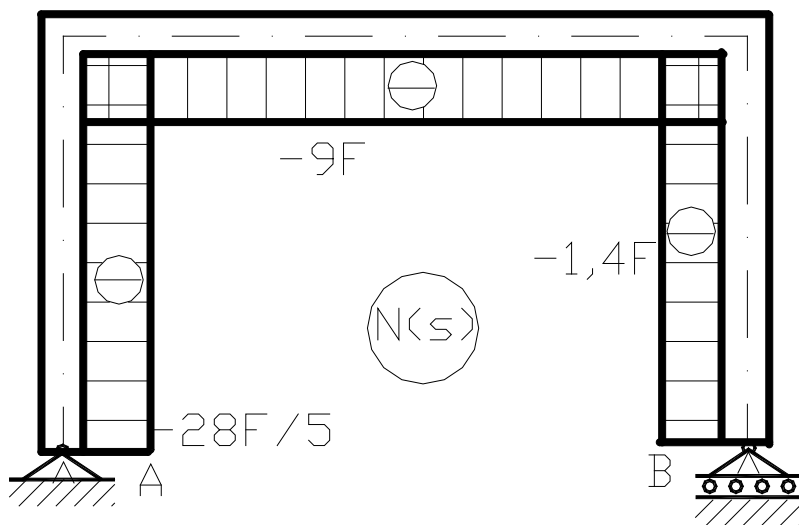


Figura 180

Eforturile sunt perpendiculare pe bară , pentru că se trasează graficul în planul $[N(s) : OX]$, în mod analog se gândește și pentru celelalte eforturi .

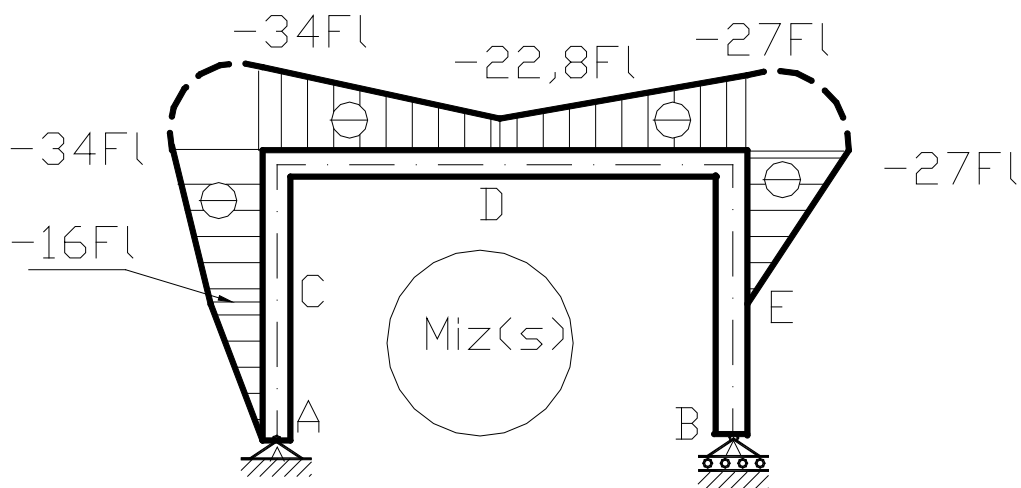


Figura 181

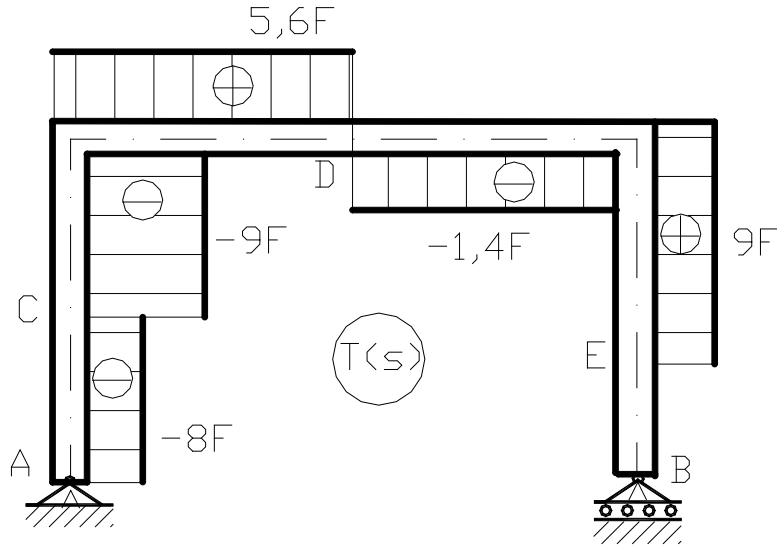


Figura 182
Regiunea a II-a
 $y_2 \in (2l; 4l)$

$$N(y_2) = -\frac{28F}{5}; T(y_2) = -8F - F = -9F; M_{iz}(y_2) = -8F \cdot y_2 - F(y_2 - 2l).$$

$$\lim_{y_2 \downarrow 2l} M_{iz}(y_2) = -16Fl; \lim_{y_2 \uparrow 4l} M_{iz}(y_2) = -8F \cdot 4l - F(4l - 2l) = -34Fl.$$

Regiunea a III-a

$$x_3 \in (0; 2l); N(x_3) = -8F - F = -9F; T(x_3) = 5,6F; M_{iz}(x_3) = 5,6F \cdot x_3 - 8F \cdot 4l - F \cdot 2l; M_{iz}(x_3) = 5,6Fx_3 - 34Fl$$

$$\lim_{x_3 \downarrow 0} M_{iz}(x_3) = -34Fl; \lim_{x_3 \uparrow 2l} M_{iz}(x_3) = 5,6F \cdot 2l - 34Fl = -22,8Fl.$$

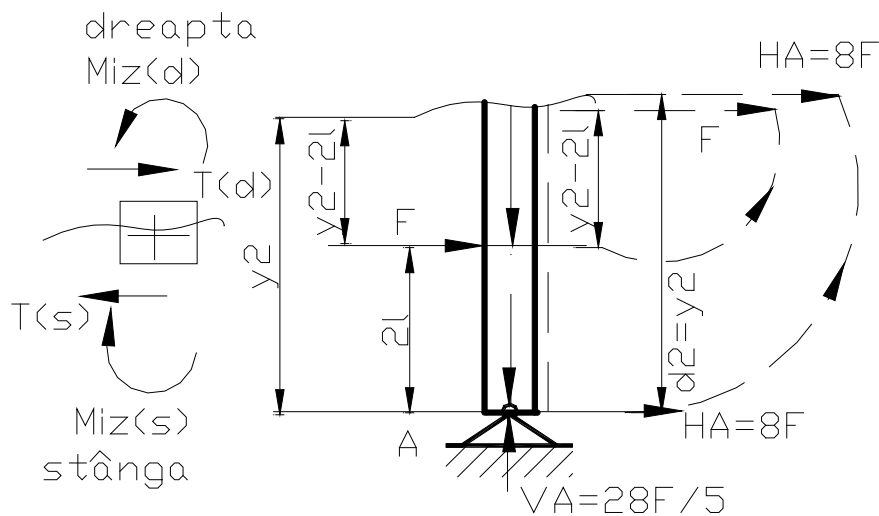


Figura 183

Regiunea a IV-a $x_4 \in (0; 3l)$;

$$N(x_4) = -9F; T(x_4) = -1,4F; M_{iz}(x_4) = 1,4F \cdot x_4 - 9F \cdot 3l; M_{iz}(x_4) = ; \\ = 1,4Fx_4 - 27Fl$$

$$\lim_{x_4 \downarrow 0} M_{iz}(x_4) = -27Fl; \lim_{x_4 \uparrow 2l} M_{iz}(x_4) = 1,4F \cdot 3l - 27Fl = -22,8Fl.$$

Regiunea a V-a

$$y_5 \in (l; 4l); N(y_5) = -1,4F; T(y_5) = 9F; M_{iz}(y_5) = -9F(y_5 - l);$$

$$\lim_{y_5 \downarrow l} M_{iz}(y_5) = 0; \lim_{y_5 \uparrow 4l} M_{iz}(y_5) = -9F(4l - l) = -27Fl.$$

Regiunea a VI-a

$$y_6 \in (0; l); N(y_6) = -\frac{7}{5}F = -1,4F; T(y_6) = 0; M_{iz}(y_6) = 0;$$

În secțiunea în care există forță axială concentrată trebuie ca în

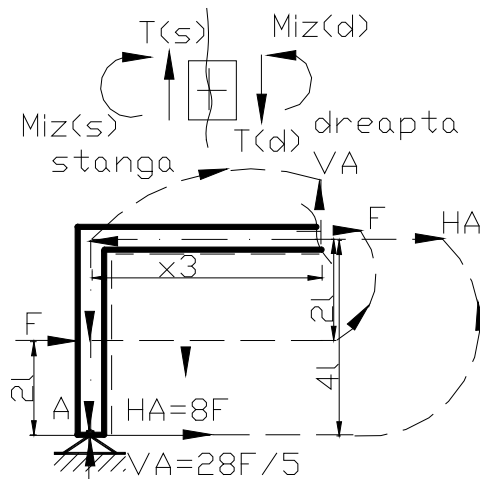


Figura 184

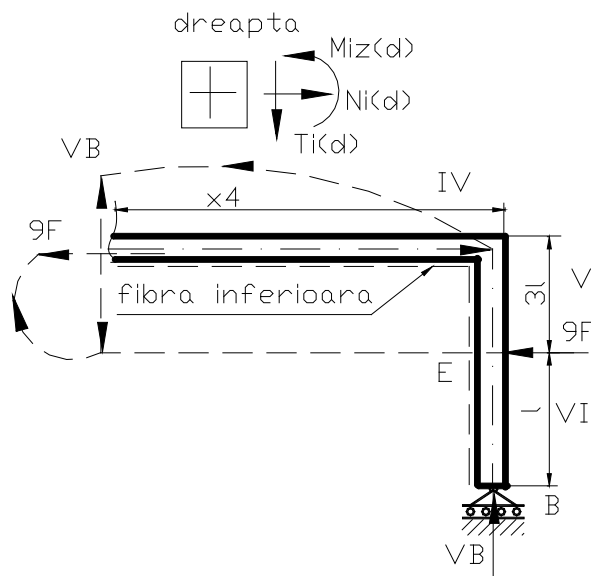


Figura 185

diagrama de forțe axiale să avem un salt în acea secțiune, valoarea absolută a saltului trebuie să fie egală cu valoarea absolută a forței axiale concentrate. În secțiunea din punctul (A) , avem un salt al

$$\text{forței axiale egal cu : } |-V_A| = \left| -\frac{28F}{5} \right| = \frac{28F}{5} = \text{saltul} .$$

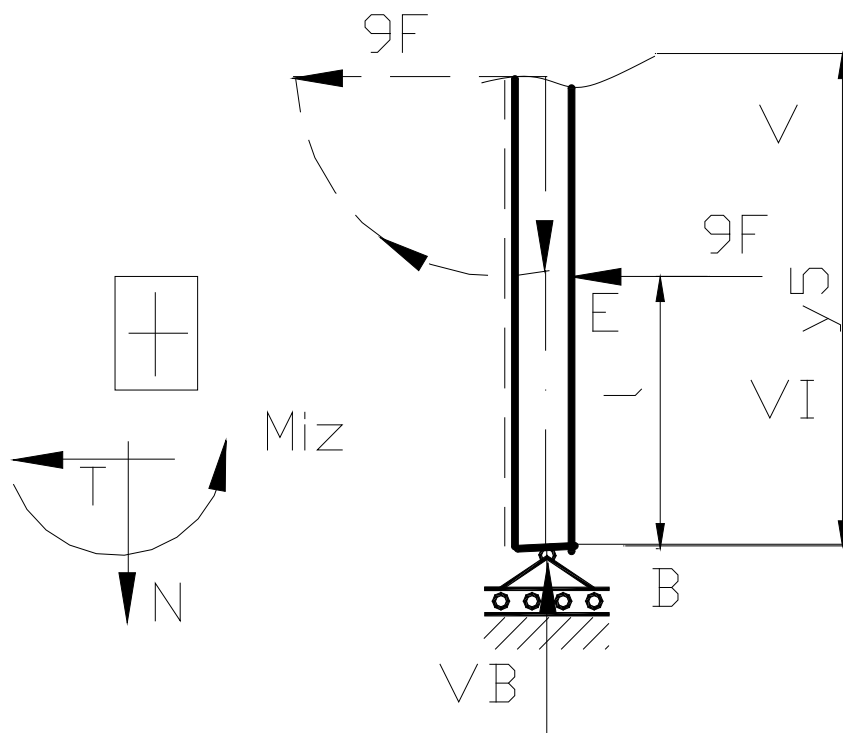


Figura 186

În secțiunea în care există forța tăietoare concentrată trebuie ca în diagrama de forțe tăietoare să avem un salt în acea secțiune, valoarea absolută a saltului trebuie să fie egală cu valoarea absolută a forței tăietoare concentrate. În secțiunea din punctul (A), avem un salt al forței tăietoare egal cu : $|H_A| = 8F$, saltul fiind dat de forța tăietoare concentrată H_A .

-în secțiunea din punctul (C), saltul =
 $|l_s - l_d| = |-8F - (-9F)| = F$; în secțiunea din punctul (D), saltul =
 $|l_s - l_d| = |5,6F - (-1,4F)| = 7F$; în secțiunea din punctul (E), saltul
 $= |l_s - l_d| = |0 - (9F)| = 9F$;

De asemenea se vede că momentul $M_{iz}(s)$, se rabate când trece de la o bară la alta (deci în nod) .

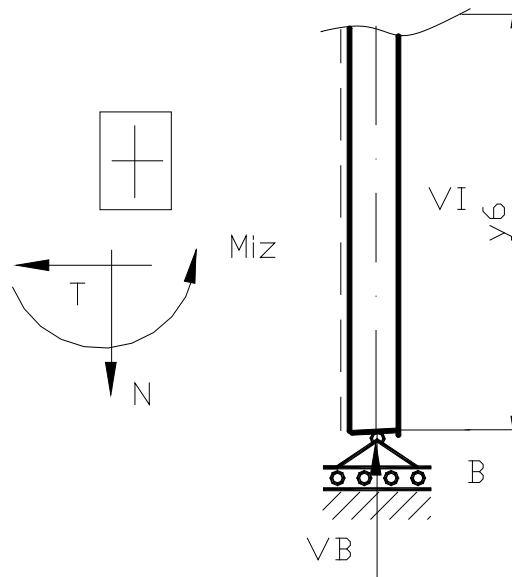


Figura 187

Problema nr.2

Să se traseze diagramele de eforturi pentru grinda cotită din figura 188:

$$\sum F_x = 0; 6ql - H_A = 0; H_A = 6ql; \sum F_y = 0; V_A - 7ql = 0; V_A = 7ql;$$

$$\sum M_{iz}(A) = 0; M_{iz}(A) - 6ql * 3l + 7ql * 2,34l + ql^2 = 0;$$

$$M_{iz}(A) = 0,62ql^2.$$

Regiunea întâi:

$$y_1 \in (0; 6l)$$

$$N(y_1) = -7ql; T(y_1) = -6ql - qy_1; M_{iz}(y_1) = 0,62ql^2 - 6qly_1 + \frac{qy_1^2}{2};$$

$$\lim_{y_1 \downarrow 0} M_{iz}(y_1) = 0,62ql^2; \lim_{y_1 \uparrow 6l} M_{iz}(y_1) = -17,38ql^2$$

$$\lim_{y_1 \downarrow 0} T(y_1) = -6ql; \lim_{y_1 \uparrow 6l} T(y_1) = -6ql - 6ql = -12ql;$$

$$\frac{dM_{iz}(y_1)}{dy_1} = T(y_1) = -6ql + qy_1;$$

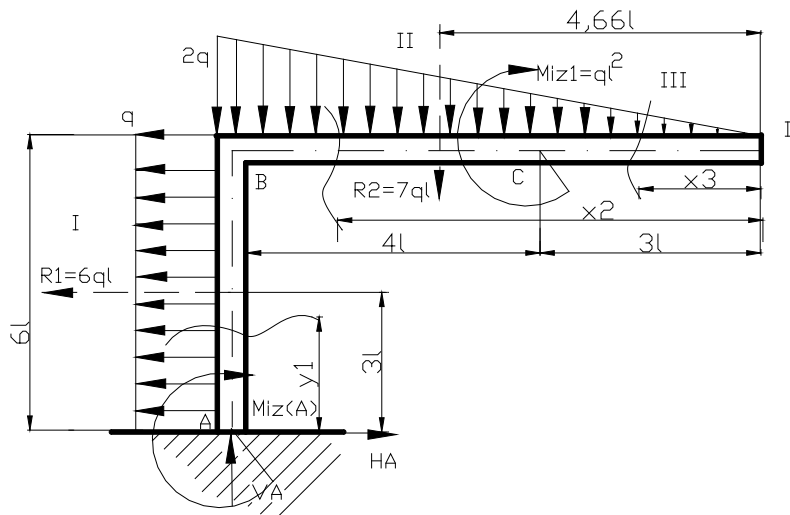


Figura 188

$$\frac{dM_{iz}(y_1)}{dy_1} = -6ql + qy_1 = 0; y_1 = 6l \notin (0; 6l);$$

$$\frac{d^2M_{iz}(y_1)}{dy_1^2} = q > 0; \text{convexă}.$$

Regiunea a III-a

$$x_3 \in (0; 3l);$$

$$\frac{q(x_3)}{2q} = \frac{x_3}{7l}; q(x_3) = \frac{2qx_3}{7l}; R(x_3) = \frac{x_3}{2} * q(x_3) = \frac{qx_3^2}{7l}; T(x_3) = \frac{qx_3^2}{7l};$$

$$\frac{dT(x_3)}{dx_3} = \frac{2qx_3}{7l};$$

$$\frac{d^2T(x_3)}{dx_3^2} = \frac{2q}{7l} > 0;$$

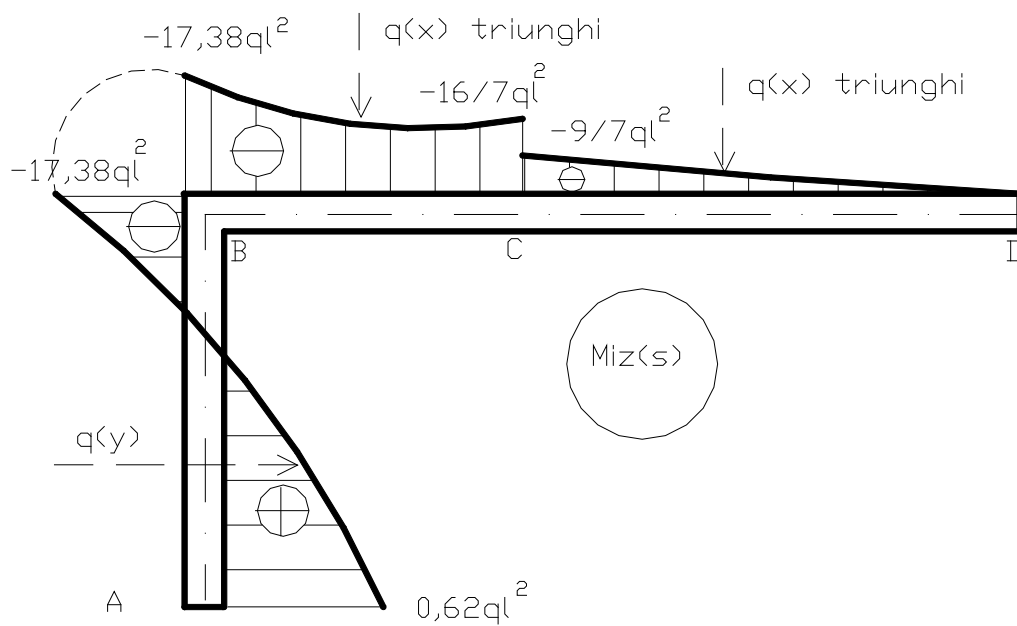


Figura 191

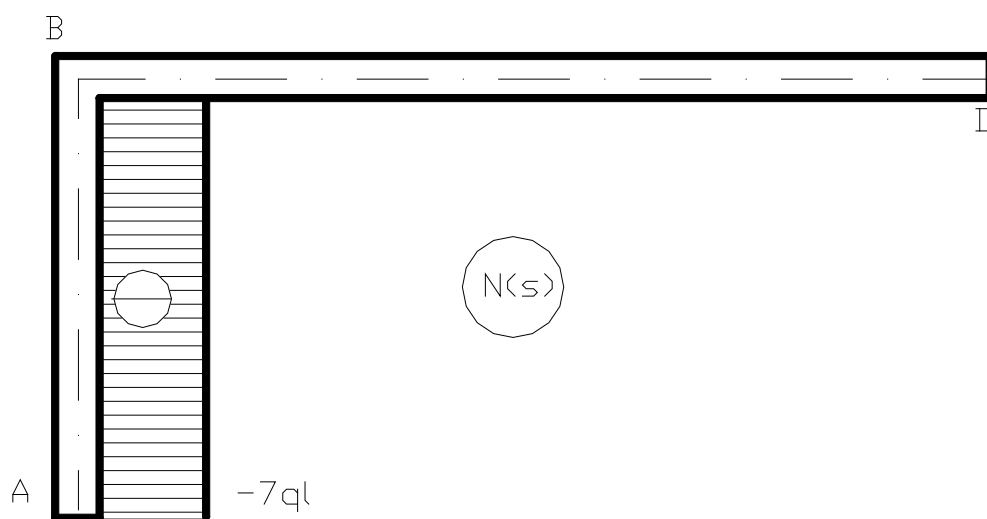


Figura 192

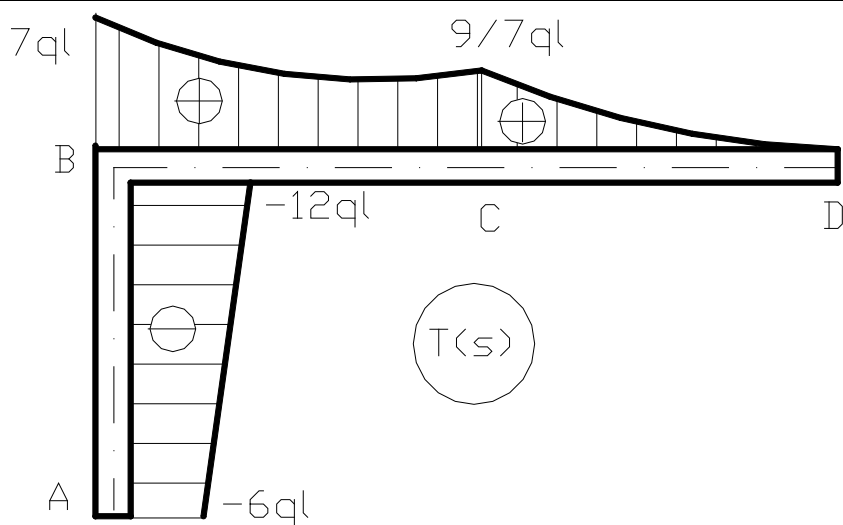


Figura 193

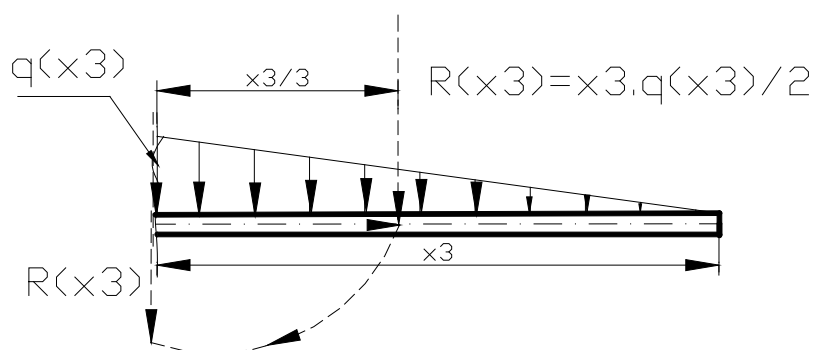


Figura 194

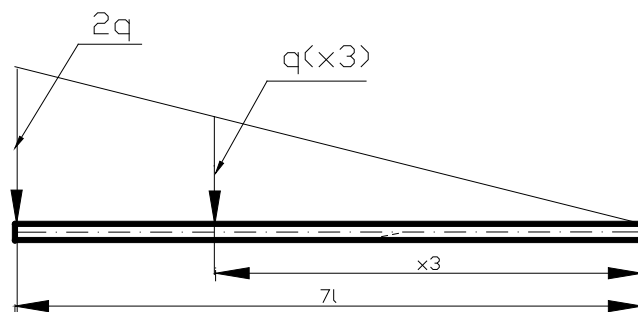


Figura 195

$$\lim_{x_3 \downarrow 0} T(x_3) = 0; \lim_{x_3 \uparrow 3l} T(x_3) = \frac{9ql}{7}; M_{iz}(x_3) = -\frac{qx_3^2}{7l} * \frac{x_3}{3} = -\frac{qx_3^3}{21l}$$

$$\frac{d M_{iz}(x_3)}{dx_3} = -\frac{qx_3^2}{7l}; \frac{d^2 M_{iz}(x_3)}{dx_3^2} = -\frac{2qx_3}{7l} < 0;$$

$$\lim_{x_3 \downarrow 0} M_{iz}(x_3) = 0; \lim_{x_3 \uparrow 3l} M_{iz}(x_3) = -\frac{9ql^2}{7};$$

Regiunea a II-a

$$x_2 \in (3l; 7l); T(x_2) = \frac{qx_2^2}{7l}; \frac{dT(x_2)}{dx_2} = \frac{2qx_2}{7l}; \frac{d^2 T(x_2)}{dx_2^2} = \frac{2q}{7l} > 0;$$

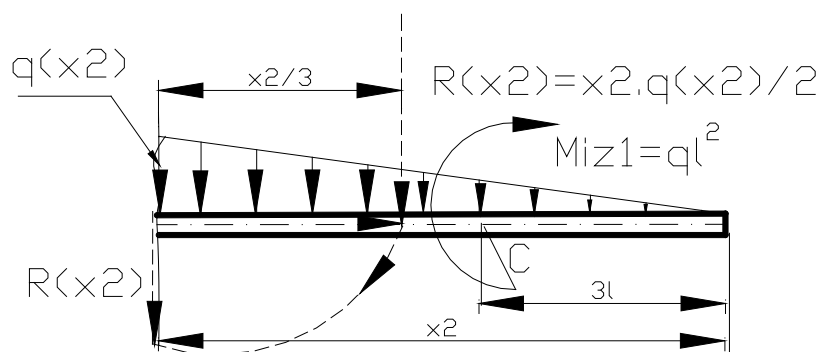


Figura 196

$$\begin{aligned} \lim_{x_2 \downarrow 3l} T(x_2) &= \frac{9ql}{7}; \lim_{x_2 \uparrow 7l} T(x_2) = 7ql; M_{iz}(x_2) = -\frac{qx_2^2}{7l} * \frac{x_2}{3} - ql^2 = \\ &= -\frac{qx_2^2}{21l} - ql^2; \end{aligned}$$

$$\frac{d M_{iz}(x_2)}{dx_2} = -\frac{qx_2^2}{7l}; \frac{d^2 M_{iz}(x_2)}{dx_2^2} = -\frac{2qx_2}{7l} < 0;$$

$$\lim_{x_2 \downarrow 3l} M_{iz}(x_2) = -\frac{16ql^2}{7}; \lim_{x_2 \uparrow 7l} M_{iz}(x_2) = -17,33ql^2;$$

În secțiunea în care există moment încovoietor concentrat trebuie ca în diagrama de momente încovoietore să avem un salt în acea secțiune, valoarea absolută a saltului trebuie să fie egală cu valoarea absolută a momentului încovoietor concentrat. În secțiunea din punctul (C), avem un salt al momentului încovoietor egal cu :

$$\left| -\frac{9}{7}ql^2 - \left(-\frac{16}{7}ql^2 \right) \right| = ql^2.$$

Problema nr.3

Să se traseze diagramele de eforturi : $\vec{N}, \vec{T}, \vec{M}_{iz}$ pentru bara cotită din figura 197:

Aflăm forțele de reacțiune : V_A, H_A, V_B din condițiile de echilibru.

$$\sum F_x = 0; H_A = 0; \quad \sum F_y = 0; V_A - ql - ql + V_B = 0; V_A + V_B = 2ql$$

fiind ecuația de verificare , se află forțele de reacțiune V_A și V_B din

$$\sum M_{iz}(\text{oarecare}) = 0;$$

$$\sum M_{iz}(A) = 0; ql * \frac{l}{2} + ql * 2l - V_B * 3l = 0; V_B = \frac{5ql}{6};$$

$$\sum M_{iz}(B) = 0; -ql \left(3l - \frac{l}{2} \right) - ql * l + V_A * 3l = 0; V_A = \frac{7ql}{6};$$

$$\frac{5ql}{6} + \frac{7ql}{6} = 2ql; 2ql = 2ql, \text{ ecuația de verificare este îndeplinită ,}$$

s-au calculat corect forțele de reacțiune, apoi se trece la fiecare regiune în parte.

$$\text{Regiunea întâi figura 201; } \begin{cases} x_1 \in (0;l) \\ y_1 \in (0;l) \end{cases}; R(x_1) = q \cdot x_1;$$

$$N(x_1) = R(x_1) \cos 45^\circ - V_A \cos 45^\circ;$$

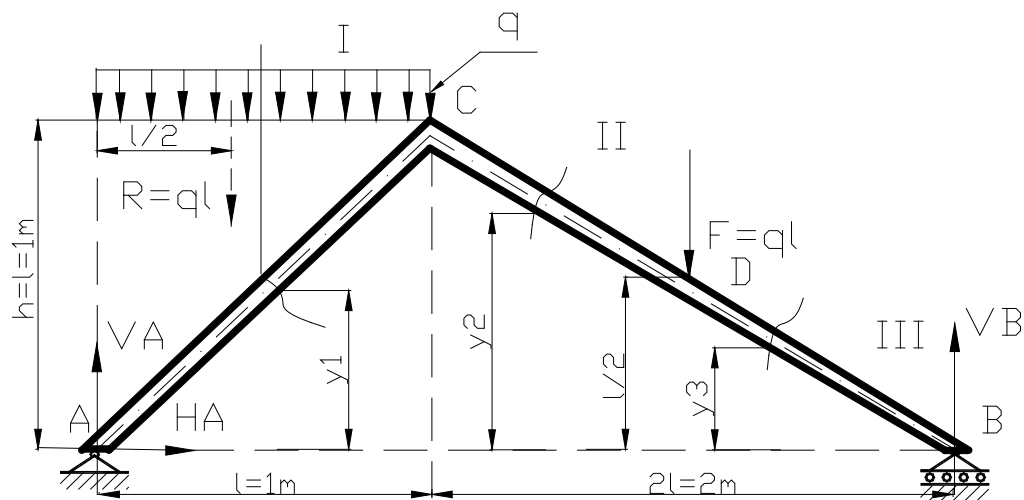


Figura 197

$$N(x_1) = \frac{\sqrt{2}}{2} \left(qx_1 - \frac{7ql}{6} \right); \lim_{x_1 \downarrow 0} N(x_1) = -\frac{7\sqrt{2}}{12} ql;$$

$$\lim_{x_1 \uparrow l} N(x_1) = -\frac{\sqrt{2}}{12} ql;$$

$$T(x_1) = \frac{\sqrt{2}}{2} \left(-qx_1 + \frac{7ql}{6} \right); \lim_{x_1 \downarrow 0} T(x_1) = \frac{7\sqrt{2}}{12} ql; \lim_{x_1 \uparrow l} T(x_1) = \frac{\sqrt{2}}{12} ql;$$

$$M_{iz}(x_1) = \frac{7qlx_1}{6} - \frac{qx_1^2}{2}; \frac{dM_{iz}(x_1)}{dx_1} = \frac{7ql}{6} - qx_1; \frac{d^2M_{iz}(x_1)}{dx_1^2} = -q < 0;$$

concavă.

$$\lim_{x_1 \downarrow 0} M_{iz}(x_1) = \lim_{x_1 \downarrow 0} \left(\frac{7qlx_1}{6} - \frac{qx_1^2}{2} \right) = 0;$$

$$\lim_{x_1 \uparrow l} M_{iz}(x_1) = \lim_{x_1 \uparrow l} \left(\frac{7qlx_1}{6} - \frac{qx_1^2}{2} \right) = \frac{4ql^2}{6} = \frac{2ql^2}{3}; \text{ Regiunea a III-a}$$

figura 205 $\left\{ \begin{array}{l} x_3 \in (0;l) \\ y_3 \in \left(0;\frac{l}{2}\right) \end{array} \right. ;$

$$N(x_3) = \left(-\frac{5ql}{6} \right) \sin \beta; \sin \beta = 0,447; \cos \beta = 0,894; T(x_3) = -0,745ql$$

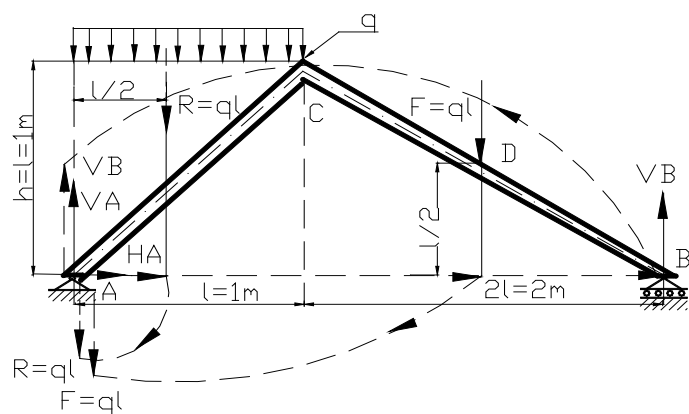


Figura 198

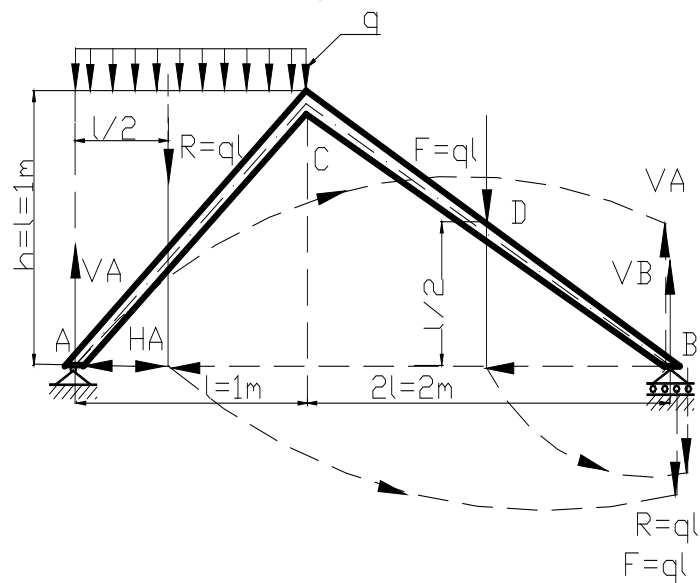


Figura 199

$$M_{iz}(x_3) = \frac{5qlx_3}{6}; \beta = 26,565^\circ; T(x_3) = -V_B \cos \beta;$$

$$\lim_{x_3 \downarrow 0} M_{iz}(x_3) = \lim_{x_3 \downarrow 0} \frac{5qlx_3}{6} = 0;$$

$$\lim_{x_3 \uparrow l} M_{iz}(x_3) = \lim_{x_3 \uparrow l} \frac{5qlx_3}{6} = \frac{5ql^2}{6};$$

Regiunea a II-a figura 206

$$N(x_2) = \left(ql - \frac{5ql}{6} \right) \sin \beta; N(x_2) = 0,0745ql;$$

$$T(x_2) = \left(ql - \frac{5ql}{6} \right) \cos \beta; T(x_2) = 0,149ql;$$

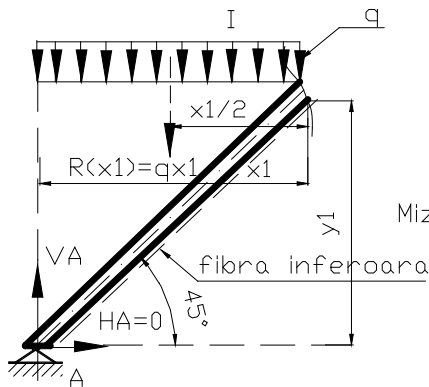


Figura 200

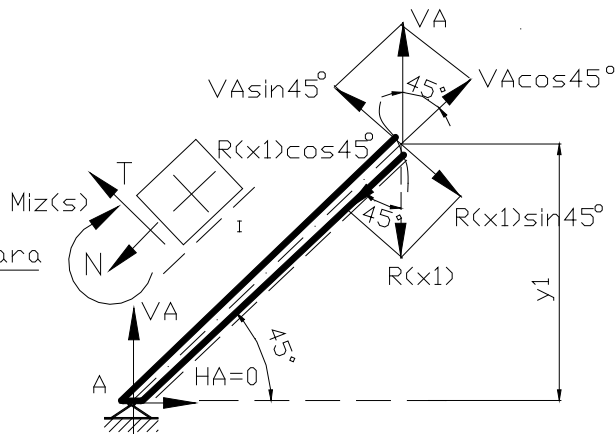


Figura 201

$$\begin{cases} x_2 \in (l; 2l) \\ y_2 \in \left(\frac{l}{2}; l\right) \end{cases}; M_{iz}(x_2) = \frac{5qlx_2}{6} - ql(x_2 - l)$$

$$\lim_{x_2 \downarrow l} M_{iz}(x_2) = \lim_{x_2 \downarrow l} \left[\frac{5qlx_2}{6} - ql(x_2 - l) \right] = \frac{5ql^2}{6};$$

$$\lim_{x_2 \uparrow 2l} M_{iz}(x_2) = \lim_{x_2 \uparrow 2l} \left[\frac{5qlx_2}{6} - ql(x_2 - l) \right] = \frac{2ql^2}{3}. \text{În punctul D}$$

forța tăietoare concentrată $T_D = ql \cos \beta$; $T_D = 0,894 ql$; saltul în această secțiune fiind egal cu :

$$|0,149ql + 0,745ql| = 0,894ql.$$

În punctul D forța axială concentrată $N_D = ql \sin \beta$; $N_D = 0,447 ql$; saltul în această secțiune fiind egal cu

$$|0,372ql + 0,0745ql| = 0,447ql.$$

La fel se verifică și în secțiunile din punctele A și B, în secțiunea din punctul (A) saltul pentru forța axială este egal cu :

$$\left| \frac{-7ql\sqrt{2}}{12} \right| = \frac{7ql\sqrt{2}}{12} = |V_A \cos 45^\circ|; \text{ tot în secțiunea din (A) există}$$

salt pentru forța tăietoare egal cu $| -0,372ql | = 0,372ql = |V_B \sin \beta|$;

tot în secțiunea din (B) există salt pentru forța tăietoare egal cu

$$|-0,745ql| = 0,745ql = |V_B \cos \beta|.$$

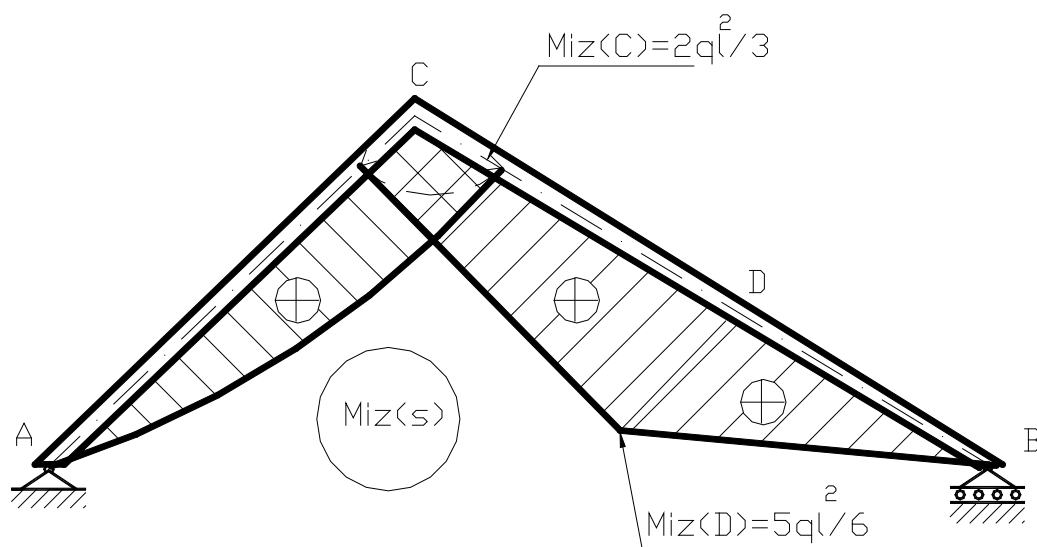


Figura 202

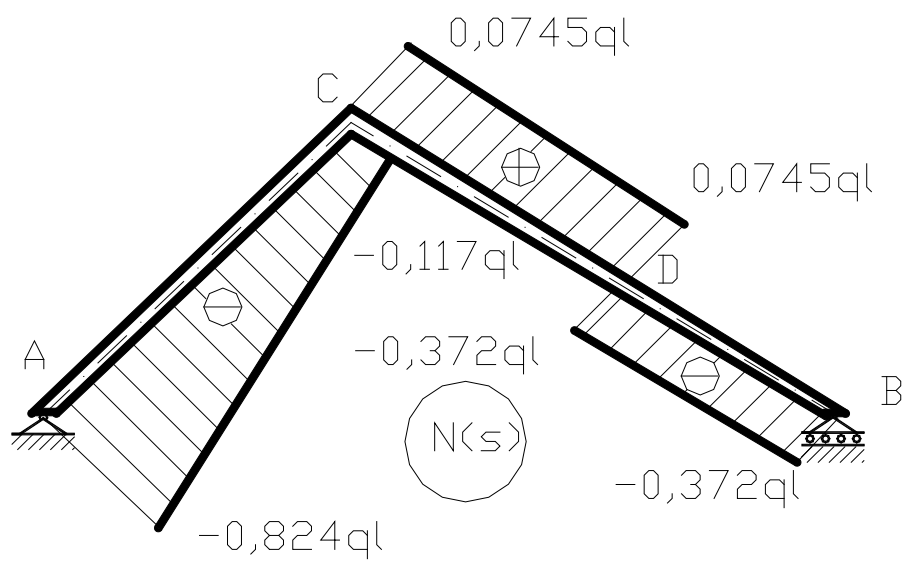


Figura 203

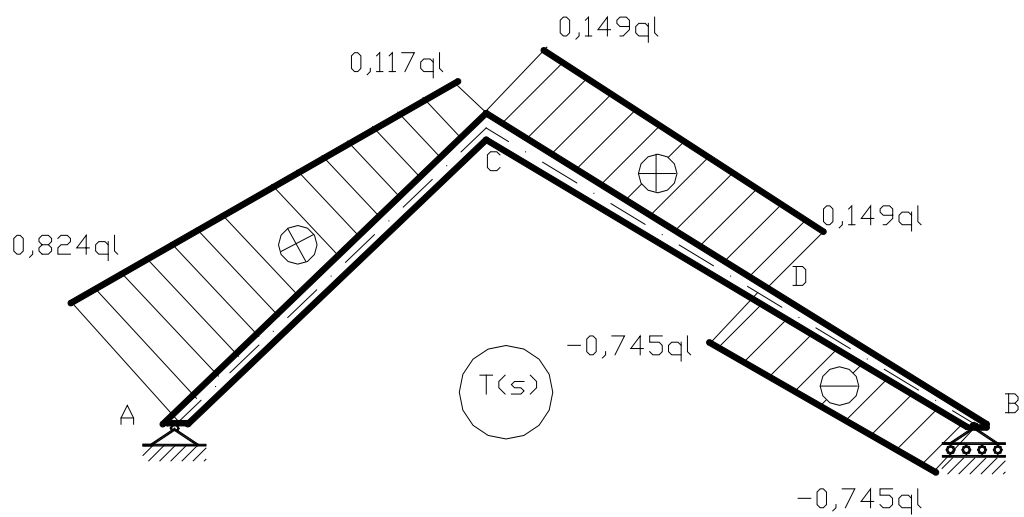


Figura 204

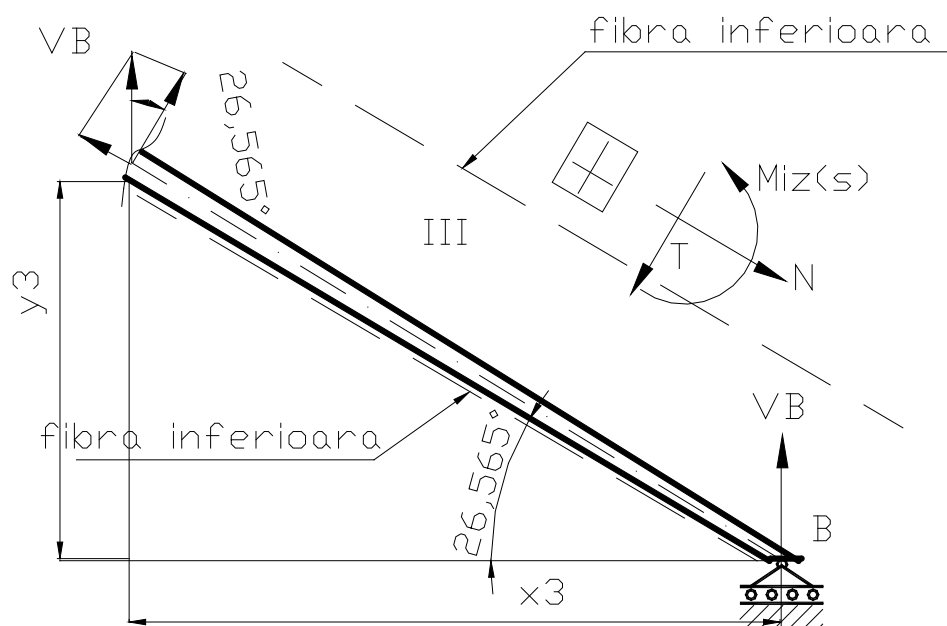


Figura 205

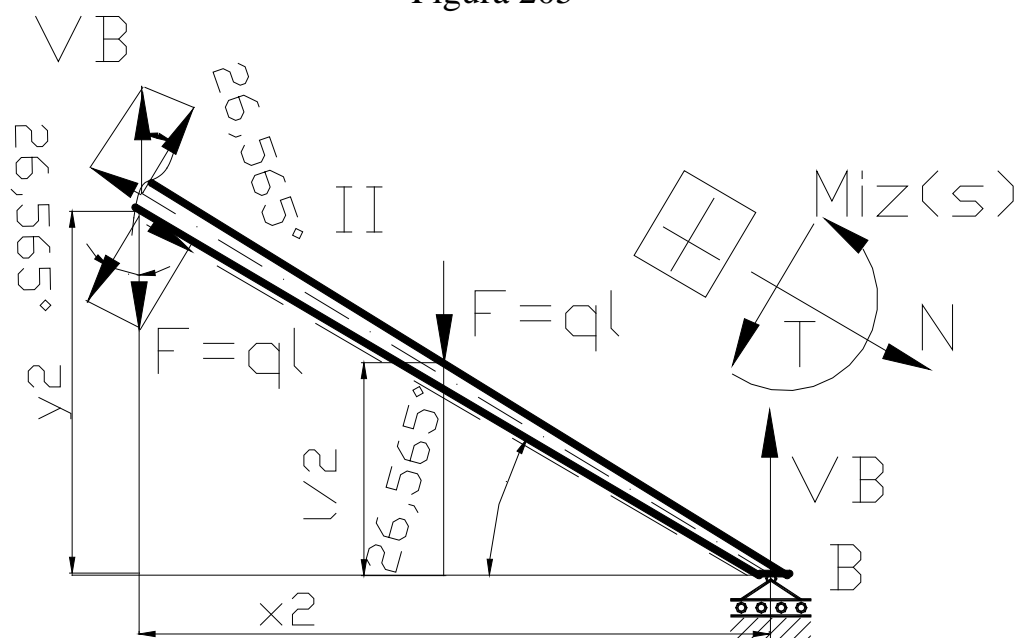


Figura 206

Problema nr. 4

Să se traseze diagramele de eforturi pentru grinda cotită din figura 207.

Rezolvare:

Rezultantele forțelor distribuite sunt: $R_1 = \frac{2ql}{2} = ql$; $R_2 = q \cdot 4l = 4ql$;

$$R_3 = \int_0^l q(y) dy = \int_0^l 2q \sin \frac{\pi \cdot y}{l} dy = 2q \int_0^l \sin \frac{\pi \cdot y}{l} dy ; \text{ se face schimbarea de}$$

variabilă, $\frac{\pi \cdot y}{l} = u; d\left(\frac{\pi \cdot y}{l}\right) = du; \left(\frac{\pi \cdot y}{l}\right)' dy = du; \frac{\pi}{l} dy = du; dy = \frac{l}{\pi} du$

noua variabilă fiind (u)

$$R_3 = 2q \int_0^l \sin \frac{\pi \cdot y}{l} dy = 2q \int_0^{\pi} \frac{l}{\pi} \sin u du = \frac{2ql}{\pi} \int_0^{\pi} \sin u du = -\frac{2ql}{\pi} (\cos u) \Big|_0^{\pi} = \frac{4ql}{\pi};$$

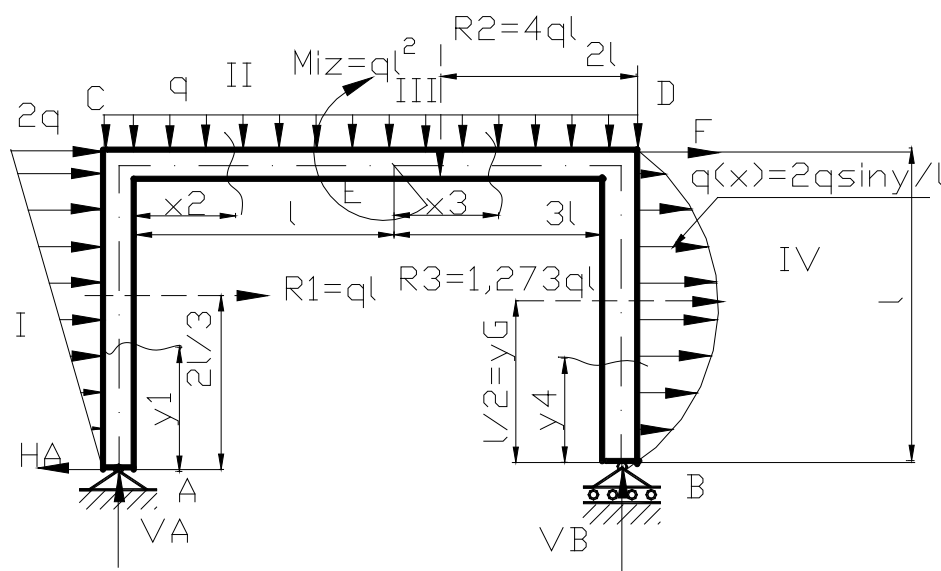


Figura 207

Se află punctul de aplicație al forței rezultante (R_3) cu

$$\text{formula: } y_{G3} = \frac{\int_0^l y \cdot q(y) dy}{\int_0^l q(y) dy}; \text{ se rezolvă separat}$$

$$\text{integralele. } \int_0^l y q(y) dy = 2q \int_0^l y \sin \frac{\pi \cdot y}{l} dy, \text{ se rezolvă cu integrarea prin}$$

părți:

$$\int f \cdot g' dy = fg - \int f' g dy; \text{ sau; } \int fdg = f \cdot g - \int g \cdot df; \text{ în acest caz}$$

$$f(y) = y; f'(y) = 1;$$

$$\text{iar } \sin \frac{\pi \cdot y}{l} dy = g'(y) dy; \int \sin \frac{\pi \cdot y}{l} dy = \int g'(y) dy; g(y) = -\frac{l}{\pi} \cos \frac{\pi \cdot y}{l};$$

$$\int_0^l y \sin \frac{\pi \cdot y}{l} dy = -\frac{l \cdot y}{\pi} \left(\cos \frac{\pi \cdot y}{l} \right) \Big|_0^l - \int_0^l -\frac{l}{\pi} \cos \frac{\pi \cdot y}{l} dy = \frac{l^2}{\pi};$$

$$\int_0^l y \cdot q(y) dy = 2q \int_0^l y \cdot \sin \frac{\pi \cdot y}{l} dy = 2q \cdot \frac{l^2}{\pi};$$

$$y_{G3} = \frac{\int_0^l y \cdot q(y) dy}{\int_0^l q(y) dy} = \frac{\frac{2ql^2}{\pi}}{\frac{4ql}{\pi}} = \frac{l}{2}; \text{ se poate pune direct. Aflăm forțele de}$$

reacțiune din condițiile de echilibru:

$$\left\{ \begin{array}{l} \sum F_x = 0 \\ \sum F_y = 0 \\ \sum M_{iz}(s) = 0 \end{array} \right\}; \text{ din } \sum F_x = 0; H_A - ql - ql - \frac{4ql}{\pi} = 0; H_A = 3,273ql;$$

$$\sum F_y = 0; V_A - 4ql + V_B = 0; V_A + V_B = 4ql; \text{ fiind ecuația de verificare}$$

, se află forțele de reacțiune V_A și V_B din

$$\sum M_{iz}(\text{oarecare}) = 0.$$

$$\sum M_{iz}(A) = 0; ql * \frac{2l}{3} + ql^2 + 4ql * 2l + ql * l + \frac{4ql}{\pi} * \frac{l}{2} - V_B * 4l = 0;$$

$$V_B = 2,824ql$$

$$\sum M_{iz}(B) = 0; ql * \frac{2l}{3} + ql^2 - 4ql * 2l + ql * l + \frac{4ql}{\pi} * \frac{l}{2} + V_A * 4l = 0;$$

$$V_A = 1,173ql$$

$$V_A + V_B = 4ql; 1,173ql + 2,824ql = 3,997ql \cong 4ql;$$

este îndeplinită ecuația de verificare, deoarece au rezultat valori pozitive pentru forțele de reacțiune, rezultă că rămân cu sensurile inițiale.

Regiunea întâi

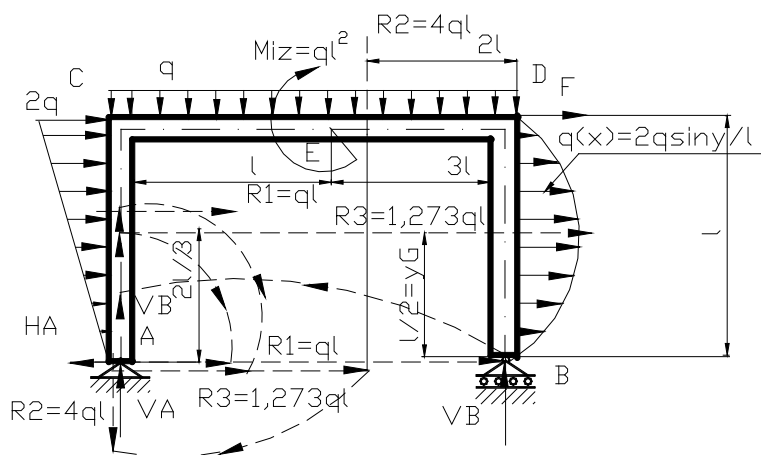


Figura 208

$y_1 \in (0; l)$; folosim relațiile diferențiale dintre sarcini și eforturi

$$: \frac{dN(y_1)}{dy_1} = q_N(y_1); \text{unde } q_N(y_1) \text{ este forța axială distribuită pe}$$

această regiune, în cazul acesta particular nu avem forță axială distribuită, deci $q_N(y_1) = 0$ [kN/m]

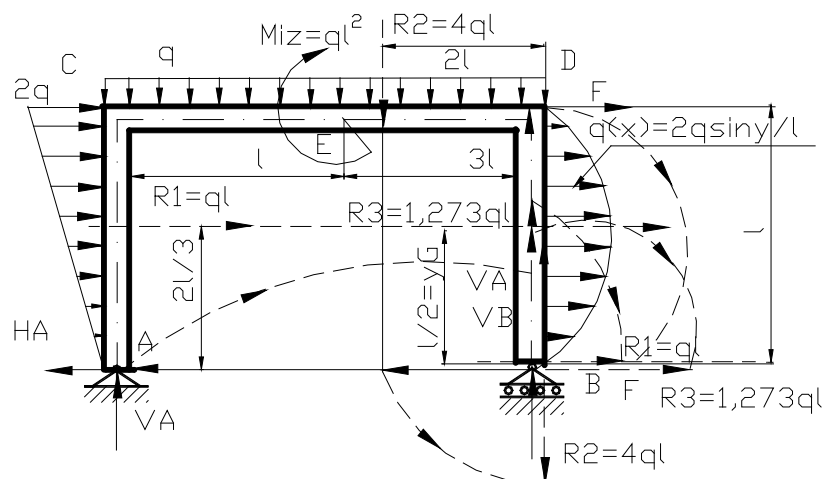


Figura 209

și vom avea, $\frac{dN(y_1)}{dy_1} = 0$,

$dN(y_1) = 0 \cdot dy_1$; $\int dN(y_1) = \int 0 \cdot dy_1$; $N(y_1) = C_1$. Se află constanta de integrare C_1 din condițiile inițiale ale lui Cauchy și anume,

$\lim_{y_1 \downarrow 0} N(y_1) = -V_A = -1,173ql = C_1$; deci $N(y_1) = -1,173ql$. Acum

determinăm forța tăietoare: $\frac{dT(y_1)}{dy_1} = -q_T(y_1)$; unde $q_T(y_1)$ este

forța tăietoare distribuită pe

această regiune și are expresia următoare, $q_T(y_1) = a \cdot y_1 + b$

cu $\lim_{y_1 \downarrow 0} q_T(y_1) = 0 = a \cdot 0 + b$; $b = 0$; $\lim_{y_1 \uparrow l} q_T(y_1) = 2q = a \cdot l + b$;

cum ($b = 0$)

implică $a = \frac{2q}{l}$; $q_T(y_1) = \frac{2q y_1}{l}$; $\frac{dT(y_1)}{dy_1} = -q_T(y_1) = -\frac{2q y_1}{l}$;

$dT(y_1) = -\frac{2q y_1}{l} dy_1$; se integrează

$\int dT(y_1) = \int -\frac{2q y_1}{l} dy_1$; $T(y_1) = -\frac{q y_1^2}{l} + C_2$;

$$\lim_{y_1 \downarrow 0} T(y_1) = \lim_{y_1 \downarrow 0} \left(-\frac{qy_1^2}{l} + C_2 \right) = H_A = 3,273ql; C_2 = 3,273ql;$$

$$T(y_1) = -\frac{qy_1^2}{l} + 3,273ql; T'(y_1) = -\frac{2qy_1}{l};$$

$$T''(y_1) = -\frac{2q}{l} < 0; \text{concavă};$$

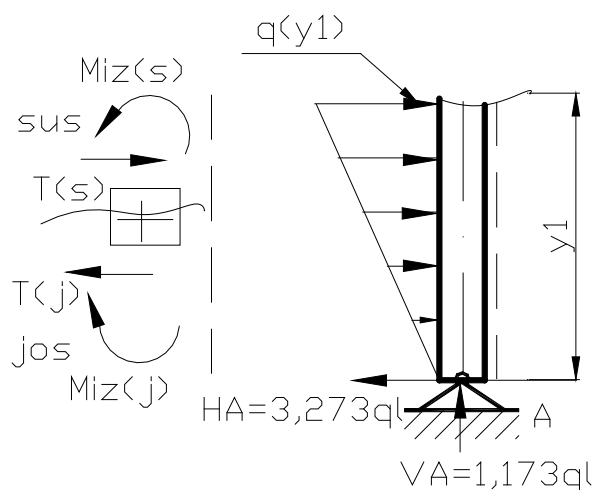


Figura 210

$$\lim_{y_1 \downarrow 0} T(y_1) = \lim_{y_1 \downarrow 0} \left(-\frac{qy_1^2}{l} + 3,273ql \right) = 3,273ql;$$

$$\lim_{y_1 \uparrow l} T(y_1) = \lim_{y_1 \uparrow l} \left(-\frac{qy_1^2}{l} + 3,273ql \right) = 2,273ql;$$

$$\frac{dM_{iz}(y_1)}{dy_1} = T(y_1); dM_{iz}(y_1) = T(y_1)dy_1; \int dM_{iz}(y_1) = \int T(y_1)dy_1;$$

$$M_{iz}(y_1) = \int \left(-\frac{qy_1^2}{l} + 3,273ql \right) dy_1; M_{iz}(y_1) = -\frac{qy_1^3}{3l} + 3,273qly_1 + D_1;$$

$$\lim_{y_1 \downarrow 0} M_{iz}(y_1) = \lim_{y_1 \downarrow 0} \left(-\frac{qy_1^3}{3l} + 3,273ql y_1 + D_1 \right) = 0; D_1 = 0;$$

$$M_{iz}(y_1) = -\frac{qy_1^3}{3l} + 3,273ql y_1; \quad M'_{iz}(y_1) = -\frac{qy_1^2}{l} + 3,273ql;$$

$$M''_{iz}(y_1) = -\frac{2qy_1}{l} < 0; \text{ concavă};$$

$$\lim_{y_1 \uparrow l} M_{iz}(y_1) = \lim_{y_1 \uparrow l} \left(-\frac{qy_1^3}{3l} + 3,273ql y_1 \right) = 2,94ql^2.$$

Regiunea a II-a

$x_2 \in (0;l)$; folosim relațiile diferențiale dintre sarcini și eforturi

: $\frac{dN(x_2)}{dx_2} = q_N(x_2)$; unde $q_N(x_2)$ este forța axială distribuită pe

această regiune, în cazul acesta particular nu avem forță axială

distribuită, deci $q_N(x_2) = 0$ (kN); și vom avea, $\frac{dN(x_2)}{dx_2} = 0$,

$dN(x_2) = 0 \cdot dx_2$; $\int dN(x_2) = \int 0 \cdot dx_2$; $N(x_2) = C_3$. Se află constanta de integrare C_3 din condițiile inițiale ale lui Cauchy și anume,

$$\lim_{x_2 \downarrow 0} N(x_2) = 3,273ql - ql = 2,173ql = C_3; \text{ deci } N(x_2) = 2,173ql.$$

Acum determinăm forța tăietoare: $\frac{dT(x_2)}{dx_2} = -q_T(x_2)$; unde

$q_T(x_2)$ este forța tăietoare distribuită pe această regiune și are

expresia următoare, $q_T(x_2) = q = \text{constant}$ $\frac{dT(x_2)}{dx_2} = -q_T(x_2) = -q$;

$$dT(x_2) = -q dx_2;$$

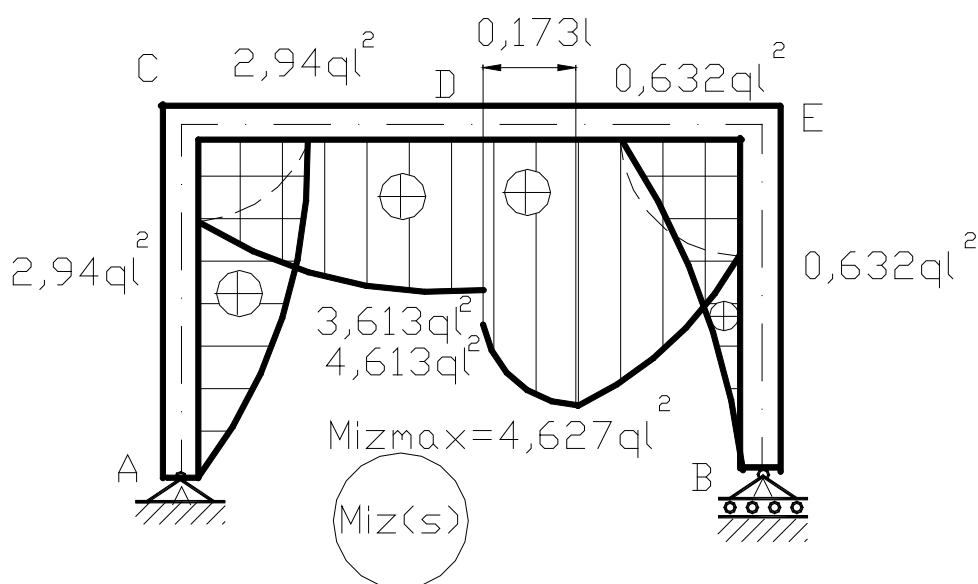
se integrează

$$\int dT(x_2) = \int -q dx_2; T(x_2) = -qx_2 + C_4;$$

$$\lim_{x_2 \downarrow 0} T(x_2) = \lim_{x_2 \downarrow 0} (-qx_2 + C_4) = 1,173ql; C_4 = 1,173ql;$$

$$T(x_2) = -qx_2 + 1,173ql;$$

$$\lim_{x_2 \uparrow l} T(x_2) = \lim_{x_2 \uparrow l} (-qx_2 + 1,173ql) = 0,173ql;$$



$$\frac{dM_{iz}(x_2)}{dx_2} = T(x_2); dM_{iz}(x_2) = T(x_2)dx_2; \int dM_{iz}(x_2) = \int T(x_2)dx_2;$$

$$M_{iz}(x_2) = \int (-qx_2 + 1,173ql)dx_2; M_{iz}(x_2) = -\frac{qx_2^2}{2} + 1,173qlx_2 + D_2;$$

$$\lim_{x_2 \downarrow 0} M_{iz}(x_2) = \lim_{x_2 \downarrow 0} \left(-\frac{qx_2^2}{2} + 1,173qlx_2 + D_2\right) = 2,94ql^2;$$

$$D_2 = 2,94ql^2;$$

$$M_{iz}(x_2) = -\frac{qx_2^2}{2} + 1,173qlx_2 + 2,94ql^2;$$

$$M'_{iz}(x_2) = -qx_2 + 1,173ql = T(x_2); M''_{iz}(x_2) = -q < 0 \text{ ; concavă ;}$$

$$\lim_{x_2 \uparrow l} M_{iz}(x_2) = \lim_{x_2 \uparrow l} \left(-\frac{qx_2^2}{2} + 1,173qlx_2 + 2,94ql^2 \right) = 3,613ql^2 .$$

Regiunea a III-a ,

$x_3 \in (0; 3l]$; folosim relațiile diferențiale dintre sarcini și eforturi :

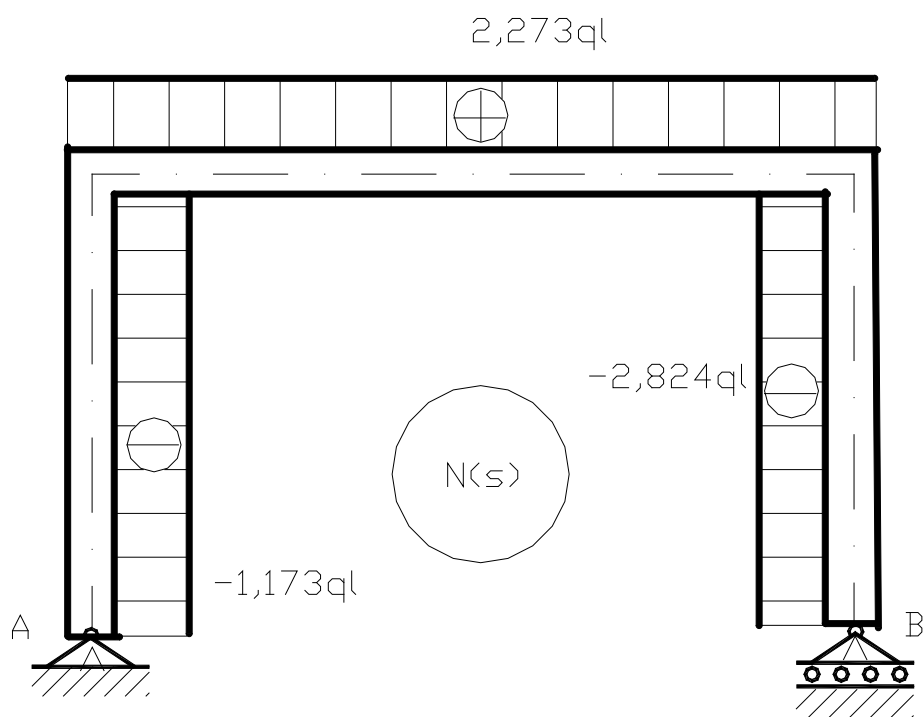


Figura 211

$$\frac{dN(x_3)}{dx_3} = q_N(x_3); \text{ unde } q_N(x_3) \text{ este forța axială distribuită pe această}$$

regiune , în cazul acesta particular nu avem forță axială distribuită ,

$$\text{deci } q_N(x_3) = 0 \text{ (kN/m) ; și vom avea , } \frac{dN(x_3)}{dx_3} = 0 ,$$

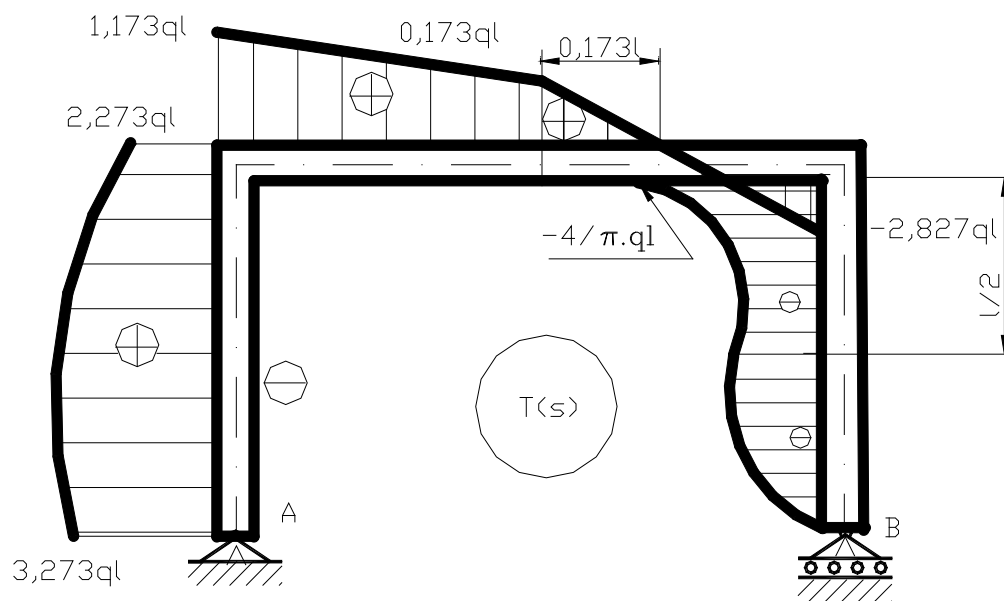


Figura 212

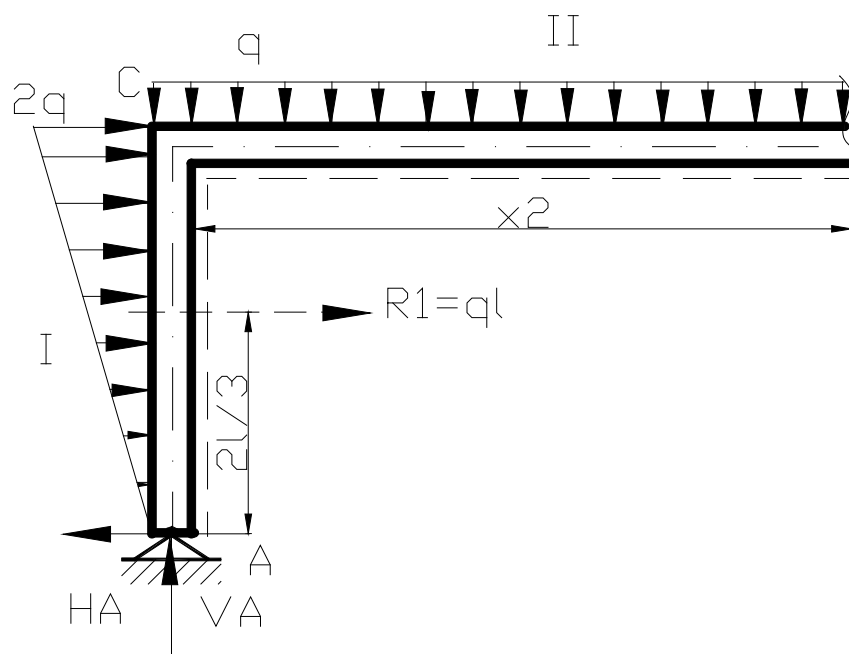


Figura 213

$dN(x_3) = 0 \cdot dx_3$; $\int dN(x_3) = \int 0 \cdot dx_3$; $N(x_3) = C_5$. Se află constanta de integrare C_5 din condițiile inițiale ale lui Cauchy și anume ,

$$\lim_{x_3 \downarrow 0} N(x_3) = 2,273ql = C_5 ; \text{ deci } N(x_3) = 2,273ql . \text{ Acum}$$

determinăm forța tăietoare : $\frac{dT(x_3)}{dx_3} = -q_T(x_3)$; unde $q_T(x_3)$ este

forța tăietoare distribuită pe această regiune și are expresia următoare, $q_T(x_3) = q = \text{constant}$

$$\frac{dT(x_3)}{dx_3} = -q_T(x_3) = -q ; dT(x_3) = -q dx_3 ;$$

se integrează $\int dT(x_3) = \int -q dx_3$; $T(x_3) = -qx_3 + C_6$;

$$\lim_{x_3 \downarrow 0} T(x_3) = \lim_{x_3 \downarrow 0} (-qx_3 + C_6) = 0,173ql ; C_6 = 0,173ql ;$$

$$T(x_3) = -qx_3 + 0,173ql ;$$

$$\lim_{x_3 \uparrow 3l} T(x_3) = \lim_{x_3 \uparrow 3l} (-qx_3 + 0,173ql) = -2,827ql ; ;$$

$$\lim_{x_3 \downarrow 0} M_{iz}(x_3) = \lim_{x_3 \downarrow 0} \left(-\frac{qx_3^2}{2} + 0,173qlx_3 + D_3 \right) = 4,613ql^2 ;$$

$$D_2 = 4,613ql^2 ;$$

$$M_{iz}(x_3) = -\frac{qx_3^2}{2} + 0,173qlx_3 + 4,613ql^2 ;$$

$$M'_{iz}(x_3) = -qx_3 + 0,173ql = T(x_3) ;$$

$$M''_{iz}(x_3) = -q < 0 ; \text{ concavă ;}$$

$$M'_{iz}(x_3) = -qx_3 + 0,173ql = 0 ; x_0 = 0,173l$$

$$M_{iz \max} = M_{iz}(0,173l) = 4,627ql^2$$

Regiunea a III-a

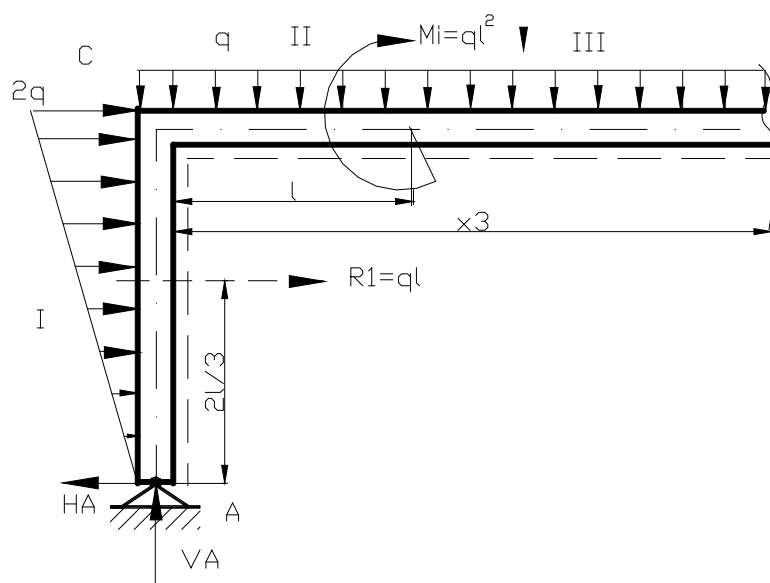


Figura 214

$$\lim_{x_3 \uparrow 3l} M_{iz}(x_3) = \lim_{x_3 \uparrow l} \left(-\frac{qx_3^2}{2} + 0,173qlx_3 + 4,613ql^2 \right) = 0,632ql^2 .$$

Regiunea a IV-a

$y_4 \in (0;l)$; folosim relațiile diferențiale dintre sarcini și eforturi

$$\therefore \frac{dN(y_4)}{dy_4} = q_N(y_4);$$

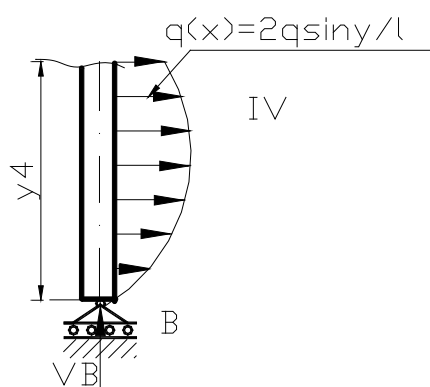


Figura 215

unde $q_N(y_4)$ este forța axială distribuită pe această regiune, în cazul acesta particular nu avem forță axială distribuită, deci $q_N(y_4) = 0$ (kN); și vom avea, $\frac{dN(y_4)}{dy_4} = 0$,

$dN(y_4) = 0 \cdot dy_4$; $\int dN(y_4) = \int 0 \cdot dy_4$; $N(y_4) = C_7$. Se află constanta de integrare C_7 din condițiile inițiale ale lui Cauchy și anume,

$$\lim_{y_4 \downarrow 0} N(y_4) = -2,824ql = C_7; \text{ deci}$$

$N(y_1) = -2,824ql$. Acum determinăm forța tăietoare:

$$\frac{dT(y_4)}{dy_4} = -q_T(y_4); \text{ unde } q_T(y_4) \text{ este forța tăietoare distribuită pe}$$

această regiune și are expresia următoare:

$$q_T(y_4) = 2q \sin \frac{\pi \cdot y_4}{l}; \text{ implică}$$

$$\frac{dT(y_4)}{dy_4} = -q_T(y_4) = -2q \sin \frac{\pi \cdot y_4}{l};$$

$$dT(y_4) = -2q \sin \frac{\pi \cdot y_4}{l} dy_4; \text{ se integrează}$$

$$\int dT(y_4) = \int -2q \sin \frac{\pi \cdot y_4}{l} dy_4; T(y_4) = \frac{2ql}{\pi} \cos \frac{\pi \cdot y_4}{l} + C_8;$$

$$\lim_{y_4 \downarrow 0} T(y_4) = \lim_{y_4 \downarrow 0} \left(\frac{2ql}{\pi} \cos \frac{\pi \cdot y_4}{l} + C_8 \right) = 0; C_8 = -\frac{2ql}{\pi};$$

$$T(y_4) = \frac{2ql}{\pi} \cos \frac{\pi \cdot y_4}{l} - \frac{2ql}{\pi}; \quad T'(y_4) = -2q \sin \frac{\pi \cdot y_4}{l}; \quad T''(y_1) = -\frac{2q}{l} \cos \frac{\pi \cdot y_4}{l};$$

$$\lim_{y_4 \uparrow l} T(y_4) = \lim_{y_4 \uparrow l} \left(\frac{2ql}{\pi} \cos \frac{\pi \cdot y_4}{l} - \frac{2ql}{\pi} \right) = -\frac{4ql}{\pi};$$

$$M_{iz}(y_4) = -\int \left(-\frac{2ql}{\pi} \cos \frac{\pi \cdot y_4}{l} + \frac{2ql}{\pi} \right) dy_4; M_{iz}(y_4) = -\frac{2ql^2}{\pi^2} \sin \frac{\pi \cdot y_4}{l} +$$

$$+ \frac{2qly_4}{\pi} + D_4$$

$$\int dM_{iz}(y_4) = -\int T(y_4) dy_4;$$

$$\lim_{y_4 \downarrow 0} M_{iz}(y_4) = \lim_{y_4 \downarrow 0} \left(-\frac{2ql^2}{\pi^2} \sin \frac{\pi \cdot y_4}{l} + \frac{2qly_4}{\pi} + D_4 \right) = 0; D_4 = 0;$$

$$\lim_{y_4 \uparrow l} M_{iz}(y_4) = 0,636ql^2, \quad M_{iz}(y_4) = \left(-\frac{2ql^2}{\pi^2} \sin \frac{\pi \cdot y_4}{l} + \frac{2qly_4}{\pi} \right).$$

Bibliografie

1. Bârsănescu P. D. , Ciobanu O. , Rezistența materialelor , vol.I , Casa de ed. Venus, Iași , 1998
2. Belyaev N.M., *Strength of Materials*, Mir Publishers , Moscow , 1979
3. Buzdugan Gh., *Rezistența materialelor* , Editura Academiei , București , 1986
4. Cioclov D., *Mecanica ruperii materialelor* , Editura Academiei, București , 1977
5. Deutsch I., *Rezistența materialelor*, EDP, București, 1976
6. Gellert W. , ș.a. (ed) , Mică enciclopedie matematică , Ed. Tehnică , București , 1980
7. Goanță V. , Rezistența materialelor , Ed. ,, GH. ASACHI” Iași, 2001.
8. Horbaniuc D, *Rezistența materialelor*, vol. I , Institutul Politehnic - Iași, 1979
9. Leon D . , Deplasări ale barelor drepte solicate la încovoiere, Ed. Cermi Iași , 1999
10. Mareș M., Rezistența materialelor - noțiuni fundamentale, Ed. Tehnopress, Iași, 2001.
11. Mocanu D.R., *Încercarea materialelor* , vol. 1-3 , Editura Tehnică , București, 1982
12. Mocanu D.R., *Rezistența materialelor* , Editura Tehnică , București, 1980
13. Mocanu F . , Rezistența materialelor , Ed. Cermi , Iași , 1998
14. Ponomariov S.D. ș.a., *Calculul de rezistență în construcția de mașini* , vol.I , Editura tehnică , București, 1964
15. Posea N., *Rezistența materialelor* , EDP , București, 1979
16. Soare M. ș.a., *Rezistența materialelor în aplicații*, Editura Tehnică , București, 1966
17. Stepine P., *Resistance des materiaux* , Editions Mir , Moscou, 1986
18. Teodorescu . P.P ., Ilie V., *Teoria elasticității în mecanica solidelor deformabile* , Editura Dacia , Cluj-Napoca , 1979

- 19.. Tripa M., *Rezistența materialelor* , EDP , București, 1967
20. SREN. 10002-1:1995 Materiale metalice. Încercarea la tracțiune.
21. STAS 7926-67 . Încercările metalelor. Încercarea de rezistență la forfecare .
22. STAS 1750-90 . Încercările metalelor. Încercarea de la răsucire a sârmelor.
- 23.SREN. 10045-1:1993. Materiale metalice. Încercarea de încovoiere prin șoc pe epruveta Charpy.Parte 1: Metoda de încercare.
- 24.SREN. 13170:1993. Materiale metalice. Încercarea de încovoiere prin șoc . Epruvete speciale și metode de evaluare.
25. STAS 8894 /1-80. Încercările metalelor. Încercarea de rupere prin fluaj a oțelului la temperaturi ridicate. Elemente și condiții tehnice de execuție a încercărilor.
- 26.STAS 8894 /2-81. Încercările metalelor. Încercarea de rupere prin fluaj a oțelului la temperaturi ridicate. Metode de prelucrare a datelor.
- 27.STAS 1963 – 81 . Rezistența materialelor. Terminologie și simboluri.